

علي بلفتاح

أستاذ مكلف بالدروس
جامعة منتوري. قسنطينة

أحمد بن عامر

أستاذ مكلف بالدروس
جامعة منتوري. قسنطينة

تمت الترجمة تحت إشراف و بمساعدة

الأستاذ صالح غوااطي

جامعة منتوري. قسنطينة

كيمياء عامة

الجزء الأول :

بنية المادة

دروس مع تمارين محلولة و مفصلة و مسائل مقتربة

الطور الأول الجامعي

مطبوعات جامعة منتوري. قسنطينة. سبتمبر 2001

توطئة

كم كانت غبطة و ابتهاجي عظيمين مل عرضت عاي فكرة ترجمة هذا الكتاب إلى اللغة العربية، و خاصة أنه يتناول موضوعا، طالما اشتكي طلبة السنوات الأولى من التعليم العالي من نقص كبير في المطبوعات الجامعية المنشورة باللغة العربية في هذا المجال. بودي أن أحسي بهذه المبادرة، التي تضيف لبناء جديدة للمكتبة الجزائرية بل للمكتبة العربية في بنية المادة، لا شك أنها تشكل ثرة مجهودات كبيرة، سلك فيها المؤلف منهجية متدرجة في التسلسل التاريخي لعلم الكيمياء و تطوره عبر عصر النهضة و الاكتشافات العلمية الحديثة.

يعتبر هذا العمل سندا علميا دقيقا، مبنيا على خبرات بيداغوجية واسعة في معالجة النظريات و تطبيقها مما يسهل على القاري استيعاب العلاقات الرياضية التي عالجها المؤلف و إعطائها المعانى الفيزيائية بأسلوب سهل و مبسط، دون الإخلال بالدقة العلمية لهذه المفاهيم.

استعمال وسائل الإيضاح في تفسير الروابط الكيميائية و مستويات الطاقة و تجيئ المخططات الذرية و الجزيئية أضفى عاماً مهماً في شرح اتحاد الذرات لتكوين الجزيئات.

أملني أن يتلو هذا العمل أعمال أخرى لإثراء المكتبة العربية، كما أتمنى أن يكون هذا الكتاب مفيدا للطلبة.

صالح غواطي

أستاذ في التعليم العالي
جامعة منتوري. قسنطينة.

تمهيد للكتاب

الهدف من هذا الكتاب هو مساعدة الطلبة لاستيعاب المفاهيم المرتبطة بالنظرية الذرية و كذا تمكينهم من بناء الروابط الكيميائية.

سلكنا منهاجا بسيطا و موجزا أحيانا لتسهيل الفهم السريع للأفكار المطروحة. كان التدرج في معالجة محتويات الفصول متسلسلا بغية تحسيس القارئ بتطور النظريات (محتواها و محدودية تطبيقها) إلى أن وصلت إلى المفهوم الحديث للذرة.

تبقى حسب تصورنا ، دراسة بعض التجارب التي أدت إلى تعين مكونات المادة الطريقة الملائمة لإدخال مفاهيم جديدة و استعابها.

نعرض في كل فصل إلى إعطاء تعاريف أساسية مدعومة بأمثلة مختارة متبرعة بتمارين جديدة أو أخرى قد أعيد النظر في محتواها في بعض الحالات تسمح للطالب بتطبيق المفاهيم المتناولة و كذا لتدريسه على التفكير في حل الإشكاليات العلمية و ترسيخ روح النقد البناء.

و يبقى حسب رأينا تقديم الأعداد الكمية بواسطة نظرية بوهر - سومرفيلد من أفضل مناهج التدريس لاستيعاب نظرية الكم و تكون معادلة شرودنغر مطروحة فقط و تبيان أهم نتائجها و هذا تطبيقا للبرامج الرسمية.

آمالنا أن هذا الكتاب الموجه لطلبة السنة الأولى من السلك الجامعي الأول يكون أداة و عملا فعالا الذي يسمح لهم باستيعاب سريع و صحيح للمفاهيم المطروحة.

المؤلفون

الفهرس

18	د- الكاشف.....	نوطنة.....
19	IV. المظهر الفراغي للمادة.....	تمهيد للكتاب.....
19	1- نموذج طومسون <i>Thomson</i>	مقدمة.....
19	2- نموذج روزنارفورد <i>Rutherford</i>	الباب الأول : المظهر الماكروسكوبى و عدم الاستمرارية العيكروسكوبية للمادة.....
21	V. النقص في الكتلة - طاقة التماسك.....	
الباب الثالث : النشاط الإشعاعي		
و التفاعلات النووية		
26	I. النشاط الإشعاعي (الإشعاعية).....	I. المادة
26	1- الإشعاعية الطبيعية.....	1- تعريف.....
26	2- الأنواع المختلفة للإشعاعات.....	2- الخليط المتتجانس- الخليط غير المتتجانس....
26	أ- الإشعاع α	أ- الخليط المتتجانس.....
27	ب- الإشعاع β	ب- الخليط غير المتتجانس.....
27	ج- الإشعاع γ	3- الأجسام النقية.....
28	3- قانون الأبعاد (الإصدار).....	4- مفهوم الجزيء و الذرة.....
28	أ- الدور الإشعاعي.....	أ- تعريف الجزيء
29	ب- النشاطية الإشعاعية.....	ب- تعريف الذرة.....
29	II. الإشعاعية الاصطناعية و التفاعلات	II. حالات المادة.....
30	النووية.....	1- عدد آفروغافارو. المفهوم المولى.....
30	1- الإشعاعية الاصطناعية.....	2- الكتلة المولية و الكتلة الجزيئية.....
31	2- التفاعلات النووية.....	III. القوانين الأساسية في الكيمياء.....
31	أ- التفاعلات مع الهليونات.....	- قانون انحفاظ الكتلة (لافوازى)
31	ب- التفاعلات مع البروتونات.....	- قانون انحفاظ العناصر (لافوازى)
32	ج- التفاعلات مع الدوتونات.....	- قانون النسب المعينة (بروست)
32	د- التفاعلات مع النيوترونات.....	- قانون النسب المضيفة (دالتون)
33	III. حوصلة التفاعلات النووية.....	- قانون الاتحادات الغازية (غي لوساك)
33	IV. العائلات المشعة.....	الباب الثاني : مكونات المادة
34	V. تطبيقات الإشعاعية.....	أعماليات.....
35	1- التطبيقات الطاقوية.....	II. الإلكترون.....
35	أ- الانشطار النووي.....	1- الطبيعة الكهربائية للمادة.....
	• الانشطار المتفجر	2- إثبات وجود الإلكترون.....
	• الانشطار المراقب	أ- تعريف النسبة e/m
36	ب- الانتحام النووي.....	ب- حساب e و m
37	2- التطبيقات غير الطاقوية.....	III. النواة الذرية.....
37	أ- التاريخ بواسطة C^{14}	1- إثبات وجود النواة.....
38	ب- تطبيقات أخرى.....	2- مكونات النواة.....
39	VI. مخاطر الإشعاعية.....	أ- البروتون.....
الباب الرابع : البنية الإلكترونية للذرة		
42	I. النموذج الذري لروزنارفورد.....	ب- النيوترون.....
42	1- الإشعاع الكهرومغناطيسي.....	3- مصطلحات.....
44	2- الفعل الكهروضوئي.....	4- النظائر
44		5- مطياف الكتلة / بانبريدج <i>Bainbridge</i>
45		أ- غرفة التأين.....
45		ب- مرشح السرعات.....
45		ج- محلل.....

92	II. الرابطة الأيونية.....	45	II. النموذج الذري لبودر.....
95	III. الرابط ما بين الجزيئات.....	46	1- تعين نصف قطر المدارات المستقرة.....
95	- قوى فان دار فالس.....	47	2- تعين السرعة.....
95	أ- قوى كيسوم.....	47	3- تعين الطاقة الكلية.....
95	ب- قوى ذي باي.....	48	4- أطياف الامتصاص. أطياف الانتشار.....
95	ج- قوى لندن.....	51	III. نموذج سومرفيلد.....
96	2- الرابطة الهيدروجينية.....		الباب الخامس : مدخل إلى الميكانيك الموجي
	• الرابطة الهيدروجينية داخل الجزيء	58	I. الطبيعة الموجية للمادة.....
97	3- الرابطة المعدنية.....	58	II. الأزدواجية موجة- جسيم.....
	IV. الرابطة التساهمية : نظرية المحطات	59	III. مبدأ الشك لهيزنباخ <i>Heisenberg</i>
97	الجزئية. O.M	60	IV. المعادلة العامة للميكانيك الموجي.....
101	1- الرابطة 5.....		* تمثيل السحب الإلكترونية المرافق
102	2- الرابطة π		للحالات ns و np
103	3- المخطط الطاقوي للجزيء.....		الباب السادس : الذرات المتعددة الإلكترونات
	الباب التاسع : تهجين المحطات و هندسة		I. تعريف.....
	الجزئيات		II. مبدأ الاستبعاد لبوولي <i>Pauli</i>
107	I. مقدمة.....	67	III. قوانين ملا المحطات.....
107	1- التهجين الرباعي sp^3	70	- قاعدة كلاشكوسكي <i>Klechkowski</i> . 1
	• جزيء النشادر NH_3	71	- مبدأ الثبات..... 2
	• جزيء الإيثان C_2H_6	71	- قاعدة هوند <i>Hund</i> . 3
111	2- التهجين sp^2		الباب السابع : التصنيف الدوري للعناصر
	• جزيء BF_3	74	I. مقدمة.....
	• جزيء C_2H_4	74	II. دراسة الدورات.....
113	3- التهجين sp	78	III. دراسة الأعمدة.....
	• جزيء BeF_2	78	IV. الخواص الدورية للعناصر.....
	• جزيء C_2H_2	79	1- النصف القطر الذري.....
116	II. نظرية جيلسبى <i>Gillespie</i>	80	2- النصف القطر الأيوني.....
	III. دراسة بعض معقدات المعادن	81	3- طاقة الثناء.....
119	الانتقالية.....	81	4- الألفة الإلكترونية.....
	• التهجين sp^3d^2 و d^2sp^3	83	5- الكهروسلبية.....
	• التهجين dsp^2		6- القابلية للإسقاط و قدرة الإسقاط.....
	• المعقدات المختلطة		الباب الثامن : الرابطة الكيميائية
125	حلول التمارين.....	86	I. الرابطة المشتركة (التساهمية). نظرية
139	مسائل للمراجعة.....	86	لويس <i>Lewis</i>
143	بعض الثوابت الأساسية.....	87	1- الرابطة المشتركة أو التساهمية.....
	تحويل بعض الوحدات و المقاطع البدائية	87	أ- الرابطة البسيطة.....
	ترتيب أبيجدي لعناصر الجدول	87	ب- الرابطة المتعددة.....
145	الدوري.....	88	ج- الرابطة التساندية.....
	الجدول الدوري للعناصر.....		2- مخطط لويس <i>Lewis</i>
146	ترتيب أبيجدي للأسماء المشهورة.....	90	3- الرابطة المشتركة الخالصة و الرابطة
147	المشتراكه المستقطبة.....		المشتراكه المستقطبة.....
148	المراجع.....	92	4- طول الرابطة.....

مقدمة

أصبحت الكيمياء بعد اكتشافات لافوازى *Lavoisier* علما من العلوم الفيزيائية وتطورت خلال القرن التاسع عشر ، ثم اكتسبت أهمية معتبرة منذ بداية القرن العشرين بظهور إمكانيات جديدة في الاصطناع ، و توسيعه إلى ميادين صناعية (الصناعات الكيميائية ، الصيدلانية و الصناعات الغذائية) .

إن هدف الكيمياء هو دراسة كل المواد الطبيعية و البحث عن مكوناتها واصطناعها مع تعين القوانين التي تحكم منتجاتها .

يصاحب التفاعل الكيميائي تشكيل أجسام أخرى مختلفة عن تلك التي انطلق منها التفاعل و يمكن أن يرافق التفاعل الكيميائي تحول عميق و جذري للمادة مع تكوين مواد جديدة مختلفة في الخواص الفيزيائية و الكيميائية .

لا تعتني الكيمياء بالمركبات المشكّلة فقط بل تهم بظواهر التفاعل ، و تأثير العوامل المختلفة مثل : درجة الحرارة ، الضغط ... على التفاعل . كما يمكن قياس سرعة التفاعل و التغيرات الحرارية الناتجة عن التفاعل .

لا يمكن للفيزيائي الاستغناء عن الكيمياء لأنها تكون الدعم الرئيسي لابتكار قوانين جديدة توضح الخواص الفيزيائية للمادة و تبقى مرتبطة ارتباطا وثيقا بالعلوم الأخرى مثل:

* علم الفلك (تركيب الكواكب و النجوم)

* علم الأرض (تركيب الصخور)

* العلوم الفلاحية (دراسة و تعين نوعية التربة)

* علوم الطبيعة و الحياة أين تشكل الكيمياء أساسا للظواهر الحية المرتبطة بالتفاعلات الكيميائية . (لم يقارن لافوازى *Lavoisier* الحياة بتفاعلات الاحتراق ؟) .

تشكل الكيمياء عالما واسعا للاكتشافات العلمية و تعطي ميادين عديدة و لا متناهية في البحث العلمي .

لقد حسنت الكيمياء نوعية الحياة البشرية بإدخال وسائل جديدة و متنوعة لرفاهية الإنسان الذي كان لا يمكن تخيله لعقود سابقة و يتجلّى ذلك في استعمالنا اليومي للمواد الكيميائية في الغسيل ، الألبسة ، النقل ، المأكولات ، العلاج و تبقى وستظل القائمة مفتوحة .

المفهوم الماكروسكوبى و عدم الاستمرارية الميكروسكوبية للمادة

الباب الأول :

I. المادة :

(1) تعریف :

" المادة هي كل شيء في الكون كتلته غير معروفة و هو في حالة السكون " و يعبر عن الكتلة بوحدات هي : الكيلو غرام kg ، الغرام g في نظام : C.G.S ، M.K.S.A

(2) الخليط المتجانس - الخليط غير المتجانس :

خلق الله الأشياء الخليطة على نوعين :

(أ) الخليط المتجانس :

لا يمكن تمييز أي استمرارية في شكل هذا الخليط الذي يتكون من طور واحد و لا نستطيع فصل مكوناته بالطرق الميكانيكية البسيطة مثلا: محلول الملح في الماء، الهواء ..

(ب) الخليط غير المتجانس :

يمكن التمييز بين مكوناته بالعين المجردة أو بالمجهر ، و هذا ما يوضح عدم الاستمرارية ، و هو مكون من طورين على الأقل مثل : الغرانيت (كوارتز ، ميكا و فيلسبات) ، البوكسيت (الومنيوم و حديد) ، الدم (الهيم و البلازما) ،.....

(3) الأجسام الندية :

إن الخاصية الأساسية التي تميز الأجسام الندية عن الخليط هي عدم تغير خصائصها الفيزيائية و الكيميائية مهما كانت طرق الحصول عليها و هي كيانات لا تحتوي إلا على جزيئات متماثلة متطابقة و يمكن أن تكون أجساما بسيطة أو مركبة مثل : مياه البحر هي أجسام خلية لها كثافات و درجات حرارة غليانها مختلفة حسب مناطقها الجغرافية . أما بعد تقطيرها (تنتهي) فإننا نحصل على الماء النقي الذي له كثافة ثابتة و درجة غليان ثابتة أيضا T_{eb} و هذا تحت ضغط جوي ($P = 1 \text{ atm}$) و بصرف النظر عن مصدره .

(4) الأجسام البسيطة - الأجسام المركبة :

يمكن تفكيك بعض الأجسام الندية إلى أجسام ندية أخرى بطرق معينة مثلا :



و بهذا يبدو أن الماء عبارة عن جسم مركب ، أما الهيدروجين والأوكسجين فإنهما يقاومان أي تفكك كيميائي وعليه فهما عبارة عن أجسام بسيطة أو عناصر (إذن الماء جسم مركب مكون من أجسام بسيطة هي الهيدروجين والأوكسجين).

5) مفهوم الجزيء والذرة :

على مستوى هذا المقرر فإن المادة تبدو للكيان غير منقطعة ولكن ثبتت عدة تجارب عكس ذلك أي أن المادة لها مفهوم دقائق عنصرية صغيرة (القوانين الوزنية). إذن الأجسام الندية تتكون من دقائق عنصرية صغيرة تسمى الجزيئات .

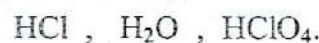
(أ) تعريف الجزيئ:

" هو أصغر كتلة جسم نقى له خصائص معينة "

H_2O	$m = 30 \cdot 10^{-27} kg$
O_2	$m = 53 \cdot 10^{-27} kg$
H_2	$m = 3,34 \cdot 10^{-27} kg$

إن الجزيئات نفسها تتكون من دقائق عنصرية صغيرة تسمى بالذرات .

- و هي مميزة للأجسام البسيطة
- يتكون جزيء الأجسام البسيطة من مجموعة ذرات متطابقة .
- يتكون جزيء الأجسام المركبة من مجموعة ذرات مختلفة .



أجسام بسيطة

أجسام مركبة

ملاحظة : O_2 (أوكسجين) ، O_3 (أوزون) جسمان من نفس النوع لكن مختلفان في الخواص .

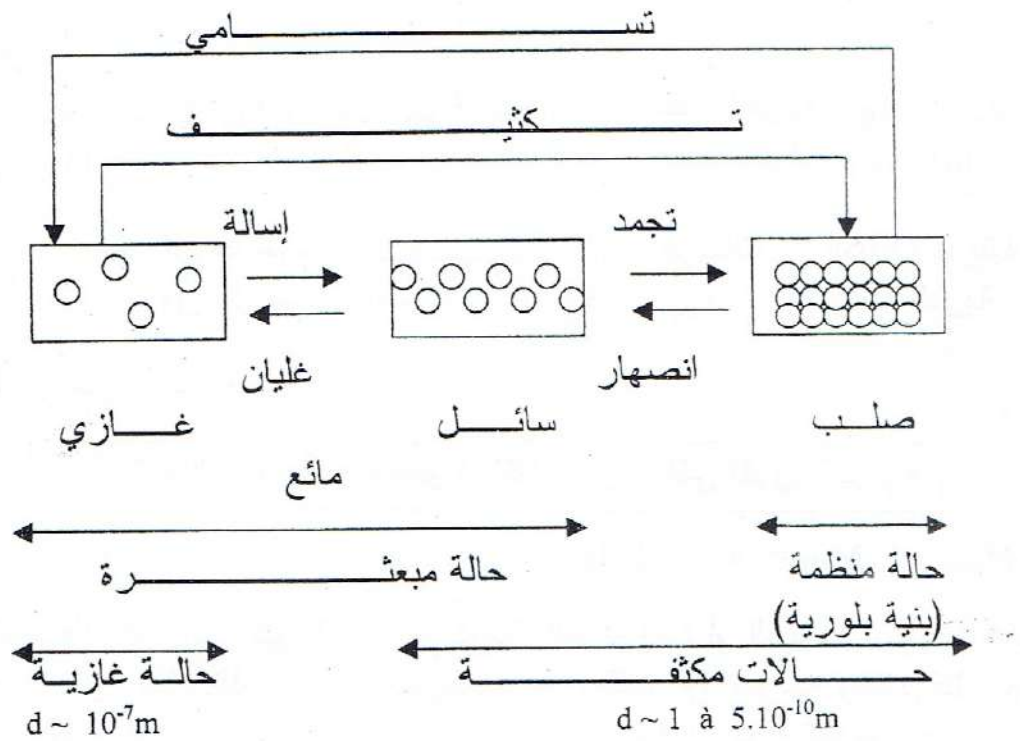
(ب) تعريف الذرة:

" هي أصغر جزء من جسم بسيط (العنصر) يمكنها أن تدخل في التفاعل مع جسم بسيط آخر لتعطي جسمًا أو أجسامًا مركبة "



II. حالات المادة :

توجد المادة في ثلاثة حالات : صلبة ، سائلة أو غازية (الضغط و درجة الحرارة عاملان أساسيان لتغيير حالة المادة) .



توضيعات نسبية للجزيئات في الحالات المختلفة للمادة

توجد حالة رابعة وهي : البلازما ($T > 1 \text{ million } ^\circ\text{C}$)

(1) عدد أفوغادرو Avogadro. المفهوم المولي

تحتوي أحجام متساوية من غازات مختلفة في ظروف واحدة من الضغط و درجة الحرارة على نفس العدد من الجزيئات (غازات مماثلة للغازات الكاملة).

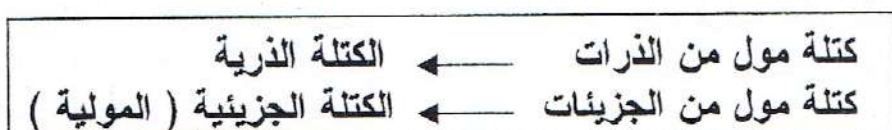
تعريف 1 : يدعى الرقم N بعده أفوغادرو . و هو عدد الجزيئات الموجودة في غاز كامل حجمه 22.4 لتر في شروط نظامية من الضغط و درجة الحرارة ($T = 0^\circ\text{C}$, $P = 1 \text{ atm}$) . لقد أدى معظم القياسات الفيزيائية لتعيين $N = 6,02 \cdot 10^{23}$ (لتعيين N انظر الإشعاعية).

تعريف 2 : نقول عن مول من جسم نقى هو كتلة نظام يحتوى على N جزيئا من هذا الجسم .

- | | | |
|---|--|--|
| N
جزيئات
N
ذرات
N
جسيمات | \longleftarrow
\longleftarrow
\longleftarrow | مثال : - 1 مول من جزيئات
- 1 مول من الذرات
- 1 مول من جسيمات |
|---|--|--|

(2) الكتلة الذرية و الكتلة الجزيئية :

إن المول هو وحدة الكميات



مثال :

$$\begin{array}{ll} M_{H_2O} = 30 \cdot 10^{-27} \text{ kg} ; & \text{الكتلة المولية} = 30 \cdot 10^{-27} \text{ kg} \times N \# 18 \cdot 10^{-3} \text{ kg} = 18 \text{ g} \\ M_{O_2} = 52 \cdot 10^{-27} \text{ kg} ; & \text{الكتلة المولية} = 52 \cdot 10^{-27} \text{ kg} \times N \# 32 \cdot 10^{-3} \text{ kg} = 16 \text{ g} \end{array}$$

$$\begin{array}{l} \text{جزيئات} = \text{الكتلة الجزيئية (المولية)} \\ \text{ذرات} = \text{الكتلة الذرية} \end{array} \quad \begin{array}{c} N \\ \longleftarrow \\ N \end{array} \quad \begin{array}{l} 1 \text{ مول من جزيئات} \\ 1 \text{ مول من الذرات} \end{array}$$

يتكون الجزيء من اتحاد ذرات

الكتلة المولية = مجموع الكتل الذرية التي تكون الجزيء

$$M_{(H_2O)} = M_{(O)} + 2 \cdot M_{(H)} = 16 \text{ g} + 2 \cdot 1 \text{ g} = 18 \text{ g}$$

نلاحظ أنه يكون من غير الأنساب استعمال الغرام (g) أو الكيلوغرام (kg) كوحدة كتل في التعبير عن كتل الذرات أو الجزيئات. و يمكننا أن نعرف وحدة كتل جديدة : هي وحدة الكتل الذرية حسب ما يلي :

$$1/12 \text{ كتلة الكربون - 12} = 1 \text{ u.m.a}$$

$$12 \text{ g C-12} = 12 \text{ u.m.a} \times N$$

$$1 \text{ u.m.a.} = 1/12 \times 12 \text{ g} / N = 1 \text{ g} / N = 1,66 \cdot 10^{-24} \text{ g}$$

ملاحظة :

كتلة جزيء المعطاة بوحدة الكتل الذرية (u.m.a) تساوي عددياً كتلة 1 مول معطاة بالغرام
مثال : الكربون - 12 (C-12)

الكتلة الذرية : 12 u.m.a

الكتلة المولية : 12g

III. القوانين الأساسية في الكيمياء :

ندرس قوانين اتحاد الأجسام التي تمكنا من تحديد بنية المادة (فالماء ينتج عن اتحاد الهيدروجين والأوكسجين بنسبة محددة).



بتحليل الكثير من المنتجات الأخرى يمكن أن نلاحظ اتحاد مواد مماثلة للمعادلة السابقة .
من مثل هذه التحاليل نستطيع إيجاد قانون النسب الثابتة و قوانين أخرى عرفت في أواخر القرن XVII و في بداية القرن XIX و هذا عمل على ترقية علم الكيمياء إلى مستوى علم الفيزياء بقيت هذه القوانين كأساس للكيمياء الكلاسيكية و لكن التطور بين أن هذا يبقى صحيحاً فقط في بعض الحالات.

القانون الأول : قانون انحفاظ الكتلة (لا فوازير Lavoisier 1771)
 " تبقى كتلة نظام معزول ثابتة مهما كانت التحولات الكيميائية التي تطرأ عليه ".
 و بمعنى آخر : " المادة لا تفنى و لا تخلق من عدم و لكنها تتحول "
 مثال :



حدود التطبيق :

هذا القانون يمكن أن يكون غير دقيق ، في الكيمياء النووية و عليه فإن الطاقات الناتجة عن تغيرات الكتلة لا يمكن إهمالها .

القانون الثاني : قانون انحفاظ العناصر (لا فوازير Lavoisier 1771)
 " إن طبيعة و كتلة العناصر المختلفة الممكن استخلاصها من نظام تكون ثابتة مهما كانت التحولات الكيميائية و الفيزيائية التي تطرأ عليها " .
 مثال :



انطلاقاً من الهيدروجين و الأوكسجين يتكون جزء من الماء .
 H_2O يتكون من عنصرين هيدروجين و أوكسجين .

حدود التطبيق :

إن اكتشاف بيكري Becquerel سنة 1896 م لظاهرة الإشعاعية متبرعة بأعمال بير و ماري - كوري Pierre et Marie Curie في الإشعاعية الاصطناعية ، أظهرت أن التحولات الإشعاعية لا يمكن أن تبرهن على شكل هذا القانون (و هي أن عنصراً ما يمكن أن يتحول إلى عنصر آخر Ra (مشع) $\xleftarrow{\quad}$ $\xleftarrow{\quad}$ $\xleftarrow{\quad}$ Pb (مستقر)) (انظر فصل الإشعاعية) و كذلك أعمال رutherford Rutherford التي تؤكّد حدود هذا القانون



القانون الثالث : قانون النسب المعينة (بروست Proust 1801)
 " النسب الوزنية للعناصر المتحدة تكون ثابتة لكيان كيميائي محدد "



$$\text{H}_2 = 2 / 18 = 11,12 \%$$

$$\text{O}_2 = 16 / 18 = 88,88 \%$$



حدود التطبيق :

تجلّي محدودية هذا القانون بتواجد النظائر مثل : النسبة المئوية الأوكسجين تلك التي نجدها في الماء المتجمد (الصادر عن مياه القطب الشمالي أو الجنوبي) تختلف مما

نحوه $O_2 \neq 88,88\%$) أو نظائر الرصاص التي يمكن الحصول عليها من المعدن الخام

القانون الرابع : قانون النسب المضاعفة (Dalton 1803) "عند اتحاد عنصرين ليشكلا عدّة مركبات ، فإن الكتل المختلفة لأحد العنصرين الذي يتحد مع نفس الكتلة للعنصر الآخر ، إن هذه الكتل تكون متناسبة تابياً بسيطة فيما بينها".
مثال :



حدود التطبيق : الفحوم الهيدروجينية $C_9\text{H}_{20}$ $C_{27}\text{H}_{56}$ $C_{35}\text{H}_{72}$
مثال : كتل الهيدروجين التي تتحد مع نفس الكتلة من الكربون لا تشكل نسباً بسيطة

$$\begin{array}{l} 20/9 \neq 56/27 (= 20 \times 3/9 \times 3) \neq 35/72 \\ 56/27 (= 7 \times 8/9 \times 3) \neq 35/72 (= 7 \times 5/9 \times 8) \end{array}$$

القانون الخامس : قانون الاتحادات الغازية (Gay Lussac 1809)
"عند اتحاد غازين معاً ، فإن نسب أحجامها تكون بسيطة"
مثال :



ملاحظة : عندما تكون المركبات غازية في تفاعل كيميائي يكون من السهل استعمال الأحجام دون الكتل لأن الكتل لا تكون دائماً نسباً بسيطة .

تمارين

التمرين 1.I :

ميز مما يلي الخليط من الجسم النقى و من بينها الجسم البسيط من الجسم المركب :
الهواء ، الماء المعدنى ، البنزين ، H_2O ، الخل ، الألماس ، الحليب ، N_2 ، حمض الخل
(CH_3COOH) ، الدم ، الصلب.

التمرين .I.2 :

أ) أعط بالغرام (g) كتلة :

- ذرة من الزنك (Zn) $(65,37) \cdot 3,62 \cdot 10^{24}$ -

- جزيء من الماء $H_2O \cdot 6,02 \cdot 10^{21}$ -

ب) في 0,6 مول من ثاني أكسيد الكربون CO_2 كم نجد من :

- غرام من ثاني أكسيد الكربون CO_2

- ذرة من الكربون C و من الأوكسجين O

- جزيء من ثاني أكسيد الكربون CO_2

التمرين .I.3 :

كم مولا من الغليكوز Glucose توجد في 21,6 g من $C_6H_{12}O_6$ و كم من غرام من البيريا uree $CO(NH_2)_2$ توجد في 0,2 مول.

التمرين .I.4 :

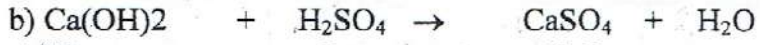
أ) أوجد كتلة واحد مول من الهيم Hémoglobine علما أنها تحتوي على كتلة من الحديد تقارب 0,3 % و ذرة واحدة من الحديد في الجزيء الواحد.

ب) أعط حوصلة تفاعل واحد مول من الهيدروجين مع مول واحد من الأوكسجين
(نفرض أن التفاعل تام)

المعطيات : $M(Fe) = 55,8$

التمرين .I.5 :

وازن التفاعلات التالية



التمرين .I.6 :

يحرق غرام واحد g من القصدير (Sn) بفعل الأوكسجين لتشكيل 1,27 g من ثاني أكسيد القصدير. ما هي الصيغة المجملة الممكنة ؟

المعطيات : $Sn = 118,5$ $O = 16$

التمرين .I.7 :

تساوي كتلة ذرة الكربون-12 : $m_{C-12} = 1,99 \cdot 10^{-23} g$ ، استنتاج كتلته بوحدة الكتل الذرية u.m.a و عدد أفروغادرو.

I. عموميات :

إذا كان الجزيء هو أصغر جزء من الأجسام النقية الذي تتشكل منه المادة فإن الذرة هي الخلية أو الكيان الأساسي الذي يدخل في تركيب المادة. تتميز الذرة بكتلتها (برتبة $m = 10^{-23}$ m) و نصف قطرها ، و هذا بفرض أن الذرة كروية (برتبة الأنغستروم $1 \text{ \AA} = 10^{-10} \text{ m Angström}$).

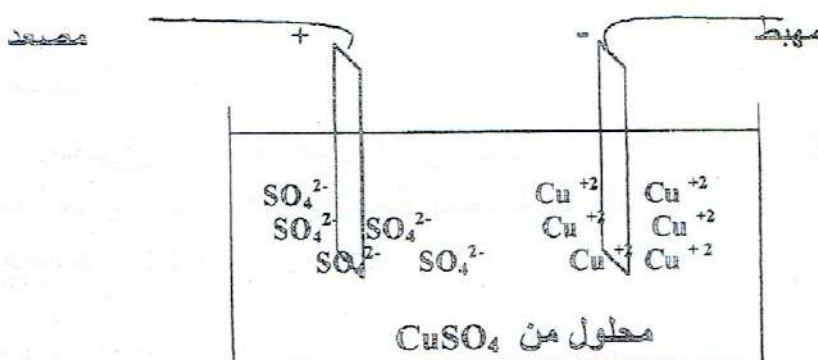
تتميز بنية الذرية بثلاث مراحل أساسية :

- * اكتشاف الكهرباء و الطبيعة الكهربائية للمادة : فاراداي Faraday (1900).
- * اكتشاف أن الذرة تتكون من نواة موجبة تدور حولها إلكترونات سالبة حيث تكون الجملة نواة / إلكترون متعادلة كهربائيا [1911-1932] و منها نشير إلى بحوث كل من : كرووكس Crookes (الإلكترون) ، طومسون J.J.Thomson (حساب النسبة e/m) ، ميلikan Millikan (حساب e/m) ، غولشتاين Goldstein (النواة) ، رونرفورد Rutherford (البروتون) ، شادويك Chadwick (النيوترون)
- * اكتشاف القوانين الميكانيكية التي تحكم في سلوك الإلكترون داخل الذرة ~ 1925 (بوهر Bohr ، سومرفيلد Sommerfeld ، بلانك Planck ، شروينيغار Schrödinger ، هيزنبرغ Heisenberg ، دوبري De Broglie).

II. الإلكترون :

1) الطبيعة الكهربائية للمادة :

أظهرت أهم الدلائل في اكتشاف طبيعة الكهرباء و العلاقة بين المادة و الكهرباء بعض نتائج البحث التجريبية التي قام بها فاراداي Faraday عام 1833 في ميدان التحليل الكهربائي.



و يمكن تلخيص نتائج تجاربه فيما يلي :

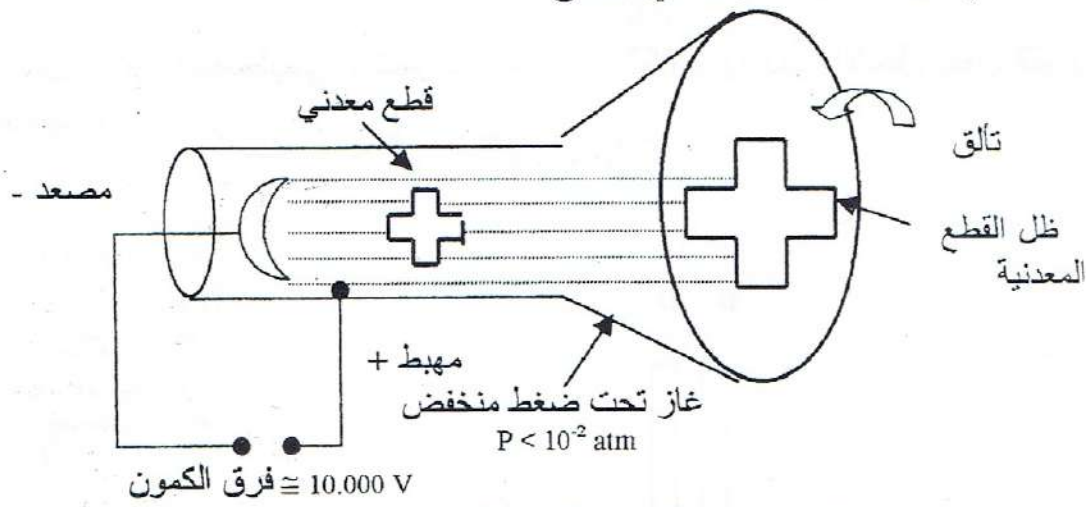
- * يكون وزن المادة المترسبة على أحد المسريين ثابتا بفعل كمية معينة من الكهرباء .

- تتناسب الأوزان المكافئة للمواد المختلفة المترسبة أو المنطلقة أو المنحللة على أحد المسربيين بفعل كمية ثابتة من الكهرباء.
إن ظهور أعداد صحيحة دليل على أن الكهرباء مكونة من دقائق عنصرية دقيقة و أن الذرات تحوي مثل هذه الدقائق .

(2) إثبات وجود الإلكترون :

إن البرهان التجريبي القاطع على وجود الإلكترون و تعين خواصه أصبح جليا من خلال البحوث التي قام بها كرووكس Crookes سنة 1879 عن قابلية النقل الكهربائي للغازات تحت ضغط منخفض .

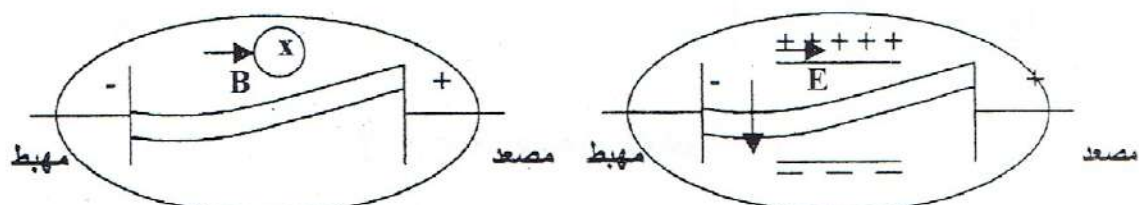
تعتبر الغازات عادة ، مواد عازلة للكهرباء لكن عند خضوعها لتوترات عالية (50.000 V) و تحت ضغط قيمته أقل من 0,01 atm. تنهار مقاومتها فتسمح بمرور التيار الكهربائي الذي يعتبر مصدرا للضوء. تستمر قابلية النقل الكهربائي عند انخفاض الضغط إلى حوالي 10^4 atm ، ثم يتلاقص اللمعان وإذا كان فرق الكمون عاليا (من 5.000 V إلى 10.000 V) فإن الأنابيب الزجاجي يصبح متالقا .



تمثيل خطى لأنبوب التفريغ لكروكس .

يبين ظل الصليب أن الأشعة تنتشر في خط مستقيم و أن مصدرها هو المهبط ولهذا تدعى بالأشعة المهبطية .

• يمكن انحراف هذا الأشعة بأية مادة معدنية مهما كان نوعها و هي تنتشر في خطوط مستقيمة محملة بدقائق طاقوية .



تمثيل خطى لجهاز دراسة الانحراف

- أدت دراسة انحراف الأشعة تحت تأثير الحقل المغناطيسي أو الكهربائي إلى استنتاج ما يلي : الأشعة المهبطية عبارة عن دقائق لها وزن (توقف من طرف المادة) مشحونة سلباً و تحمل طاقة (ظاهرة اللمعان).
- توجد مثل هذه الدقائق في جميع الأجسام مهما كان نوع الغاز المستعمل في أنبوب التفريغ وهي من مكونات المادة التي دعاها ستوني Stoney سنة 1891 بالإلكترونات.

(١) تعيين النسبة e/m : (تجربة ج.ج.طومسون J.J.Thomson)

تُخضع حزمة من الأشعة المهبطية محددة باللوهين D و D' و تحت ضغط مفرغ إلى فعل متزامن لحقل مغناطيسي و حقل كهربائي. إن فعل أحد هذين الحقولين سوف يحرف الأشعة عن مسارها الابتدائي (الانحراف المسبب بواسطة \vec{B} يكون باتجاه عكس ذلك الذي نتج عن الحقل الكهربائي \vec{E}).

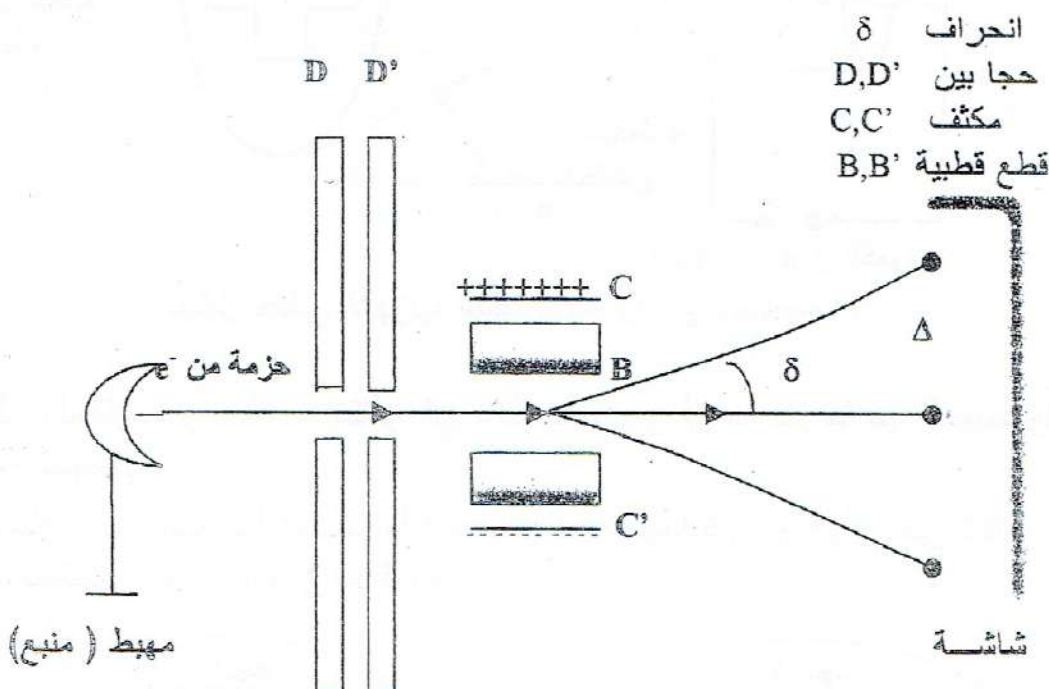
• فعل الحقل الكهربائي : تتحرف الحزمة الإلكترونية نحو الأعلى بفعل القوى الكهربائية :

$$\rightarrow \rightarrow$$

$$/\!f_e/\! = e.E$$

• فعل الحقل المغناطيسي : تتحرف الحزمة الإلكترونية نحو الأسفل بفعل القوى المغناطيسية :

$$/\!f_m/\! = q.B \wedge v$$



جهاز ج.ج.طومسون لقياس e/m

تبث شدة الحقل الكهربائي E و تضبط شدة الحقل المغناطيسي B بحيث تأخذ حزمة الأشعة مسارها الأفقي (الابتدائي) و في هذه الشروط يكون :

$$\| \vec{f}_m \| = \| \vec{f}_e \| \Rightarrow Bev = Ee \Rightarrow v = E / B$$

و في المرحلة الثانية يحذف الحقل المغناطيسي B ثم نقيس الانحراف الناتج بواسطة E . وقت مرور الحزمة بين لبوسي المكثف هو $t = 1/v$ ، $\delta = 1/2 \cdot g \cdot t^2 = 1/2 \cdot g \cdot (L/v)^2 = 1/2 \cdot (e \cdot E/m) \cdot (L^2 B^2 / E^2)$ و يمكن قياس الانحراف δ بمعرفة Δ . العلاقة بين الانحراف δ و γ و الزمن t تكون كما يلي :

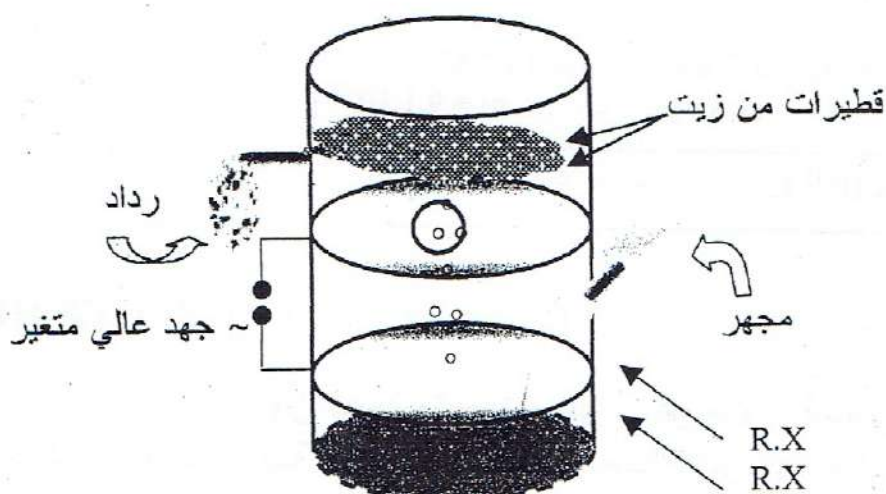
$$\| \vec{f}_e \| = e \cdot E \quad \vec{f} = m \cdot \vec{v} \Rightarrow \gamma = e \cdot E / m \\ t = L / v \quad (v = E / B) \quad \delta = 1/2 \cdot g \cdot t^2 = 1/2 \cdot (e \cdot E/m) \cdot (L^2 B^2 / E^2) \Rightarrow e / m = 2 \cdot \delta E / L^2 B^2$$

تؤدي مختلف القياسات إلى قيمة دونية للنسبة e/m (مع $e = q$) وهي :

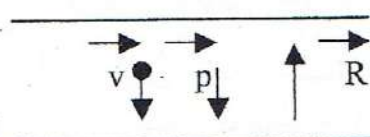
$$e / m = 1,76 \cdot 10^{11} \text{ C/kg} = 5,57 \cdot 10^{17} \text{ u.e.s/g}$$

ب) حساب e و m : (تجربة ميلikan. Millikan)

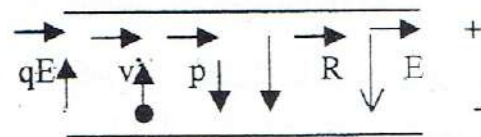
ندخل بواسطة بخاخة رذاذ قطرات من سائل غير طبار (زيت ، زئبق..) في غرفة الملاحظة و التي تشحن كهربائيا بالتصادم مع أيونات غازية الناتجة عن تهافت الراديوم Ra أو بفعل الأشعة السينية RX على الهواء ثم تخضع لفعل حقل كهربائي متغير الذي يعكس اتجاهه بصورة متزامنة (يتبع سلوك القطيره بواسطة المجهر). تسمح هذه العملية بقياس سرعة سقوط أو صعود القطرة.



جهاز ميلikan لقياس e و m



الرسم رقم 1



الرسم رقم 2

* عند انعدام الحقل الكهربائي E (الرسم رقم 1) تسقط القطيررة بفعل قوة الجاذبية وحركتها غير المنتظمة (بسبب مقاومة الهواء) تتلاشى و تصبح سرعتها ثابتة و حدية (بتطبيق قانون استوكس Stockes). يمكن حساب m و v انطلاقا من p و r .

$$\vec{P} + \vec{R} = \vec{0} \quad \text{عند الحد}$$

$$\vec{P} = m \cdot g \quad ; \quad \vec{R} = 6\pi\eta r v \quad ; \quad \rho = m/V \quad (V = 4/3 \pi r^3) \Rightarrow v = m \cdot g / 6\pi\eta r$$

m : كتلة القطيررة
r : نصف قطر القطيررة
η : لزوجة الهواء
g : الجاذبية

* نطبق حقل كهربائي بحيث يكون معاكس لسقوط القطيررة (الرسم رقم 2). تبدو القطيررة ساكنة عند اللحظة t .

$$\vec{P} + \vec{R} + \vec{f_e} = \vec{0} \quad \Rightarrow m \cdot g + 6\pi\eta r v' = q \cdot E \quad \text{عند الحد}$$

$$6\pi\eta r v' = q \cdot E - m \cdot g \quad \Rightarrow v' = (q \cdot E - m \cdot g) / 6\pi\eta r$$

نستطيع حساب q حيث m, g, η و r ثوابت معروفة، E و v' مقاسة .
بينت مختلف القياسات أن q يكون دوما مضاعفا طبيعيا ل $4,8 \cdot 10^{-10} \text{ u.e.s}$ (وحدة الكتروستاتية) وبهذا يمكن القول أن الكهرباء مكونة من دقائق مشحونة و وحدتها العنصرية تساوي $4,8 \cdot 10^{-10} \text{ u.e.s}$.

$$e = 4,8 \cdot 10^{-10} \text{ u.e.s} = 1,6 \cdot 10^{-19} \text{ C}$$

$$e/m = 5,27 \cdot 10^{17} \text{ u.e.s/g} \Rightarrow m = 9,1 \cdot 10^{-28} \text{ g}$$

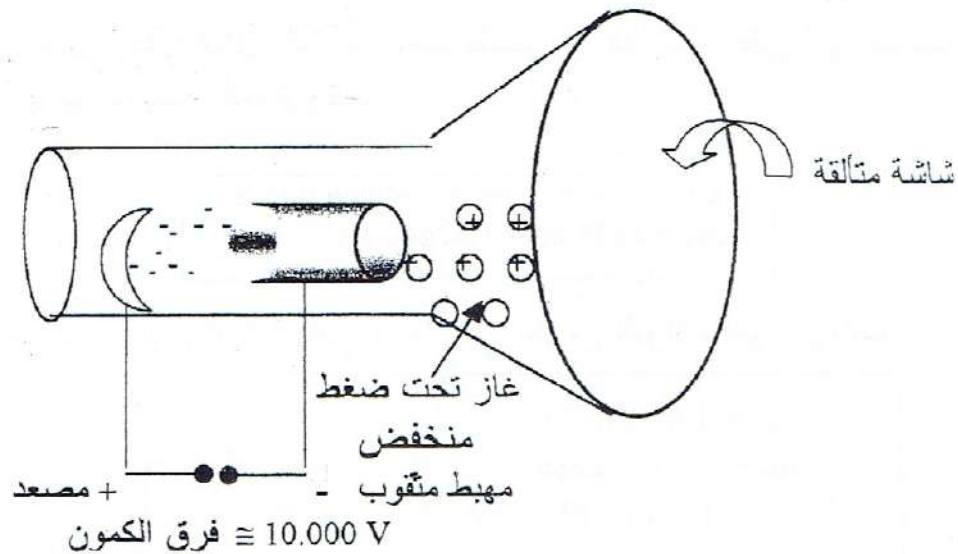
$e = 1,6 \cdot 10^{-19} \text{ C}$ $m_e = 9,1 \cdot 10^{-31} \text{ kg}$

III. النواة الذرية :

يعتبر الإلكترون دقيقة مشحونة سلبا و هو مكون أساسى للمادة، الأمر الذى يستلزم وجود جسيمات موجبة حيث تكون المادة معندة كهربائيا. مثل هذه الجسيمات موجودة في النواة.

(1) إثبات وجود النواة : (تجربة غولشتاين Goldstein 1886)

لهذا الغرض أخذ غولشتاين بتجربة كروكس و استبدل المهبط باخر متقويا نلاحظ بجانب إصدار الأشعة المهبطية (الإلكترونات) انتشار إشعاع خلف المهبط (في اتجاه معاكس لمسار الإلكترونات) و الذي يbedo من خلال لمعان في نهاية الأنابيب و هي أشعة مكونة من دقائق شحنتها موجبة تسمى بالأشعة القنوية .



تمثيل خطى لتجربة غولشتاين. *Goldstein.*

- تحرّف الأشعة الفنوية بفعل الحقل الكهربائي أو الحقل المغناطيسي في اتجاه عكس الأشعة المهبطية.
- انحراف الأشعة الفنوية أقل أهمية من أشعة المهايد (دقائق أكثر تقلاً) وهذا الانحراف يعتمد على طبيعة الغاز المستعمل في أنبوب التفريغ و كذلك جسيماته المشحونة إيجاباً و التي لها كتلة أكبر من كتلة الإلكترون و لكنها تساوي تقريرياً كتلة الغاز المستعمل.

(2) مكونات النواة :

(أ) البروتون (*Rutherford.*)

من المعروف أن الدائق α يمكن إيقافها ب 7 cm من النيتروجين N_2 . نلاحظ خلف هذا السمك إصدار إشعاع يتاثر بفعل الحقل الكهربائي أو المغناطيسي \Leftarrow هي دقائق شحنتها موجبة و عند تعادلها، تصبح ذرات الهيدروجين.



يعتبر هذا التفاعل أول تفاعل نووي اصطناعي.
البروتون $p =$ نواة الهيدروجين

$p : q = 1,6 \cdot 10^{-19} \text{ C}$,	$m_p = 1,00727 \text{ u.m.a}$
$m_p = 1837 \text{ m}_e$	$= 1,6721 \cdot 10^{-27} \text{ kg}$

(ب) النيوترون (*Chadwick.*) شاديوك

عند قذف معادن خفيفة مثل البارليوم (Be) ، الليثيوم (Li) أو البور (B) بواسطة جسيمات α يصدر عنها إشعاعات جديدة تخترق بسهولة المعادن.

ولا تتأثر بفعل الحقل الكهربائي أو المغناطيسي و هذا يدل على أنها جسيمات متعادلة كهربائيا سميت بالنيوترونات.

$$n : \quad q = 0, \quad m_N = 1,00866 \text{ u.m.a} \\ m_N = 1839 \text{ m}_e = 1,6744 \cdot 10^{-27} \text{ kg}$$

تسمى النيوترونات والبروتونات التي تدخل في تكوين النواة بالنيوكليونات

$q = 1,6 \cdot 10^{-19} \text{ C}$	$\left. \begin{array}{c} \text{البروتون} \\ m_p = 1,0077 \text{ u.m.a} \\ = 1,6721 \cdot 10^{-27} \text{ kg} \end{array} \right\}$	$\left. \begin{array}{c} \text{النواة} \\ \text{النيوترون} \\ \text{الذرة} \end{array} \right\}$
$q = 0$		
$m_N = 1,00866 \text{ u.m.a}$	$\left. \begin{array}{c} \text{النيوترون} \\ = 1,6744 \cdot 10^{-27} \text{ kg} \end{array} \right\}$	
$q = 0$	$\left. \begin{array}{c} \text{الإلكترون} \\ m_e = 0,000548 \text{ u.m.a} \\ = 9,1 \cdot 10^{-31} \text{ kg} \end{array} \right\}$	
		$1 \text{ u.m.a} = 1,66 \cdot 10^{-27} \text{ kg}$

خواص الذرة

٨٤٦١

(3) مصطلحات :

لنعتر ذرة عددها الذري Z و التي هي متعادلة كهربائيا فرمز لها ب:

$$A = Z + N \quad \begin{matrix} A \\ X \\ Z \end{matrix}$$

Z هو عدد البروتونات ، العدد الذري

N هو عدد النيوترونات

A هو عدد النيوكليونات أو عدد الشحن (عدد كامل يقارب كتلة الذرة) أو عدد الكتلة .
مثال : الأوكسجين

$^{16}_{8}\text{O}$

$$A = 16 \quad Z = 8 \Rightarrow N = A - Z = 8$$

حتى عنصر الكالسيوم $^{20}_{16}\text{Ca}$ (Calcium) عدد البروتونات يساوي عدد النيوترونات ($N/Z = 1$)
انطلاقا من هذا العنصر ترتفع النسبة N/Z من 1 إلى 1,6 .

$^{209}_{83}\text{Bi}$:

$$Z = 83 \quad A = 209 \quad N = 126 \quad N/Z = 1,51$$

$^{238}_{92}\text{U}$:

$$Z = 92 \quad A = 238 \quad N = 146 \quad N/Z = 1,58$$

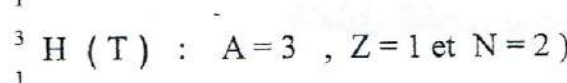
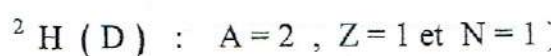
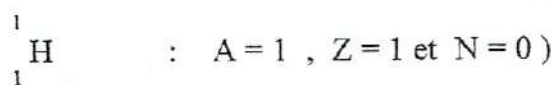
وعندما تفوق النسبة N/Z 1,51 تصبح النوى غير مستقرة .

تحتوي الذرة على عدد من البروتونات Z ذات الشحنة الموجبة و الذي يسمى بالعدد الذري و لكي تكون الذرة متعادلة يجب أن تحتوي على نفس العدد من الإلكترونات ويمكن للذرة أن تحتوي على عدد من النيوترونات مساو لعدد البروتونات أو أكثر. إن مثل هذه العناصر التي تختلف عن بعضها بعدد النيوترونات فقط تتمتع بخواص كيميائية مماثلة و خواص فيزيائية متقاربة تدعى بالنظائر.

(4) النظائر :

انطلاقاً من الأعداد A ، Z و N نستطيع تعريف بعض المصطلحات الآتية :

- الإيزوترونات وهي تملك نفس عدد النيوترونات (N) .
 - الإيزوبارات وهي تملك نفس عدد النيوكليونات (A) و تختلف عن بعضها بعدد البروتونات و النيوترونات و لها كتل متقاربة.
 - الإيزوإلكترونية وهي تملك نفس عدد الإلكترونات.
 - النظائر تختلف مكونات النواة فيها بعدد النيوترونات و لكن لها نفس عدد البروتونات (نظائر لنفس العنصر).
- مثال :



نظائر الهيدروجين

ملاحظة :

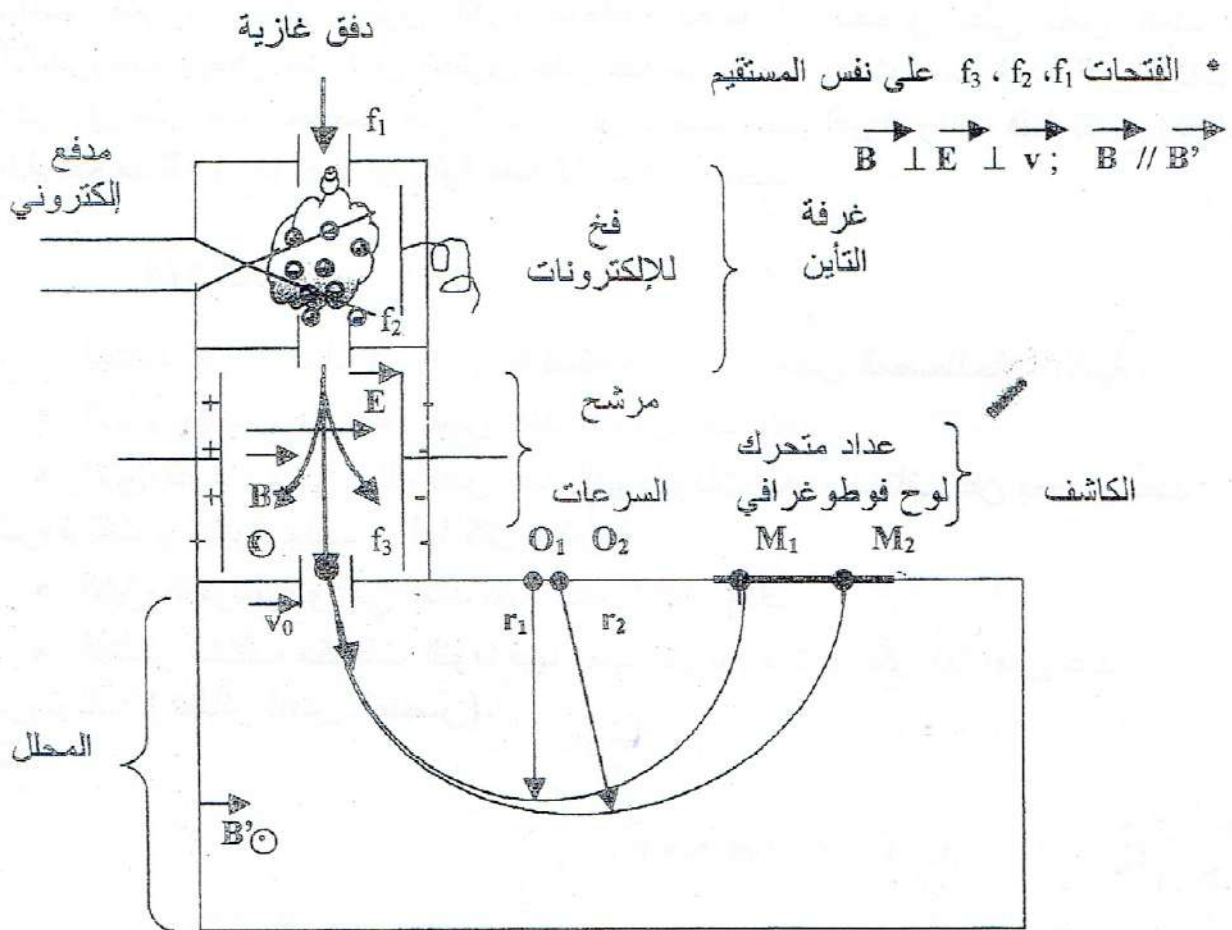
العدد الذري Z هو عدد البروتونات المكونة لنواة أي عنصر كيميائي. من أجل تعين هذه النظائر وقياس كتلها يستعمل أجهزة مطافية الكتلة التي تسمح بفصل الأيونات أو الشوارد ذات النسب q/m المختلفة. يوجد نوعان من مطافية الكتلة:

- * النوع الذي يستعمل أيونات مختلفة السرعة (طومسون. Thomson. ، آستون. Aston.)
- * النوع الذي يستعمل أيونات متساوية السرعة (دنبستير. Dempster. ، بانبريدج. Bainbridge.)

(5) مطياف الكتلة لباتبريدج Bainbridge

يتكون الجهاز من أربعة أجزاء :

- أ) غرفة التأين
- ب) مرشح السرعات
- ت) محلل
- ث) الكاشف



التمثيل الخطى لمطیاف بانبریدج Bainbridge

أ) غرفة التأين:

عند إدخال الجزيئات أو الذرات المراد تحليلها من الفتحة f_1 تتأين بقذفها بواسطة المدفع الإلكتروني فتشكل حزمة من الأيونات الموجبة مختلفة السرعة وكذلك تتكون دقائق سالبة يتم حجزها في الفخ. إذن تتشكل حزمة من الأيونات الموجبة ذات حركية غير متجانسة (أيونات موجبة لها سرعات مختلفة).

ب) مرشح السرعات :

تتمكن الأيونات المتسربة من الفتحة f_2 بسرعات مختلفة فتخضع حينئذ للفعل المترافق لحقلين E و B المتعامدان فيما بينهما و على مماس مسار الحزمة الموجبة. علما أن الفتحات الثلاثة f_1 ، f_2 و f_3 توجد في نفس الخط لا تمر من الفتحة f_3 إلى المحلول إلا الأيونات التي انحرفت بفعل الحقل الكهربائي الذي أصبح معروضاً بفعل الحقل المغناطيسي

$$\vec{B} \perp \vec{E} \quad \vec{f}_e = -\vec{f}_m \quad |\vec{f}_e| = |\vec{f}_m|$$

$$\begin{aligned} \vec{f}_e &= q \vec{E} \\ \vec{f}_m &= q \vec{v} \wedge \vec{B} \end{aligned} \quad |\vec{f}_e| = q \cdot E \quad |\vec{f}_m| = q \cdot v \cdot B \cdot \sin(\vec{v}, \vec{B}) = q \cdot v \cdot B ; \quad (v \perp B)$$

$$q.E = q.v.B \Rightarrow$$

$$v = E / B = \text{ثابت}$$

تتمنّع الأيونات التي تعبّر الفتحة f بنفس السرعة (حزمة متجانسة السرعة)

ج) المحلول :

تُخضع الحزمة المتجانسة السرعة إلى فعل حقل مغناطيسي $B' \rightarrow (B // B')$ الذي ينبع قوّة مغناطيسية f_m ثابتة وعمودية على مماس المسار فتأخذ الحزمة مساراً دائرياً منتظمًا

$$f = m \cdot \gamma \quad \gamma_N = v^2 / r \quad |f'| = m \cdot v^2 / r$$

$$f_m = q.v \wedge B' \quad |f'_m| = q.v.B'.\sin(\vec{v}, \vec{B}') = q.v.B' ; \quad (\vec{v} \perp \vec{B}')$$

$$|f| = |f'_m| \quad (توازن ديناميكي) \quad v = E / B$$

$$m/q = r \cdot B \cdot B' / E \quad \text{أو} \quad m/q = K \cdot r \quad m/q = K' \cdot D$$

$$K = B \cdot B' / E \quad K' = B \cdot B' / 2 \cdot E$$

د) الكاشف :

اللوح الفوتوجرافي يظهر نقاط اصطدام (نقيس $D \leftarrow m$) كما يمكن استعمال أبسط الكواشف: العداد المتحرك (*Geiger-Müller*) الذي يعطي عدد الأيونات الملتقطة في نقطة الاصطدام في ظرف زمني معين (min., sec.) والذي يبقى ضروريًا لتعيين التركيب النظيري لعنصر ما (النسبة المئوية لكل نظير).

المثال الأول : اللوح الفوتوجرافي

• نقىس المسافة D بين نقطة اصطدام وفتحة f ، بمعرفة q نحسب m

$$m/q = D \cdot B \cdot B' / 2E \Rightarrow m = D \cdot K'' \quad K'' = q \cdot B \cdot B' / 2 \cdot E$$

• من أجل نقطتي اصطدام ، نقىس المسافة التي تفصلهما

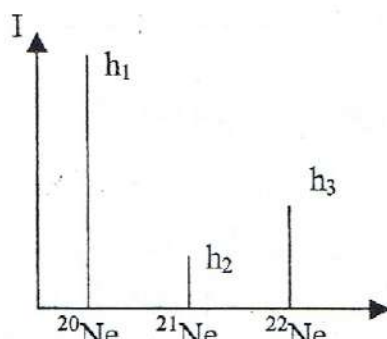
$$m_1/q = D_1 \cdot B \cdot B' / 2 \cdot E \quad \text{et} \quad m_2/q = D_2 \cdot B \cdot B' / 2 \cdot E \Rightarrow$$

$$m_2 - m_1 = (D_2 - D_1) q \cdot B \cdot B' / 2 \cdot E = d \cdot K''$$

المثال الثاني : العداد المتحرك (حساب الكتلة المتوسطة \bar{M})

• نلاحظ ثلاثة نقاط اصطدام من أجل الخليط النظيري الطبيعي لعنصر النيون (*Neon*)

الموافقة للنظائر الثلاثة $Ne-20$ ، $Ne-21$ و $Ne-22$ والتي أعطت المقاييس التالية :



$$h_1 = 1500 \text{ (Ne-20)}$$

$$^{20}\text{Ne} = 1500 / 1660 = 90,4 \%$$

$$h_2 = 10 \text{ (Ne-21)}$$

$$^{21}\text{Ne} = 10 / 1660 = 0,6 \%$$

$$h_3 = 150 \text{ (Ne-22)}$$

$$^{22}\text{Ne} = 150 / 1660 \sim 9 \%$$

$$\begin{aligned} \bar{M}_{\text{Ne}} &= (\% {}^{20}\text{Ne} + \% {}^{21}\text{Ne} + \% {}^{22}\text{Ne}) / 100 \\ &= (20 \times 90,4 + 21 \times 0,6 + 22 \times 9) / 100 = 20,186 \end{aligned}$$

• من أجل الأوكسجين الطبيعي لدينا ثلاثة نظائر

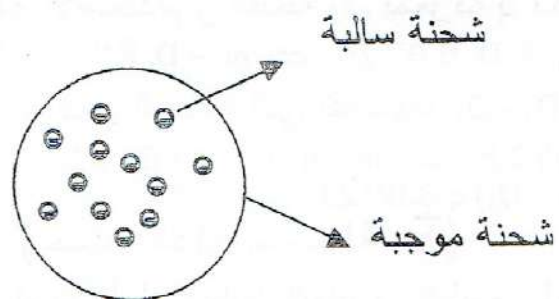
$$\begin{aligned} O-16 &= 99,759 \% \Rightarrow m = 15,99491 \text{ u.m.a} \\ O-17 &= 0,037 \% \Rightarrow m = 16,99941 \text{ u.m.a} \\ O-18 &= 0,204 \% \Rightarrow m = 17,99916 \text{ u.m.a} \\ M(O) &= 15,9994 \text{ u.m.a} \end{aligned}$$

- يتكون الهيدروجين الطبيعي من الهيدروجين $^1\text{H Hydrogène}$ و الدوتريوم $^2\text{H Deuterium}$ و التريسيوم $^3\text{H Tritium (D)}$ حسب النسبة الآتية: $^1\text{H} = 99,98\%$ ، $^2\text{H} \sim 0,02\%$ ، $^3\text{H} < 10^{-9}$
- يوجد نظيرين لعنصر البروم Br-79 Brome Azote و لنيتروجين N-14 Nitrogen و N-15 Calcium فله ستة نظائر Ca-40 ، Ca-42 ، Ca-43 ، Ca-44 ، Ca-46 ، Ca-48 Ca-48
- يُعرف لحد الآن أكثر من 1200 نظير (Radionucléide).

IV. المظهر الفراغي للمادة :

(1) نموذج طومسون Thomson

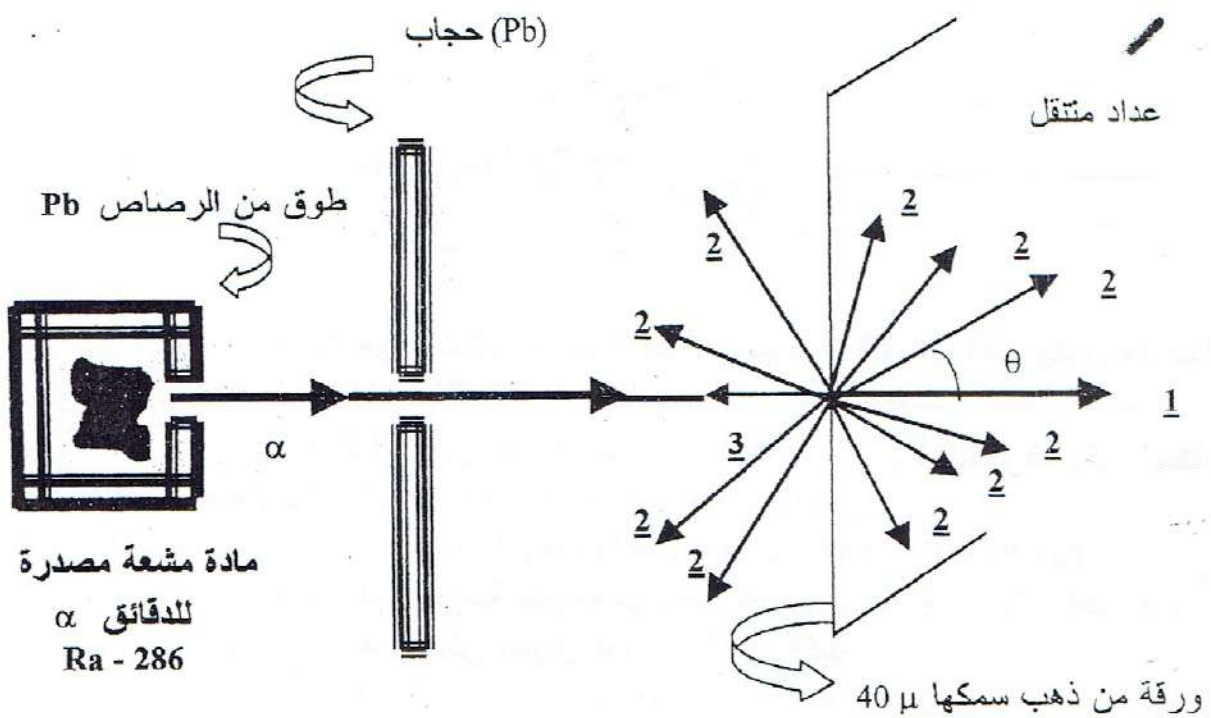
"إن الذرة عبارة عن كرة ($r \sim 10^{-8} \text{ cm}$) متجانسة من الكهرباء الموجبة والكترونات (سلبية) مثبتة في هذه الكرة بحيث تشكل التوزيع الكهروستاتي الأكثر استقرارا"



لقد تخلي الدارسون عن هذا النموذج بعد أن نشر روزارفورد Rutherford ملاحظاته حول دراسة حبيبات α عند اعترافها بورقة معدنية.

(2) نموذج روزارفورد Rutherford (1911)

الجسيمات α عبارة عن نوى الهليوم Hélium ، كتلة الوحدة منها 4 u.m.a و شحنتها $+2e$ وهي تتبع تلقائياً من بعض العناصر المشعة. نضع في اتجاه معين حاجزاً معدنياً متقوياً لتدقيق الحزمة. بعد الاصطدام بورقة من ذهب نقيس بواسطة عدد منتقل عدد الدقائق α الملقطة خلال وحدة زمنية.



التمثيل الخطى للجهاز التجريبى لروذارفورد Rutherford المستعمل فى دراسة انحراف دقائق α

دراسة حيود دقائق α بواسطة رقائق معدنية تسمح بابراز الملاحظات الآتية :
لنعتر N_0 عدد دقائق α الواردة أو الساقطة
1- أغلب دقائق α الساقطة تعبر ورقة الذهب دون انحراف ($\theta = 0^\circ$) الحزمة ١ :

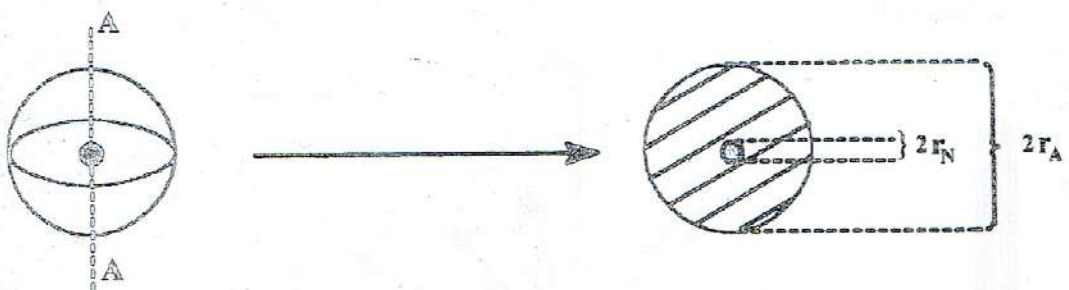
$$N_1 \# N_0$$

- 2- تحرف دقيقة واحدة من 100 دقيقة بزاوية $45^\circ < \theta < 0^\circ$
و واحدة من 10° بزاوية $150^\circ < \theta < 45^\circ$ فهي تمثل الحزمة ٢ :
3- دقيقة واحدة من 10° تعود أدراجها في الاتجاه المعاكس للحزمة الواردة
الحزمة ٣ : $N_3 (\theta = 180^\circ)$

ملحوظة : اصطدام دقائق α بالإلكترونات لا يؤثر عمليا على مسار الحزمة الساقطة
 $(m_\alpha = 8.000 m_e)$
تبين نتائج هذه الملاحظات أن الكتلة الذرية تتمرکز تقريبا كلية في مراكز موجبة (النوى)
و حولها تدور الإلكترونات.

سمحت أيضا هذه الدراسة مع اللجوء إلى قوانين الاحتمالات والإحصائيات بتعيين النسبة

$$r_N / r_A$$



- P_N هو احتمال تصاصم الدقيقة α مع نواة الذرة و الذي يكون متناسباً ترداً مع مساحة سطح النواة : $P_N = C \cdot 4\pi r_N^2$ حيث ثابت التناص C
- احتمال عبور الدقيقة α لذرة من الذهب دون ان تتحرف يكون متناسباً ترداً مع مساحتها : $P_A = C (4\pi r_A^2 - 4\pi r_N^2) \approx C \cdot 4\pi r_A^2$
- $P_N / P_A = C \cdot 4\pi r_N^2 / C \cdot 4\pi r_A^2 = (r_N / r_A)^2$
- من أجل حزمة متكونة من عدد كبير من الدقائق و التي تعبر عدداً كبيراً من صفات الذهب يمكن تطبيق قانون الأعداد الكبيرة.

$$P_N / P_A = N_3 / N_1 \quad (\text{قانون الأعداد الكبيرة}) \quad N_1 \neq N_0$$

$$N_3 / N_1 = (r_N / r_A)^2 = 1 / 10^8$$

$$r_N / r_A = 10^{-4}$$

- إذا اعتربنا r_A برتبة الأنغستروم Å ($1 \text{ Å} = 10^{-10} \text{ m}$) يكون r_N برتبة فيرمي ($1 \text{ Fermi} = 10^{-15} \text{ m}$) Fermi
- من أجل نواة شكلها المحتمل كروي تكون لدينا العلاقة :

$$r_N = 1.41 \cdot 10^{-15} \text{ Å}^{1/3} (\text{m}) \quad A = Z + N$$

الخلاصة : " تكون المادة متكونة في معظمها من فراغ "

V. النقص في الكتلة - طاقة التماسك

نلاحظ أن الكتلة المتوسطة M_{moy} لنواة ما تكون قيمتها دوماً أقل من مجموع كتل مكوناتها.

$$Z \cdot m_p + N \cdot m_N > M_{\text{moy}}$$

Z هو عدد البروتونات و m_p هي كتلة البروتون
 N هو عدد النيترونات و m_N هي كتلة النيترون
 $\Delta m = [Z \cdot m_p + N \cdot m_N] - M_{\text{moy}} > 0$ نضع :
 Δm هو النقص في الكتلة
 $(Z \cdot m_p + N \cdot m_N)$ هي الكتلة النظرية للنواة (المحسوبة)
 M_{moy} هي الكتلة التجريبية للنواة

إذا أخذنا العلاقة التكافئية التي تربط الكتلة بالطاقة (علاقة انشطابين) نصل إلى :

$$E = \Delta m \times c^2 \quad (c : \text{سرعة الضوء في الخلاء} = 3 \cdot 10^8 \text{ m/s})$$

E هي الطاقة المنتشرة خلال التفاعل



E تمثل الطاقة اللزام بذلها لتفكيك النواة إلى نيوكليليوناتها و هي أيضا طاقة ربط النيوكليليونات داخل النواة أو طاقة تماسک النواة.

مثال : لنحسب الطاقة الموافقة للتغيير في الكتلة مساوية لـ 1 u.m.a من المعطيات التالية :

$$1 \text{ u.m.a} = 1,66 \cdot 10^{-27} \text{ kg} \quad 1 \text{ eV} = 1,602 \cdot 10^{-19} \text{ J}$$

$$\begin{aligned} E &= \Delta m \times c^2 = 1,66 \cdot 10^{-27} \text{ kg} \times (3 \cdot 10^8)^2 = 1,494 \cdot 10^{-10} \text{ J} \\ 1 \text{ eV} &\longrightarrow 1,602 \cdot 10^{-19} \text{ J} \\ E &\longrightarrow 1,494 \cdot 10^{-10} \text{ J} \\ E &= 1,494 \cdot 10^{-10} \text{ J} \cdot \text{eV} / 1,602 \cdot 10^{-19} \text{ J} \approx 931 \cdot 10^6 \text{ eV} = 931 \text{ MeV} \end{aligned}$$

931 MeV هي الطاقة الموافقة لكتلة مساوية لـ 1 u.m.a و هو المكافئ الطاقي للـ u.m.a

$$E(\text{MeV}) = \Delta m (\text{u.m.a}) \times 931 \text{ MeV} / \text{u.m.a}$$

من أجل نواة واحدة :

$$\begin{aligned} E(\text{J}) &= \Delta m (\text{kg}) \times c^2 (\text{m} / \text{s}) \\ E(\text{MeV}) &= \Delta m (\text{u.m.a}) \times 931 (\text{MeV} / \text{u.m.a}) \end{aligned}$$

من أجل مول من النوى:

$$\begin{aligned} E(\text{J}) &= E_{\text{nøyau}} (\text{J}) \times \mathcal{N} \\ E(\text{J}) &= \Delta m (\text{g}) \cdot 10^{-3} \times c^2 (\text{m} / \text{s}) \\ E(\text{MeV}) &= E_{\text{nøyau}} (\text{MeV}) \times \mathcal{N} \end{aligned}$$

وحدات الطاقة المستعملة هي : الميغا إلكترون-فولط أو (MeV) ، الجول (J) ، الحريرة (cal) أو الإرجم (erg) ، joule (J)

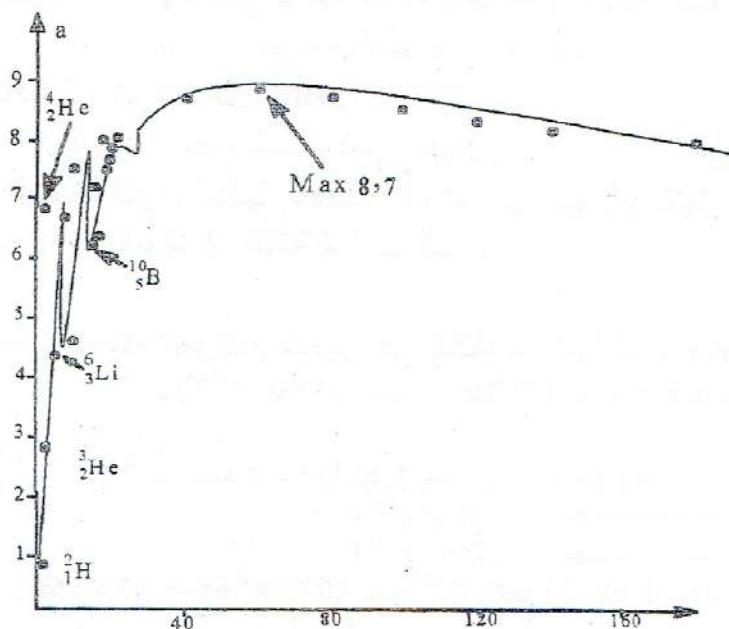
$$1 \text{ cal} = 4,18 \text{ J} \quad 1 \text{ MeV} = 1,6 \cdot 10^{-19} \text{ J} \quad 1 \text{ J} = 10^7 \text{ erg.}$$

يعرف أيضا طاقة التماسک في النيوكليليون الواحد a

$$a(\text{MeV}) / \text{nucléon} = E(\text{MeV}) / A$$

عدد النيوكليليونات : A

الممثل البياني لـ a بدلالة الكتلة الذرية (منحنى آستون Aston).



تغیر بدلالة الكتلة الذرية

يمر منحنى آستون Aston بقيمة قصوى عند 8.7 MeV من أجل عناصر كتلتها نقارب 60 سمحت هذه الملاحظة بتفسير ظاهرة الانشطار النووي. يتزايد استقرار النواة معه فيعتبر هذا الأخير كمقاييس للاستقرار.

ملاحظة : القوى النووية

هي القوى التي تضمن تماسك النيوكليلونات داخل النواة وهي قوى جاذبة (حتى بين البروتونات) وفعالة على مسافات قصيرة (المسافة بين النيكليلونات : $d \sim 1 \text{ Fermi} = 10^{-15} \text{ m}$, d :)

التعاريف

التمرين 1.II :

- 1- يعطى نصف قطر نواة كروية الشكل عددها الكتلي A بالعلاقة : $R = R_0 \cdot A^{1/3}$ مع $R_0 = 1.3 \text{ fermi} = 10^{-15} \text{ m}$ أوجد من أجل نواة من الألومنيوم Al (27,13)
 أ) كتلتها بالكيلو غرام kg و الطن T
 ب) حجمها بالметр المكعب m^3
 ج) كتلتها الحجمية بالكيلو غرام في المتر المكعب kg/m^3 وبالطن في السنتمتر المكعب T/cm^3
- 2 - ما هو الحجم المشغول بالنوى الموجودة في 1 cm^3 من الألومنيوم المعدني علما أن كتلته الحجمية تساوي 2.7 g/cm^3 .

التمرين 2.II:

1- ما هو عدد البروتونات ، النيوترونات و الإلكترونات الموجودة في ذرة عددها الذري Z .

2- أوجد عدد البروتونات و الإلكترونات الموجودة في F ($Z = 9$) ، Al^{3+} ، Al ($Z = 13$) ، F^- .

التمرين 3.II:

أحسب عدد الإلكترونات التي تدخل في تركيب ذرة X عددها الكتلي $A = 10$ علماً أن الكتلة $[X, Z] = 10,020166 \text{ u.m.a}$ وطاقة الرابط للنيوكليون الواحد تساوي $8.88693 \cdot 10^{-13} \text{ J}$.

$$m_p = 1,00727 \text{ u.m.a}$$

$$1 \text{ u.m.a} = 1,66 \cdot 10^{-27} \text{ kg}$$

$$m_N = 1,00866 \text{ u.m.a}$$

$$c = 3 \cdot 10^8 \text{ m/s}$$

المعطيات:

التمرين 4.II:

نستعمل جهاز ميلikan لمتابعة سقوط قطرة من الزيت في الهواء. سرعتها تساوي $0,32 \text{ m/s}$.

1- عند إهمال دافعة أرخميدس ، أحسب نصف قطر وكتلة القطرة .

2- عندما يساوي الحقل الكهربائي $E = 3,25 \cdot 10^5 \text{ V/m}$ ، القطرة تبدو ساكنة بين لبوسي المكثفة. أحسب الشحنة التي تحملها القطرة واستخلص عدد الشحنات العنصرية.

المعطيات:

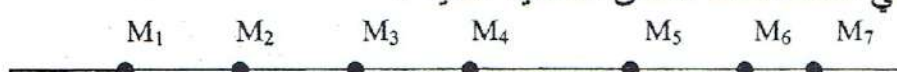
$$\rho = 1,26 \cdot 10^3 \text{ kg/m}^3 ; g = 9,81 \text{ m/s}^2 ; \eta = 1,8 \cdot 10^{-5} \text{ MKSA.} ; e = 1,6 \cdot 10^{-19} \text{ C}$$

التمرين 5.II:

نحقن النيتروجين في غرفة التأين في مطياف بن بريديج Bainbridge نفترض أن الأيونات المتكونة من النوع N^+ .

1- عندما تخرج الأيونات من مرشح السرعات تكون سرعتها $4 \cdot 10^5 \text{ m/s}$ و قيمة الحقل المغناطيسي المطبق في محلل هي $0,2 \text{ Tesla}$ ، نلاحظ على اللوح الفوتوغرافي نقطتي تماس A و A' الموافقة للنظيرين 14 و 15 للنيتروجين أحادي الذرية . حدد المسافة بين نقطتي التماس؟

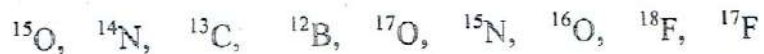
2- يتكون في الواقع الأيونات N^{++} ، N^+ و N_2^+ في غرفة التأين بعد الكشف عن اللوح الفوتوغرافي نلاحظ نقاط التماس المتالية التالية :



عين وضعية كل نوع بدون حساب و على إجابتك ?

التمرين 6.II:

من بين الأنوية الآتية ، استخرج:
 1) النظائر 2) الايزوبارات 3) الاوزونات.



التمرين 7.II:

- 1- أحسب الكتلة الذرية للكلور الطبيعي ، علما أنه متكون من 75,4 % للناظير ^{35}Cl و 24,6 % للكلور 37 مع $M(\text{Cl-35}) = 34,96742 \text{ g}$ و $M(\text{Cl-37}) = 36,96561 \text{ g}$
- 2- يتكون الكربون الطبيعي ($\text{C} = 12,011$) من نظيرين ^{12}C و ^{13}C ، علما أن نسبة ^{12}C هي 98,89 % احسب الكتلة الذرية للناظير ^{13}C .

التمرين 8.II:

- 1- أحسب الطاقة المحررة عند تكوين 1مول من الهليوم (He) علما أن الكتلة التجريبية تساوي 4,001503 u.m.a .
- 2- ما هي كمية الكربون (C-12) اللازم حرقها للحصول على نفس الطاقة علما أن حرق 1 مول من الكربون يحرر 94,1 kcal .
- المعطيات:
- | | |
|----------------------------------|----------------------------------|
| $m_p = 1,007278 \text{ u.m.a}$ | $m_N = 1,008665 \text{ u.m.a}$ |
| $c = 3 \cdot 10^8 \text{ m / s}$ | $1 \text{ cal} = 4,18 \text{ J}$ |

الباب الثالث : النشاط الإشعاعي و التفاعلات النووية

I. النشاط الإشعاعي (الإشعاعية)

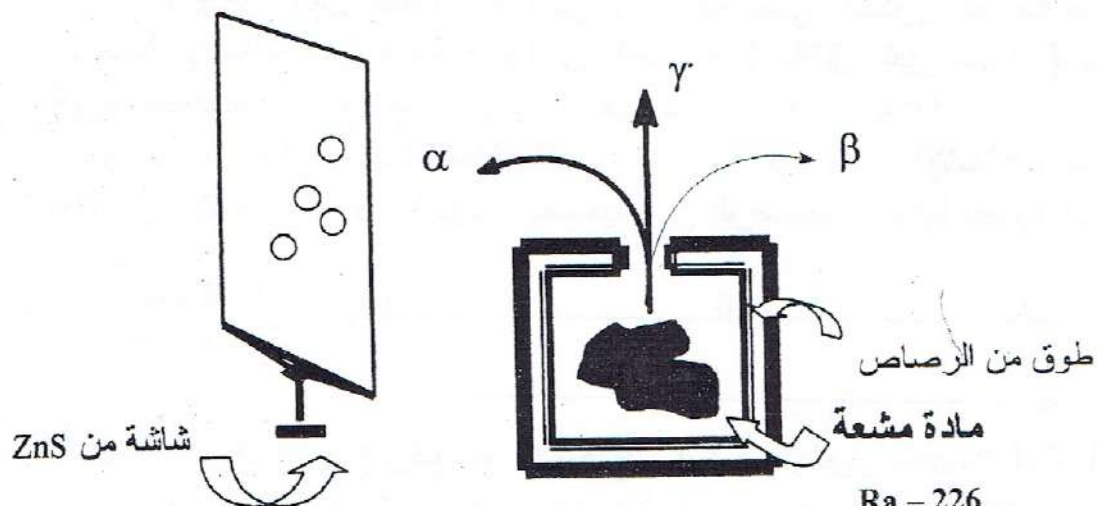
1) الإشعاعية الطبيعية :

اكتشف هنري باكرال *Henry Becquerel* عفويًا سنة 1896 أن أملأ الأورانيوم *Uranium* تؤثر على اللوح الفوتغرافي وبرهن أن هذه الظاهرة هي خاصية ذرية لعنصر الأورانيوم ويحافظ على هذه الخاصية مهما كانت الأملأة التي يدخل هذا العنصر في تركيبها. لا تتأثر هذه الظاهرة بأي عامل من العوامل الفيزيائية المعروفة (الضغط ، درجة الحرارة...) إذن فهي ميزة ذرية .

تتمثل الإشعاعية الطبيعية في احتلال تلقائي لبعض العناصر ($N/Z > 1,5$) المسمى بالعناصر المشعة و التي تبدو غير مستقرة و تؤدي إلى استحالات حقيقة (صحيحة) تدعى تهافتًا (أو تفكك) والذي يكون متبعاً دوماً بإصدار إشعاع .

2) الأنواع المختلفة للإشعاعات المشعة :

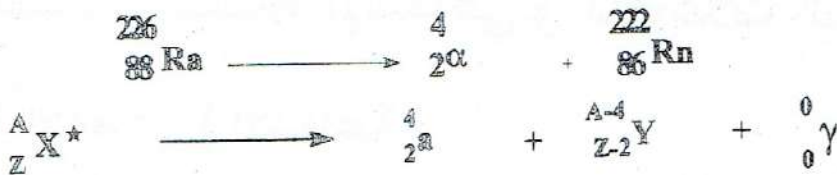
تم تحديد مختلف الإشعاعات المشعة بواسطة جهاز *Wilson* يكون لدينا ثلاثة أنواع من الإشعاعات :



غرفة ويلسون *Wilson*

(أ) الإشعاع α :

ينحرف جزء من الحزمة المنبعثة تحت تأثير حقل مغناطيسي نحو اليسار ، و هي الجسيمات المشحونة إيجاباً و نلاحظ عند استبدال الشاشة بجهاز قياس المقادير الكهربائية (عدد الشحن) أن شحنة الجسيم تساوي ضعف الشحنة العنصرية $2e^{+}$ و عند رجوعها إلى الحالة المتعادلة فإن هذه الجسيمات ما هي إلا ذرات من الهليوم *Hélium* . تدعى هذه الدقائق المشحونة He^{+2} بالدراقق α .



يكون الشعاع α شديد التأين و قليل النفاذ (الاختراق) (توقف هذه الدلائل بواسطة ورقة)

ب) الإشعاع - β (النيغاتونات . Négatons .)

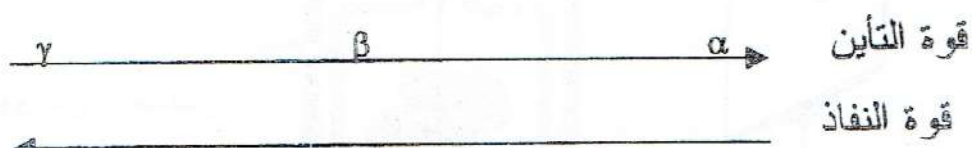
ينحرف هذا الجزء من الحزمة نحو اليمين فهو متكون من دلائل مشحونة سلباً و له نفس خصائص الأشعة المهبطية (الإلكترونات) إلا أن سرعتها تفوق سرعة الإلكترونات (الطاقة الحركية E_c [$0.01 - 2 \text{ MeV}$] ~).



الإشعاع - β أقل تأيناً وأكثر نفاذًا من الإشعاع α (توقف بصحيفة من الرصاص سمكها $0,4\text{ mm}$).

ج) الإشعاع γ :

لا يتأثر بفعل الحقل الكهربائي أو المغناطيسي فت تكون الحزمة من جسيمات غير مشحونة ومماثلة من ناحية الخواص الضوئية (دلائق غير مادية) يعني من طبيعة كهرومغناطيسية ذات طول موجة صغير جداً $10^{-2} \text{ Å} < \lambda < 10^{-4}$. يرافق هذا الإشعاع عموماً إصدار إشعاع α أو β . يكون الإشعاع γ أقل تأيناً وأكثر نفاذًا من الإشعاع - β (يوقف بصحيفة من الرصاص سمكها 10 cm).



ملاحظة : هناك إشعاع رابع هو الإشعاع β^+ (البوزيتون . Positon) إلا أن هذا الإشعاع يكون ناتجاً عن تفاعلات اصطناعية فقط (الإصدار التلقائي للأشعة β^+ غير ممكن طبيعياً).



يشاهد ثلاثة أنواع من التحولات التلقائية :

- التحول الإيزوباري : نفس عدد النيكليونات $A \Leftarrow$ إصدار إشعاع β^- أو β^+ .
- التحول بالتجزئة : A متغير \Leftarrow إصدار إشعاع α أو الانشطار النووي.
- التحول الإيزوميري : إصدار إشعاع γ (فوتونات).

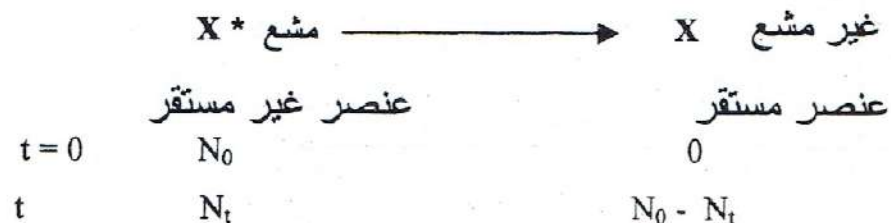
ذرة في حالة الإثارة (غير مستقرة) \longleftrightarrow حالة أساسية (مستقرة) + إصدار فوتونات $h\nu$.



تكون سرعة التفاعلات النووية مستقلة عن الشروط و العوامل الخارجية (درجة الحرارة ..).
لكنها مميزة لكل واحدة ، يعني حسب قانون حركية معين.

(3) قانون الابتعاث (الإصدار)

يتبع تفاعل التهافت التلقائي لنوى مشعة حركية من الدرجة الأولى حيث يكون عدد النوى المتهافة في ظرف زمني معين متناسبا طردا مع النوى الباقي. سنحدد دراستنا حالة بسيطة أين :



يكون لدينا عند اللحظة t ، N_t نوى غير مستقرة باقية و قد شكلنا $N_0 - N_t$ نوى مستقرة.
عند اللحظة $t + dt$ ، يتلاقص N_t بكمية dN وهو عدد النوى غير المستقرة التي تهافتت
(أو عدد النوى المستقرة التي تشكلت) خلال اللحظة dt .

تعطى سرعة التهافت بالعلاقة : $dN / dt = \lambda N$ - (تدل الإشارة - على النقص).
 λ : ثابت الإشعاعية

$$- dN / dt = \lambda N \Rightarrow \int dN / N = \int -\lambda dt \Rightarrow \ln N_t = -\lambda t + \text{ثابت}$$

$$t=0 \quad N_t = N_0 \Rightarrow \text{ثابت} = \ln N_0$$

$$\ln N_t = -\lambda t + \ln N_0 \Rightarrow \boxed{\ln N_t / N_0 = -\lambda t \quad \text{أو} \quad \ln N_0 / N_t = \lambda t}$$

$$\boxed{N_t = N_0 e^{-\lambda t} \quad \text{أو} \quad N_0 = N_t e^{+\lambda t}} \quad \text{صيغة أخرى}$$

من الأسهل استعمال الدور الإشعاعي T عوض عن ثابت الإشعاعية للتعبير عن سرعة التهافت.

أ) الدور الإشعاعي :

" هو الزمن الذي تقتضيه نصف العينة (نوى غير مستقرة) لتهافت "

$$t = T = t_{1/2} = N_0 / 2 \quad \text{نوى تهافت و } N_0 / 2 \text{ مستقرة تشكلت}$$

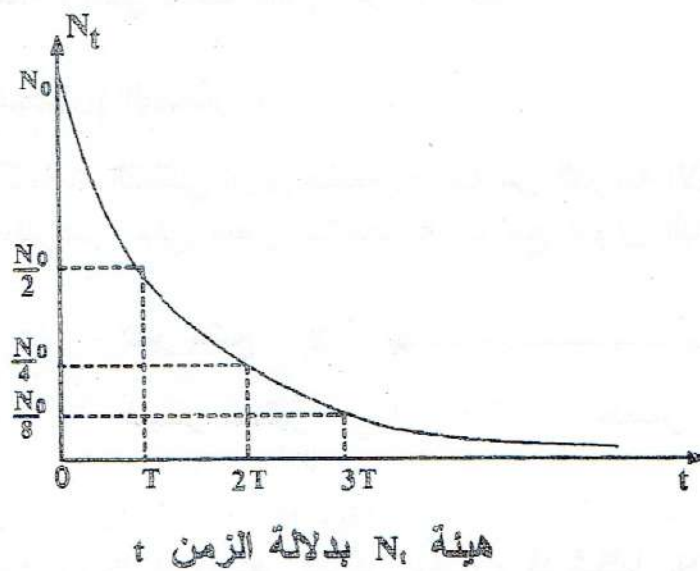
$$\ln N_0 / N_t = +\lambda t \quad t = T = t_{1/2} , \quad N_T = N_0 / 2 \Rightarrow \ln N_0 / N_0 / 2 = \lambda T$$

$$\ln 2 = \lambda T \Rightarrow \boxed{T = \ln 2 / \lambda \quad \text{أو} \quad \lambda = \ln 2 / T}$$

يتغير الدور [T] من بعض الثنائي مثل : البولونيوم -
 (Po-214) Polonium 214 - دورة $T = 1,5 \cdot 10^4$ sec.
 (Th-232) Thorium 232 - دوره $T = 1,39 \cdot 10^{10}$ ans
 (sec. $^{-1}$, mn $^{-1}$, h $^{-1}$, an $^{-1}$, ..., t $^{-1}$) [λ]

$$\ln N_t / N_0 = t \cdot \ln 2 / T$$

العلاقة العامة



ب) النشاطية الإشعاعية :

"هي عدد النوى المشعة (غير المستقرة) التي تهافتت في وحدة الزمن " وهي أيضا السرعة اللحظية لاختفاء النوى غير المستقرة (متناسبة طردا مع عدد النوى غير المستقرة الباقية).

$A = -dN / dt = \lambda N$ (تدل الإشارة - على النقص)

$$t=0 \quad N_t = N_0 \quad \text{et} \quad A_0 = \lambda N_0 \quad \text{النشاطية الابتدائية : } A_0$$

$$-dN / N = \lambda dt \longrightarrow A_t = A_0 e^{-\lambda t}$$

[A] يعطى بـ: التهافت في وحدة زمنية
 dpt التهافت في الثانية
 dps التهافت في الدقيقة
 $dpmn$ التهافت في السنة
 $dpan$ التهافت في السنة

يمكن إعطاء النشاطية بوحدة الكوري Curie (Ci) الذي يعرف بالنشاطية المكافئة 1g من راديوم . Radium . خلأ ثانية. يرفق تفاعل التهافت إصدار دقائق α و إشعاع β حسب:



مثال : احسب النشاطية المكافقة لـ 1 كوري Curie (Ci) علماً أن ثابت الإشعاعية لعنصر الراديوم . 1580 ans Radium يساوي Ra-226 .

$$T = 1580 \text{ ans} = 1580 \times 365 \times 24 \times 60 \times 60 \text{ sec}$$

$$\lambda = \ln 2 / T = 1,385 \cdot 10^{-11} \text{ sec}^{-1}$$

$$N = N_0 / 226 = 2,665 \cdot 10^{21} \quad \text{نوى من Ra-226}$$

$$A = \lambda N = 1,385 \cdot 10^{-11} \times 2,665 \cdot 10^{21} = 3,69 \cdot 10^{10} \text{ dps}$$

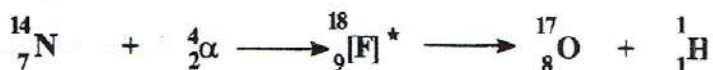
$$1 \text{ Ci} = 3,7 \cdot 10^{10} \text{ dps}$$

II. الإشعاعية التحريرية و التفاعلات النووية

(1) الإشعاعية الصناعية :

إلى جانب التحولات التقائية التي تميز العناصر ذات العدد الذري $Z > 83$ ، أعد كل من إيران و فريديريك جوليوكورسي Irène et Frédéric Joliot-Curie تحولات اصطناعية حيث بينما أنه من الممكن تحويل عنصر غير مشع إلى عنصر مشع (اصطناع عناصر غير مستقرة لا توجد طبيعياً أو قد وجدت ثم تحولت ، مثل عائلة البلوتونيوم Plutonium). نحصل على هذه العناصر غير المستقرة المصطنعة بقذف نواة و التي تسمى بالنواة الهدف بقذائف وهي نوى خفيفة : α ، p ، n ، ^2H ، ^{13}C ... ذات طاقة حركية عالية. الاصطدام بين النواة الهدف و النوى الخفيفة ينتج عنه :

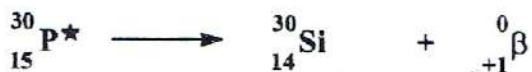
- أ) إما اصطدام بسيط من (انظر إلى تجربة روزنارفورد).
- ب) أو تحولات بيئية.



قام كوري Curie باصطناع أول عنصر مشع



ينتج النظير المشع $^{30}\text{P}^*$ حسب التفاعل:



تطلب التفاعلات النووية الاصطناعية طاقة معتبرة والتي تزود بها في شكل طاقة حركية يمكن استعمال حقل كهربائي E شديد لتسرع القذائف المشحونة ($E_c : 6 \text{ MeV} - 90 \text{ BeV}$).

(2) التفاعلات النووية : (صودي - فارجنس - Soddy-Farjans)

اصطلاح كتابي : نرمز إلى التفاعلات المختلفة بكتابه مكتفة مبينا الدقيقة المنبعثة مثل :



يمكن للذائف أن تكون : دقائق α ، بروتونات p ، دوتوونات d أو نيترونات n

(أ) التفاعلات مع الهليونات (α)

• التفاعلات (α, p)



• التفاعلات (α, n)



• التفاعلات بدون أسر (تستعمل الذائق α كاقلاقات للطاقة وهي تضليل إصدار البروتونات دون أن الانضمام للنواة.



(ب) التفاعلات مع البروتونات (p)

• التفاعلات (p, α)

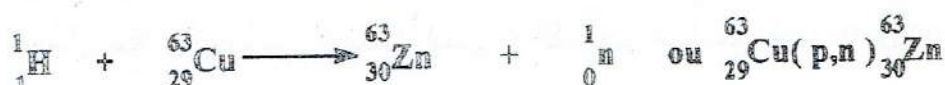
بروتونات ذات سرعة عالية



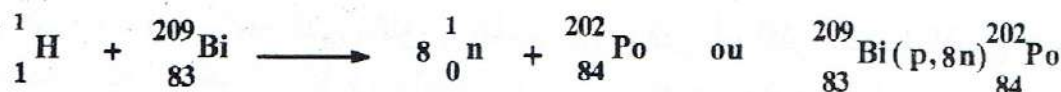
هذا التفاعل ناشر لطاقة $E \sim 17 \cdot 10^6 \text{ MeV}$

• التفاعلات (p, n)

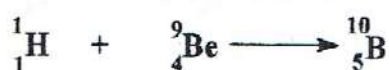
بروتونات ذات سرعة عالية جدا ($E_c \sim 200 \text{ à } 10^3 \text{ MeV}$)



يمكن إصدار عدة نيترونات حسب نوع الهدف و سرعة القذيفة.



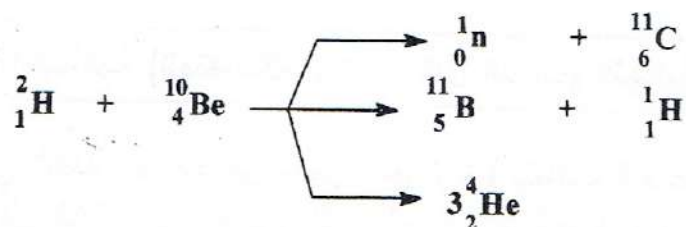
بروتونات ذات سرعة منخفضة : تفاعل أسر



• التفاعلات (p, d) : نادرة



ج) التفاعلات مع الدوتونات (d)

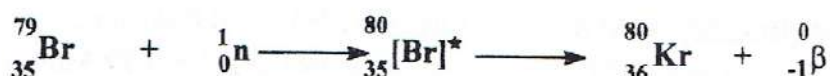


تكون تفاعلات الالتحام ممكنة (يلزمها درجة حرارة عالية بمقدار $10^6 \text{ }^{\circ}\text{C}$)

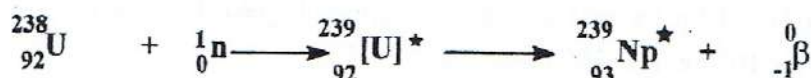


د) التفاعلات مع النيترونات (n)

• تفاعلات الأسر



يكون تفاعل أسر الجسيمات أسهل عندما يكون النيوترون بطيناً ($E_c \sim 2-3 \cdot 10^2 \text{ eV}$)
ويتمكن تضليل سرعة النيوترون بمرورها المتداول على سمك من عدة سنتيمترات
من البارافين أو على عدة طبقات المائية.



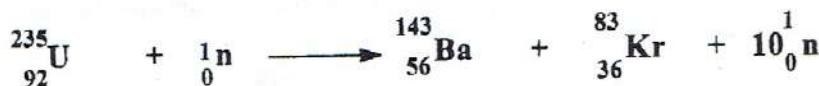
سمح تفاعل الأسر باصطناع فوج من عناصر ذات العدد الذري $Z > 92$

• التفاعلات (n, p)



• التفاعلات (n, kn)

يتمثل في قذف نوى ثقيلة التي تتفرق و تنقسم إلى نوافين أو أكثر عددها الذري Z متوسط مع إصدار طاقة معتبرة (تفاعل انشطار نووي مع إنتاج نيوترونات).

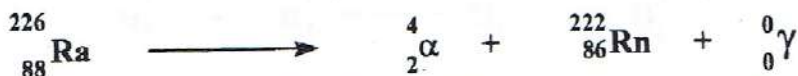


III. حوصلة التفاعلات النووية

تطلب التفاعلات النووية طاقات معتبرة و يخضع التبادل الطاقوي لعلاقة انشطابين $E = \Delta M \cdot c^2$ Einstein و بتعيين إذن ΔM يمكن حساب الطاقة المستعملة.

$$\boxed{\Delta M = \text{كتل النواتج الابتدائية (المتفاعلات)} - \text{كتل النواتج النهائية}}$$

$\Delta M > 0 \Leftrightarrow$ تزايـد في الكتلة \Leftrightarrow التفاعل ماص للحرارة (يتطلب التفاعل طاقة)
 $\Delta M < 0 \Leftrightarrow$ تناقص في الكتلة \Leftrightarrow التفاعل ناشر للحرارة (التفاعل يحرر طاقة)
 لنحسب الطاقة المنتشرة (المحررة) عند تهافت 1 مول (1 mole) من Ra-226 حسب التفاعل:



مع: $M(\text{Ra-226}) = 226,0254 \text{ u.m.a} ; M(\text{Rn-222}) = 222,0175 \text{ u.m.a} ; M\alpha = 4,00388 \text{ u.m.a}$

$$\Delta M = \text{كتل المتفاعلات (المواد البدائية)} - \text{كتل المواد الناتجة}$$

$$\Delta M = [M(\text{Rn-222}) + M\alpha] - [M(\text{Ra-226})] = 0,0041 \text{ u.m.a}$$

$$\text{من أجل نواة } E(\text{ Mev}) = \Delta M (\text{u.m.a}) \cdot 931 \text{ Mev / u.m.a} = 0,0041 \times 931 = 3,82 \text{ Mev}$$

$$\text{من أجل 1 مول من النوى } E'(\text{ Mev}) = E \times N = 23,007 \cdot 10^{23} \text{ Mev}$$

يمكـنا الوصول إلى نفس النتيـجة باستعمال الجـول (J) والتطـبيق المباـشر لـعـلاقـة اـنشـطـابـين Einstein.

$$\text{من أجل 1 مول من النوى } E'(\text{ J}) = \Delta M \times 10^{-3} (\text{ kg}) \times c^2 (\text{ m}^2 / \text{s}^2) \quad (\text{أنظر الباب I.}) \\ = 0,0041 \times 10^{-3} \times (3 \cdot 10^8)^2 = 3,69 \cdot 10^{11} \text{ J}$$

IV. العائلات المشعة :

يـتهـافـت عنـصـر مشـع حـسـب المـخـطـط العـام التـالـي :



يشكل مجموع النوى المشعة $[X_n^*, X_n]$ ، نواة مستقرة مكونة ، عائلة مشعة و يميزها العنصر الأنقل المولد (الابتدائي) .

تعرف أربعة عائلات مشعة : ثلاثة منها طبيعة و الرابعة اصطناعية.

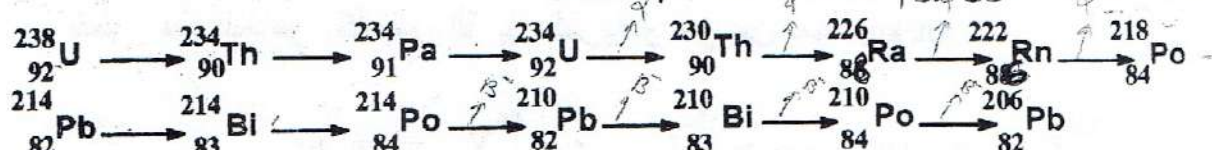
* عائلة الأورانيوم Uranium (U-238) أو الأورانيوم الخصب (98,28 % من الأورانيوم الطبيعي).

*عائلة الأكتينيو- أورانيوم *Actino-Uranium* (AcU-235) أو الأورانيوم المنشطر (0,71% من من الأورانيوم الطبيعي).

* عائلة الثوريوم (Th-232)

*عائلة البلوتونيوم *Plutonium* و التي هي اصطناعية و تأخذ اسم العنصر الذي يتمتع بأكبر دور إشعاعي غير العنصر المولد (البدائي): النبتونيوم *Neptunium*.

مثال : عائلة الأورانيوم *Uranium* الخصب U-238 :



يُنتَج الأورانيوم U_{uranium} الخصب بدوره $T = 4,5 \cdot 10^9$ ans ثوريوم $Th-234$ مع انباع دقيقة α ويتهافت الثوريوم ليتحول إلى برواكتينيوم $Proactinium$ بعد إصدار β^- وهذا الأخير يتهافت مع انباع β^- ليتحول إلى الأورانيوم $U-234$ و يتبع هذا إصدار دقائق α خمس مرات ليؤدي إلى الرصاص $Pb-214$ وهو بدوره ينبعث منه دقيقتان α مع انباع β^- أربعة مرات ليعطي الرصاص $Pb-206$ مستقر غير مشع.

يمكن تعين A و Z للعنصر النهائي (عنصر مستقر) بتطبيق القوانين المذكورة سابقا.

$$Z = 92 - (2 \times 8) + 6 = 82$$

العائلة	A	العنصر النهائي	الإشعاع المنبعث
Th-232 الثوريوم	$4n ; n = 58 \rightarrow 52$	Pb (208 , 82)	$6\alpha + 4\beta^-$
Np-241 النابوتونيوم	$4n + 1 ; n = 59 \rightarrow 52$	Bi (209 , 83)	$8\alpha + 5\beta^-$
U-238 الأوزانيوم	$4n + 2 ; n = 59 \rightarrow 51$	Pb (206 , 82)	$8\alpha + 6\beta^-$
U-235 الأكتينيو-أورانيوم	$4n + 3 ; n = 58 \rightarrow 51$	Pb (207 , 82)	$7\alpha + 6\beta^-$

تطبيقات الاشعة : V

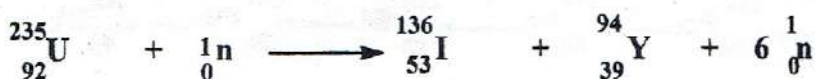
تطبيقات الإشعاعية عديدة ومتنوعة ونذكر منها خاصة إلى تلك التي تتناول طاقات معبرة (تفاعل الانشطار و الالتحام النووي) و التي تستعمل النظائر المشعة كدليل أو

١) التطبيقات الطقوسية :

أ) الانشطار النووي :

• الانشطار المتفجر

ينتج عن قذف نواة الأورانيوم-235-U بواسطة النيترونات تشكيل عدة عناصر مثل :
اللانثان (La) ، الباريوم (Ba) *Baryum* ، السيريوم (Ce) *Cérium* ، الكريبيتون (Kr) ، الموليبدان (*Molybdène*) و عناصر أخرى مع إنتاج نيوترونات.
يشكل النظير $U-235$ 0,71% فقط من الأورانيوم الطبيعي (غني بـ $U-238$ أو الخصب).
تنتفق تلقائيا نواة $U-235$ بفعل نيترونات متحركة بسرعة مقبولة إلى نوى مختلفة مع تحرير طاقة معتبرة (1g يحرر طاقة قدرها $20 \cdot 10^6$ kcal) والتي هي مكافئة لاحتراق 2,5 طن من الفحم !!! .
تعتبر هذه الظاهرة كأساس القنابل الذرية و هي من نمط (n, kn)



تنقسم نواة $U-235$ إلى عنصرين أعدادها الذرية قريبة من 50 و أعدادها الكتبية أصغر من 150 ($A < 150$) مع إنتاج نيترونات (بمعدل 2,5) و التي بدورها تتصادم مع نوى أخرى من $U-235$ فينشر التفاعل (تفاعل سلسلي) و يصبح انفجاري .
تشكل عدة أزواج أخرى من العناصر كلها مشعة على العموم و التي لا ينتج عنها عناصر مستقرة إلا بعد سلسلة من التهافتات غالبا ما يكون متبعا بإشعاعات مشعة .
إذا أردنا إيجاد حوصلة للتفاعل المذكور أعلاه و بمعرفة كتل مختلف العناصر بتقرير إلى 10^6 نحصل على ضياع في الكتلة بالنسبة لـ $U-235$ أقل من 1% و هذا ما يجسد ما يلي :

$$\Delta M = \Sigma M_{\text{products}} - \Sigma M_{\text{reactants}}$$

$$\Delta M = (6 \cdot 1,008968 + 135,956920 + 93,941600) - (235,117496 + 1,008968) \\ = -0,174136 \text{ uma}$$

يعني 0,17 g من $U-235$ من الأكتينو - أورانيوم (0,17 g /mole) و التي تمثل تناقص في الكتلة مساو لـ $0,000723 = 0,000723 / 17$ و علما بأن 1g من $U-235$ يحرر طاقة مكافئة لاحتراق 2,5 طن من الفحم ...

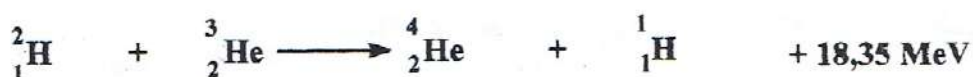
• الانشطار المراقب (البطاريات الذرية)

يعتمد هذا التفاعل على انشطار عنصر $U-235$ لكن تكون النيوترونات ممهلة بواسطة مواد مهدئة مثل الماء الثقيل (D_2O) ، الغرافيت (Graphite) أو الباريلليوم (*Béryllium*) و التي تمتلك أيضا جزء من النيترونات المنتجة و بهذا نستطيع التحكم في التفاعل .

تبقى هذه الطريقة منبعاً ثميناً لتوليد الطاقة (الإنتاج المتوسط يقارب 5.10^9 kcal/mole أي طاقة مكافئة الاحتراق $6250 \text{ طن من الفحم !!!}$).

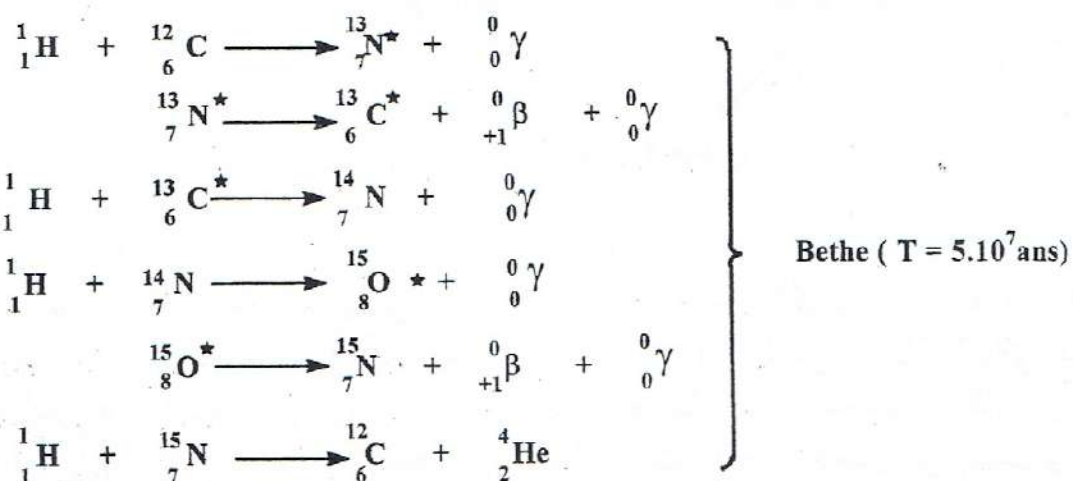
ب) الالتحام النووي :

لا يتحكم حلياً الإنسان في هذه الظاهرة في أغراض سلمية (تفاعل لا يستطيع مراقبته حتى الآن) و يكون متبعاً بتحرير طاقات عظيمة . يتمثل التفاعل في التحام نوى خفيفة ولإنجاز هذا التفاعل يجب التغلب على التناقض الكهروستاتي بين النوى ويمكن تحقيق ذلك بإعطاء طاقة حرارية كافية لاحدي النوى . لهذا الغرض يلجأ إلى تقنية الاضطراب الجزيئي و تظهر الحسابات بأنه يستلزم درجة حرارة عالية بدرجة 10^8 K .
يستلزم قنبلة الهيدروجين ، و التي تعتبر تطبيقاً لتفاعل الالتحام النووي ، التذخير بواسطة تفاعل انشطاري الذي يسمح بالوصول إلى درجة الحرارة المرغوبة ، مثلاً :



سمح تفاعل الالتحام النووي بتقييم الطاقة المنبعثة من الشمس و التي تبلغ $4.10^{23} \text{ kilowatt}$ يحدث تغير طفيف في شدة الإشعاعات المنبعثة من الشمس منذ مئات أو ملايين إلى ملايين من السنين . تمثل الطاقة الشمسية المنبعثة تناقص في الكتلة مكافئ إلى 4.10^6 T/sec (طن في الثانية) و يمكن استمرار هذا الانبعاث للطاقة قبل الفناء حوالي 100 مليون سنين .

تكون هذه الاستحالات الكونية حسب باث Bethe نتيجة التفاعلات المتالية التالية :

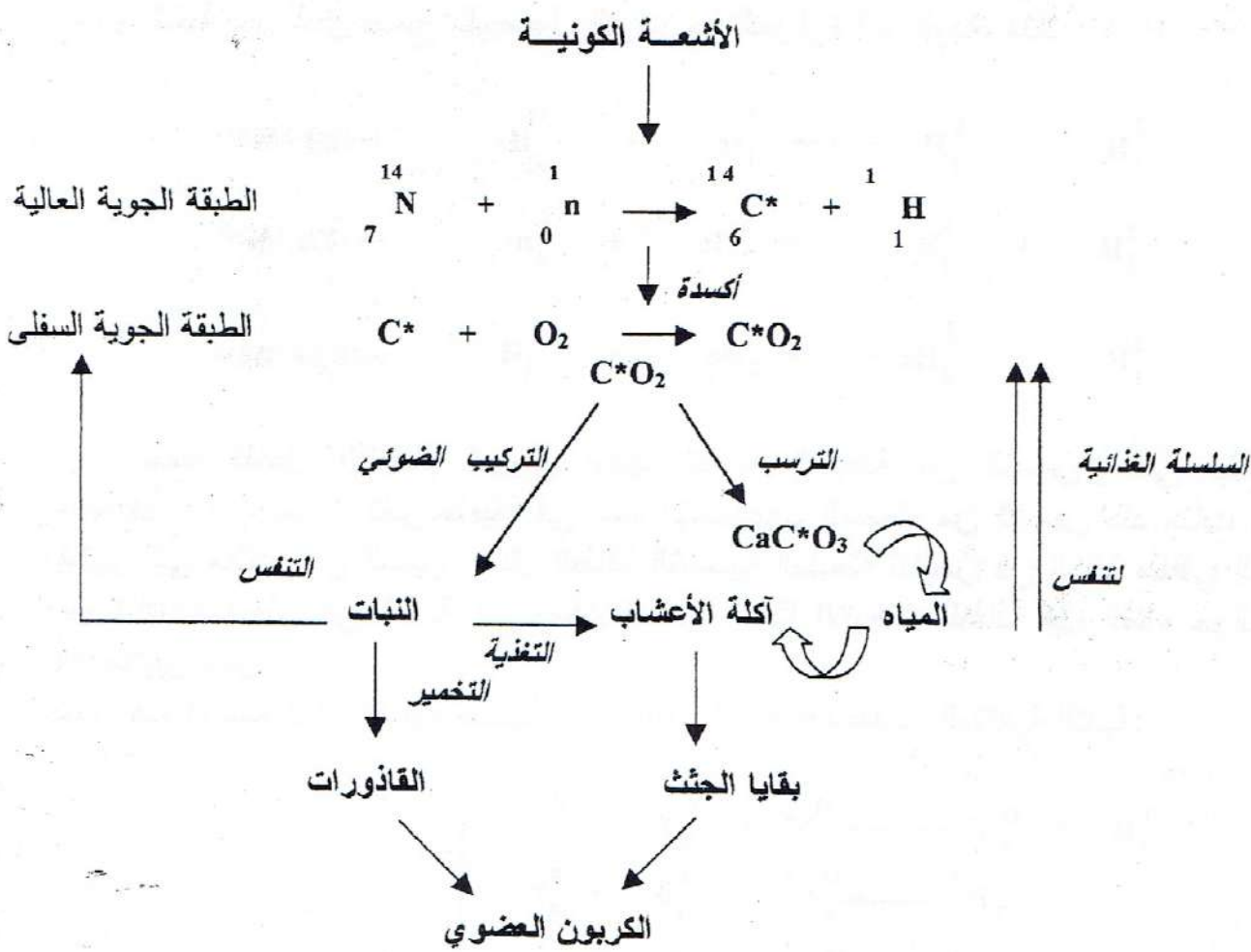


تبلغ الطاقة المحررة من مثل هذه التفاعلات 3.10^7 Watt/cm^3 أي 3.10^7 Kwh في الكيلو غرام الواحد من الهيدروجين ($1,7 \text{ Kwh/kg H}_2$) و الذي يؤدي إلى تقييم درجة الحرارة الداخلية للكوكب الشمس و التي يمكن تقديرها بـ 2.10^7 K !!

(2) التطبيقات غير الطاقوية :

(أ) التأريخ بواسطة نظير الكربون-14 (C-14)

يتشكل نظير الكربون-14 (C-14) بفعل النيوترونات المحررة بتأثير الأشعة الكونية على النيتروجين في الطبقة الجوية العالية و يتم ذلك حسب الدورة الآتية :



يحتوي كل مركب كربوني على كمية ضئيلة من الكربون المشع C^{14} (ذرة واحدة من C^{14} من أجل 10^4 ذرة من C-12 و C-13) في تبادل لانهائي مع الطبقة الجوية. تبقى هذه الكمية من الكربون - 14 ثابتة طالما التبادل مستمر و التوازن الطبيعي الذي يتحقق بين الاستهلاك و التهافت عند الكائنات الحية ليصل إلى مستوى مستقرًا مقدراً في الدقيقة الواحدة بحوالي $15,3 \pm 0,1 \text{ dpmn/g C-14}$ في الغرام الواحد من الكربون (من أجل إنسان وزنه 70 kg ، تهافت 2000 ذرة من C-14 في الثانية والتي تعوض فوراً)

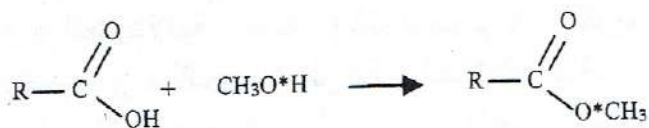
و عندما يتوقف التبادل (الوفاة البيولوجية) تتناقص كمية C^{14} حسب دور رتبته 5700 ans تقريباً. من أجل تاريخ مادة كربونية نكتفي بقياس N_t و مقارنته بـ N_0 لعينة لها نفس الكتلة فيكون لدينا : $t = \ln(N_0/N_t) / 0,693$.

ملحوظة : يكون الكربون الموجود في البترول أو الفحم غير فعال بسبب عمره مقارنة بدوره.

ج) تطبيقات أخرى :

سنتطرق من بين التطبيقات العديدة و المختلفة للمواد المشعة لما يلي، و القائمة مفتوحة :
الميدان الصناعي و البحث العلمي :

* دراسة و تعين آلية التفاعلات (مثال : تفاعل الآسترة ؛ هل الأوكسجين يأتي من الكحول أو من الحمض الكربوكسيلي ؟)



- * دراسة الحوافر و كيفية فعاليتها
- * دراسة التأكل و خمول المعادن والسبائك
- * التحليل الكيميائي الكمي و الكيفي
- * الكشف و القياس (المتغيرات : الكاليفورنيوم-232 *Californium-232* و النيكال-63 *Nickel-63* ؛ قياس نسبة وجود الرصاص *Plomb* في مواد الطلاء : الأميريكانيوم-241 *Américanium-241* ؛ قياس و مراقبة تدفق السوائل في أنابيب نقل البترول و الغاز السيرزيوم (*Cesium-137*))

الميدان الطبي (الطب النووي و البحث)

تستعمل النظائر المشعة على نطاق واسع (دليل أو معلم للإشعاع ، استعمال جزيئات مؤشرة) في دراسة الأيض الثانوي، في ميدان البحث في الطب النووي و ميدان التصوير الطبي
 مثال :

- * الكربون المشع $C-14$: دراسة الأيض (دور الكربون في التركيب الضوئي والتركيب الحيوي للهيمن).
- * السترونطيوم-85 $Sr-85$: الأيض و دراسة تشكيل و تكون العظام.
- * الكروم-51 $Cr-51$: دراسة الخلايا الحية في الدم.
- * تحقيق التشخيص بواسطة النظائر. $I-123$ له استعمال واسع في اضطرابات الغدة الدرقية وتشخيص فقر الدم (الأنيمية الخبيثة).
- * التاكنانتيوم $Tc-99m$: له استعمال واسع في التشخيص.

- * **الفوسفور 32-P** : مستعمل في بиولوجيا الجزيئات و في البحث في الوراثة.
- * **الكالسيوم Ca-47** : وسيلة هامة في البحث الطبي الحيوي في دراسة تسيير الخلايا و تشكيل العظام عند الثدييات.
- * **السلينيوم Se-75** : دراسة البروتينات (الهيولينات).
- * **الكريون Xe-133** : دراسة التهوية الرئوية و التدفق الدموي.
- * **الكوبالت - Co-57** : تحليل الصور الطبية لأعضاء الجسم و في تشخيص فقر الدم (الأنيمية الخبيثة).
- * تستعمل الأشكال المختلفة لـ **التاكناتيوم Tc-99m** في التصوير الطبي فيما يخص المخ ، العظام ، الكبد ، الكلى
- * **الكوبالت - Co-60** : تعقيم آلات الجراحة.

الميدان العلاجي :

- * دراسة أيض المواد الصيدلانية الجديدة (**الترسيوم T** ، **الكريون 14-C**).
- * **الإيود I-131**: تشخيص و معالجة اضطرابات الغدة الدرقية.
- * تطبيقات بيولوجيا للإشعاع γ في الميدان العلاجي: معالجة فعالة لبعض الأشكال السرطانية.
- * **النحاس 67-Cu** : يحقن مع مضادات حيوية فيساعد في تثبيتها على الورم لتنبيطه.
- * **الكوبالت Co-60** و **الفوسفور-32-P** : أعطت نتائج ملحوظة ضد مرض فاسكيز Vasquez و ضد مرض سرطان الدم.
- * **السيزيوم Cs-137** : معالجة بعض أنواع السرطان و قياس مضبوط لمعاييرة الأدوية المشعة.

VI. مخاطر الإشعاعية :

يؤدي تعرض الأنسجة الحية عند تواجدها بجوار جسم مشع إلى إيداءات أو أضرار خطيرة. ضرر الإشعاع يكون بالغا إذا كان الإشعاع يفوق قيمة معينة لكن التعرض عدة مرات لجرعات ضعيفة يكون مضرًا أيضًا (نفس ضرر إشعاع واحد أكبر شدة).

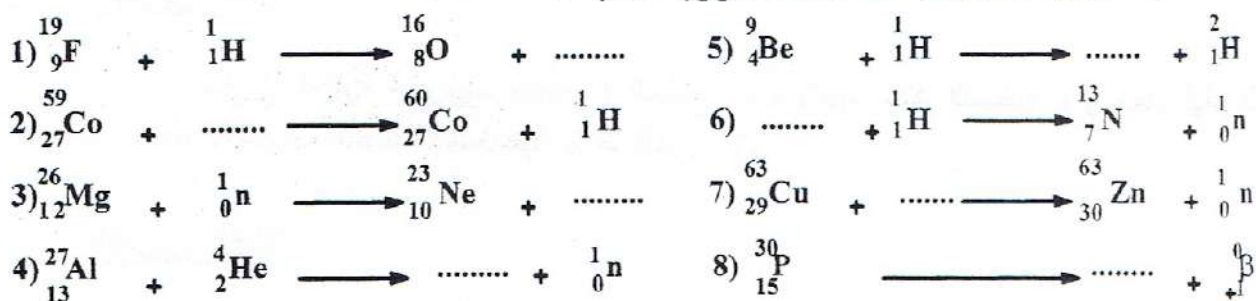
من بين الأضرار نشير إلى سرطان الجلد و الجهاز الهضمي و ... العمى، سرطان الدم .. يمكن لجسم مشع أن يكون له تأثير على مورثة خلايا النسل وتكون عواقبه وخيمة على الأجيال المقبلة (تحويلات لا عكسية أو/و استثنائية) أفعال القنابل الذرية الملقاة على هيروشيما Hiroshima و ناغاساكى Nagasaki خلال الحرب العالمية الثانية ، كارثة تشيرنوبيل Tchernobyl) و على المحيط (تلوث المياه و الأراضي ..).

و نشير أخيراً أن جسم الإنسان يتلقى يومياً جرعة من الإشعاعية الطبيعية تقدر بـ 40×10^{-3} Rem و أن أقصى جرعة مقبولة غير المضرة تساوي حوالي 0,1 Rem في 40 ساعة من العمل ($1 \text{ Rem} = 10^{-2} \text{ J/kg} = 10^{-2} \text{ Sivert (Sv)}$).

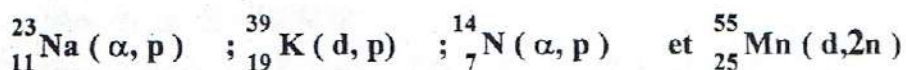
التمارين

التمرين 1.III:

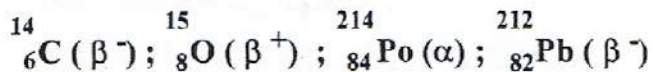
1- أكمل معادلات التفاعلات النووية الآتية :



2- أعط معادلات التفاعلات النووية الآتية مع تعريف العنصر المتشكل :



3- تهافت العناصر التالية مع ابتعاث دقائق. أعط معادلات التفاعلات النووية مع تعريف العنصر المتشكل :



التمرين 2.III:

تساوي النشاطية الابتدائية لغرام واحد من الأورانيوم *Uranium* الخصب U-238 $3,88 \cdot 10^{11}$ dpan (تهافتا في السنة) و الذي له دور يقدر بـ $4,52 \cdot 10^9$ ans ، أحسب ثابت آفوغادرو *Avogadro*.

التمرين 3.III:

يساوي ثابت الإشعاعية للعنصر المشع $0,046 \text{ h}^{-1}$ Na-24^* علما بأن هذا الأخير يتبع حرکية من الدرجة الأولى.

1- عين العبارة N_t (عدد النوى غير المستقرة الموجودة عند اللحظة t) بدلالة N_0 و λ

2- أحسب الدور T بالساعات (h)

3- أحسب الزمن عند :

- تهافت 1% من الصوديوم Na^*

- تهافت 99% من الصوديوم Na^*

4- نحقن في دم شخص 10 ml من محلول يحتوي ابتدائيا على 10^{-3} mole/l الصوديوم المشع $^{24}Na^*$ و نعتبر أن توزيع الجرعة المحقونة في دم الشخص يكون منتظم بعد 5 ساعات، أحسب الحجم الدموي.

التمرين 4.III:

تساوي فعالية السرديوم Cerium المشع $^{3\mu Ci} Ce^*$ عند اللحظة t و بعد أيام تتراقص بـ $1\mu Ci$. أحسب ثابت الإشعاعية λ ثم الدور T .

التمرين 5.III:

المanganese Mn-56 هو عنصر مشع ناشر للدقات - β^- حسب المعادلة :



- أعط A و Z للنواة X

- أحسب الدور T بالساعات (h) و الثانية (s) علما بأن بعد 7,5 ساعات 1 مول من Mn-56 ينتج g 49,5 (غرام) من العنصر X .

- أحسب بـ mg كتلة عينة من Mn-56 موافقة لفعالية تساوي $2 \cdot 10^6$ Ci

- أحسب الطاقة الناتجة عن تهافت :

- نواة واحدة من Mn-56 بـ MeV

- مول واحد من النوى Mn-56 بـ J

المعطيات :

$$1 \text{Ci} = 3,7 \cdot 10^{10} \text{ d.p.s} \quad 1 \text{eV} = 1,6 \cdot 10^{-19} \text{ J} \quad c = 3 \cdot 10^8 \text{ m/s}$$

$$M(56,25) = 55,93948 \text{ u.m.a}; \quad m_e = 0,00055 \text{ u.m.a}; \quad M(A,Z) = 55,93493 \text{ u.m.a}$$

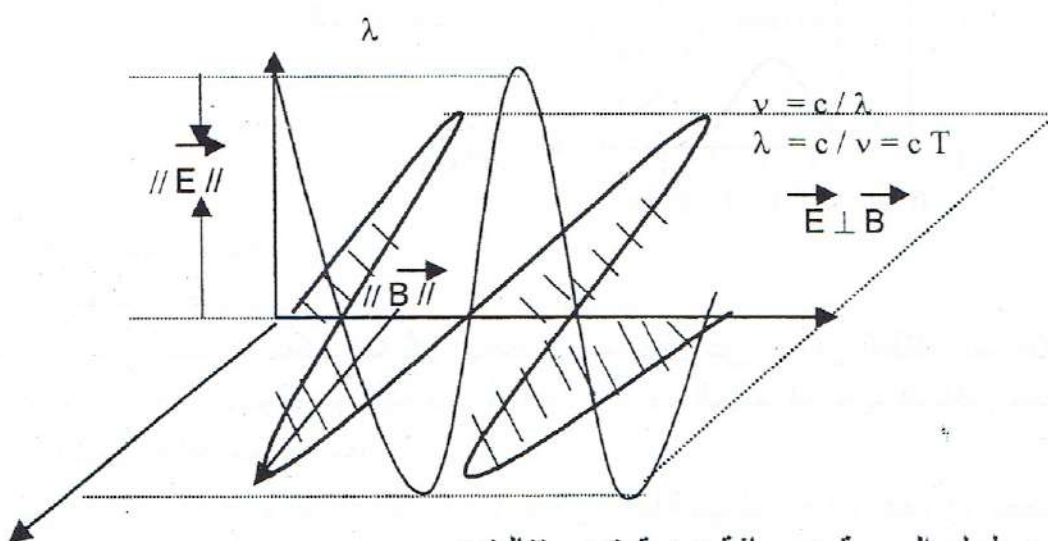
I. النموذج الذري لروutherford (1911) Rutherford.

من خلال تجربة رutherford (قذف ورقة ذهب بدقائق α) اقترح هذا الأخير نموذجاً كوكبياً للذرة : نواة موجة تدور حولها إلكترونات سالبة بحيث تكون الجملة متعادلة . لم يجب هذا النموذج على الأسئلة الآتية :

- عند انتقال الإلكترون حول النواة يولـد موجـة كهـرومغناطـيسـيـة (انتـقال شـحـنة كـهـرـبـائـيـة فـيـ الفـضـاءـ) حيث يـشـعـ طـاقـةـ فـتـوـقـعـ طـيفـ مـسـتـمرـ (بيـنـ بالـمـرـ) تـجـرـيـبـياـ سـنـةـ 1885ـ أـنـ طـيفـ ذـرـةـ الـهـيـدـرـوـجـينـ غـيرـ مـسـتـمرـ).
- يـترـتبـ عـنـ هـذـاـ إـشـاعـ تـنـاقـصـ فـيـ الطـاقـةـ حيث يـصـبـ مـسـارـ إـلـكـتـرـوـنـ حـلـزـونـيـ وـ يـسـقطـ عـلـىـ النـواـةـ (نـمـوذـجـ غـيرـ مـسـتـقرـ). يـسـتـنـجـ مـنـ هـذـاـ أـنـ نـمـوذـجـ غـيرـ كـامـلـ وـ عـلـىـ عـكـسـ ذـلـكـ اـتـضـحـ أـنـ $r_A = 10^4 r_N$ (Rutherford).

1) الإشعاع الكهرومغناطيسي

الضوء عبارة عن حقل كهربائي \vec{E} مصاحب لحقل مغناطيسي اهتزازي \vec{B} ينتشر في الفضاء بحركة موجية (انتقال شحنة كهربائية ينتج موجة كهرومغناطيسية).



λ : طول الموجة : مسافة بين قمتين متتاليتين (m)

c : سرعة الضوء (m/s)

T (s⁻¹) : الدور

v (hertz cycles/s) أو التواتر

$\parallel \vec{E} \parallel$: سعة الحقل الكهربائي

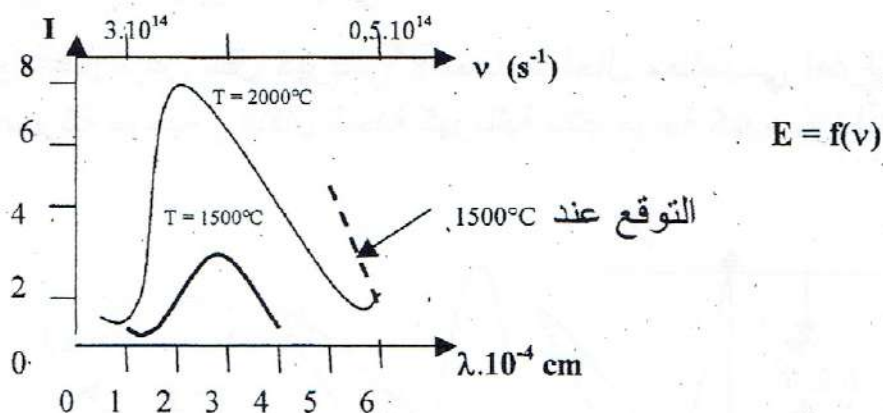
$\parallel \vec{B} \parallel$: سعة الحقل المغناطيسي

يتكون الطيف الكهرومغناطيسي من جميع الأمواج الضوئية و هي مجموعة أين يأخذ التواتر فيها كل القيم بصفة مستمرة . تتناسب الطاقة طرد يا مع شدة الضوء يعني تتناسب مع مجموع $E^2_{\max} + B^2_{\max}$ و باعتبار آخر لا تعتمد الطاقة على التواتر .

$\nu \text{ (cm}^{-1}\text{)}$	1	10	10^2	10^3	10^4	10^5	10^6	طاقة عالية
طاقة ضعيفة	الأمواج الميكرو			تحت الحمراء L.R		فوق البنفسج U.V	الأشعة السينية R.X	
$\lambda \text{ (cm)}$	1	10^{-1}	10^{-2}	10^{-3}	10^{-4}	10^{-5}	10^{-6}	
$\Delta E \text{ (joules)}$	$2 \cdot 10^{-23}$		$2 \cdot 10^{-21}$		$2 \cdot 10^{-19}$		$2 \cdot 10^{-17}$	

الطيف الكهرومغناطيسي

لم تفسر النظرية الكلاسيكية للأمواج الكهرومغناطيسية $E \sim I$ (I هي شدة الضوء) طبيعة الإشعاع المنبعث من طرف مادة صلبة ساخنة .



$E \sim I$: الشدة النسبية

ν : تواتر الضوء

لقد تم البرهان بالتجربة عكس ما كان يعتقد (λ مستقل عن E) أن الطاقة المنبعثة من مادة صلبة ساخنة تتبع التواتر وعليه فإن كل لون يأخذ الجسم الصلب الساخن حسب درجة الحرارة يكون موافقاً للتواتر معين .

- بين ماكس بلانك Max Planck أنه لا يمكن لجملة ميكانيكية أن تأخذ إلا بعض القيم المعينة للطاقة و هذا ما يفسر عدم استمرارية الإشعاع . هناك تكميم للطاقة (فرضية الكوانتا) ينتشر الضوء حسب أحزمة من الأمواج (موجة تواترها ν) .

$$E = n \cdot h\nu$$

n : عدد كامل ، عدد كمي (كواتي)

h : ثابت بلانك Planck

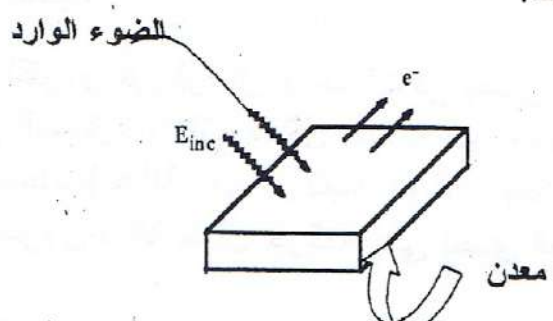
تكون طاقة الإشعاع المنبعث من طرف مادة صلبة مسخنة غير مستمرة بل متفرقة حسب كميات موافقة لمعانٍ من الطاقة معينة حيث $E = n \cdot h \nu$

- ν هي أصغر كمية من الطاقة التي يمكن أن تظهر في شكل إشعاع توائره ν . هو دقائق عنصرية من الطاقة تدعى بالكتنوم.

- أكد انشطابين Einstein نظرية نيوتون Newton التي تنص أن الضوء هو عبارة عن جسيمات كما أكد بلانك Planck بتعريفه للضوء: "الضوء هو عبارة عن حبيبات من الطاقة تنتقل بسرعة الضوء ($c = 3,10^8 \text{ m/s}$) و تسمى بالفوتونات".
- تختلف الإشعاعات بعضها عن بعض بطاقة فوتوناتها (إشعاع توائره ν يحمل طاقة $E = h \nu$) و الذي يفسر بالفعل الكهروضوئي.

(2) الفعل الكهروضوئي

ظاهره لم تفسر بواسطة النظرية الكهرومغناطيسية. يصاحب تأثير الضوء على سطح معدني انبعاث فوتونات.



لا تنفرط الإلكترونات من سطح المعدن إلا إذا أعطي قيمة معينة E_{mini} من الطاقة الساقطة E_{inc}

$$E_{inc} \geq E_{mini}$$

تتعلق سرعة الإلكترونات المنفرطة بالطاقة الواردة وتنزليها.

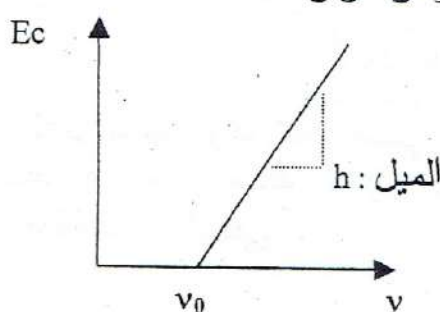
- أكد انشطابين Einstein بنظرية بلانك Planck بنصيه: "لا تنبعث الإلكترونات من سطح معدني إلا إذا كانت الطاقة الساقطة أكبر من طاقة صغرى تسمى بطاقة العتبة (E_0)"

$$E_{inc} > E_{mini} \quad E_{mini} = E_{seuil} = E_0$$

$$E_{ph} > E_0 \quad v_{inc} > v_0$$

$$E = h\nu, \quad \nu = E/h \Rightarrow$$

v_0 هو توائر العتبة وهو مميز للمعدن (العتبة الكهروضوئية)
تنزلي سرعة الإلكترونات الملفوظة مع قيمة توائر الوارد



v_0 هو توائر الضوء الممتص
 E_0 هي الطاقة الحرارية للإلكترونات الملفوظة

$$\frac{E_{inc}}{hv} = E_0 + E_c \Rightarrow E_c = \frac{1}{2} m_e v^2 = hv - hv_0 = h(v - v_0)$$

II. النموذج الذري لبوهر .Bohr (1913)

لأبعاد تناقضات نموذج رutherford (نظام غير مستقر) و لتفسیر عدم استمرارية طیف ذرہ الھیدروجن المقام من طرف بالمر Balmer والذی یخضع إلی القانون التجربی :

$$v = 3,29 \cdot 10^{15} (1/4 - 1/n^2) \text{ cycles/s (Hz)} \quad n \geq 3$$

اقتصر بوهر Bohr ، معتمدا على نظرية الكم لماكس بلانک Max Planck ، نموذجا للذرة من خلال المسلمات التالية :

- 1- لا يمكن للإلكترون في ذرة أن يوجد إلا في بعض المدارات المفضلة (حالات معينة) تدعى بالمدارات المستقرة و التي تشكل متتالية غير مستمرة. يوافق كل منها بالنسبة للذرة مستوى طاقوي محدد (طاقة معينة و ثابتة) و الذي يمكن حسابه بنظرية الكم (الكونتا).
- 2- لا يشع الإلكترون طاقة خلال حركته على إحدى المدارات و لا تتغير طاقته و حركته لا تتلاشى.

يمكن تغيير الحالة الطاقوية للإلكترون بفعل عامل خارجي (امتصاص طاقة ناتجة عن تصادمه مع ذرة أخرى) فيصبح مثرا و ينتقل إلى مدارات خارجية ذات مستويات طاقوية أكبر (حالات غير مستقرة) و عندما يسقط من جديد على مدار أقرب فإنه يشع طاقة. تتم هذه الانتقالات من مدار إلى مدار آخر بالقفز المفاجئ للطاقة:

$$\Delta E = E_f - E_i = hv.$$

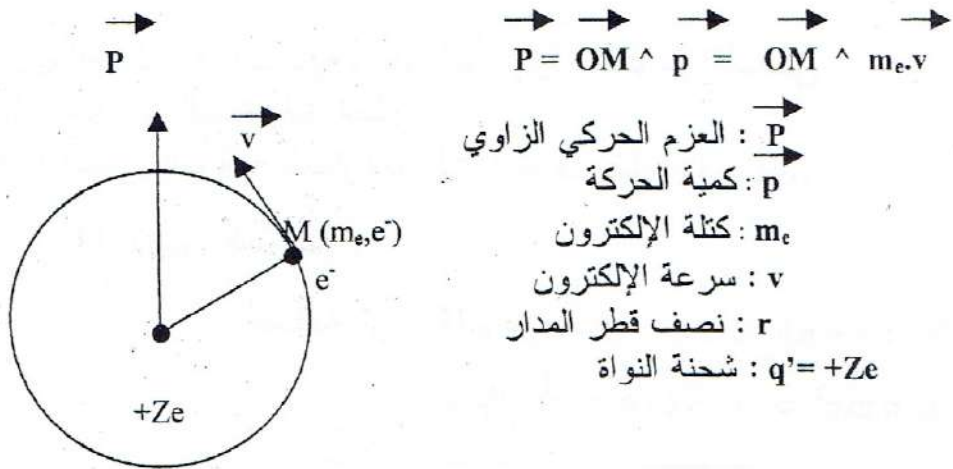
- 3- عندما يوجد الإلكترون في مدار مستقر، يكون مساره دائريا.

4- الحالات المستقرة المسموحة للإلكترون هي تلك التي يكون فيها عزم الزاوي \vec{P} ، و هو الشعاع العمودي على مستوى المدار والمدار بمركزه و المساوي لجذاء كمية الحركة p في نصف القطر r ، مساو لمضاعف $h/2\pi$.

$$P = m.v.r = n.h / 2\pi$$

n : عدد كامل موجب وهو العدد الكمي الرئيسي

يكون لدينا على مدار مستقر توازن ديناميكي (استقرار ميكانيكي للمدار) والذي یخضع إلى قوانین الميكانيک الکلاسیکی.



$|\vec{P}| = |\vec{OM}| \wedge |\vec{p}| = |\vec{OM}| \cdot m_e v \sin(\vec{OM}, \vec{v}) = m_e v r$ $\vec{OM} \perp \vec{v}$
 يخضع الإلكترون إلى قوة التجاذب الكهروستاتية (نواة موجبة و الكترونات سالبة) وإلى
 قوة الطرد المركزي (انقال الإلكترون حول النواة بسرعة ثابتة v) يصف حركة دائرية
 منتظمة تساويها ثابت و مساوي لـ v^2/r

$$\sum \vec{F} = \vec{0} \quad \vec{F}_{cb} + \vec{F}_c = \vec{0} \quad |\vec{F}_{cb}| = |\vec{F}_c|$$

$F_{cb} = Kqq'/r^2$: قوة كولون : Coulomb

$F_c = mv^2/r$: القوى الطاردة (النبد)

$$KZe^2/r^2 = m_e v^2/r \Rightarrow KZe^2/r = m_e v^2 \dots [1]$$

$$K = 1/4\pi\epsilon_0 = 9 \cdot 10^9 \text{ (MKSA)} ; K = 1 \text{ (CGS)}$$

$$\epsilon_0 = 1 \cdot 10^{-9} / 36\pi = 8,85 \cdot 10^{-12} \text{ (MKSA)}$$

1) تعريف نصف قطر المدار المستقرة :

$$P = m.v.r = n.h/2\pi \text{ (Bohr المسلمة الرابعة لبوهر)} \Rightarrow m^2 \cdot v^2 \cdot r^2 = n^2 \cdot h^2 / 4\pi^2 \dots [2]$$

$$[1] \cdot (m.r^2) \Rightarrow m^2 \cdot v^2 \cdot r^2 = m.r.K.Z.e^2 \dots [3]$$

$$[2] = [3] \Rightarrow r = n^2 \cdot h^2 / 4\pi^2 m.e^2 Z.K \Rightarrow r = n^2 / Z \times h^2 / 4\pi^2 m.e^2 K$$

$$\text{en C.G.S} \quad K = 1 \Rightarrow r = n^2 / Z \times h^2 / 4\pi^2 m.e^2$$

$$\text{en MKSA} \quad K = 1 / 4\pi\epsilon_0 \Rightarrow r = n^2 / Z \times h^2 \cdot \epsilon_0 / \pi \cdot m \cdot e^2$$

$$\boxed{r_n = n^2 \cdot a_0 / Z \quad a_0 = h^2 \epsilon_0 / \pi \cdot m \cdot e^2}$$

$$h = 6,62 \cdot 10^{-34} \text{ J.s} ; \epsilon_0 = 1 \cdot 10^{-9} / 36\pi ; m_e = 9,1 \cdot 10^{-31} \text{ kg} ; e = 1,6 \cdot 10^{-19} \text{ C} \Rightarrow$$

$$a_0 = 0,529 \cdot 10^{-10} \text{ m} = 0,529 \text{ \AA}$$

: نصف قطر المدار الأول لبوهر بالنسبة لذرة الهيدروجين a_0

$$Z = 1, n = 1, r_1 = a_0$$

$$n = 2, r_2 = 4 a_0$$

$$n = 3, r_3 = 9 a_0 \dots$$

$n = 1$ يوافق الحالة الأساسية و هو المستوى الطيفي الأساسي
 $n = 2,3,4,5\dots$ هم المستويات المثارة
 الحالات المثارة الموافقة للمدارات ذات النصف قطر $4a_0, 9a_0, \dots$

(2) تعريف السرعة :

$m_e \cdot v \cdot r = n \cdot h / 2\pi \Rightarrow v = n \cdot h / 2\pi \cdot m_e \cdot r$ (Bohr)

$$r = n^2 / Z \times h^2 \epsilon_0 / \pi \cdot m \cdot e^2 \Rightarrow v_n = Z / n \times e^2 / 2h \cdot \epsilon_0$$

$$v_n = Z \cdot v_1 / n \quad v_1 = e^2 / 2h \cdot \epsilon_0$$

$$v_1 = e^2 / 2h \cdot \epsilon_0 = 2,189 \cdot 10^6 \text{ m/s}$$

تكون سرعة الإلكترون على مدارات بوهر v_1 بالنسبة لذرة الهيدروجين

$$Z = 1, n = 1, v_1 = v_1 / 1 = 2,18 \cdot 10^6 \text{ m/s}$$

$$n = 2, v_2 = v_1 / 2 = 1,09 \cdot 10^6 \text{ m/s}$$

$$n = 3, v_3 = v_1 / 3 = 0,72 \cdot 10^6 \text{ m/s}$$

(3) تعريف الطاقة الكلية :

يمكن حساب الطاقة الموافقة لمدار معين بتعيين r_n . عند انتقاله على مدار برتبة n تساوي طاقته الإلكترون مجموع الطاقة الكامنة والحركية

حساب الطاقة الحرارية

$$E_C = m \cdot v^2 / 2 \text{ or } K \cdot Z \cdot e^2 / r^2 = m \cdot v^2 / r \Rightarrow mv^2 / 2 = K \cdot Z \cdot e^2 / 2r$$

$$E_C = mv^2 / 2 = K \cdot Z \cdot e^2 / 2r = Z \cdot e^2 / 8\pi \cdot \epsilon_0 \cdot r$$

حساب الطاقة الكامنة

تساوي الطاقة الكامنة العمل اللازم لنقل الإلكترونا ذو شحنة سالبة من اللانهاية حتى مسافة قدرها r من النواة مع احتمال أن الإلكترون يوجد في اللانهاية ويقترب من النواة.

$$dw = f \cdot dr \Rightarrow w = \int_{\infty}^{\infty} f \cdot dr \text{ or } f = -K \cdot Z \cdot e^2 / r^2 \Rightarrow w = \int_{\infty}^{\infty} -K \cdot Z \cdot e^2 / r^2 dr$$

$$w = [K \cdot Z \cdot e^2 / r]_{\infty}^{\infty} \quad w = E_P(\infty) - E_P(r) = K \cdot Z \cdot e^2 / r$$

بالاصطلاح نضع $E_P(r) = -K \cdot Z \cdot e^2 / r$ و $E_P(r) < 0 \Leftarrow E_P(\infty) = 0$

$$E_T = E_C + E_P = K \cdot Z \cdot e^2 / 2r - K \cdot Z \cdot e^2 / r = -K \cdot Z \cdot e^2 / 2r = E_T$$

$$K = 1 / 4\pi \cdot \epsilon_0 \quad \text{و} \quad r = n^2 / Z \times h^2 \cdot \epsilon_0 / \pi \cdot m \cdot e^2 \Rightarrow$$

$$E_T = -1/4\pi \cdot \epsilon_0 \times Z \cdot e^2 / 2 \times 1 / n^2 / Z \times h^2 \cdot \epsilon_0 / \pi \cdot m \cdot e^2 = -Z^2 / n^2 \times m_e e^4 / 8\epsilon_0^2 h^2 = E_n$$

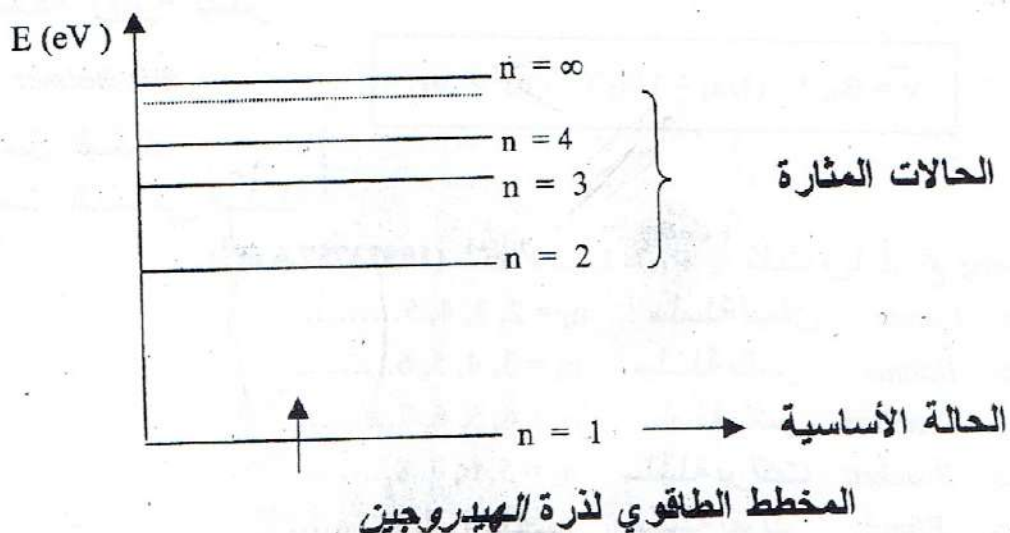
$$E_n = -A \cdot Z^2 / n^2 \quad A = m_e e^4 / 8 \epsilon_0^2 h^2$$

$$A = m_e e^4 / 8 \epsilon_0^2 h^2 = 2,179 \cdot 10^{-18} \text{ J} = 13,54 \text{ eV.}$$

		E = -A
الحالة الأساسية		لذرة الهيدروجين
Z = 1	n = 1	$E_1 = -A \cdot Z^2 / n^2 = -A = -13,54 \text{ eV}$
	n = 2	$E_2 = E_1 / 4 = -3,4 \text{ eV}$
	n = 3	$E_3 = E_1 / 9 = -1,51 \text{ eV}$
	n = 4	$E_4 = E_1 / 16 = -0,85 \text{ eV}$
	n = 5	$E_5 = E_1 / 25 = -0,54 \text{ eV}$
	n = 6, 7, ..., E ₆ , E ₇ , ..., E _∞	

4) أطیاف الامتصاص - أطیاف الإبعاد

تبين انه لا يسمح للإلكترون أن يشغل إلا بعض مستويات الطاقة (الموافقة للحالات المستقرة) والتي طاقتها تحقق العلاقة التالية : $E_n = A \cdot Z^2 / n^2$



- **الحالة الأساسية (n = 1)** هي الحالة الموافقة لأدنى طاقة و هي أقل طاقة من الحالات المثارة.
- لنزع الإلكترون من قوة جذب النواة يلزم تمويه بالطاقة الأدنى التي تنتقله من المستوى الأساسي n = 1 حتى المستوى ∞ → n و تسمى بـ **طاقة التأين** E_i

$$E_i = E(\infty) - E_1 = 0 - (-13,6 \text{ eV}) = 13,6 \text{ eV}$$

- تتغير الحالة الطاقوية للإلكترون بامتصاصه للطاقة فيصبح في حالة مثارة وينتقل إلى مدارات خارجية أكبر طاقة و يتم ذلك بالقفز المفاجئ للطاقة (المسلمة الثانية / بوهر) :

$$\Delta E = | E_f - E_i | = h\nu \quad \text{طاقة الفوتون} \quad \Delta E$$

عندما يسقط الإلكترون على مدار مستقر أقرب فيبعث طاقة (يتم الانبعاث الطاقوي عند انتقال الإلكترون من مستوى مثار إلى مستوى أقل إثارة).

$$hv = |E_f - E_i| = |E_2 - E_1| = |-AZ^2 (1/n_2 - 1/n_1)| = AZ^2 |(1/n_1 - 1/n_2)|$$

$$\Rightarrow v = AZ^2 / h \times (1/n_1 - 1/n_2)$$

ونعود مرة أخرى لعلاقة بالمر *Balmer* التجريبية (1885) :

$$v = 2,18 \cdot 10^{-18} / 6,62 \cdot 10^{-34} |(1/n_1 - 1/n_2)| = |(1/n_1 - 1/n_2)| \times 3,29 \cdot 10^{15} \text{ cycles/sec}$$

وبتعبير آخر فإن تعبير بوهر متطابقة لطيف ذرة الهيدروجين المعروف كما نلاحظ أنه عند وضع $n_1 = 1$ يمكن أن تتوقع سلسلة طيفية ، نفس الشيء عندما نضع $n_1 = 2$.. إذن يمكننا أن تتوقع عدة سلاسل من الخطوط الطيفية حسب الطاقة المنبعثة من الإلكترون و بدلاً من استعمال توافر الإشعاع الممتص أو المنبعث نستعمل العدد الموجي v

$$v = c / \lambda = c \bar{v} \Rightarrow \bar{v} = 1 / \lambda$$

$$hv = h.c / \lambda = h.c.v = AZ^2 (1/n_1 - 1/n_2) \Rightarrow \bar{v} = 1/\lambda = AZ^2 / h.c \times (1/n_1 - 1/n_2)$$

علاقة ريتز - بالمر

$$\bar{v} = R_H Z^2 (1/n_1 - 1/n_2) \quad n_2 > n_1$$

Ritz-Balmer.

n_1 : يمثل السلسلة

n_2 : يمثل الخط في السلسلة

R_H : Rydberg ثابت رينبارغ $R_H \approx 1,1 \cdot 10^7 \text{ m}^{-1}$ (10973757,6 m⁻¹)

$n_1 = 1 \Rightarrow Lyman$ سلسلة ليمان $n_2 = 2, 3, 4, 5, \dots$

$n_1 = 2 \Rightarrow Balmer$ سلسلة بالمر $n_2 = 3, 4, 5, 6, \dots$

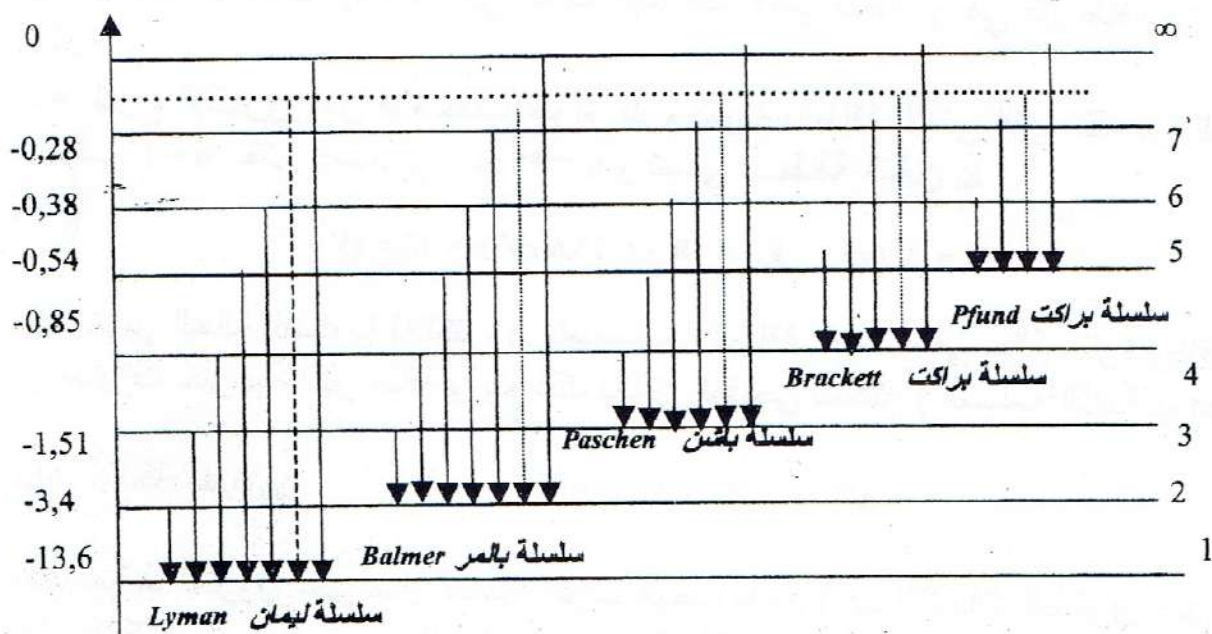
$n_1 = 3 \Rightarrow Paschen$ سلسلة باشن $n_2 = 4, 5, 6, 7, \dots$

$n_1 = 4 \Rightarrow Brackett$ سلسلة براكت $n_2 = 5, 6, 7, 8, \dots$

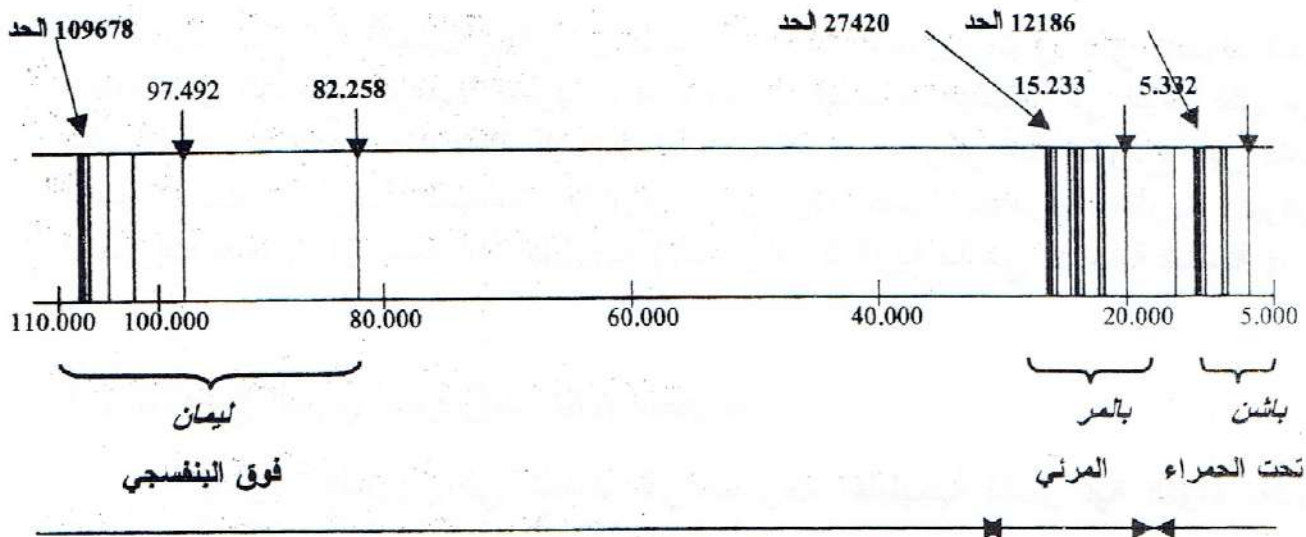
$n_1 = 5 \Rightarrow Pfund$ سلسلة بفوند $n_2 = 6, 7, 8, 9, \dots$

$E(\text{eV})$

n



طيف الامتصاص لذرة الهيدروجين



جزء من طيف الامتصاص لذرة الهيدروجين

ملاحظات :

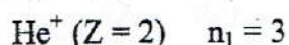
- 1- يطلق على ما يسمى بالانتقال الإلكتروني المرور من مستوى طاقي إلى آخر.
 - 2- عند انتقال الإلكترون من مستوى مستقر إلى مستوى أقل استقرارا ($\Delta E = h\nu$) نقول أن هناك امتصاص للطاقة.
 - 3- عند انتقاله من مستوى أقل استقرار (مثارة) إلى مستوى أكثر استقرار (أقل إثارة) نقول أن هناك انبعاث للطاقة و يشع الإلكترون طاقة ($\Delta E = h\nu$)
 - 4- لنزع الإلكترون من مداره يجب إعطائه طاقة تنقله من مداره إلى اللانهاية و تكون الطاقة المعطاة موجبة (امتصاص) و هي ما تسمى بطاقة التأين
- $$E_i = E(\infty) - E_n = -E_n$$

$$E_i = 0 - (-13,6) = +13,6 \text{ eV}$$

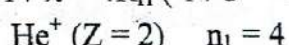
- 5- لتحديد المجال $[\lambda_1 - \lambda_2] = \Delta \lambda$ لكل سلسلة طيفية ينبغي تعريف الخطوط الحدية لكل منها (الخط الأول والخط الحدي).

شكل تفسير طيف ذرة الهيدروجين نجاحاً معتبراً لنموذج بوهر Bohr الذي يعتمد على عامل واحد فقط وهو العدد الكمي n الرئيسي وبهذا يكون هذا النموذج كافياً أيضاً لتفسير طيف He^+ , Li^{2+} , Be^{3+} , ... هذه العناصر ما هي إلا عناصر تملك الإلكترون واحداً و تسمى بأشباه الهيدروجين أو الهيدروجينيات.

مثال : He^+



$1/\lambda = 4R_H (1/3^2 - 1/n^2)$ سلسلة فلاور. Flower.



$1/\lambda = 4R_H (1/4^2 - 1/n^2)$ سلسلة بيكرینغ. Pickering.

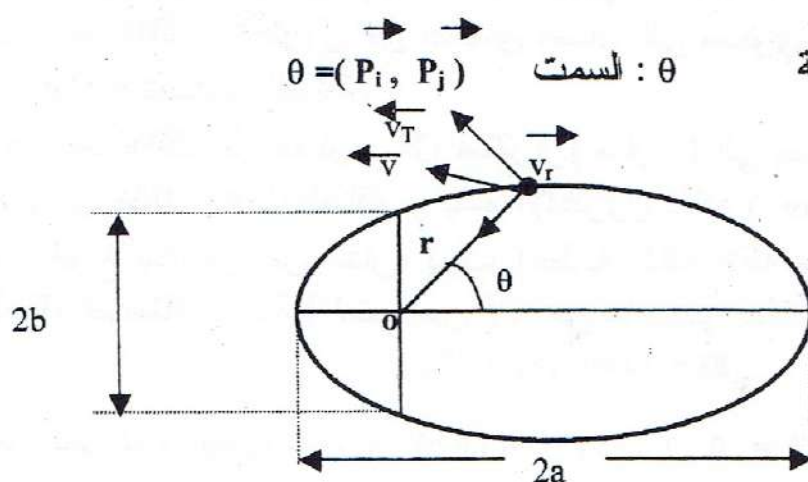
بينت مطيافية التحليل العالى أن طيف ذرة الهيدروجين يحتوى على خطوط أكثر خطوط من تلك التي توقعها نظرية بوهر. تتكون الخطوط البسيطة في الواقع لكل من سلسلة ليمان ، بالمر... من خطوط مضاعفة ملائمة جدا و يبقى هذا النموذج غير كاف لتفسير أطیاف الذرات المتعددة الإلكترونات و لهذا عمد سومرفلد نظرية بوهر للمسارات الدائرية إلى مسارات أهليجيّة (المسارات الدائرية ما هي إلا حالة خاصة).

III. النموذج الذري لسومرفلد Sommerfeld.

" يتحرك الإلكترون في الحقيقة في مسارات أهليجيّة تشغّل فيه النواة إحدى البويرتين أما المسار الدائري فهو حالة خاصة "

يعرف القطع الناقص بمتغيرين (r, θ) أو (a, b)

- a : نصف طول المحور الصغير و الكبير
- v : سرعة الإلكترون
- r : نصف القطر
- v_r, v_T : مركبات السرعة



يميز القطع الناقص بتباعد $e = b/a$ مع $e \leq 1$.
يكون مسار الإلكترون دائرياً (بوهر) عندما $b/a = 1$.
تمثّل طاقة الذرة طاقة الإلكترون (نفترض أن النواة ثابتة - ساكنة - بالنسبة للإلكترونات)

$$E_T = E_C + E_P = -AZ^2 / n^2 = C^{te}.$$

النتائج :

- مسار أهليجي (قطع ناقص) مميز بالأبعاد $e = b/a$
- الطاقة الكلية ثابتة $E_T = -AZ^2 / n^2$
- الأعداد الكمية

* العدد الكمي الرئيسي " n "

n يميز طبقة إلكترونية (نفس نتيجة بوهر)

$$2a = 2r_n \quad (r_n = n^2 a_0 / Z) \quad n \in N^*$$

..... $n = 1$ الطبقة K ، $n = 2$ الطبقة L ، $n = 3$ الطبقة M

• العدد الكمي الثانوي " I "

$$e = b/a = k/n \quad k \in N^* \quad \text{et} \quad k \leq n \rightarrow I = k-1$$

$e = b/a = I+1/n$

$I \neq -1$

من أجل n معطاة يكون لدينا n قيم ل k يعني n قيم ل " I " .
 n معطاة $I = 0, 1, 2, 3, 4, \dots, n-1$ و $k = 1, 2, 3, 4, \dots, n$ في طبقة إلكترونية برتبتها n تكون لها نفس المسارات و نفس المحور الكبير و تختلف في رتبة المحور الصغير.

مثال : الطبقة M ($n=3$)

$$n=3 : \quad I=0, \quad I=1, \quad I=2$$

- $I=0 \quad e = b/a = I+1/n = 1/3 \quad ($ القطع الناقص الأكثر تسطح $)$
- $I=1 \quad e = b/a = I+1/n = 2/3 \quad ($ القطع الناقص الأقل تسطح $)$
- $I=2 \quad e = b/a = I+1/n = 3/3 \quad ($ دائرة نصف قطرها $r=a$ $)$

شرط تكميم السرعة/بوهر $\vec{C} = \vec{v} \times \vec{r}$ يشترط على مركباتها v_r و v_T

$I=0 \rightarrow s$ (sharp)

$I=1 \rightarrow p$ (principal)

$I=2 \rightarrow d$ (diffuse)

$I=3 \rightarrow f$ (fundamental)

K	الطبقة	$n=1$	$I=0$	1s
L	الطبقة	$n=2$	$I=0 ; I=1$	2s 2p
M	الطبقة	$n=3$	$I=0 ; I=1 ; I=2$	3s 3p 3d
N	الطبقة	$n=4$	$I=0 ; I=1 ; I=2 ; I=3$ (ns) (np) (nd) (nf)	4s 4p 4d 4f

بينت مختلف الحسابات أن عدد المسارات هو $(2I+1)$ مسارا. تعرف بمجموع $(2I+1)$ مسارات طبقة إلكترونية تحتية كما أن الزوج (I, n) يعرف طبقة إلكترونية تحتية.

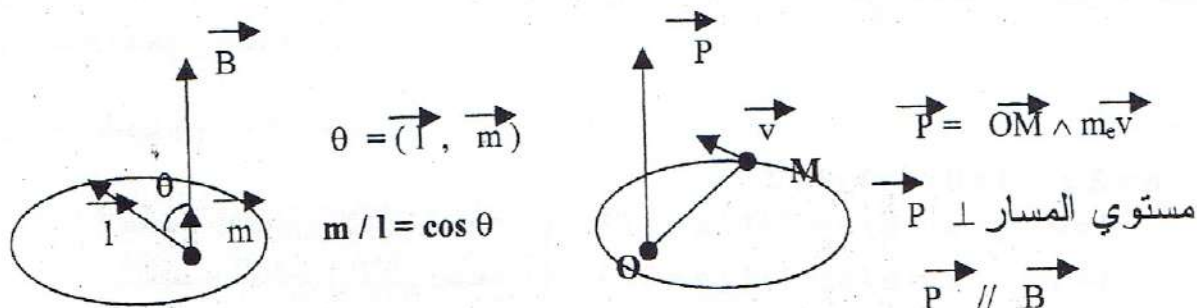
مثال : الطبقة N ($n=4$)

- $n=4, \quad I=0 \longrightarrow s/c \quad 4s \longrightarrow (2I+1=1) \quad ($ مسار واحد $)$
- $n=4, \quad I=1 \longrightarrow s/c \quad 4p \longrightarrow (2I+1=3) \quad ($ مسارات $)$
- $n=4, \quad I=2 \longrightarrow s/c \quad 4d \longrightarrow (2I+1=5) \quad ($ مسارات $)$
- $n=4, \quad I=3 \longrightarrow s/c \quad 4f \longrightarrow (2I+1=7) \quad ($ مسارات $)$

في المجموع 4 طبقات إلكترونية تحتية و 16 مسارات ممكنة (n^2 مسرا).

• العدد الكمي المغناطيسي " m "

لاحظ زيمان Zeeman سنة 1896 انفلاق الخطوط البسيطة لطيف ذرة الهيدروجين تحت تأثير حقل مغناطيسي شديد. تكون حركة الإلكترون على مسار ما (انتقال شحنة كهربائية) مماثلة لتيار كهربائي عابرا سلك لولبي ينشأ عن ذلك حقل مغناطيسي B عمودي على مستوى المسار فلا بد الأخذ بعين الاعتبار الاتجاهات المختلفة الممكنة لمستوى المسار بالنسبة لـ \vec{B}

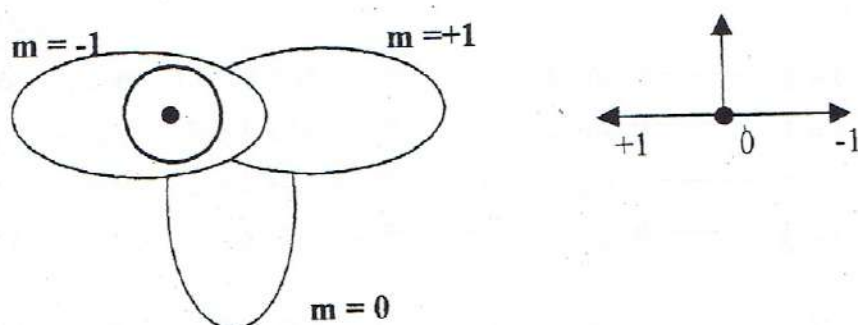


من أجل " l " معطاة $\leftarrow (2l+1)$ مسارات $\leftarrow m$ قيمة ل m : هو العدد الكمي المغناطيسي $m = l \cdot \cos \theta$: مع $m = 0 \leftarrow l = 0$ بالاصطلاح $m = -1, 0, 1 \leftarrow l = 1$

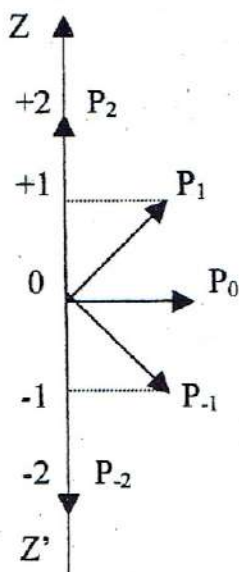
m يمثل الاتجاهات النسبية لمستويات المسارات في الفضاء (اتجاهات شعاع العزم الحركي P) $\theta = (P_i, P_j)$

و يكون P عمودي لمستوى المسار $\leftarrow m = 0 \leftarrow l = 0$
 $+1 \leq \cos \theta \leq -1$ و $+1 \leq m \leq -1 \leftarrow l = 1$

$$\begin{array}{lll} m = +1 & +1 = \cos \theta & \Rightarrow \theta = 0 \\ m = 0 & 0 = \cos \theta & \Rightarrow \theta = \pi/2 \\ m = -1 & -1 = \cos \theta & \Rightarrow \theta = \pi \end{array}$$



$$+2 \leq m \leq -2 \Leftarrow m = (2l+1) \text{ قيم } l \Leftarrow (2l+1) \Leftarrow l = 2 \text{ مسارا}$$

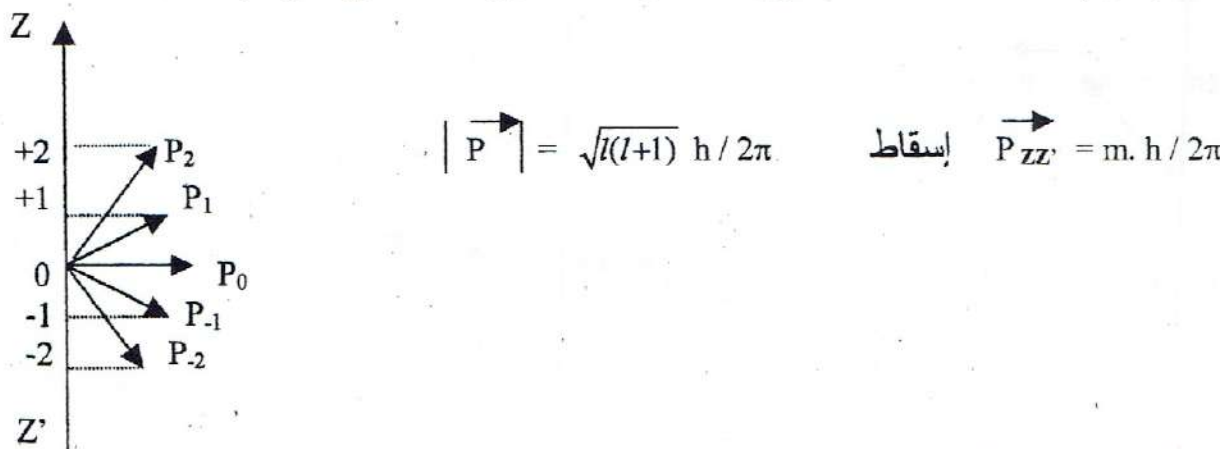


ليست الاتجاهات المختلفة الممكنة لمستوي مسار ما عفوية بل هي
جد محددة و بعدد $(2l+1)$ وهذا هو التكميم الفضائي

يعزى الثاني (n, l, m) خاتمة (حجيرة) الإلكترونية

ملاحظة :
تقودنا ميكانيك الموجي إلى نتيجة مختلفة

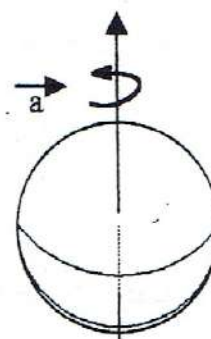
$$\Leftarrow \text{الشعاعين } \vec{P}_2 \text{ و } \vec{P}_{-2} \text{ غير متعاكسان طرد يا } m = \sqrt{l(l+1)} \cos \theta$$



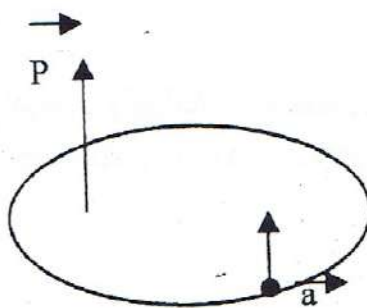
* العدد الكمي للف الذاتي " s "

قادت عدة وقائع تجريبية إلى منح للإلكترون عزم حركي ذاتي للف \vec{a} يسمى العزم الحركي
الذاتي (يدور الإلكترون حول محوره الذاتي مثل الكرة الأرضية حول المحور شمال /
جنوب).

$$| \vec{a} | = \sqrt{3/2} \times h / 2\pi.$$



مستقل عن حركة الإلكترون حول النواة و هو مقدار مميز للإلكترون يجب توضيح اتجاهه بالنسبة لـ \vec{P}

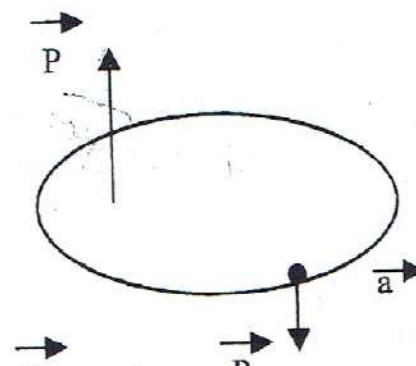


$$s = +1/2$$

في نفس اتجاه

$$s = -1/2$$

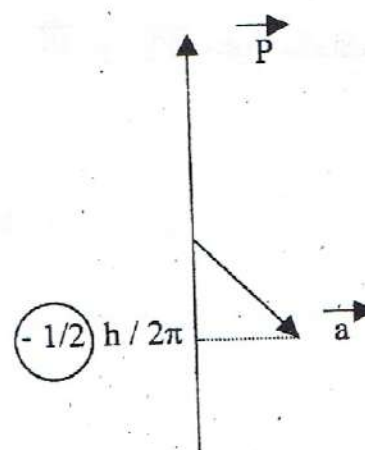
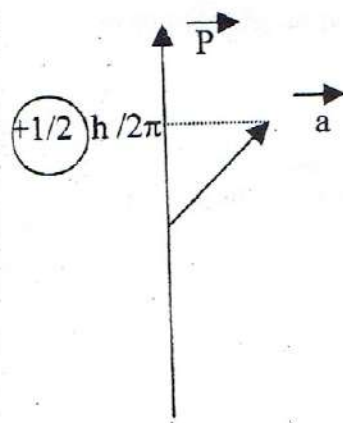
في اتجاه معاكس



يميز الرباعي (s, l, m, n) الإلكترون
ملحوظة :

منبع القيم : $+1/2$ و $-1/2$

تضبط الميكانيك الموجي اتجاه \vec{a} بالنسبة لـ \vec{P}



ملخص :

- يميز طبقة إلكترونية $n \in N^*$ من أجل n معطاة يكون لدينا n قيمة لـ "l" ثابت $\leftarrow l = 0, 1, 2, 3, 4, \dots, n-1 \leftarrow 0 \leq l \leq n-1$
- يميز الزوج (l, n) طبقة إلكترونية تحتية.
- ثابت $\leftarrow l$ ثابت $\leftarrow m = (2l+1)$ مسارا قيمة لـ "m" $\leftarrow -l \leq m \leq +l$
- يميز الثاني (l, m, n) خانة (حيرة) إلكترونية
- يميز الرباعي (s, l, m, n) الإلكترون

من أجل طبقة إلكترونية برتبة n يكون لدينا :

$$\sum_{l=0}^{n-1} (2l+1) = n^2$$

الخلاصة :

كانت فرضية الإلكترون الذي يدور حول النواة على مسار معين (مثل القمر حول الأرض) سهلة الاستيعاب. فسرت هذه النظرية بعض الواقع التجريبية (تضاعف الخطوط الطيفية، مفعول زيمان Zeeman....) لكنها لا تعطي أي تفسير دقيق بالنسبة لأطيف الذرات المتعددة الإلكترونات أو بالنسبة للرابطة الكيميائية ، إن فهي غير كاملة حيث تركت مكانها (1920) نظرية جديدة مرتكزة على مفاهيم جديدة.

تعتمد النظرية الحديثة على أفكار جديدة حول الخواص الموجية للمادة إلا أن تبقى نظرية بوهر - سومرفeld مطبقة فقط على ذرة الهيدروجين وأشباهه: الهيدروجينيات (أيونات تملك إلكترونا واحداً و ذات العدد الذري $Z \geq 2$).

تمارين

التمرين .1.IV :

يتميز الليثيوم Lithium بتوتر العتبة يقدر بـ $5,76 \times 10^{14}$ cycles/s. أحسب سرعة الإلكترونات الملفوظة من سطح قطعة معدنية الواقع تحت الفراغ والموضع بواسطة إشعاع أحادي التووتر طول موجته $\lambda = 3600 \text{ \AA}$.

التمرين .2.IV :

- مستعيناً بفرضية بوهر Bohr للأنظمة ذات الإلكترون الواحد .
- 1- أعط عبارات نصف القطر ، السرعة و طاقة الإلكترون في مدار رتبته n .
 - 2- أحسب r_n ، v_n و E_n للمدار الأول لبوهر Bohr ثم للحالات المثاربة الموافقة $n = 2, 3, 4$ و $n = \infty$ بدلالة r_1 ، v_1 و E_1 .
 - 3- مثل مجموعة قيم المستويات الطاقوية على نفس المخطط.
 - 4- مثل على نفس المخطط الطاقوي : الخطين الأوليين لامتصاص سلسلة ليمان Lyman و الخطين الأوليين لانبعاث سلسلة بالمر Balmer .

التمرين .3.IV :

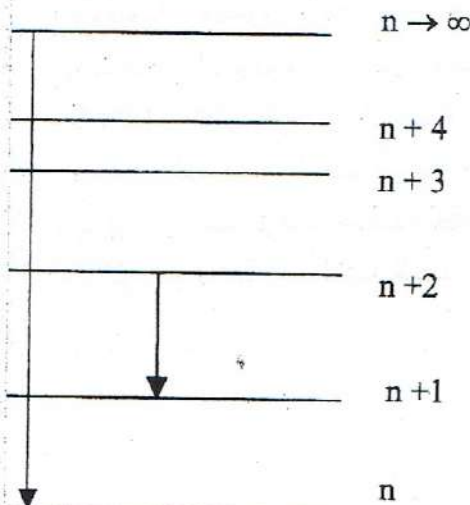
باستعمال عبارات نصف القطر و الطاقة لبوهر Bohr ، أوجد العلاقة $v = a.Z$ حيث v هو التووتر و Z العدد الذري.

التمرين .4.IV :

أعط عبارة ثابت ريدبرغ Rydberg R_H لذرة الهيدروجين مستعيناً بنظرية بوهر . ما هي وحدة (بعد) R_H Bohr .

التمرين .IV :

- I- لنعتبر ، في طيف انبعاث ذرة الهيدروجين ، الانتقاليين الممثلين على المخطط التالي:
يساوي طول الموجة λ_1 للخط الحدي $820,8 \text{ nm}$.



1- حدد قيم n

2- أحسب λ_2

- II- ليعتبر عنصر بور (Bore) $(Z = 5)$ ، أكتب المعادلات
التي تؤدي إلى الهيدروجينيoid الموافق.
تعطى للأيون في حالته الأساسية طاقة تساوي $302,24 \text{ eV}$ و
نفرض أن الإلكترون يمتلك كل الطاقة ، أي مستوى
طاقي سوف يشغل الإلكترون ؟

ما هي الطاقة اللازمة لنزع الإلكترون من جاذبية النواة ؟
المعطيات: $1 \text{ eV} = 1,6 \cdot 10^{-19} \text{ J}$ ، $h = 6,62 \cdot 10^{-34} \text{ J.s}$

التمرين .IV :

يعطى امتداد سلسلة طيفية بالعلاقة التالية : $\Delta\lambda = [\lambda_2 - \lambda_1]$

و λ_1 هما على التوالي طول الموجة الخط الأول والخط النهائي للسلسلة .

- 1- أعط امتداد الخطوط السادس الثالثة الأولى لهيدروجينيoid الليثيوم Lithium $(Z = 3)$ ثم قارنها مع سلاسل ذرة الهيدروجين. إلى أي مجال من الطيف الكهرومغناطيسي تتبع كل سلسلة ؟
- 2- إلى أي سلسلة تتبع الخطوط التالية: $\lambda_c = 2080 \text{ Å}$ ، $\lambda_B = 1420 \text{ Å}$ ، $\lambda_A = 114 \text{ Å}$. عرف الانقال الموافق لكل خط من هذه الخطوط.

التمرين .IV :

لنعتبر الطبقة الإلكترونية $(n = 4) N$.

- 1- أحسب أنساف أطوال المحاور الكبيرة والصغيرة للمدارات الإلكترونية الممكنة .
- 2- عرف الطبقات التحتية الموافقة .
- 3- مثل التوجهات الممكنة L_P عندما $1 = 1$ و عندما $2 = 1$.
- 4- ما هي الطاقة الكلية للإلكترون عندما يتواجد على إحدى مدارات الطبقة N .
- 5- ما هو القطع الناقص الأكثـر تسطحا. ذكر الأعداد الكمية المميزة للإلكترون الذي يشغل هذا المدار .

مدخل إلى الميكانيك الموجي

قدمت نظرية بوهر - سومرفeld النموذج الأول الذي سمح بالوصول إلى نتائج كمية مرضية و تفسير بعض النتائج التجريبية (طيف ذرة الهيدروجين ، مفعول زيمان Zeeman ...) إلا أن هذه النتائج محدودة . و نتيجة قصور هذه النظرية، فتركت مكانها لنظرية جديدة التي تعتمد على مفاهيم جديدة للخواص الموجية للمادة .

أن حركة الإلكترونات لا يمكن تحديدها بمدارات معينة و لكنها حركات معقدة يمكن توضيحها بالجمع بين الخواص الموجية الإلكترون و حساب احتمالات تواجده في هذه المدارات.

I. الطبيعة الموجية للمادة

تقسم الظواهر الفيزيائية إلى قسمين متميزان .

القسم الأول و الذي يشمل جميع الأحداث التي تخضع لقوانين الميكانيك النيوتوني (الكلاسيكي) الذي يصف حركة الدقائق المادية .

القسم الثاني يخص جميع الظواهر التي تظهر فيها خواص الأمواج . يمكن اعتبار الضوء ك :

- انتقال موجة كهرومغناطيسية في الفضاء بسرعة ثابتة c و توافرها v حيث $v = c/\lambda$
 - أو انتقال فوتونات (حزمة من الأمواج) طاقتها: $E = \mu \cdot c^2$ (انشطاين . Planck .) بلانك .
- أين μ هي كتلة الفوتون ، h = ثابت بلانك و c : سرعة الضوء

II. الازدواجية موجة - جسيم

استنتاج لويس نوبرى Louis De Broglie في عام 1924 فرضية مفادها الجمع بين المفهومين (الموجى و الجسىمى للمادة) كما يلى : " يحمل خواص الموجة كل دقة مادية عنصرية و كل جسيم مادي " والتي أدت إلى نشوء الميكانيك الموجي :

$$E = \mu c^2 = h\nu = hc/\lambda \Rightarrow \lambda = h/\mu c$$

عممت هذه الفرضية إلى كل دقة متحركة " يصاحب كل دقة كتلتها m و متحركة بسرعة v موجة يقال لها الموجة المصاحبة (المرافق) للحركة " أو موجة نوبرى

$$\lambda = h/mv = h/p$$

الظاهره الجسيمية

الظاهره الموجية

λ : الموجة المرافقه لدقيقة متحركة أو موجة نويرى

p : كمية الحركة ، تقيس القصور الذاتي لدقيقة متحركة أي ميلها للبقاء في حالة حركة.

تسمح هذه الفرضية باثبات شرط تكميم مسلمة بوهر *Bohr* و لكن لا تتلاشى الموجة المرافقه بواسطه التداخل ، يجب أن يكون هذا المسار (الدائري) مضاعفا من مضاعفات λ

$$m.v.r = n.h / 2\pi \quad 2\pi.r = n.\lambda \Rightarrow \lambda = h / m.v$$

عند الحالة الأساسية تكون سرعة الإلكترون لدى ذرة الهيدروجين :

$$v = 2,18 \cdot 10^6 \text{ m/s} , \quad \lambda = h / m.v = 3,3 \text{ \AA}$$

الجسيمات والأمواج ليست ظواهر متناظرة بل متكاملة، كل واحدة منها تركز على الخاصية المميزة لكل ظاهرة فيزيائية.

- يسود المظاهر الجسيمي عندما يتعلق الأمر بوصف الأشياء الكبيرة نسبيا (السلم المرئي - الماكروسکوبي).

مثال : طول الموجة المرافقه لصاروخ كتلته 4000 kg و سرعته $v = 100 \text{ km/h}$ $\lambda = 1,6 \cdot 10^{-42} \text{ m}$ (مهملا بالنسبة للأبعاد المستعملة)

- المظاهر الموجي يكون سائدا عندما يتعلق الأمر بوصف الأشياء الصغيرة جدا التي تفلت من مجال أدراكنا المباشر.

مثال : طول الموجة المرافقه للكترون كتلته $9,1 \cdot 10^{-31} \text{ kg} = 9,1 \text{ eV}$ و سرعته $v = 5,9 \cdot 10^6 \text{ m/s}$ $\lambda = 1,233 \cdot 10^{-10} \text{ m}$ (في سلم الذرة)

يشكل النموذجين الموجي والجسيمي للإلكترون فرضيتين متكاملتين لكنها غير منسجمة.

III مبدأ الشك لهيزنبرغ : Heisenberg

إذا استعملنا في نفس الوقت النموذجين لوصف حركة الإلكترون ، ينتج عن عدم تحديد الذي يجد تعبيره في مبدأ الشك لهيزنبرغ " لا يمكن تعين وضع الإلكترون و كمية حركته و التي هي ضرورية لمعرفتها مسار الإلكترون وهذا في نفس الوقت بأكثر دقة كما هو معطى بالعلاقة :

$$\Delta p_x \cdot \Delta x \geq h$$

Δx : الارتياح على الوضع حسب المحور x

Δp_x : الارتياح على كمية الحركة حسب المحور x

- دقة متنقلة في الفضاء (حسب Ox, Oy, Oz)

$$\Delta p_x \cdot \Delta x \geq h \quad \Delta p_y \cdot \Delta y \geq h \quad \Delta p_z \cdot \Delta z \geq h.$$

حسب المحور Ox

$$\Delta p_x \cdot \Delta x = h , \quad \Delta p = \Delta(mv) = m\Delta v + v\Delta m = m\Delta v \quad (\Delta m = 0)$$

$$\Delta v \cdot \Delta x = h / m \Rightarrow \Delta v \Delta x \neq m \quad (h = \text{ثابت})$$

يكون الجدأ $\Delta v \cdot \Delta x$ أقصى عند m أدنى يعني $m = 9,1 \cdot 10^{-31} \text{ kg}$

$$\Delta v \cdot \Delta x = h / m = 6,62 \cdot 10^{-34} / 9,1 \cdot 10^{-31} = 7,28 \cdot 10^{-4} \text{ m}^2 \cdot \text{s}^{-1}.$$

مثال: نفرض أنه قد تم تحديد نصف قطر ذرة بواهير بدقة قدرها 1% ($r = 0,53 \cdot 10^{-10} \text{ m}$) ونريد حساب الارتباط على سرعة الإلكترون المقدرة بـ 10^6 m/s

$$\Delta r / r = 0,01 \Rightarrow \Delta r = 0,01 \times 0,53 \cdot 10^{-10} \text{ m} = 5,3 \cdot 10^{-13} \text{ m}.$$

أكبر من سرعة الضوء !!!

$$\Delta v = (h/m) / \Delta r = 7,28 \cdot 10^{-4} \text{ m}^2 \text{s}^{-1} / 5,3 \cdot 10^{-13} \text{ m} = 1,38 \cdot 10^9 \text{ m/s}$$

$\Delta v > v$ أكبر من السرعة التي يمكن أن يأخذها الإلكترون يعني غير مؤكدة لكي نستطيع أن نعيين مساراً للإلكترون.

تمكن الميكانيك الموجي من تحديد احتمال وجود الإلكترون بين نقطتين A و B من الفضاء لكن لا يبين كيف ينتقل هذا الأخير بين هذه النقطتين. لبد أن يترك مفهوم المسار الإلكتروني ويستبدل بمفهوم الحيز من الفضاء حيث يكون وجود الإلكترون أكثر احتمالاً. و نحصل على هذه الصورة انطلاقاً من دالة احتمال - سعة أو دالة الموجة Ψ و التي تسمى أيضاً "المحط الذري أو الأربطة الذري" O.A

IV. المعادلة الأساسية للميكانيك الموجي (معادلة شروبنغ어 Schrödinger)

عملت النظرية الموجية من طرف شروبنغ어 Schrödinger مبيناً أنها لا تطبق على الدوائر الحرة فحسب بل أيضاً على الدوائر المرتبطة "المقيدة".
يجب أن تحقق الدالة Ψ المعادلة الأساسية للميكانيك الموجي أو معادلة شروبنغ어

$$\boxed{\Delta \Psi(x,y,z) + (8\pi^2 m / h^2)(E - V)\Psi = 0}$$

تلعب هذه المعادلة في الميكانيك الموجي نفس الدور الذي تلعبه المعادلة $F = my$ في الميكانيك الكلاسيكي.

- معادلة مستقلة عن الزمن t
- الطاقة الكلية للجملة نواة-إلكترون E
- دالة الطاقة الكامنة $V(x,y,z)$
- الدالة $V(x,y,z)$ فالمعادلة لا تقبل حلاً إلا من أجل القيم للطاقة $E = AZ^2 / n^2$ حيث A هي العدد الذري و Z العدد البروتوني و n العدد الكوارتوني.

- قيم E هي القيم الذاتية للطاقة E
- Ψ هي الدالة الذاتية للمعامل (معامل لابلاس Laplace)
- الصيغة الأخرى للمعادلة $\Psi = E\Psi$. أين $[H]$ هو معامل هاميلتون Hamilton
- احتمال وجود الإلكترون في حجم $d\tau$ حول النقطة $M(x,y,z)$

$$dP = |\Psi^2(x,y,z)| d\tau$$

- Ψ ليس لها أي معنى فيزيائي بل هي دالة قد تكون موجبة، سالبة أو منعدمة لكن $\Psi^2 = \Psi \Psi^*$ التي قد تكون موجبة أو منعدمة لها معنا فيزيائياً (* الدالة المرافق لـ Ψ)

- $dP = |\Psi^2(x,y,z)| \cdot dx dy dz$ تدل على احتمال وجود الإلكترون، عند اللحظة t ، في الحجم $d\tau$.
- وجود الإلكترون في الفضاء لا متناهي مؤكدا حيث $\int \int \int d\tau = 1$ | $\Psi|^2$ | $\int \int \int dP = P = 1$.

سمحت دراسة ذرة الهيدروجين في الميكانيك الموجي بالوصول إلى النتائج التالية :

- الطاقة الكلية $E_n = -AZ^2/n^2$ مع $A = m_e e^4 / 8\pi_0^2 h^2$ ، n هو العدد الكمي الرئيسي
- تتعلق الدالة Ψ بالأعداد الكمية n, l, m و s (نظرية بوهر- سومرفيلد)
- Ψ هي الدالة الموجية أو المحط الذري (الأوربital) $O.A$: $\Psi_{n,l,m}(x,y,z)$
- من أجل E_n معطاة يكون لدينا n^2 محطا ($n^2 O.A$) (الحالة الطاقوية منطبقة n^2 مراراً) (نظرية بوهر- سومرفيلد) : من أجل E_n معطاة يكون لدينا $(2l+1)^2$ مساراً يعني n^2 مساراً.

نحصل على نتائج مماثلة لنظرية بوهر- سومرفيلد : *Bohr - Sommerfeld*

أ) العدد الكمي الرئيسي " n "

- يحدد قيم الطاقة $E_n = -AZ^2/n^2$

- يعين المسافة المتوسطة نواة - إلكترون

- يميز طبقة إلكترونية.

ب) العدد الكمي الثانوي " l "

- من أجل n معطاة لدينا n قيم لـ l

- $l=0$ لدينا تناظر كروي

- $l=1$ لدينا تناظر محوري

- من أجل $l=1$ ثابت ، الزوج (n,l) يميز طبقة تحتية

ج) العدد الكمي المقاططيسي " m "

- من أجل $l=1$ معطاة لدينا $(2l+1)$ قيم لـ m

- m يعين إتجاه محاور التناظر السحب الإلكترونية

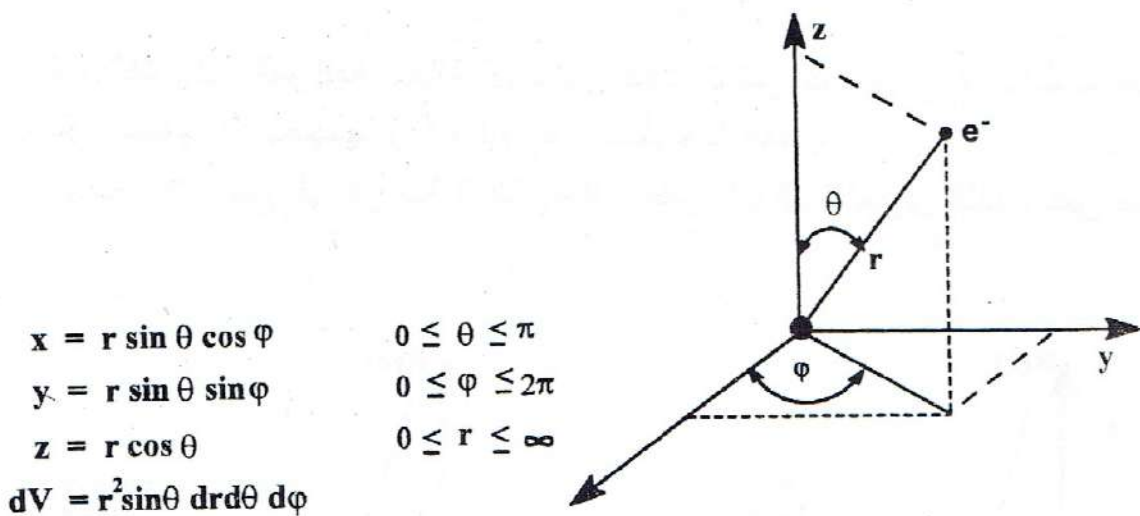
- الثلاثي (n,l,m) يميز محط إلكتروني $O.A$

د) العدد الكمي للف الذاتي " s "

- يمكنه أن يأخذ قيمتين فقط $s=+1/2$ أو $s=-1/2$

- الرباعي (n,l,m,s) يميز إلكتروناً.

- تمثل الدالة $\Psi_{n,l,m}(x,y,z)$ محط ذري . حل معادلة شرونغافر من أجل حالة طاقوية معينة (..) تفرض علينا الانتقال من الإحداثيات الديكارتية إلى الإحداثيات الكروية.



الإحداثيات الكروية

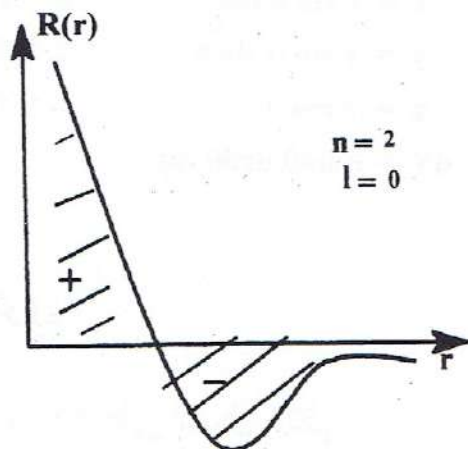
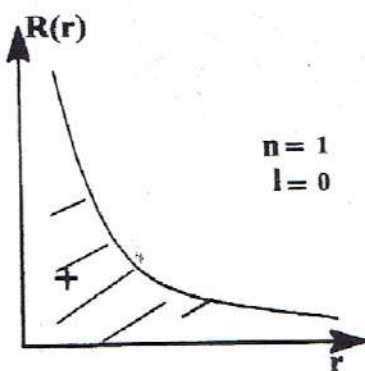
- في أغلب الأحيان تكون المعادلة لمحط ما (O.A) على الشكل التالي :
- $\Psi_{n,l,m}(r, \theta, \varphi) = R_{n,l}(r) \cdot \Theta_l(\theta) \cdot \Phi_m(\varphi)$
- تمثل السحابة الإلكترونية بسطوح المعادلة $\Psi_{n,l,m}(x,y,z) = C$ حيث C ثابت اختياري
- من أجل دالة $\Psi_{n,l,m}(r, \theta, \varphi)$ معطاة يكون لدينا عدد الحلول مساو للقيم التي يأخذها الثابت C يعني عددا لا متناهيا.
- سطوح المعادلات $\Psi_{n,l,m}(x,y,z) = C$ هم سطوح مغلقة ذات نفس الكثافة الإلكترونية. تحدد هذه السطوح مجالات من الفضاء تدعى ب المجالات وجود الإلكترون (من أجل قيمة واحدة $-C$) ومجموع قيم C المسموحة له $\Psi_{n,l,m}^2$ تمثل سحابة إلكترونية.
- عند $C = 0 \Leftrightarrow \Psi_{n,l,m}^2 = 0$ \Rightarrow $C = 0$ \Leftrightarrow $\Psi_{n,l,m} = 0$ تدعى هذه السطوح بالسطح العقدي و تمثل مجالات من الفضاء ي عدم فيه وجود الإلكترون ($P = 0$).

* الدالة الموجية $\Psi_{n,l,m}$ المرافقه للحالة ns ($l=0, m=0$) تكون على شكل :

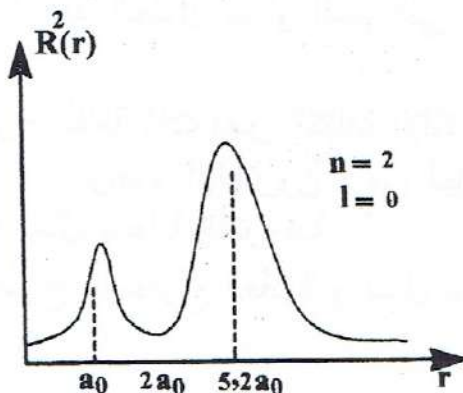
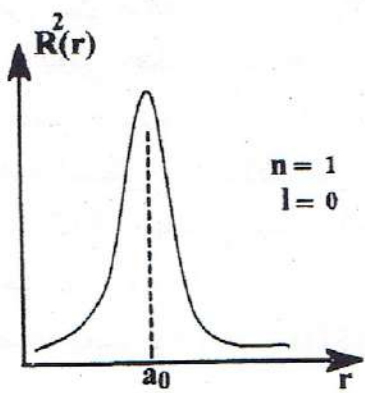
$$\Psi_{n,0,0}(r, \theta, \varphi) = R_{n,0}(r) \cdot \Theta_{0,0}(\theta) \cdot \Phi_0(\varphi)$$

- يلاحظ من خلال دراسة الدالة Ψ_{ns} طابعها الاهتزازي مع قيم موجبة، سالبة أو منعدمة.
- تمثل السحابة الإلكترونية المرافقه للحالة ns بالسطح $C = \Psi_{ns}^2$. هي سطوح كروية موجبة ، سالبة أو منعدمة (هذا الاستقطاب سيلعب دورا هاما في دراسة الرابطة الكيميائية). مجموع القيم المسموحة تمثل كرة متمرکزة بالنواة.
- عند $C = 0 \Rightarrow \Psi_{ns}^2 = 0$ تدعى بالسطح أو المناطق العقدية. لنعتبر محط ns يكون لدينا $(n-1)$ عقدة (سطح عقدي).

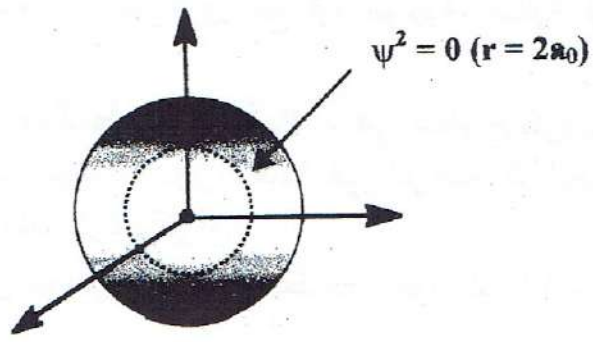
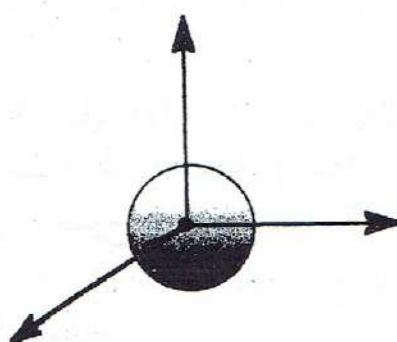
- السحابة الإلكترونية المرافق للحالة ns تكون ذات تماذر كروي و لا تختلف هذه المحطات عن بعضها الا بحجمها (r) و عدد سطوحها العقدية.
- دراسة الدالة Ψ ترجع الى دراسة الدالة $R(r)$. تعتبر الدوال الأخرى كثابت غير منعدم.



هيئه الدالة الموجية الشعاعية $R(r)$



هيئه الكثافة الشعاعية الاحتمالية $R^2(r)$



التمثيل البياني للمحطات ψ_{1s}^2 و ψ_{2s}^2

* الدالة الموجية $\Psi_{n,l,m}$ المرافق للحالة np ($l=1, m=1, 0, -1$) :

تكون على شكل :

$$\Psi_{n,l,m}(r, \theta, \phi) = R_{n,l}(r) \cdot \Theta_{l,m}(\theta) \cdot \Phi_m(\phi)$$

- الدوال $\Theta_{l,m}(\theta)$ و $\Phi_m(\phi)$ مستقلة عن المسافة r و تعطي خواص الاتجاه للدالة

$S_{l,m}(\theta, \phi)$ تدعى بدالة الزوايا (θ, ϕ) . $\Theta_{l,m}(\theta) = S_{l,m}(\theta, \phi)$

- تتميز المحطات الذرية عن بعضها بـ l لشكلها و بـ m لاتجاهاتها (O.A p) . لدينا ثلاثة قيم لـ m ($m=1, m=0, m=-1$) تكون إذن الحالة np ممثلة بـ $l=1$ ، $m=0, m=-1$:

$$\Psi_{n,1,1}(r, \theta, \phi) = R_{n,1}(r) \cdot S_{1,1}(\theta, \phi)$$

$$\Psi_{n,1,0}(r, \theta, \phi) = R_{n,1}(r) \cdot S_{1,0}(\theta, \phi)$$

$$\Psi_{n,1,-1}(r, \theta, \phi) = R_{n,1}(r) \cdot S_{1,-1}(\theta, \phi)$$

الجزء الشعاعي مشترك بين المعادلات الثلاثة $(R_{n,1}(r))$ و سيعتبر كثابت غير منعدم (نفس الاحتمال وجود الإلكترون على نفس المسافة في كل الاتجاهات) .

- تمثل هذه المحطات بنفس الأشكال الهندسية (نفس العدد الذري الثانوي $l=1$ ، $m=1, m=0, m=-1$) لكن حسب اتجاهات مختلفة .

- يلاحظ نفس الطابع الاهتزازي للمحطات np (تكون Ψ موجبة ، سالبة أو منعدمة)

يعطى احتمال وجود الإلكترون في اتجاه θ و ϕ بـ $S^2(\theta, \phi)$ ، خاصية الاتجاه تكون مماثلة لكل قيم التي تأخذها C .

• مجموع السطوح التي تمثل بالمعادلة $C = \int_{n,l,m}(r, \theta, \phi) dV$ تشكل كرتان (فلقتان) متماستان عند النقطة O (النواة) و مراكزها متواجدة على محور التناظر .

• تملك المدارات p مستوى عقدي (مستوى أين $0 = P$) عمودي لمحور التناظر و المار بالنواة (3 محطات $p \leftarrow 3$ مستويات عقدية) .

ت تكون السحابة الإلكترونية المرافق للحالة $O.A p$ من فلقتين متماستين للنواة و مركزاها متواجدة على محور التناظر . يملك المحيط الذري p مستوى عقدي عمودي على محور التناظر و الذي يحوي النواة . محاور التناظر الثلاثة متعمدة مثنى مثنى .

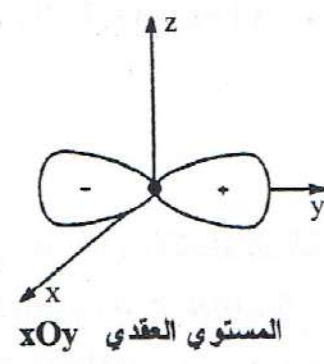
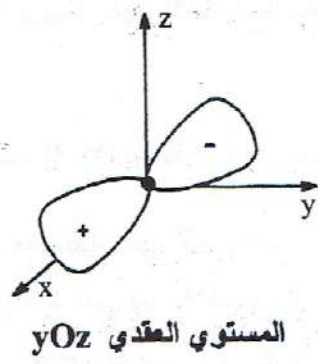
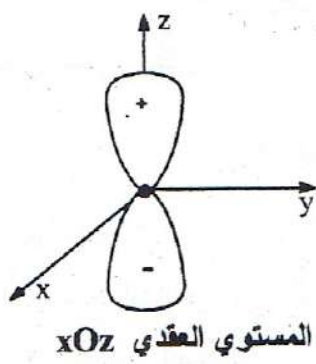
ملاحظة : الإشارات + و - الممثلة في الرسومات البيانية للسحابة الإلكترونية المرافق للحالة np تذكر بأن الدالة الموجية Ψ التي تصف هذه الحالة لها طابع اهتزازي .

مثال : المحيط الذري $2p_z$

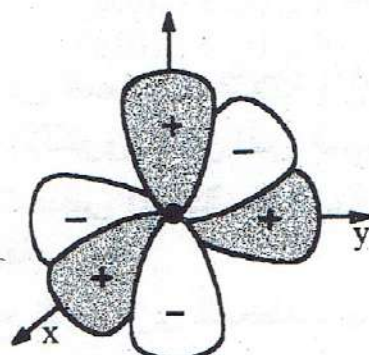
تكون الدالة Ψ موجبة من أجل القيم الموجبة لـ z و سالبة من أجل القيم السالبة لـ z يعني موجبة عندما $0 \leq z \leq \pi/2$ و سالبة عندما $\pi/2 \leq z \leq \pi$ (استبدال الإشارة عند المرور بالنواة) . تدعى هذه الخاصية بالخاصية التناظرية العكسية .

بناءاً على هذا التعريف ستتمتع المحطات ns بخاصية تناظرية .

تلعب الخواص التناظرية للمحطات p دوراً هاماً في طبيعة الروابط بين الذرات .



التمثيل البياني للمحطات الذرية np_y , np_z , np_x



التمثيل البياني للمحطات np

جدول المقارنة بين نظرية بوهر- سومرفيلد *Bohr - Sommerfeld* و الميكانيك الموجي

الطريقة	الطبقة التحتية	بوهر- سومرفيلد	الميكانيك الموجي	الطاقة (eV)
$n = 1$ K	$n = 1 ; l = 0$ $1s$	1 مسار دائرى $e = 1$	1 OA Ψ_{1s}	$E_1 = -13.6$
$n = 2$ L	$n = 2 ; l = 0$ $2s$	قطع ناقص $e = 1/2$	1 OA Ψ_{2s}	$E_2 = -13.6 / 4$ حالة 4 مرات منطقية
	$n = 2 ; l = 1$ $2p$	3 مسارات دائرية $e = 1$	3 OA Ψ_{2p}	
$n = 3$ M	$n = 3 ; l = 0$ $3s$	قطع ناقص $e = 1/3$	1 OA Ψ_{3s}	$E_3 = -13.6 / 9$ حالة 9 مرات منطقية
	$n = 3 ; l = 1$ $3p$	قطع ناقص $e = 2/3$	3 OA Ψ_{3p}	
	$n = 3 ; l = 2$ $3d$	5 مسارات دائرية $e = 1$	5OA Ψ_{3d}	
$n = 4$ N	$n = 4 ; l = 0$ $4s$	قطع ناقص $e = 2/3$	1 OA Ψ_{4s}	$E_4 = -13.6 / 16$ حالة 16 مرات منطقية
	$n = 4 ; l = 1$ $4p$	قطع ناقص $e = 1/2$	3 OA Ψ_{4p}	
	$n = 4 ; l = 2$ $4d$	قطع ناقص $e = 3/4$	5 OA Ψ_{4d}	
	$n = 4 ; l = 3$ $4f$	7 مسارات دائرية $e = 1$	7 OA Ψ_{4f}	

التمارين

التمرين 1.7 :

أحسب طول الموجة المرافق لـ:

- أ) صاروخ كتلته 4 أطنان ويتحرك بسرعة قدرها 100 km/s .
- ب) رصاصة بندقية كتلتها 2 g و تتحرك بسرعة قدرها 300 m/s .
- ج) بروتون مسرع بفرق جهد يساوي 150 volts .
- د) إلكترون مسرع بفرق جهد يساوي 600 volts .

ماذا نستخلص من هذا النتائج؟

المعطيات : $h = 6,62 \cdot 10^{-34} \text{ J.s}$; $m_p = 1,67 \cdot 10^{-27} \text{ kg}$; $m_e = 9,1 \cdot 10^{-31} \text{ kg}$

التمرين 2.7 :

حدد الارتفاع المطلق والنسبى الدنيا لما يلى:

- سرعة رصاصة كتلتها 10 g و تتحرك بسرعة 1600 m/s إذا عرف موقعها بـ 1 cm بالتقريب.
- نبع الإلكترون مسرع بفرق جهد يساوي 1200 volts إذا كان موقعه محدد بـ 1\AA . علل النتائج.

التمرين 3.7 :

من بين المحطات التالية ، عين الصحيحة منها وعرفها.

$$\begin{array}{lllll} \Psi_{1,0,0} & ; & \Psi_{2,1,0} & ; & \Psi_{1,1,0} \\ \Psi_{4,1,1} & ; & \Psi_{4,3,2} & ; & \Psi_{2,0,1} \end{array} \quad ; \quad \begin{array}{lllll} \Psi_{2,2,2} & ; & \Psi_{3,1,2} & ; & \Psi_{5,2,0} \\ \Psi_{1,0,0} & (O.A) & & & \end{array}$$

مث المخط الذري إلى أي طبقة تحتية ينتهي المخط الذري $\Psi_{2,1,0}$. ما هي المخطات الأخرى التي تنتهي إلى نفس الطبقة تحتية و مثلاها على نفس المخط.

الباب السادس : الذرات المتعددة الإلكترونات

I. تعريف :

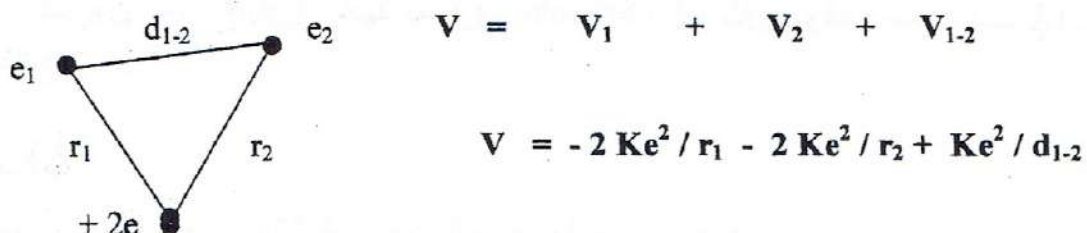
سمحت لنا دراسة ذرة الهيدروجين في الميكانيك الموجي بتعيين وضعية الإلكترون حول النواة و ذلك بتعيين احتمال وجوده في حيز من الفضاء في حالة مكملة جد مؤكدة. تتميز هذه الوضعية بالأعداد الكمية n ، l و m .

$$OA \Psi(n,l,m) \rightarrow \Psi^2_{n,l,m} = dP / dv$$

في الحالة العامة حيث تتكون الذرة من نواة يدور حولها إلكترونان أو أكثر (ذرات متعددة الإلكترونات) لابد من إدخال بعض المتغيرات .

- زيادة عدد المتغيرات

مثال : ذرة *الهليوم* *Hélium*



- تتعلق كل دالة Ψ التي هي حل للمعادلة الكمية بعوامل الوضع : في حالة ذرة *الهليوم* لدينا ستة (6) محولين $(x_1, y_1, z_1; x_2, y_2, z_2)$
- الدالة الموجية المناسبة للإلكترون الواحد لابد أن تأخذ بعين الاعتبار وجود الإلكترونات الأخرى .

$$E_T = E(1) + E(2) \quad e^-(1) \rightarrow \Psi_1 \rightarrow E_1$$

$$\Psi = \Psi_{(1)} \cdot \Psi_{(2)} \quad e^-(2) \rightarrow \Psi_2 \rightarrow E_2$$

- طاقة محظ ذري ما لذرة متعددة الإلكترونات تكون دائما أقل (أصغر) من نفس المحظ الذري لذرة *الهيدروجين* مع تناقص حجمه .

$$E_T = -AZ_{\text{eff}}^2/n^2, \quad Z > 1, \quad E_T = -AZ^2/n^2$$

$$Z_{\text{eff}} = Z - \sigma \quad \text{ثابت الشاشة : } \sigma$$

عندما Z يكبر تزداد قوى الجذب و حجم الذرة يتناقص .

- يوظف العدد الكمي "n" لتعيين طاقة المحظ الذري في ذرة *الهيدروجين* و في كل الذرات الأخرى (ذرات متعددة الإلكترونات) فإن العدد الكمي الثانوي "l" يؤثر على طاقة المحظ الذري .

بينما نحتفظ على نتيجة أساسية و مشتركة بين كل الذرات الأخرى و هي:

- انحفاظ التناظر يكون دائماً (تناظر كروي للمحطات الذرية و تناظر محوري للمحطات الذرية $p \dots \dots$).
- خصية الاتجاه للمحطات الذرية " p " تكون محفظة (محاور التناظر متعامدة مثنى مثنى ، وجود مستويات عقدية).

نحصل على كل العناصر الكيميائية بإضافة الإلكترونات الواحد بعد الآخر في المخطط العام للمحطات الذرية (مع إدخال في آن واحد بروتونات و نيوترونات في النواة) علماً بأن ذرات العناصر تكون متعادلة، عند الانتقال من العنصر Z إلى العنصر $Z+1$ يتزايد العدد الكلي للإلكترونات بوحدة (لا نعتني بالنواة).
تتعلق وضعية الإلكترون في مخط ما بالأعداد الكمية n, l, m لطاقته و بـ " m " لإتجاهه، الشيء الذي يفرض علينا طرح مسلمة أساسية و هي مبدأ الاستبعاد "باولي".

II. مبدأ الاستبعاد "باولي" :

" لا يمكن لـ الإلكترونين في ذرة أن يكون لها نفس الأعداد الكمية " فإذا كان لهما نفس (n, l, m) فلا بد أن تختلفا في " s ".

إلكترونات عازبة و إلكترونات زوجية

إن الأعداد الكمية الأربع $n=1, m=0$ التي تميز الإلكترون في مخط ذري ما معرفا بـ " n " و " m " و يحدد العدد الأعظم للإلكترونات التي يمكن أن تشغله ذري بواسطة القيم التي يمكن لـ " s " أن يأخذها يعني اثنان $+1/2 = s$ و $-1/2 = s$. إذن "المخط الذري لا يمكن أن يشغله أكثر من إلكترونين".

الإلكترونات التي لها نفس الأعداد الكمية الثلاثة (n, l, m) تتبع إلى نفس الحجيرة الكمية (المخط أو O.A.).



نمثل خانة كمية (حجيرة كوانтиة) بـ

إلكترونات أعداد لفهمها الذاتية متعاكسة.

حجيرة مملوئة أو مشبعة : إلكترونين



إلكترون واحد : إلكترون عازب أو مفرد

حجيرة غير مشبعة : إلكترون واحد

- يمثل الزوج ($n=1$) طبقة إلكترونية تحتية. لنعني العدد الأعظم للإلكترونات التي تحتويه هذه الطبقة التحتية.

من أجل "n" ثابت و "I" معطاة يكون لدينا $(1 + 21) / m$ قيمة لـ "m" الممثلة بـ $(21 + 1)$. حجيرة كمية (كوانтиة) أو محطة ذري "O.A" يعني $e(1 + 21)$.

$I = 0$	1 OA s	$2(0 + 1) = 2$	$'s$	(1 خانة)
$I = 1$	3 OA p	$2(2 + 1) = 6$	$'p$	(3 خانات)
$I = 2$	5 OA d	$2(4 + 1) = 10$	$'d$	(5 خانات)
$I = 3$	7 OA f	$2(6 + 1) = 14$	$'f$	(7 خانات)

- العدد الكمي "n" يكفي لتمثيل طبقة إلكترونية. لنعين العدد الأعظم للإلكترونات التي تحتويه هذه الطبقة.

من أجل "n" معطاة يكون لدينا $n = 1, 2, 3, 4, \dots, n-1$ يعني "n" قيم للعدد الثنائي "I". من أجل "I" معطاة يكون لدينا $I = 1 + 2n$ حانة أو حجيرة كوانтиة يعني $e(1 + 2n)$.

$I = 0$	$2(0 + 1)$	= 2.1	إلكترونات
$I = 1$	$2(2 + 1)$	= 2.3	إلكترونات
$I = 2$	$2(4 + 1)$	= 2.5	إلكترونات
$I = 3$	$2(6 + 1)$	= 2.7	إلكترونات
...	
$I = n+1$	$2[2(n-1)+1]$	= $2(2n-1)$	

(قاعدة ستونر Stoener) : المجموع

"طبقة برتية" "n" تحوى بالأقصى $2n^2 e$ إلكتروناً (قاعدة ستونر Stoener). تكون العناصر مصنفة حسب تزايد العدد الذري. ننتقل من العنصر Z إلى العنصر Z+1 بإضافة إلكترون واحد في محطة (مدار) فارغ أو غير مشبع و يتم ذلك حسب قوانين .

III - قوانين ملا المحطات :

يعتمد ملا المحطات بالإلكترونات على عدة نتائج تجريبية وخصوصا على :

- دراسة أطياف الامتصاص و الانشمار للذرات.

- تعليق عدم استمرارية هذه الأطياف بواسطة الأشعة السينية (RX).

سمحت هذه النتائج التجريبية وتجارب أخرى بتعيين المستويات الطاقوية للذرات (حساب طاقات التأين ، جهد الإثارة.....) وتم استخلاص ما يلي :

أ) من أجل نفس الحالة "s" ، "p" ، "d" أو "f" (نفس القيمة لعدد الثنائي "I") تزداد طاقة الإلكترون مع "n".

$$E_{1s} < E_{2s} < E_{3s} < E_{4s} \dots$$

$$E_{2p} < E_{3p} < E_{4p} < E_{5p} \dots$$

$$E_{3d} < E_{4d} < E_{5d} \dots$$

$$E_{4f} < E_{5f} \dots$$

ب) تزاييد طاقوي طفيف ملاحظ مع تزاييد "l" (في نفس الطبقة) يتم ذلك حسب الترتيب s, p, d و f .

$$E_{2s} < E_{2p}$$

$$E_{3s} < E_{3p} < E_{3d}$$

$$E_{4s} < E_{4p} < E_{4d} < E_{4f}$$

ننتظر إذن الترتيب التالي حسب الطاقة المتزايدة الآتي :

$1s-2s-2p-3s-3p-3d-4s-4p-4d-4f-5s-5p-5d-5f-6s\dots$

(حسب "n" المتزايد و من أجل "n" ثابت يكون حسب "l" المتزايد).

لكن برهنت مختلف التجارب بأن ابتدأ من المستوى $3d$ تكون بعض التغيرات.

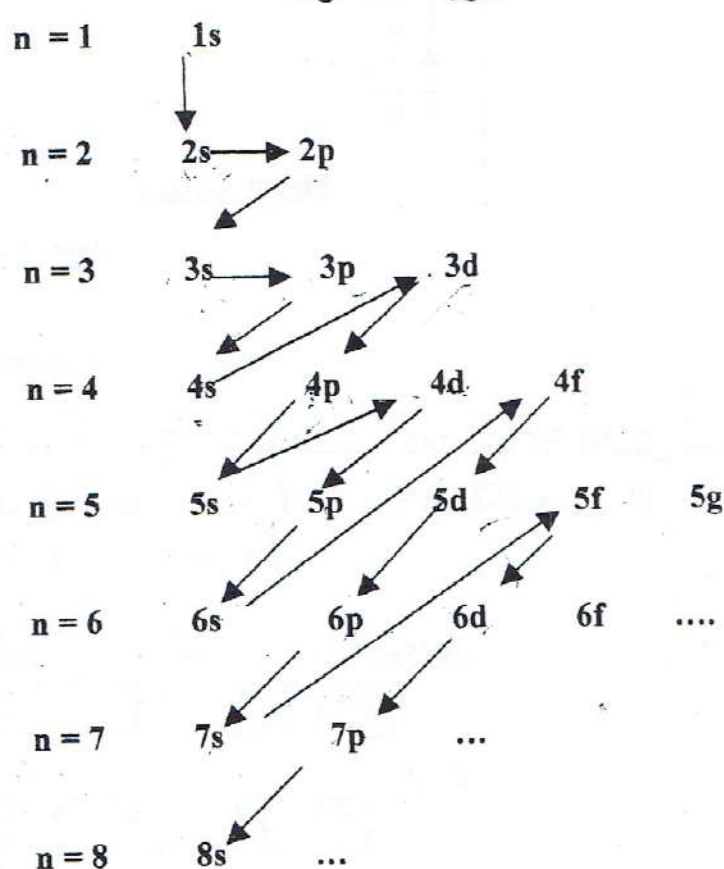
(1) قاعدة "كلاشكوسكي" (Klechkowski) :

يتم ملأ المحطات الذرية حسب ترتيب المجموع $(n+l)$ المتزايد. عند ما يكون المجموع $(n+l)$ ثابتا يتم وفقا لـ n المتزايد. تستعمل لهذا الغرض طريقتان :

جدول حسب المجموع $(n+l)$

$n+l$	n	l	الطبقات التحتية
1	1	0	1s
2	2	0	2s
3	2	1	2p
	3	0	3s
4	3	1	3p
	4	0	4s
	3	2	3d
5	4	1	4p
	5	0	5s
	4	2	4d
6	5	1	5p
	6	0	6s
	4	3	4f
7	5	2	5d
	6	1	6p
	7	0	7s
8	5	3	5f
	6	2	6d
	7	1	7p
	8	0	8s

طريقة الخطوط



يكون ترتيب المحطات حسب الطاقة المتزايدة و كالتالي :

$1s-2s-2p-3s-3p-4s-4p-5s-4d-5p-6s\dots$

تبقى هذه القواعد غير كافية لبناء الهياكل الإلكترونية و لهذا يدمج لها مبدأ الثبات.

(2) مبدأ الثبات :

"الحالة الأساسية لذرة ما هي الحالة الأكثر استقرارا"

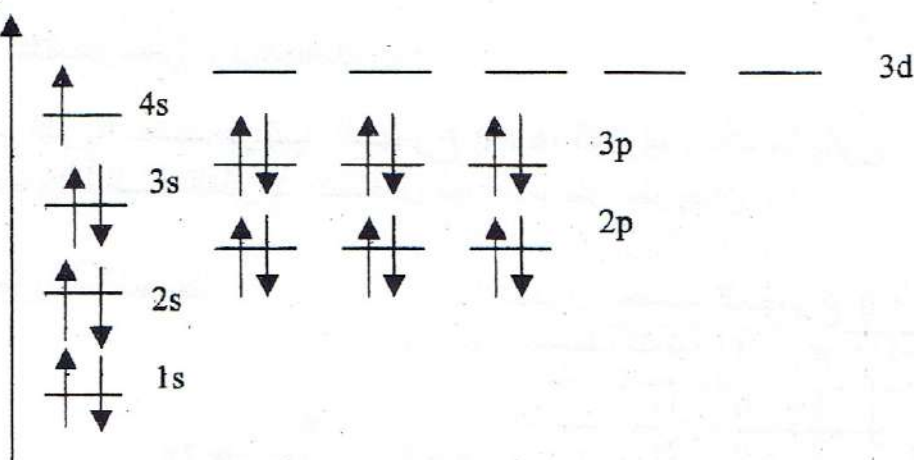
عند انتقال الإلكترون إلى مستويات مثارة يرجع هذا الأخير تلقائياً إلى حالته الأساسية مع إصدار طاقة على شكل فوتونات ($E = h\nu$). تكون الطاقة الكلية للإلكترون، في الحالة الأساسية، منخفضة (أدنى).

"تشغل الإلكترونات المحطات الأكثر انخفاضاً طاقوياً" (المستويات الطاقوية الأدنى).

مثال :

$$1s^2 \ 2s^2 \ 2p^6 \ 3s^2 \ 3p^6 \ 3d^1 \quad \text{وليس} \quad {}_{19}K \ (19e^-) = 1s^2 \ 2s^2 \ 2p^6 \ 3s^2 \ 3p^6 \ 4s^1$$

$E(eV)$



مخطط الطاقة

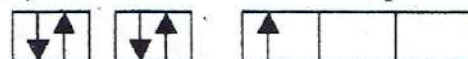
"نهي تشبيب البنية الإلكترونية بقاعدة هوند"

(3) قاعدة "هوند" (Hund)

- أ) - نبدأ ملأ طبقة تحتية بعد أن تملأ الطبقة التحتية ذات الطاقة الأصلية تماماً.
- ب) - لا يمكن لمحيط ذري (حجيرة كمية) أن يحوي إلكترونين إلا إذا احتوت المحطات التي لها نفس الطاقة إلكتروناً واحداً من قبل.

مثال :

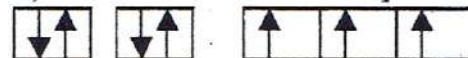
$${}^5B \ (5e^-) : \ 1s^2 \quad 2s^2 \quad 2p^1$$



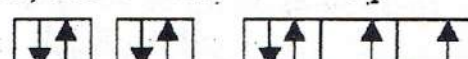
$${}^6C \ (6e^-) : \ 1s^2 \quad 2s^2 \quad 2p^2$$



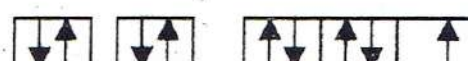
$${}^7N \ (7e^-) : \ 1s^2 \quad 2s^2 \quad 2p^3$$



$${}^8O \ (8e^-) : \ 1s^2 \quad 2s^2 \quad 2p^4$$



$${}^9F \ (9e^-) : \ 1s^2 \quad 2s^2 \quad 2p^5$$



الخلاصة :

يكون تشيد بنية إلكترونية معتمدا على :

1. مبدأ الإستبعاد لـ "باولي" *Pauli*

2. مبدأ الثبات

3. قاعدة "كلاشكوسكي" *Klechkowski*

4. قاعدة "هوند" *Hund*

تكون هذه القواعد ضرورية لتعيين البنية الإلكترونية لذرة ما.

ملاحظة : التشكيل (أو التسلق) الإلكتروني

عندما نريد كتابة التشكيل الإلكتروني لعنصر ما لا بد من تعين أولا التركيب (التوزيع أو البنية) الإلكتروني ثم إعادة كتابته حسب العدد الكمي " n " المتزايد.

مثال :

البنية (التركيب) الإلكتروني	التشكل الإلكتروني
$_{11}\text{Na}$ (11e^-) : $1s^2 2s^2 2p^6 3s^1$	$1s^2 2s^2 2p^6 3s^1$
$_{17}\text{Cl}$ (17e^-) : $1s^2 2s^2 2p^6 3s^2 3p^5$	$1s^2 2s^2 2p^6 3s^2 3p^5$
$_{26}\text{Fe}$ (26e^-) : $1s^2 2s^2 2p^6 3s^2 3p^6 4s^2 3d^6$	$1s^2 2s^2 2p^6 3s^2 3p^6 3d^6 4s^2$
$_{33}\text{As}$ (33e^-) : $1s^2 2s^2 2p^6 3s^2 3p^6 4s^2 3d^{10} 4p^3$	$1s^2 2s^2 2p^6 3s^2 3p^6 3d^{10} 4s^2 4p^3$

حتى العنصر $Z = 20$ ، البنية (التركيب أو التوزيع) الإلكتروني \equiv التشكيل الإلكتروني

التمارين

التمرين 1.VI

أعط التوزيع ثم التشكيل الإلكتروني للعناصر التالية في الحالة الأساسية :

Ho ($Z = 67$) ; I ($Z = 53$) ; Mn ($Z = 25$) ; Ca ($Z = 20$) ; Al ($Z = 13$) ; F ($Z = 9$)

التمرين 2.VI

لنعتبر العنصر I ($Z = 53$)

1- كم هو عدد الإلكترونات التي تملك الأعداد الكمية الآتية :

$l = 2$; $n = 5$; $n = 0$ و $l = 0$; $n = 4$; $m = -1$ و $l = 1$ و $n = 3$;

2- أوجد طبقات التكافؤ التحتية الداخلية و الخارجية لهذا العنصر ثم أعط الأعداد الكمية التي تعرف طبقات التكافؤ الخارجية.

3- يمتلك هذا العنصر إلكترونا عازبا واحدا ، أوجد المحطة الموافق و أعط الإحداثيات الكمية التي تميز هذا المحطة الذري.

التمرين 3.VI

ليكن العناصر التالية:



- 1- أعط لكل منهم التوزيع الإلكتروني في الحالة الأساسية (يمثل طبقات التكافؤ التحتية بواسطة الحجارات الكمية).
- 2- لنعتبر العنصرخيالي $Z = 116$. إلى أي فئة من الجدول الدوري ينتمي هذا الأخير.

الباب السابع :

التصنيف/ الدوري للعناصر

I. مقدمة :

لقد كانت محاولات عديدة لجمع العناصر الكيميائية في مجتمع حسب خواصها المتشابهة و ابتداء من 1862 بربورت هذه المحاولات في جمع العناصر الكيميائية في عائلات متماثلة الخواص (القلوبيات *Alcalins* ، الهايوجينيات *Halogènes* ...) و بعد ذلك قام (دى شامكورتوى *De Chamcourtois* و لوثر - ماير *Lothar-Meyer* و نيولاندز *Newlands* ..) بترتيب العناصر حسب كتلتها المولية المتزايدة.

وكرست هذه المحاولات بالترتيب الدوري *Mendeleïev* للعناصر من قبل منظيف الذي أثبت وجود علاقة دورية متينة بين خواص العناصر و كتلتها الذرية . على هذا الأساس رتب العناصر المكتشفة أنا ذاك (63) في أعمدة بحيث يحوي كل عمود العناصر التي لها نفس الخواص أو خواص متقاربة متنبئاً اكتشاف عناصر جديدة أخرى و خواصها مثل الغاليوم *Gallium* أو السترونتيوم *Strontium* و لهذا ترك خانات فارغة في تصنیف لهذین العنصرين اللذان اكتشفا فيما بعد.

بقي هذا التصنیف الدوري ساري المفعول حتى الآن إلا أن دورية العناصر أصبحت مرتبطة ببنيتها الإلكترونية الخارجية (S.E.E).

أما الآن العناصر الكيميائية مرتبة حسب Z المتزايد وفقاً لمبادئ وقواعد الملا .
تجمع العناصر في جدول متكون من سبعة صفوف أو دورات وثمانية عشر عمودا.

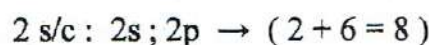
II. دراسة الدورات (السطور ، الصفوف) :

توافق الدورة (السطر) ملا الطبقات التحتية ns ($n-2$) $f(n-1)d$ np

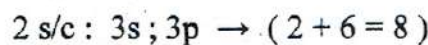
الدورة الأولى : $n=1$ (عنصران)



الدورة الثانية : $n=2$ (8 عناصر)



الدورة الثالثة : $n=3$ (8 عناصر)



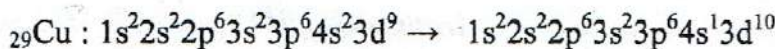
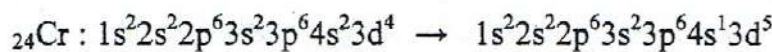
الدورة الرابعة : $n=4$ (18 عنصراً)



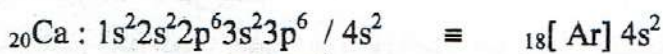
ملاحظة :

- نلاحظ في الطبقة التحتية d عدم الانتظام لبعض العناصر.
- تسمى العناصر الموافقة لملاً الطبقة d بالعناصر الانتقالية .
- تكون الطبقة d أكثر استقراراً عندما تكون نصف مملوءة أو مشبعة.

مثال :



ملاحظة عامة : صيغة أخرى للتركيب الإلكتروني



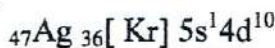
تركيب أو هيكل غاز خامل: الأرغون ($Z = 18$)

- إن الإلكترونات التي تدخل في بنية أو هيكل الغازات النبيلة تسمى بالإلكترونات القلب وتكون خاملة تجاه التفاعلات الكيميائية (لا تشارك).
- أما الإلكترونات الأخرى وهي الإلكترونات التكافؤ، والتي تكون في الطبقات التحتية التكافؤية وتشكل البنية الإلكترونية الخارجية (S.E.E) وهي التي تساهم في تشكيل الروابط الكيميائية.

الدور الخامس : n = 5 (32 عنصرا)



- نفس الملاحظة بالنسبة للطبقة التحتية 4d



و

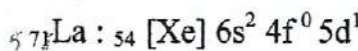


الدور السادس : n = 6 (32 عنصرا)



ملاحظة :

- تسمى العناصر التي توافق ملاً الطبقة التحتية 4f باللانثانيدات Lanthanides
- نلاحظ في هذه الفئة عدم الانتظام في ملاً الطبقة التحتية f من أجل العنصر الأول اللantan-57 والعنصر الثامن الغادوليانيوم-64 Gadolinium حيث تحتوي الطبقة التحتية 5d الكترونا واحدا.



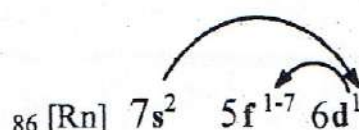
الدور السابع : n = 7



- هذه الدورة غير مكتملة، و حالياً تنتهي عند العنصر 109

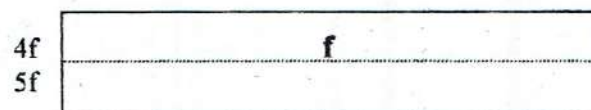
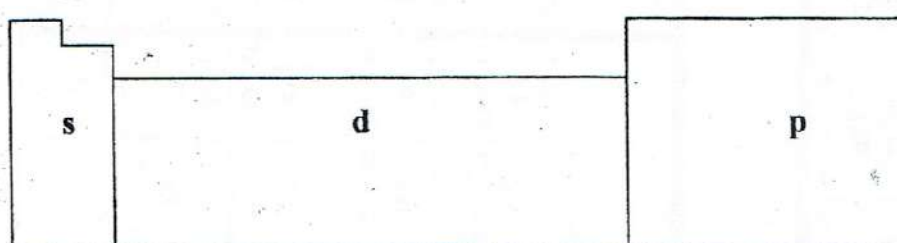
- تسمى العناصر التي توافق ملاً الطبقة التحتية 5f بالأكتينيدات Actinides و هي عموماً عناصر مشعة و غير معروفة جيداً.

- نلاحظ أيضاً في عناصر هذه الفئة عدم الانتظام في ملأ الطبقة التحتية $5f$ من أجل العناصر الثمانية الأولى (من الأكتينيوم 89 إلى الكوريوم Curium-96). بعد ملأ الطبقة التحتية $7s$ نضع إلكترون واحد في الطبقة التحتية $6d$ و نملأ الطبقة التحتية $5f$ من 1 إلى 7 و يتم ملأ الطبقات التحتية حسب القواعد و القوانين المعمول بها.



الخلاصة :

- يوافق كل دورة (سطر أو خط) ملأ الطبقات التحتية ns ($n-2$) f ($n-1$) d np
- يوافق العنصر الأخير لكل طبقة غاز نادر حيث $\dots ns^2(n-2)f^{14}(n-1)d^{10}np^6$
- تظهر العناصر الانتقالية (d) عدم الانتظام عند d^4 و d^9 ($n-1)d^5ns^1$] عوضاً عن $(n-1)d^{10}ns^1$ و $(n-1)d^4ns^2$ عوضاً عن $(n-1)d^9ns^2$. كما نلاحظ أيضاً بعض الشذوذ بالنسبة لعناصر مثل $5s^1 4d^5$ ($_{36}^{[Kr]} 5s^1 4d^5$) بدلاً من Nb ($Z = 42$): $_{36}^{[Kr]} 5s^2 4d^4$ و Ru ($Z = 44$): $_{36}^{[Kr]} 5s^1 4d^7$ عوض عن d^6 ($_{36}^{[Kr]} 5s^2 4d^7$) و Rh ($Z = 45$): $_{36}^{[Kr]} 5s^1 4d^8$ ($_{36}^{[Kr]} 5s^2 4d^8$) أو Pd ($Z = 46$): $_{36}^{[Kr]} 5s^0 4d^{10}$ ($_{36}^{[Kr]} 5s^2 4d^8$)
- يمكن لهذه العناصر، ما عدى الزينك Zinc و السكديوم Scandium، أن تعطي عدة أيونات (شوارد) عند تأينها متنالي مثل: $Fe \rightarrow Fe^{+2}, Fe^{+3}$; $Cr \rightarrow Cr^{+2}, Cr^{+3}, Cr^{+6}$; $Mn \rightarrow Mn^{+2}, Mn^{+3}, Mn^{+4}, Mn^{+6}, Mn^{+7}; \dots$
- تمثل اللانثانيات Lanthanides و الأكتينيدات Actinides العناصر الموافقة لملاططبقات التحتية $4f$ و $5f$ على الترتيب و بعض عناصرهما غير منتظمة. يمكن تقسيم الجدول الدوري إلى أربعة كتل: s ، p ، d و f .



الجدول الدوري للعناصر

The diagram illustrates the flow of atomic numbers from hydrogen to francium. It shows arrows pointing from hydrogen through helium to the first transition metals, then down the groups of post-transition metals, across the lanthanide and actinide series, and finally to francium.

	الكتلة الذرية																																																																																																																																																																																																																																																																																																																																																																																																																																																																																																																																																																																																																																																																																																																																																																																																																																																																																																																																																																																																														
	IA		II A		III A		IV A		VA		VI A		VIIA		VIIIA																																																																																																																																																																																																																																																																																																																																																																																																																																																																																																																																																																																																																																																																																																																																																																																																																																																																																																																																																																																																
1	1 H $1s^1$	2 Li $2s^1$	3 Be $2s^2$	4 B $2s^2 2p^1$	5 C $2s^2 2p^2$	6 N $2s^2 2p^3$	7 O $2s^2 2p^4$	8 F $2s^2 2p^5$	9 Ne $2s^2 2p^6$	10 He $1s^2$	11 Na $3s^1$	12 Mg $3s^2$	13 Al $3s^2 3p^1$	14 Si $3s^2 3p^2$	15 P $3s^2 3p^3$	16 S $3s^2 3p^4$	17 Cl $3s^2 3p^5$	18 Ar $3s^2 3p^6$	19 K $4s^1$	20 Ca $4s^2$	21 Sc $3d^1 4s^2$	22 Ti $3d^1 4s^2$	23 V $3d^1 4s^2$	24 Cr $3d^1 4s^2$	25 Mn $3d^1 4s^2$	26 Fe $3d^1 4s^2$	27 Co $3d^1 4s^2$	28 Ni $3d^1 4s^2$	29 Cu $3d^{10} 4s^1$	30 Zn $3d^{10} 4s^2$	31 Ga $4s^2 4p^1$	32 Ge $4s^2 4p^2$	33 As $4s^2 4p^3$	34 Se $4s^2 4p^4$	35 Br $4s^2 4p^5$	36 Kr $4s^2 4p^6$	37 Rb $5s^1$	38 Sr $5s^2$	39 Y $4d^1 5s^2$	40 Zr $4d^2 5s^2$	41 Nb $4d^4 5s^1$	42 Mo $4d^5 5s^1$	43 Tc $4d^5 5s^2$	44 Ru $4d^6 5s^1$	45 Rh $4d^8 5s^1$	46 Pd $4d^{10} 5s^0$	47 Ag $4d^{10} 5s^1$	48 Cd $4d^{10} 5s^2$	49 In $5s^2 5p^1$	50 Sn $5s^2 5p^2$	51 Sb $5s^2 5p^3$	52 Te $5s^2 5p^4$	53 I $5s^2 5p^5$	54 Xe $5s^2 5p^6$	55 Cs $6s^1$	56 Ba $6s^2$	57 La $5d^1 6s^2$	58 Hf $5d^2 6s^2$	59 Ta $5d^3 6s^2$	60 W $5d^4 6s^1$	61 Re $5d^5 6s^2$	62 Os $5d^6 6s^2$	63 Ir $5d^7 6s^2$	64 Pt $5d^8 6s^1$	65 Au $5d^{10} 6s^1$	66 Hg $5d^{10} 6s^2$	67 Ti $6s^2 6p^1$	68 Pb $6s^2 6p^2$	69 Bi $6s^2 6p^3$	70 Po $6s^2 6p^4$	71 At $6s^2 6p^5$	72 Rn $6s^2 6p^6$	73 Fr $7s^1$	74 Unq Unp	75 Unh Uns	76 Uno Uno	77 Une Une	78 Unu Unun	المجموعات		الذرة المدارية		العدد الذري		العنصر		معدان		معدان		الاكتاف المترافق		الاكتاف الأساسية		الاكتاف المترافق		الاكتاف الأساسية																																																																																																																																																																																																																																																																																																																																																																																																																																																																																																																																																																																																																																																																																																																																																																																																																																																																																																														
6	58 Ce $4f^2 6s^2$	59 Pr $4f^3 6s^2$	60 Nd $4f^4 6s^2$	61 Pm $4f^5 6s^2$	62 Sm $4f^6 6s^2$	63 Eu $4f^7 6s^2$	64 Gd $4f^8 6s^2$	65 Tb $4f^9 6s^2$	66 Dy $4f^{10} 6s^2$	67 Ho $4f^1 6s^2$	68 Er $4f^2 6s^2$	69 Tm $4f^3 6s^2$	70 Yb $4f^4 6s^2$	71 Lu $4f^4 5d^1 6s^2$	72	73	74	75	76	77	78	79	80	81	82	83	84	85	86	87	88	89	90	91	92	93	94	95	96	97	98	99	100	101	102	103	104	105	106	107	108	109	110	111	112	113	114	115	116	117	118	119	120	121	122	123	124	125	126	127	128	129	130	131	132	133	134	135	136	137	138	139	140	141	142	143	144	145	146	147	148	149	150	151	152	153	154	155	156	157	158	159	160	161	162	163	164	165	166	167	168	169	170	171	172	173	174	175	176	177	178	179	180	181	182	183	184	185	186	187	188	189	190	191	192	193	194	195	196	197	198	199	200	201	202	203	204	205	206	207	208	209	210	211	212	213	214	215	216	217	218	219	220	221	222	223	224	225	226	227	228	229	230	231	232	233	234	235	236	237	238	239	240	241	242	243	244	245	246	247	248	249	250	251	252	253	254	255	256	257	258	259	260	261	262	263	264	265	266	267	268	269	270	271	272	273	274	275	276	277	278	279	280	281	282	283	284	285	286	287	288	289	290	291	292	293	294	295	296	297	298	299	300	301	302	303	304	305	306	307	308	309	310	311	312	313	314	315	316	317	318	319	320	321	322	323	324	325	326	327	328	329	330	331	332	333	334	335	336	337	338	339	340	341	342	343	344	345	346	347	348	349	350	351	352	353	354	355	356	357	358	359	360	361	362	363	364	365	366	367	368	369	370	371	372	373	374	375	376	377	378	379	380	381	382	383	384	385	386	387	388	389	390	391	392	393	394	395	396	397	398	399	400	401	402	403	404	405	406	407	408	409	410	411	412	413	414	415	416	417	418	419	420	421	422	423	424	425	426	427	428	429	430	431	432	433	434	435	436	437	438	439	440	441	442	443	444	445	446	447	448	449	450	451	452	453	454	455	456	457	458	459	460	461	462	463	464	465	466	467	468	469	470	471	472	473	474	475	476	477	478	479	480	481	482	483	484	485	486	487	488	489	490	491	492	493	494	495	496	497	498	499	500	501	502	503	504	505	506	507	508	509	510	511	512	513	514	515	516	517	518	519	520	521	522	523	524	525	526	527	528	529	530	531	532	533	534	535	536	537	538	539	540	541	542	543	544	545	546	547	548	549	550	551	552	553	554	555	556	557	558	559	560	561	562	563	564	565	566	567	568	569	570	571	572	573	574	575	576	577	578	579	580	581	582	583	584	585	586	587	588	589	590	591	592	593	594	595	596	597	598	599	600	601	602	603	604	605	606	607	608	609	610	611	612	613	614	615	616	617	618	619	620	621	622	623	624	625	626	627	628	629	630	631	632	633	634	635	636	637	638	639	640	641	642	643	644	645	646	647	648	649	650	651	652	653	654	655	656	657	658	659	660	661	662	663	664	665	666	667	668	669	670	671	672	673	674	675	676	677	678	679	680	681	682	683	684	685	686	687	688	689	690	691	692	693	694	695	696	697	698	699	700	701	702	703	704	705	706	707	708	709	710	711	712	713	714	715	716	717	718	719	720	721	722	723	724	725	726	727	728	729	730	731	732	733	734	735	736	737	738	739	740	741	742	743	744	745	746	747	748	749	750	751	752	753	754	755	756	757	758	759	760	761	762	763	764	765	766	767	768	769	770	771	772	773	774	775	776	777	778	779	780	781	782	783	784	785	786	787	788	789	790	791	792	793	794	795	796	797	798	799	800	801	802	803	804	805	806	807	808	809	8010	8011	8012	8013	8014	8015	8016	8017	8018	8019	8020	8021	8022	8023	8024	8025	8026	8027	8028	8029	8030	8031	8032	8033	8034	8035	8036	8037	8038	8039	8040	8041	8042	8043	8044	8045	8046	8047	8048	8049	8050	8051	8052	8053	8054	8055	8056	8057	8058	8059	8060	8061	8062	8063	8064	8065	8066	8067	8068	8069	8070	8071	8072	8073	8074	8075	8076	8077	8078	8079	8080	8081	8082	8083	8084	8085	8086	8087	8088	8089	8090	8091	8092	8093	8094	8095	8096	8097	8098	8099	80100	80101	80102	80103	80104	80105	80106	80107	80108	80109	80110	80111	80112	80113	80114	80115	80116	80117	80118	80119	80120	80121	80122	80123	80124	80125	80126	80127	80128	80129	80130	80131	80132	80133	80134	80135	80136	80137	80138	80139	80140	80141	80142	80143	80144	80145	80146	80147	80148	80149	80150	80151	80152	80153	80154	80155	80156	80157	80158	80159	80160	80161	80162	80163	80164	80165	80166	80167	80168	80169	80170	80171	80172	80173	80174	80175	80176	80177	80178	80179	80180	80181	80182	80183	80184	80185	80186	80187	80188	80189	80190	80191	80192	80193	80194	80195	80196	80197	80198	80199	80200	80201	80202	80203	80204	80205	80206	80207	80208	80209	80210	80211	80212	80213	80214	80215	80216	80217	80218	80219	80220	80221	80222	80223	80224	80225	80226	80227	80228	80229	80230	80231	80232

III دراسة الأعمدة :

تتمتع عناصر نفس العمود بنفس البنية الإلكترونية الخارجية (S.E.E) يعني لها نفس عدد الإلكترونات التكافؤ .
يكون لدينا تحت مجموعات A و B .
ملاحظة :

- ينتمي إلى تحت المجموعة A كل عنصر يحوي الإلكترونات التكافؤ s و p (s أو p)
- ينتمي إلى تحت المجموعة B كل عنصر يحوي الإلكترونات التكافؤ (n-1)d

A	I _A	: S.E.E ns ¹	s	المعادن القلوية
	II _A	: S.E.E ns ²		المعادن الترابية
B	III _B	: S.E.E ns ² (n-1)d ¹	d	العناصر الانتقالية
	IV _B	: S.E.E ns ² (n-1)d ²		
	V _B	: S.E.E ns ² (n-1)d ³		
	VI _B	: S.E.E ns ¹ (n-1)d ⁵		
	VII _B	: S.E.E ns ² (n-1)d ⁵		
		S.E.E ns ² (n-1)d ⁶		
	VIII _B	S.E.E ns ² (n-1)d ⁷		
		S.E.E ns ² (n-1)d ⁸		
A	I _B	: S.E.E ns ¹ (n-1)d ¹⁰		الشالكوجينات
	II _B	: S.E.E ns ² (n-1)d ¹⁰		الهالوجينات
	III _A	: S.E.E ns ² (n-1)d ¹⁰ np ¹	p	الغازات الخامدة
	IV _A	: S.E.E ns ² (n-1)d ¹⁰ np ²		
	V _A	: S.E.E ns ² (n-1)d ¹⁰ np ³		
	VI _A	: S.E.E ns ² (n-1)d ¹⁰ np ⁴		
	VII _A	: S.E.E ns ² (n-1)d ¹⁰ np ⁵		
	VIII _A	: S.E.E ns ² (n-1)d ¹⁰ np ⁶		

IV. الخواص الدورية للعناصر :

1) نصف قطر الذرة :

$r = C_n / Z_{eff}$ هو ثابت متعلق بـ

Z هو العدد الذري ، عدد الشحنات

σ هو ثابت الشاشة

مفعول الشاشة: هو التناقض بين الإلكترونات مختلف الطبقات. و هو يؤثر على قوة التجاذب (إلكترون / نواة).

• عبر الدورة (السطر)

$n \rightarrow C_n = \text{ثابت}$; $Z \uparrow \Rightarrow Z_{\text{eff}} \uparrow \Rightarrow r_i \downarrow$ قليل التغيير σ

Li	Be	B	C	N	O	F
1,55	1,12	0,98	0,91	0,92	0,66	0,64

r لعناصر الدورة الثانية (Å)

• عبر العمود

$n \uparrow \Rightarrow C_n \uparrow$; $Z \uparrow, \sigma \uparrow \Rightarrow (Z - \sigma) = Z_{\text{eff}} \approx \text{Cte} \Rightarrow r \uparrow$ (تغير طفيف)

Li	Na	K	Rb	Cs
1,55	1,90	2,35	2,48	2,67

I_A لعناصر العمود r (Å)

(2) نصف قطر الأيون :

نمطان من الأيونات : كاتيوات و آنيونات

• الأيون الموجب أو الكاتيون A^{n+}



$Z = \text{ثابت} \Rightarrow \sigma \downarrow \Rightarrow (Z - \sigma) \uparrow \Rightarrow r_i \downarrow$ عدد الإلكترونات

مثال : $r_i(Li^+) = 0,6$ و $r_A(Li) = 1,57$

يكون عموماً نصف قطر الأيون الموجب (الكاتيون) أصغر من نصف قطر الذرة .

• الأيون السالب أو الآنيون B^{n-}



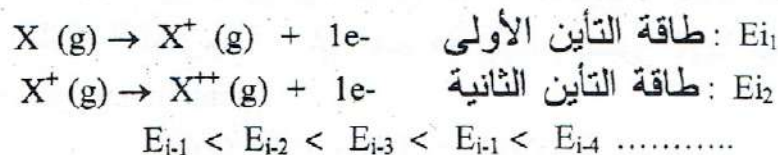
$Z = \text{ثابت} \Rightarrow \sigma \uparrow \Rightarrow (Z - \sigma) \downarrow \Rightarrow r_i \uparrow$ عدد الإلكترونات

مثال : $r_i(O^{2-}) = 1,4$ و $r_A(O) = 0,74$

يكون عموماً نصف قطر الأيون السالب (الآنيون) أكبر من نصف قطر الذرة .

(3) طاقة التأين :

"هي طاقة اللازمة لزع الكترون من ذرة في الحالة الغازية"



مثال :

العنصر	E_{i_1}	E_{i_2}	E_{i_3}
Li : $1s^2/2s^1$	5,37	75,3	121,8
Be : $1s^2/2s^2$	9,50	18,1	155
B : $1s^2/2s^22p^1$	8,30	24,2	37,8

ملاحظة : طاقة التأين القصوى هي الطاقة اللازمة لهدم هيكل مستقر (بنية ثابتة) $Li^+(He)$ و $Be^{++}(He)$.

يمكن حساب طاقات التأين لمعظم العناصر.

مثال : طاقة التأين الأولى

Li	Be	B	C	N	O	F
5,4	9,3	8,3	11,3	14,5	13,6	17,4

لعناصر الدورة الثانية $E_{i_1}(eV)$

H	Li	Na	K	Rb	Cs
13,6	5,4	5,1	4,3	4,2	3,9

I_A لعناصر العمود $E_{i_1}(eV)$

- تزايد طاقة التأين Ei عبر دورة من اليسار إلى اليمين.
- تزايد طاقة التأين Ei عبر عمود من الأسفل إلى الأعلى.
- تتغير طاقة التأين عموماً في الاتجاه المعاكس لاتجاه نصف قطر الذرى .

ملاحظة : طاقات تأين الغازات النادرة (النبيلة) تكون أعلى الطاقات على الإطلاق (تدمير هيكل مستقر).

He	Ne	Ar	Kr	Xe	Rn
24,6	21,6	15,8	14,0	12,1	10,7

للغازات النادرة $Ei(eV)$

4) الألفة الإلكترونية :

هي الطاقة المحررة من ذرة ، في الحالة الغازية، أثناء أسر إلكترونا لتصبح شاردة . تكون الألفة الإلكترونية غير معرفة جيدا و نشير إليها بالحرف A و تعطى بـ : kcal / mole أو eV / atome



ملاحظة :

- تتراءد الألفة مع استقرار الأيون $X^-(g)$

مثال : تملك الهالوجينات أكبر قيم لـ A (تتشكل الأنيونات الأكثر استقرارا بسبب بنيتها المطابقة مع بنية الغازات الخاملة).

F	Cl	Br	I
3,45	3,61	3,36	3,06

ألفة الهالوجينات A (eV)

• تكون ألفة معظم العناصر غير معرفة (مجهولة) وكلما وجدنا عناصر محتوية على طبقات تحتية مملوئة فإن ألفتها الإلكترونية تؤل إلى الصفر ($0 \rightarrow A$).
مثال : العناصر الترابية التي تملك بنية إلكترونية خارجية ns^2 (S.E.E) مثل : $A(\text{He}) = 0,19$ ، $A(\text{Mg}) = -0,32$ ، $A(\text{Be}) = -0,19$ أو

• تفسر القيمة الضعيفة للألفة ذرة النيتروجين $A(\text{N}) = 0,05$ لكونه يملك طبقة تحتية $2p$ نصف مملوئة و التي توفر له استقرارا ملحوظا ($\text{N} : 1s^2 2s^2 2p^3$).

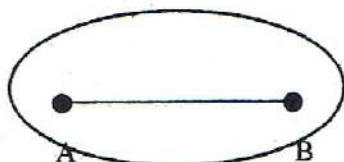
ملاحظة :

- تتراءد A عموما من اليسار إلى اليمين عبر الدورية.
- تكون A ثابتة عبر العمود.
- تتغير A عكس اتجاه طاقة التأين.
- تبقى A غير معرفة جيدا أو مجهولة.

5) الكهروسلبية :

"هي ميل ذرة مرتبطة مع ذرة أخرى لجذب نحوها إلكترونات الذرات المرتبطة معها بروابط تساهمية".

كلما كانت كهروسلبية الذرة عالية ، كلما جذبت الإلكترونات نحوها بقوة.
لنععتبر الجزيء A-B

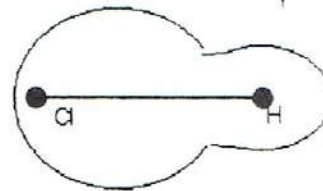
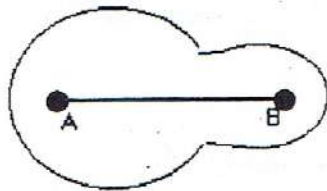


توزيع "متساو" للإلكترونات
 $A \equiv B$
نفس الكثافة الإلكترونية حول A و B



جزيء H_2

A ≠ B و A أكثر كهروسلبية من B



جزيء HCl

الذرة A تجذب نحوها الثنائية الإلكترونية فتزد الكثافة الإلكترونية حولها و تتناقص حول الذرة B.

يُستعمل سلمان لقياس الكهروسلبية (χ أو α)
* سلم موليكان Mulliken

$$(\xi) \quad \chi = (A + Ei)/2 \quad (\text{غير معرفة جيداً})$$

* سلم بولينغ Pauling

$$|\chi_A - \chi_B| = k \sqrt{\Delta H_{A-B} - (\Delta H_{A-A} + \Delta H_{B-B})/2}$$

A هو العنصر الأكبر كهروسلبية

هي طاقة تفكك الجزيء A-B (الانتاليبي) ΔH_{A-B}

هي طاقة تفكك الجزيء A-A. ΔH_{A-A}

هي طاقة تفكك الجزيء B-B ΔH_{B-B}

$$\Delta H_{A-B} \neq (\Delta H_{A-A} + \Delta H_{B-B})/2$$

$k = 0.208$ kcal/mole → $(eV / atome)^{1/2}$ ثابت التحويل k

H 2.20						
Li	Be	B	C	N	O	F
0.98	1.57	2.04	2.55	3.04	3.44	3.98
Na	Mg	Al	Si	P	S	Cl
0.93	1.31	1.61	1.90	2.19	2.58	3.16
K	Ca	Ga	Ge	As	Se	Br
0.82	1.10	2.01	2.01	2.18	2.55	2.96
Rb	Sr	In	Sn	Sb	Te	I
0.82	0.95	1.78	1.96	2.05	2.1	2.66
Cs	Ba	Tl	Pb	Bi	Po	At
0.7	0.9	1.8	1.8	1.9	2.0	2.2

الكهروسلبية χ حسب بولينغ لعناصر تحت المجموعة A

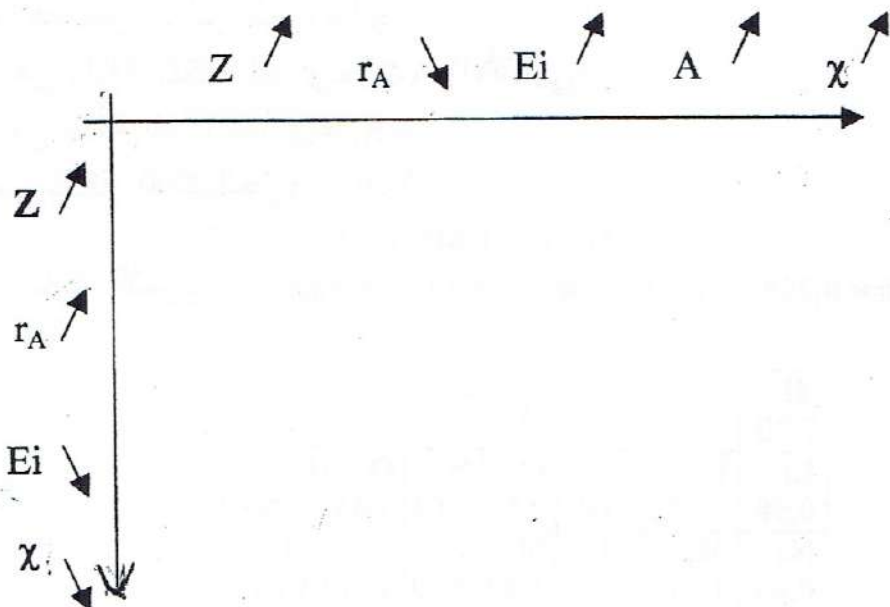
- عبر الدورة يتزايد χ مع العدد الذري Z
- عبر العمود يتناقص χ مع تزايد Z

6) القابلية للاستقطاب و قدرة الاستقطاب

تميز قدرة الاستقطاب قيمة الحقل الكهروستاتي المجاور للأيون و تتراءد مع تناقص نصف قطر الذري.

- تكون قدرة الاستقطاب مساوية لـ Ze/r^2 و أين: Ze هي شحنة الأيون و r هو نصف قطر الذري
- تكون قدرة استقطاب الأنيونات أصغر من الكاتيونات بسبب نصف قطرها الأكبر.
- الاستنتاج المباشر لقدرة استقطاب الكاتيونات يتمثل في عدد جزيئات الماء التي تحيط بالكاتيون عند الانحلال.

ترفق قابلية الاستقطاب خاصة الأنيونات و تترجم عن انحراف السحابات الإلكترونية بفعل حقل كهروستاتي خارجي و تتراءد مع حجم الأيون ($F^- < Cl^- < Br^- < I^-$). أكبر قابلية للاستقطاب توافق الأنيون I^- .



التمارين

التمرين 1.VII :

- 1- ما هي في الحالة الأساسية العناصر التي تملك أقل من 18 إلكترون ولها إلكترونين عازبين.
- 2- ما هو العنصر الذي ينتمي إلى دورة الصوديوم ($_{11}\text{Na}$) و إلى العمود IV_A.
- 3- ما هو العنصر الذي يتميز بنفس الخواص الكيميائية للعنصر السيلسيوم ($_{14}\text{Si}$) و ينتمي إلى الدورة الرابعة.

التمرين 2.VII :

لنعتر العناصر التالية: O⁸; K¹⁹; Fe²⁶; Ag⁴⁷

- 1- أكتب التوزيع الإلكتروني لكل عنصر.
- 2- ما هو الأيون الأكثر استقرار.
- 3- قارن نصف قطر كل عنصر مع أيونه الأكثر استقرارا: O⁸⁻ وأيونه K¹⁹⁺ وأيونه.

التمرين 3.VII :

- 1- أعط العدد الذري والتشكيل الإلكتروني للعناصر الأول والأخير للدورة الرابعة
- 2- ما هو العدد الذري للعنصر الذي يملك أكبر عدد إلكترونات عازبة.

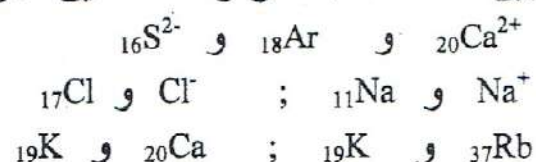
التمرين 4.VII :

يملك الإيريديوم Ir-192 ثلثيان في المستوى (5,2) ψ .

- 1- أعط البنية الإلكترونية لهذا العنصر.
- 2- ما هو عدده الذري Z ؟ ما هي الفئة التي ينتمي إليها.

التمرين 5.VII :

قارن بين أنصاف الأقطار وطاقة التأين الأولى للعناصر التالية:



التمرين 6.VII

- 1- لنعتبر العناصر : ^{19}K ; ^{13}Al ; ^{9}F ; ^{8}O .
رتب هذه العناصر حسب كهرسلبيتها المتناقصة.
- 2- تسمح الكهرسلبية والتي هي خاصية ذرية، بالتعرف على طابع الروابط في الجزيء . عرف بولينغ *Pauling* سلم نسبي للكهرسلبية أين يمثل الفلور (F) العنصر الأكبر كهرسلبية $\chi(F) = 4,0 \text{ eV}^{1/2} / \text{atome}$. $\chi(A-B) = k \sqrt{D_{A-B} - D_{A-A} + D_{B-B}} / 2$ من أجل جزئ من النوع A-B ، تعطى الكهرسلبية حسب العلاقة:

$\chi(A) - \chi(B) = k \sqrt{D_{A-B} - D_{A-A} + D_{B-B}} / 2$ هي طاقات تشكيل [أو تفكك] الجزيئات A_2 ، B_2 و AB على التوالي . $\text{kcal/mole} \rightarrow \text{eV}^{1/2}/\text{atome}$ و أين k هو عامل التحويل . أحسب k

- 2- حدد كهرسلبية عناصر الهيدروجين (H) و الكلور (Cl) انتلافاً من المعطيات الآتية:

$$\begin{aligned} D_{\text{H-H}} &= 104,2 \text{ kcal/mole} \\ D_{\text{F-F}} &= 36,6 \text{ kcal/mole} \\ D_{\text{Cl-Cl}} &= 58,0 \text{ kcal/mole} \end{aligned}$$

$$\begin{aligned} D_{\text{H-F}} &= 134,6 \text{ kcal/mole} \\ D_{\text{H-Cl}} &= 103,2 \text{ kcal/mole} \end{aligned}$$

قارن بين القيم المحصل عليها و تلك التي حسبها بولينغ *Pauling* . على $\chi(\text{Cl}) = 3,0$ و $\chi(\text{H}) = 2,1$

الرابطة الكيميائية

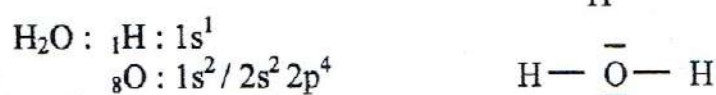
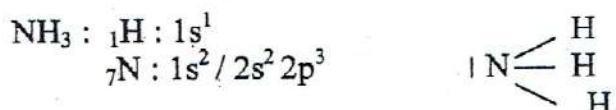
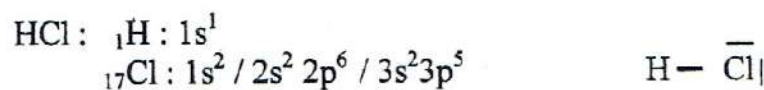
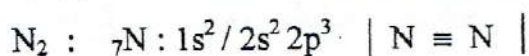
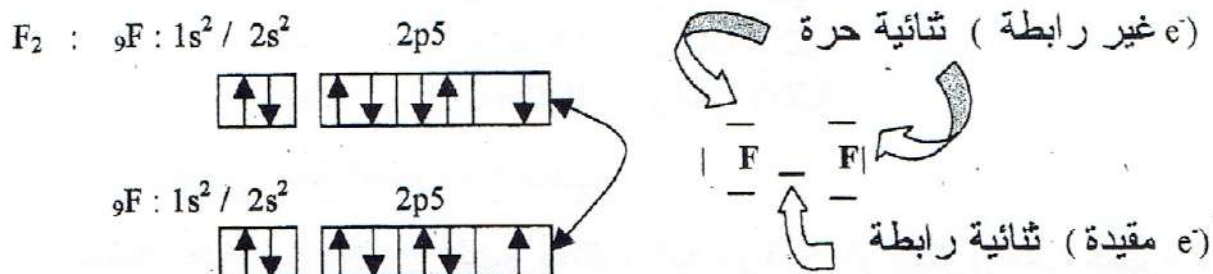
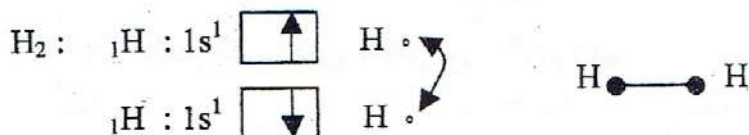
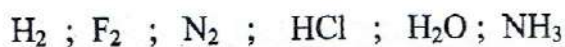
تشكل المادة ، في مختلف حالاتها ، عموماً من جزيئات و في بعض الحالات من تجمع أيوني . ما عاد عناصر العمود VIII.A التي هي غازات خاملة مستقرة في الحالة العادية ، كل الذرات الأخرى توجد في حالة اتحاد تحت شكل جزيئات بسيطة أو معقدة .

تشكل هذه الهياكل (الجزيئات) حسب القانون العام للتآمروديناميک الذي ينص كما يلي : " يتطور كل نظام تلقائيا نحو الحالة الأكثر استقرارا " تكون مهمة ، من الجانب البنوي ، معرفة أسباب استقرار اتحاد الذرات (إلكترونات ونوى) في جزيء أو بلورة أو عدم استقرار هيكل مشكل من ذرات في الحالة الأساسية و معزولة ، و أيضا دراسة (كما كان الحال بالنسبة للذرات) توزيع الإلكترونات في الجزيء و البحث عن أسباب استقرار الهياكل المتشكلة . كل هذا يكون هدفاً من أهداف دراسة الروابط الكيميائية .

I. الرابطة المشتركة - نظرية لويس Lewis

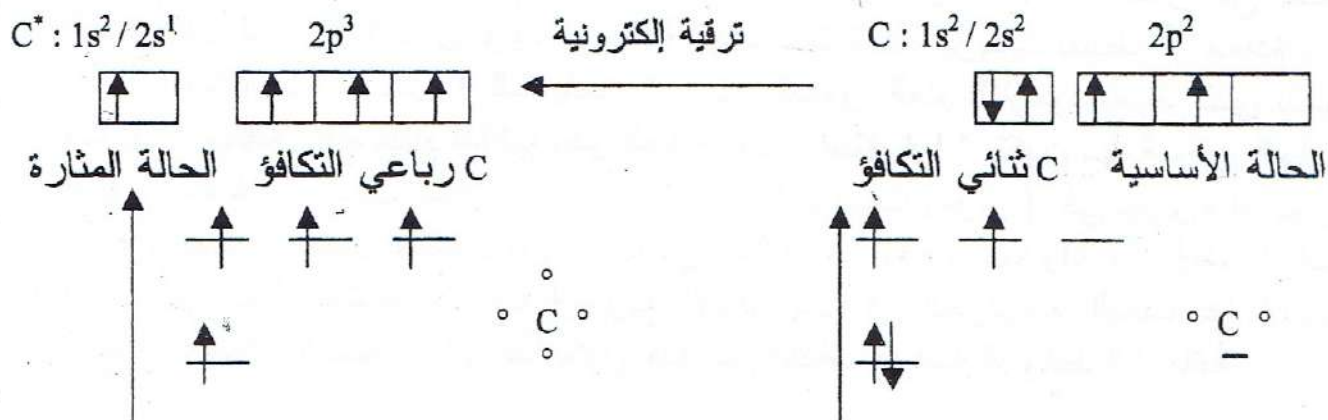
(1) الرابطة المشتركة أو التساهمية :

" تساهم كل ذرة بالكترون لتشكيل رابطة تساهمية "



قاعدة الثماني الثابت: "تعمل كل ذرة في الجزيء أن تحيط بها ثمانية إلكترونات في المحيط الخارجي لتصل لحالة استقرار إلا الهيدروجين فأن محيطه يشبع بالكترونين".

* حالة ذرة الكربون :



(أ) الرابطة المشتركة البسيطة :

"هو اشتراك ذرتين باليكترونين" (H_2 ; F_2 ; HCl ; H_2O ; CH_4)

(ب) الرابطة المشتركة المتعددة :

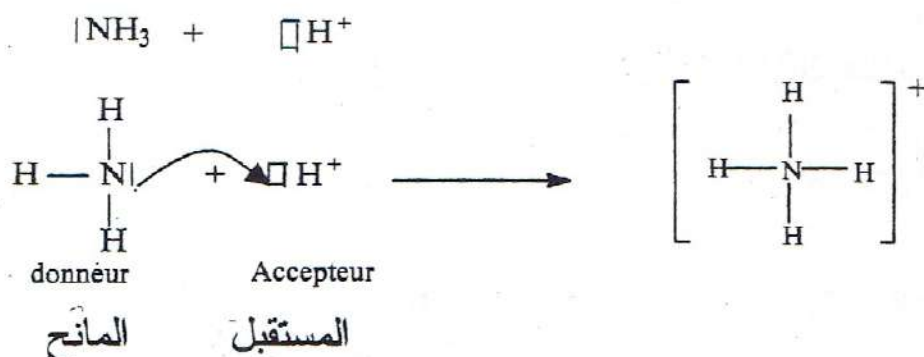
"هو اشتراك ذرتين بأكثر من إلكترونين"

رابطة ثنائية	$\langle O = O \rangle$	مثال :	O_2
رابطة ثنائية	$H_2C = CH_2$		C_2H_4
رابطة ثلاثة	$ N \equiv N $		N_2
رابطة ثلاثة	$H-C \equiv C-H$		C_2H_2

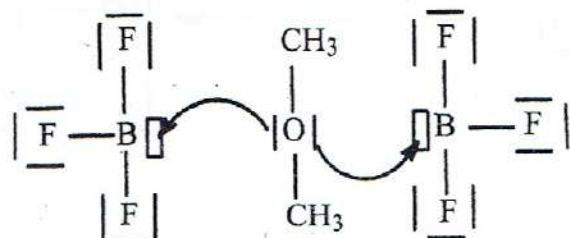
(ج) الرابطة المشتركة التساندية :

"تشكل هذه الرابطة بين عنصر يملك ثنائية حرة و آخر يحتوي على حجارة فارغة"

المثال 1 : أيون النشادر NH_4^+



المثال 2 : $\text{CH}_3-\ddot{\text{O}}-\text{CH}_3$ في BF_3 نظراً لاحتوى الإيثر المثيلي $(\text{CH}_3)_2\text{O}$ على شائينتين حرتين ، فإنه يكون رابطتين تسانديتين مع BF_3 ليصل كلاهما لحالة الاستقرار .



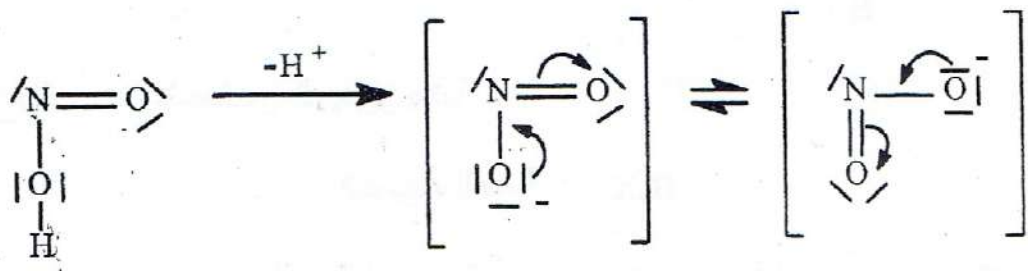
ملاحظة : لا فرق بين الرابطة المشتركة العادية و الرابطة المشتركة التساندية إلا في تشكيلاها .

(2) مخطط لويس Lewis

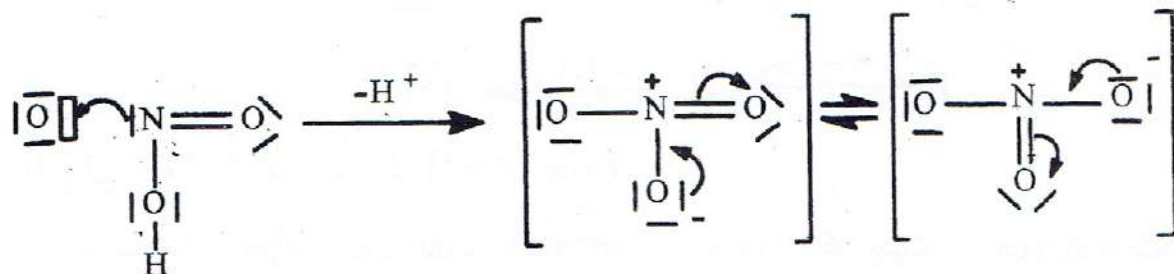
المثال الأول : الأحماض الأوكسجينية

الصيغة العامة : $\text{XO}_m(\text{OH})_n$

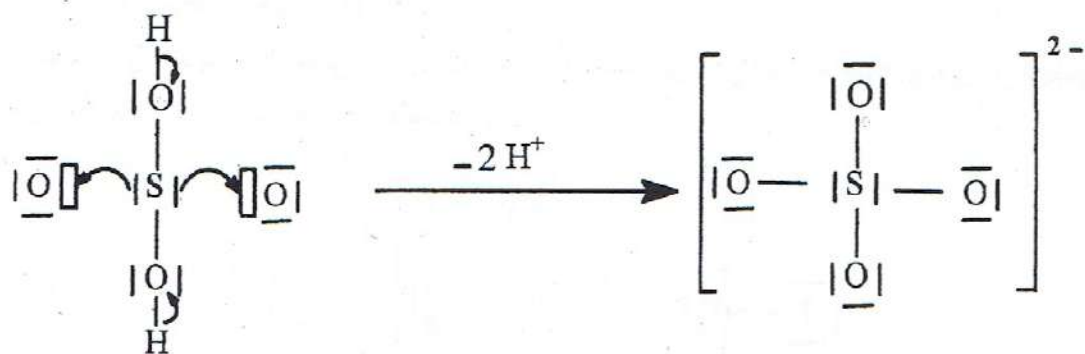
HNO_2	$\text{NO}(\text{OH})$	حمض النيتريت	NO_2^-	أيون nitrite
HNO_3	$\text{NO}_2(\text{OH})$	حمض النيتريك	NO_3^-	أيون nitrate



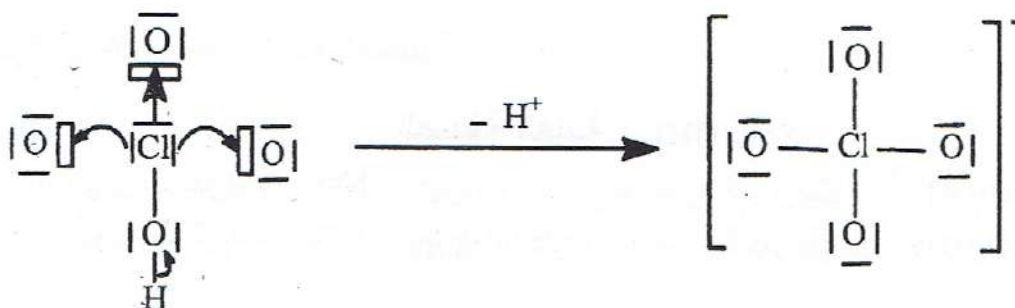
إعادة توزيع الإلكترونات لذرة الأوكسجين $1s^2 2s^2 2p^4$ $\rightarrow \text{O}^- \leftarrow \text{O} \cdot$



H_2SO_3	$\text{SO}(\text{OH})_2$	a. حمض الكبريت	SO_3^{2-}	أيون sulfite
H_2SO_4	$\text{SO}_2(\text{OH})_2$	a. حمض الكبريتات	SO_4^{2-}	أيون sulfate



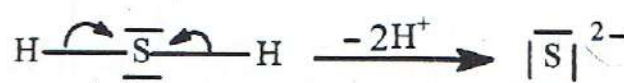
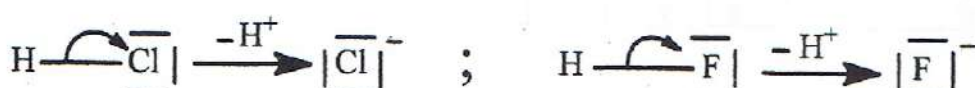
HCIO	CIOH	ح. تحت الكلوريت	a. hypochloreux ; ClO ⁻	أ. تحت الكلوريت	ion hypochlorite
HClO ₂	ClO(OH)	ح. الكلوريت	a. chloreux	أ. الكلوريت	ion chlorite.
HClO ₃	ClO ₂ (OH)	ح. الكلوريك	a. chlorique	أ. الكلوريك	ion chlorate.
HClO ₄	ClO ₃ (OH)	ح. فوق الكلوريك	a. perchlorique	أ. فوق الكلوريك	ion perchlorate.



المثال الثاني : الأحماض الهيدروجينية

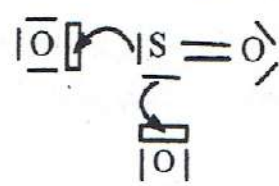
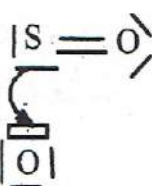
الصيغة العامة : H_nX

HCl	أيون كلوريت	Cl ⁻	ion chlorure	H — Cl
HF	أيون فلوريد	F ⁻	ion fluorure	H — F
H ₂ S	أيون الكبريتيد	S ²⁻	ion sulfure	H — <u>S</u> — H



المثال الثالث : البلا ماءات (anhydrides)

بلا ماء الكبريتيت anhydride sulfureux



الحالات الخاصة :

- جزيء أحادي أكسيد النيتروجين



- جزيء أحادي أكسيد الكربون أين يكون C في الحالة الأساسية $1s^2 / 2s^2 2p^2$



حدود تطبيق نظرية لويس :

- لا تتحقق الذرات الآتية قاعدة الثنائي الثابت مثل البور *Bore* في جزيء BF_3 ، الألومنيوم *Aluminium* في جزيء $AlCl_3$ أو ذرات أخرى مثل الفوسفور *Phosphore* PCl_5 أو الكبريت *Soufre* (SF_6) ...
- لا تعطي هذه النظرية أي معلومة عن قوة الرابطة (الرابطة الثنائية = رابطتين بسيطتين ؟) أو أدلة عن وجود استقطاب دائم لبعض الجزيئات.
- لا يعطي تمثيل لويس أي معلومة عن هندسة الجزيئات (الروايا ؟ ...).
- تبقى هذه النظرية غير كافية لتفسير الرابطة الكيميائية و هندسة الجزيئات.

ملاحظة : أحماض و أسس (قواعد) لويس

- يعرف بحمض لويس كل كيان كيميائي يمتلك فراغ إلكتروني $(H^+ ; AlCl_3, BF_3 \dots)$.
- يعرف بقاعدة لويس كل كيان كيميائي يحتوي على ثنائية إلكترونية حرة أو أكثر $(\dots H_2O, NH_3)$

(3) الرابطة المشتركة الخالصة - الرابطة المشتركة المستقطبة

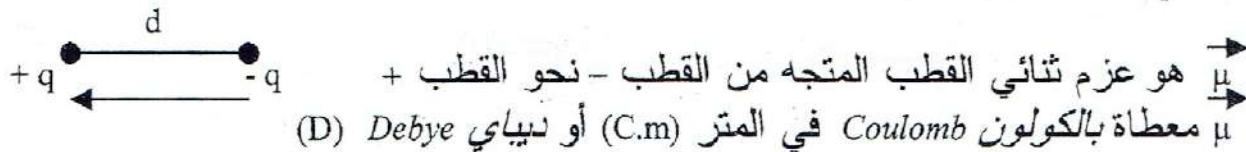
لنععتبر الجزيء A – B

- A متطابق (متماثل) مع B ($\chi_A = \chi_B$) (الجزيء A_2 أو B_2 ، $A \equiv B$)

يقع الثنائي الإلكتروني المكون للرابطة التساهمية في منتصف المسافة بين النواتين المتناظرتين. يكون توزيع الشحنات الكهروستاتيكية متاظر و مركز جاذبية الشحنات الموجبة يتطابق مع مركز جاذبية الشحنات السالبة و بهذا تعرف الرابطة المشتركة (أو التساهمية) الخالصة $(\mu = 0)$.

- A مختلف عن B ($\chi_A \neq \chi_B$) (الجزيء $A \neq B$) العنصر الأكثر كهروسلبية يجلب إليه الثنائي الإلكتروني الإلكتروني الرابط و بفعل الحقل الكهربائي يتصرف الجزيء كثنائي القطب المتشكل من شحنة موجبة $+q$ و شحنة سالبة $-q$ على مسافة d و ذو عزم ثبائي القطب $(\mu \neq 0)$ و $\mu = q \cdot d$

q هي الشحنة المتبادلة
 d هي المسافة بين النوتين



$$1 D = 10^{-29} / 3 \text{ (C.m)}$$

نقول بأن الرابطة المشتركة مستقطبة عندما يكون عزم ثبائي القطب غير معدوم ($\mu \neq 0$)

$$\mu = q \cdot d = \delta e d \quad 0 < \mu < ed \quad \text{و} \quad 0 < \delta < 1$$

"الرابطة المستقطبة هي رابطة موجهة"

نعرف أيضا الطابع الجزيئي للأيون (% C.I)

$$\% \text{ C.I} = \mu_{\text{exp}} \times 100 / \mu_{\text{ion}}$$

$$\mu_{\text{ion.}} \text{ (الأيوني)} = e d$$

$$\mu_{\text{reel}} \text{ (ال حقيقي)} = \mu_{\text{mesuré}} = \mu_{\text{exp}} \text{ (المقاسة)} = \delta e d$$

$$\% \text{ C.I} = \delta e d \times 100 / ed = 100 \delta$$

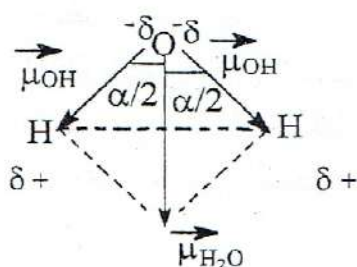
δe هي الشحنة الجزيئية التي تحملها الذرة
مثال : جزيء HF

$$d_{\text{HF}} = 0,92 \cdot 10^{-10} \text{ m} \quad \mu_{\text{reel}} = 1,99 D$$

$$\% \text{ C.I} = \mu_{\text{exp}} \times 100 / \mu_{\text{ion.}} = 1,99 \cdot 10^{-29} \times 100 / 3 \times 1,6 \cdot 10^{-19} \times 0,92 \cdot 10^{-10} = 45\%$$

إذن تكون الرابطة بين H و F لها خاصية (طابع) أيونية تقدر بـ 45%. و يكون جزيء HCl له خاصية أيونية مقدارها 17% بينما تكون الرابطة بين H و I في جزيء HI لها خاصية أيونية بمقدار 5%.

ملاحظة :
عزم ثبائي القطب لجزيء متشكل من أكثر من ذرتين يساوي مجموع عزوم ثبائية قطب مختلف الروابط التي تكون الجزيء.
مثال : $\mu_{\text{H}_2\text{O}} = \sum \mu_{\text{OH}} = \mu_{\text{OH}} + \mu_{\text{OH}}$

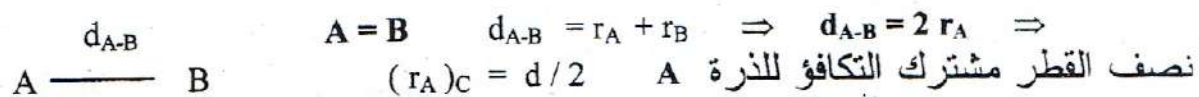


$\mu_{\text{H}_2\text{O}} / 2 = \mu_{\text{OH}} \cos(\alpha / 2)$,
يمكن حساب الزاوية α بمعرفة $\mu_{\text{H}_2\text{O}}$ و μ_{OH}
 $\alpha \sim 104^\circ$ فنحصل على

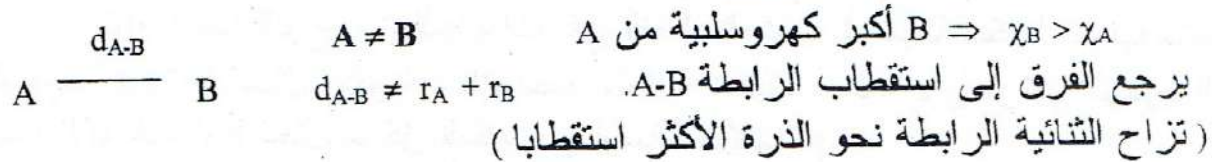
4) طول الرابطة :

يتعلق طول الرابطة بنوعها (نطها)

- الرابطة المشتركة الخالصة.



- الرابطة المشتركة المستقطبة.



$$d_{A-B} = f(r_A, r_B, \mu_A, \mu_B)$$

$$d_{A-B} = r_A + r_B + k(\chi_B - \chi_A)$$

B أكبر كهروسلبية من A
k هو ثابت متعلق بنوع الرابطة
 $k = 0,09$ رابطة بسيطة
 $k = 0,06$ رابطة ثنائية
 $k = 0,03$ رابطة ثلاثية

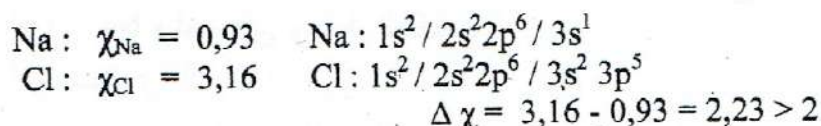
ملاحظة :

تسمى الجزيئات غير المتاظرة (غير متاجسة النوى) عموماً مثل H_2O , HCl , NH_3 , CH_3COOH , CH_3OH , ... بينما الجزيئات متاجسة النوى مثل H_2 , N_2 , Br_2 أو التي لها بعض التمازج مثل CH_4 , C_2H_6 تسمى بالجزيئات اللاقطبية.

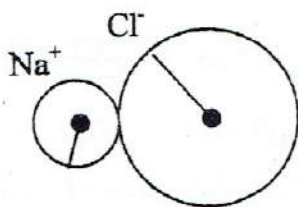
II. الرابطة الأيونية :

هي عبارة عن تبادل إلكتروني بين الذرات التي تشكل الجزيئات بغية تكوين أيونات مستقرة (هذا الانتقال الإلكتروني ممكن عندما يكون الفرق في الكهروسلبية بين الذرات كبيراً عموماً $(\Delta \chi > 2)$)

مثال : NaCl



(بنية غاز نادر Neon)
(بنية غاز نادر Argon)
 تكون الأيونات Na^+ و Cl^- مستقرة و طبيعة الرابطة كهروستاتيكية محضة.



$$d_{\text{NaCl}} = r_{\text{Na}^+} + r_{\text{Cl}^-}$$

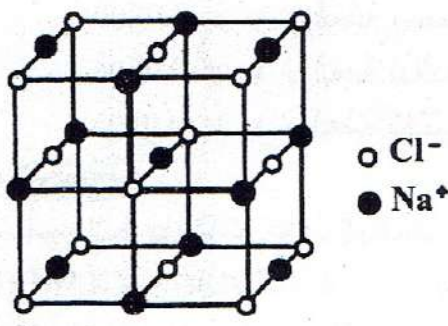
$\mu = ed$ جزيء قطبي \Rightarrow رابطة أيونية

"الرابطة الأيونية هي رابطة غير موجهة"

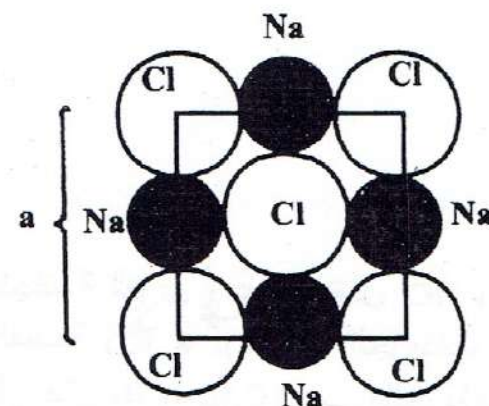
تشكل مادة صلبة أيونية (و تعتبر البلورة شكلها المثالي) من تكرار دوري في الأبعاد الثلاثة لنفس الصيغة "الخلية" العنصرية المكونة من أيونات و المسماة بالسردة (maille) و يكون استقرار هذا الهيكل مضموناً بواسطة روابط كهروستاتيكية.

المثال الأول : بنية من نوع NaCl

يتبلور هذا النوع من الجزيئات في النظام المكعب (شبكة شكلها مكعب متتمرّكز الوجوه C.F.C). تحتلّ الأيونات Cl^- القمم الثمانية لمكعب ضلعه a و مراكز الوجوه الستة بينما الأيونات Na^+ تحتلّ مركز المكعب و أوساط الأضلاع.



هيكل من نوع NaCl



منظر لمسقط وجه المكعب

يحيط بكلّ أيون Na^+ ستة أيونات Cl^- و بكلّ Cl^- ستة أيونات Na^+ و نستطيع حساب عدد الذرات في السردة (maille) الواحدة.

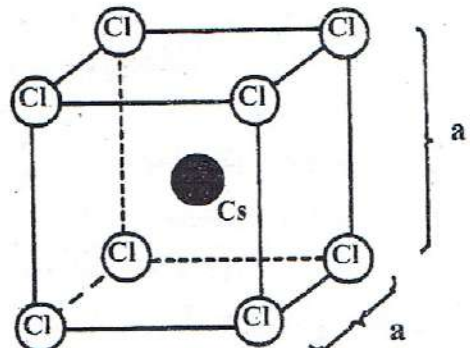
يكون لدينا على قمم المكعب 8 ذرات Cl^- مشتركة مع 8 سرادات فكلّ ذرة تشارك بالثمن $(1/8)$ و ستة أخرى على مراكز الوجوه و التي كلّ منها تشارك بالنصف $(1/2)$ لكونها مشتركة لسربتين و أيضاً 12 Na^+ في وسط أضلاع المكعب مشتركة مع أربعة سرادات و أيون Na^+ واحد في وسط المكعب.

إذن تحتوي السردة على :

$$\left. \begin{array}{l} 8 \times (1/8) + 6 \times (1/2) = 4 \text{ Cl}^- \\ 12 \times (1/4) + 1 = 4 \text{ Na}^+ \end{array} \right\} \text{أربعة جزيئات NaCl في السردة الواحدة}$$

المثال الثاني : بنية من نوع CsCl

يتبلور هذا النوع من الجزيئات في النظام المكعب (شبكة شكلها مكعب مرمرّكز C.C.). تحتلّ الأيونات Cl^- القمم الثمانية للمكعب و أيون Cs^+ مركزه .



هيكل من نوع CsCl

يحيط بكل أيون Cs^+ ثمانية أيونات Cl^- وكل Cl^- بثمانية أيونات Cs^+ يكون لدينا على قم المكعب 8 ذرات Cl^- مشتركة مع 8 سرادات فكل ذرة تشارك بالثمن $(1/8)$ وأيون Cs^+ واحد في وسط المكعب. إذن تحتوي السردة على :

$$8 \times (1/8) = 1 \text{ Cl} \quad } \text{ في السردة الواحدة} \\ 1 = 1 \text{ } \text{Cs}^+ \quad }$$

لقد قمنا بوصف بنية أيونيات كل منها تتكون من ذرات مختلفات و لا بد من الإشارة إلى وجود هيئات أخرى (مثل CaF_2 ...) ملحوظة :

لا بد أن نعلم فيما يخص المواد الصلبة (البلورة هي جسم صلب مثالي و يوجد بلوريات أيونية ، مشتركة ، جزيئية أو معدنية) أنه يوجد سبعة (7) أنظمة بلورية (شكلها مكعب ، سداسي hexagonal ، مربع quadratique ، ثلاثي rhomboédrique ، معياري مستقيم cubique ، أحادي مائل monoclinique أو ثلاثي مائل orthorhombique) و أربعة عشر (14) شبكة والتي تدعى بشبكات برافاي Bravais .

تدوب المركبات الأيونية ، على العموم ، في الماء و تكون قليلة (أو معدومة) الذوبان في المذيبات العضوية ، ناقلة للكهرباء في الماء أو في حالة منصهرة و تكون درجة انصهارها مرتفعة بينما تكون المركبات ذات الرابطة المشتركة ، على العموم ، ناقلة سيئة (أو عازلة) للكهرباء و طيارة (درجة انصهارها و غليانها منخفضة) .

" الرابطة الأيونية و الرابطة التساهمية هي روابط تدخل في تشكيل الجزيء "

نلاحظ أيضاً أفعال متبادلة بين الجزيئات ضعيفة الطاقة و المتنسبة في عدم مثالية سلوك الغازات تحت ضغط عالي و في تشكيل بلوريات بعض الغازات الناذرة وكذلك عدة جزيئات أخرى. توجد هذه الأفعال المتبادلة أيضاً في جميع المواد الصلبة الجزيئية و تسمى بالروابط ما بين الجزيئات.

III. الروابط ما بين الجزيئات :

تمارس الجزيئات فيما بينها تجاذباً كهروستاتيا الذي يلد روابط بين الجزيئات و تكون الطاقات المنتجة ضعيفة (من 4 إلى 12 kcal / mole) بالنسبة إلى طاقة رابطة تساهمية ($> 100 \text{ kcal/mole}$).

ترجع هذه الروابط أساساً إلى قوى تدعى بقوى فان دار فالس *Van Der Walls* و للرابطة الهيدروجينية.

1) قوى فان دار فالس :

هي محصلة مجموع ثلاثة أنواع من القوى : قوى كيسوم (F_K) و قوى ذي باي *Debye* (F_D) و قوى لندن (F_L) .

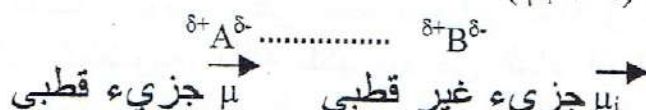
(أ) قوى كيسوم

لا توجد إلا في الجزيئاتقطبية ($\mu \neq 0$)
 تكون الجزيئاتقطبية مستوعة إلى ثنائية قطب دائم التي تمارس فيما بينها أفعال متبادلة كهروستاتيكية (ثنائي قطب دائم - ثانوي قطب دائم) يمكنها أن تكون تجاذبية أو تنافريّة يعني مؤثرة على توجيه هذه الجزيئات.

مثال : $\delta^+ \text{H} \longrightarrow \text{Cl} \delta^- \dots \dots \delta^+ \text{H} \longrightarrow \text{Cl} \delta^- \dots \dots \delta^+ \text{H} \longrightarrow \text{Cl} \delta^-$

ب) قوى ذي باي *Debye*

نلاحظ أيضاً قوى جاذبة بين جزيئاتقطبية و لاقطبية. يمكن وجود حقل كهربائي الناشئ عن ثنائي قطب دائم (جزيءقطبي) مؤدياً إلى عدم التناظر في توزيع الشحنات بجوارجزيء لاقطبي (استقطابجزيء غيرقطبي) الذي يمتلك حينئذ عزماً تحريضياً ثانوي القطب ($\mu_i \neq 0$).
مثال :



هو عزم ثانوي القطب الناتج عنجزيء B بواسطةجزيء A برہنت التجربة أن : $F_K + F_D > \text{مجموع القوى بين الجزيئات}$

ج) قوى لندن *London*

تعتبر الغازات النادرة جزيئات ليس لها عزم ثانوي القطب الدائم و ذات توزيع تناظري للشحنات (تطابق مركز الشحنات الموجبة مع مركز الشحنات السالبة) و هي جزيئات لاقطبية لكن لاحظ لندن *London* وجود قوى بين الجزيئات و فسره بأن عزم ثانوي القطب ما هو إلا معدل وفي لحظة ما (بسبب الااضطرابجزيئي) يكون لدينا توزيع غير تناظري يعني عزم ثانوي القطب تلقائي و هي ظاهرة العشوائية للجزيئات .

تعطى في الجدول التالي بعض الأمثلة المتعلقة بتوزيع الطاقات الناتجة عن قوى فان دار فالس *Van Der Walls* من خلال الروابط ما بين الجزيئات.

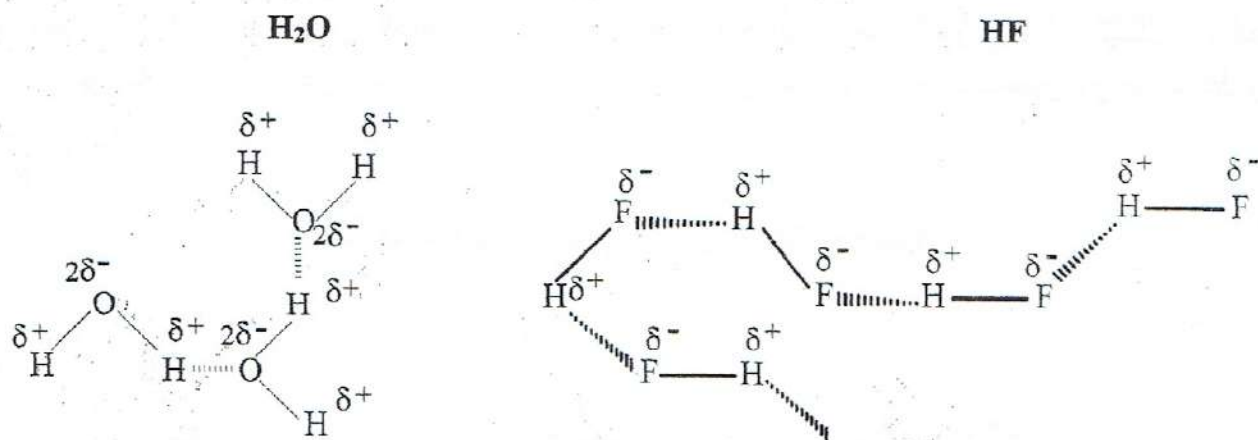
	μ	E_K	E_D	E_L	E_{total}
Argon	0	0	0	2.03	2.03
HCl	1.03	0.79	0.24	4.02	5.05
NH ₃	1.47	3.18	0.37	3.52	7.07

$$E \text{ (kJ/mole)} \text{ و } \mu \text{ (D)}$$

2) الرابطة الهيدروجينية (أو الرابطة بواسطة جسر هيدروجيني)

تكون بين ذرة الهيدروجين المرتبطة بذرة شديدة الكهروسلبية وقصيرة القطر (جزيء ما و ذرة أخرى كبيرة الكهروسلبية لجزيء آخر.) (O,N,F,Cl)

مثال :



يفسر وجود الرابطة الهيدروجينية شذوذ خواص بعض الجزيئات مثل H₂O ، HF أو NH₃ بالمقارنة مع هياكل كيميائية مماثلة.

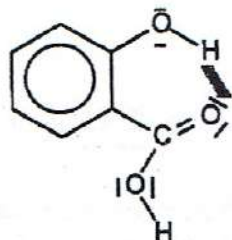
درجات الغليان (T_{eb} °C)

مثال :

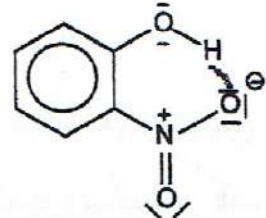
HF	H ₂ O	NH ₃
+ 19	+ 100	- 33
HCl	H ₂ S	PH ₃
- 84	- 61	- 87
HBr	H ₂ Se	AsH ₃
- 67	- 42	- 55
HI	H ₂ Te	SbH ₃
- 35	- 2	- 17

ملاحظة : الرابطة الهيدروجينية الداخلية (في الجزيء).

تقع مثل هذه الرابطة بين ذرة الهيدروجين المرتبطة بذرة شديدة الكهروسلبية و قصيرة القطر ($O_2N\cdot F\cdot Cl$) و ذرة أخرى كبيرة الكهروسلبية داخل الجزيء و التي تبقى مرتبطة باعتبارات هندسية. وتكون مفضلة إذا بفرض وجودها تتشكل حلقة خماسية أو سداسية .
مثال :



Acide salicylique
حمض الساليسيليك

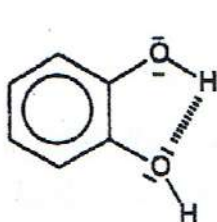


Orthonitrophénol
الأورتونيتروفينول

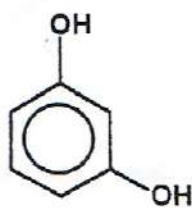
لا يمكن لذرة الهيدروجين الداخلية في روابط هيدروجينية داخل الجزيء أن تتشكل روابط هيدروجينية ما بين الجزيئات فتناقص قوى الربط بين الجزيئات و تخفص درجات غليان هذه المركبات.

مثال :

مشتقات الهيدروكسي فينول *hydroxyphénol*



(1)



(2)



(3)

إذا كان الفرق بين درجات غليان *الميتاهيدروكسي فينول* (2) و *البارا هيدروكسي فينول* (3) يقدر بـ $8^{\circ}C$ فقط ، فنلاحظ بالنسبة للمركب *الأورتونهيدروكسي فينول* (1) فرقاً قدره $37^{\circ}C$.

: (3) الرابطة المعدنية

تتمتع المواد المعدنية بالخواص الأساسية الآتية : ناقلة جيدة للكهرباء (مانحة للإلكترونات) و للحرارة ، قابلة للطرق ، قابلة لسحب وغير شفافة. يكون المعدن ناقلاً للكهرباء بفعل الحقل الكهربائي مهما كانت شدته (انتقال إلكترونات).

تبين التجربة أن إلكترونات المعادن ، أو البعض منها ، ضعيفة الارتباط بالنواة و ليست متوضعة في محطة بين ذرتين بل هي في محطات غير متوضعة على جميع الشبكة المعدنية.

يمكن اعتبار المعادن شبكة ثلاثة الأبعاد من الأيونات الموجبة تسحب في سحابة من الإلكترونات الحرة أو قليلة الربط.

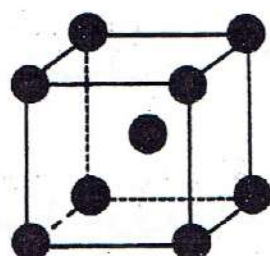
تقع الرابطة المعدنية بين ذرات متطابقة و التي تحتوي على العموم على أقل من 4 إلكترونات عازبة في محطاتها التحتية الخارجية. بالفعل لا يمكن لهاته الذرات أن ترتبط فيما بينها بروابط كلاسيكية (تساهمية أو أيونية).

يمكن تشبيه الذرات المعدنية بكور صلبة التي تتبلور في إحدى الهياكل الثلاثة : سداسي متتساك hexagonal compact ، مكعب متمركز الوجهes cubique à faces centrées أو مكعب متمركز cubique centré.

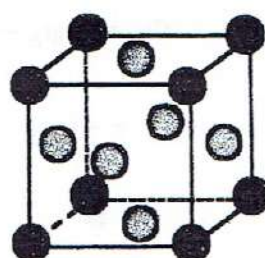
- تتغير طاقة الرابطة المعدنية من 25 kcal/mole (المعادن القلوية) إلى 200 kcal/mole بالنسبة للعناصر الانتقالية الأكثر ثقلًا (W, Os, Ta) الشيء الذي يفسر درجات غليانها العالية.
مثال :

درجات غليان بعض المعادن T_{eb} (°C)

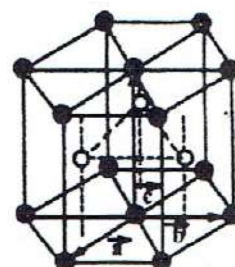
K (760)	Rb (688)	Cs (690)	IA	الفئة
Ca (1440)	Sr (1380)	Ba (1640)	IIA	الفئة
Zn (906)	Cd (765)	Hg (357)	IIB	الفئة
Ta (5425)	W (5930)	Os (5500)	d	الكتلة



سردة عادية: هيكل
مربع متمركز
(c.f.c ، القلويات : Al, Fe_α)



سردة عادية: هيكل
مربع متمركز الوجه
(c.f.c : Ni, Cu, Ag, Au, Al, Fe_γ) (h.c. : Be, Mg, Zn, Cd)



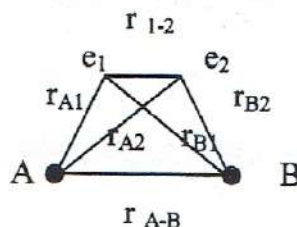
تمثيل السردات العادية الموجودة في البلوريات المعدنية

IV. الرابطة التساهمية : نظرية المحطات الجزيئية O.M

نماذج نظرية لويس حتمت إدخال الميكانيك الموجي.
 تصف الدالة الموجية Ψ سلوك الإلكترون في الذرة (O.A) كما تترجم الدالة الموجية Φ سلوك الإلكترون في الجزيء (O.M).
 تتشكل الرابطة الذرية عندما يتواجد الإلكترون عازب في محطة ذري الذي يرتبط مع الإلكترون عازب في محطة ذري آخر لهما نفس الطاقة أو طاقتها متقاربة لكي يتشكل محطة جزيئي (O.M) طاقته أقل من طاقة المحطة الذري (O.A).
 لتكن H_A و H_B ذرتين هيدروجين.

$$H_A \longrightarrow \psi_A \quad (\text{H}_A \text{ isolé})$$

$$H_B \longrightarrow \psi_B \quad (\text{H}_B \text{ isolé})$$

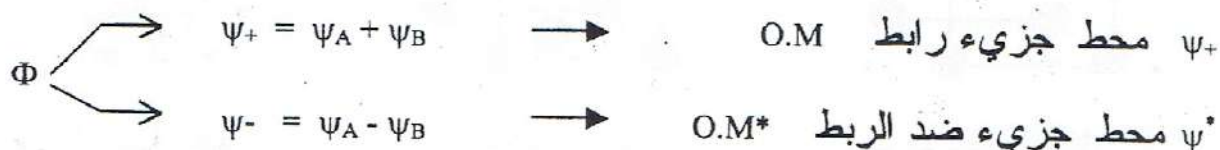


لكي تتشكل رابطة بين H_A و H_B لتكوين جزيء H_2 لا بد أن تقترب الذرتان لمسافة r_{1-2}
 أحدى طرق الحسابات المعمول بها لحساب طول الرابطة التساهمية هي طريقة "التوافق الخطي للمحطات الذرية" أو L.C.A.O (Linear Combination of Atomic Orbitals)
 عند ارتباط ذرتين فيما بينهما يكون توافق خطي للمحطات الذرية ψ_A و ψ_B يعني:

$$\Phi = a\psi_A + b\psi_B$$

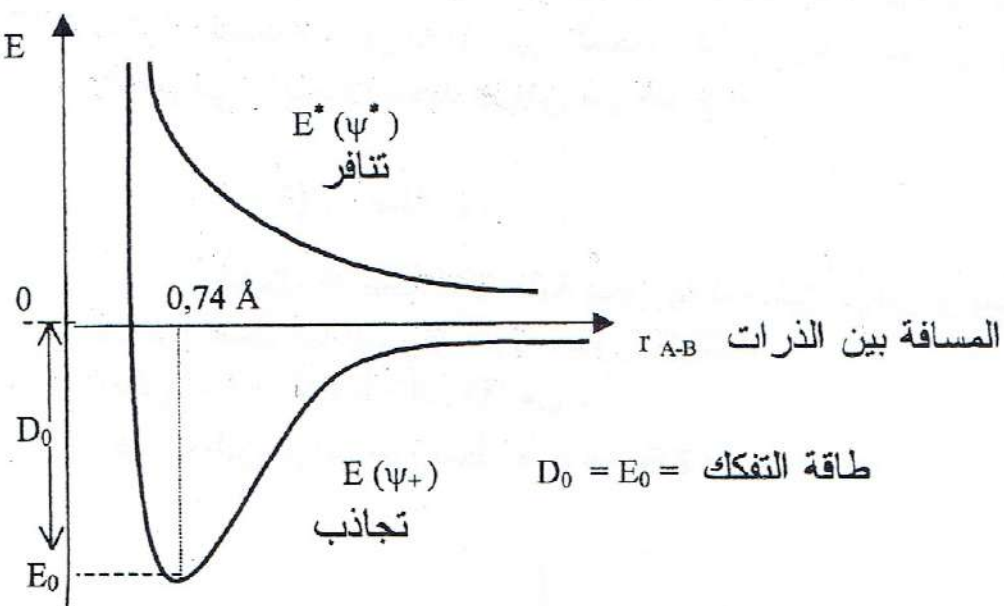
أعطت الحسابات :

$$a/b = +1 \quad \text{و} \quad a/b = -1$$

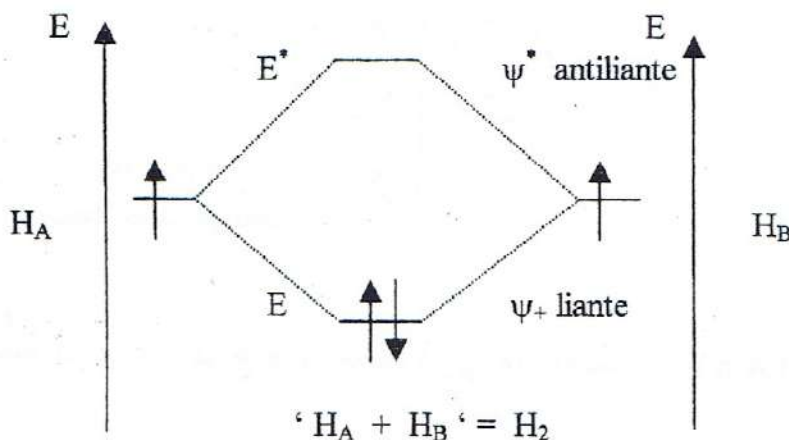


ψ_+ و ψ_- التي هي في الواقع توافق خطي للمحطات الذرية ψ_A و ψ_B ، تسمى بالمحطات الجزيئية أو O.M

ψ_+ توافقه طاقة الرابط E_+ (E)
 ψ_- توافقه طاقة ضد الرابط E_- (E^*)

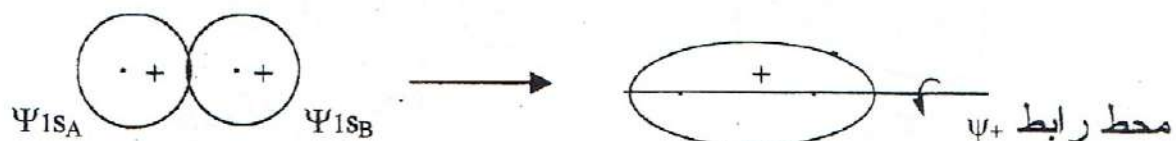


يكون للإلكترونين في جزيء H_2 لفان متعاكسين في الاتجاه و يحتلان المستوى الأقل طاقة (الأكثر استقراراً) يعني المحط الجزيئي الرابط.



"يتشعب المحط الذري أو المحط الجزيئي بالكترونين "

ويتحد محطان ذريان OA 2 لتشكيل محطتين جزيئيين (ψ و ψ^*)



تمثيل خطى للرابطة σ_{1s-1s} في جزيء H_2

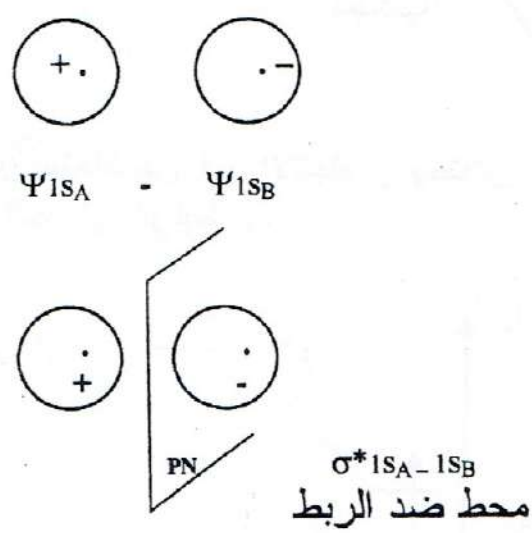
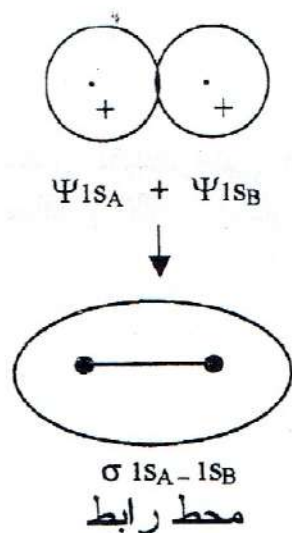
يتم تشكيل الرابطة المشتركة (التساهمية) بتغطية المحطات الذرية من نوع σ . تكون التغطية محورية (عبر المحور الذي يربط النواتين) و توزيع الشحنات تنازليه أسطواني و يتشكل محيط جزيئي من النوع σ .

(1) الرابطة σ

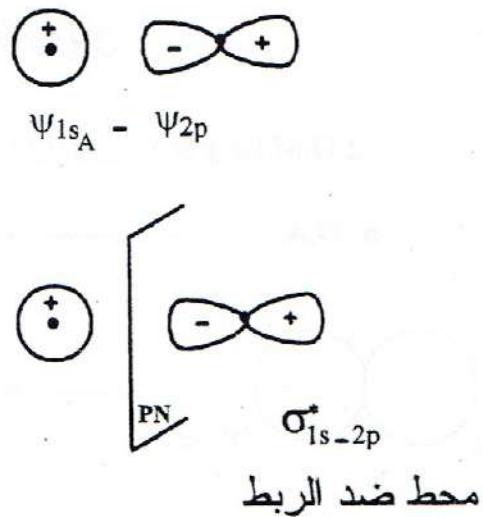
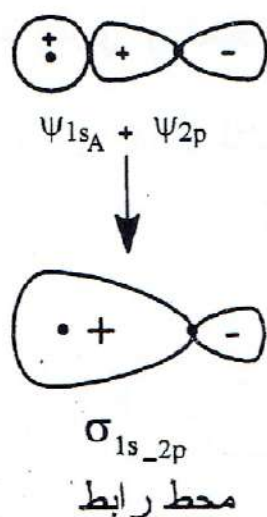
تشكل الرابطة σ بتغطية محورية لمحطين ذريين و يمثل المحيط الجزيئي الرابط تنازلاً أسطوانياً للدوران حول محور النواتين.

يمكن تشكيل الرابطة انتلافاً من :

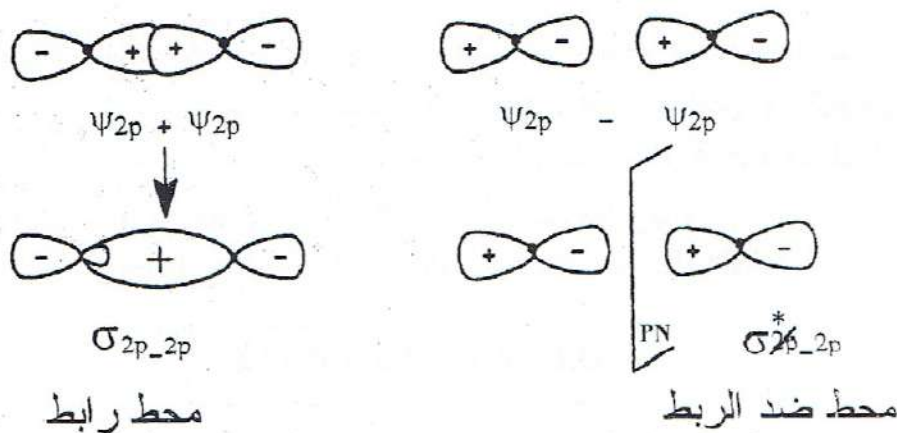
- محطين ذريين من نمط s ($2 O.A.s$)



- محيط ذري من نوع s و محيط ذري من نمط p ($1 O.A.s + 1 O.A.p$)



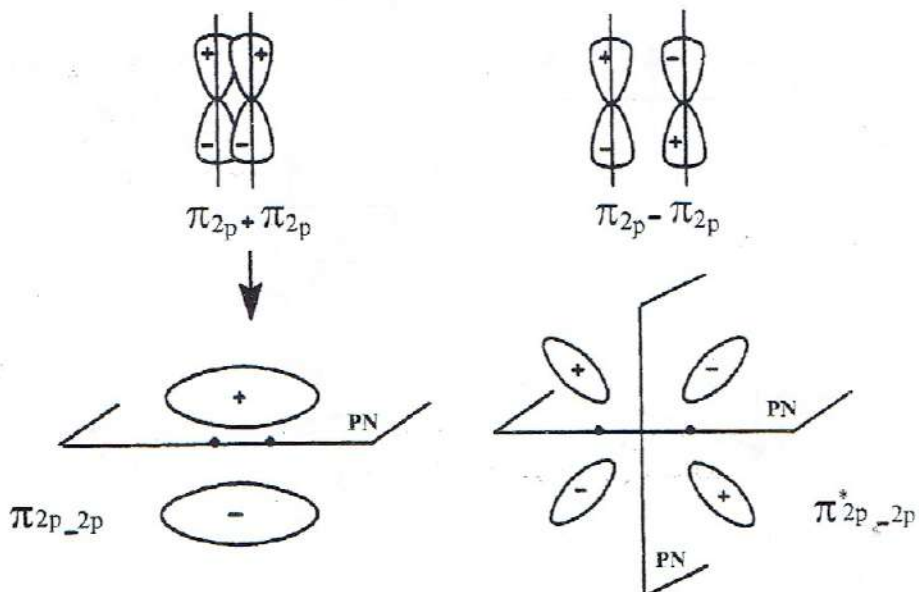
• محطين ذريين من نمط p (1 O.A p + 1 O.A p)



تولد الرابطة σ الدوران الحر حول محور الدوران (محور الجزيء).

(2) الرابطة π

لا يمكن للرابطة π أن تتشكل إلا انتلاقاً من محطين ذريين من نمط p (2 O.A p) فقط وبعد تشكيل رابطة من نوع σ من قبل. يتم تشكيل المحط الجزيئي π بتغطية جانبية للمحطات الذرية (يزول التأثر الأسطواني للدوران) وهذا يستلزم أن تكون محاور المحطات الذرية متوازية بينما تستلزم الرابطة σ التحام المحاور.



تمثيل التغطية الجانبية للمحطات p

يستلزم التأثرُ الجانبيُّ وجود مستويين عديدين متعاددان فيما بينهما وعموديان على محور ربط النواتين (نذكر أن المستوى العقدي هو حيز من الفضاء يكون احتمال وجود الإلكترون فيه معدوماً $= \Psi^2$). وجود الرابطة π يوقف الدوران الحر و تكون هندسة الجزيء متصلبة.

(3) المخطط الطاقوي الجزيئي :

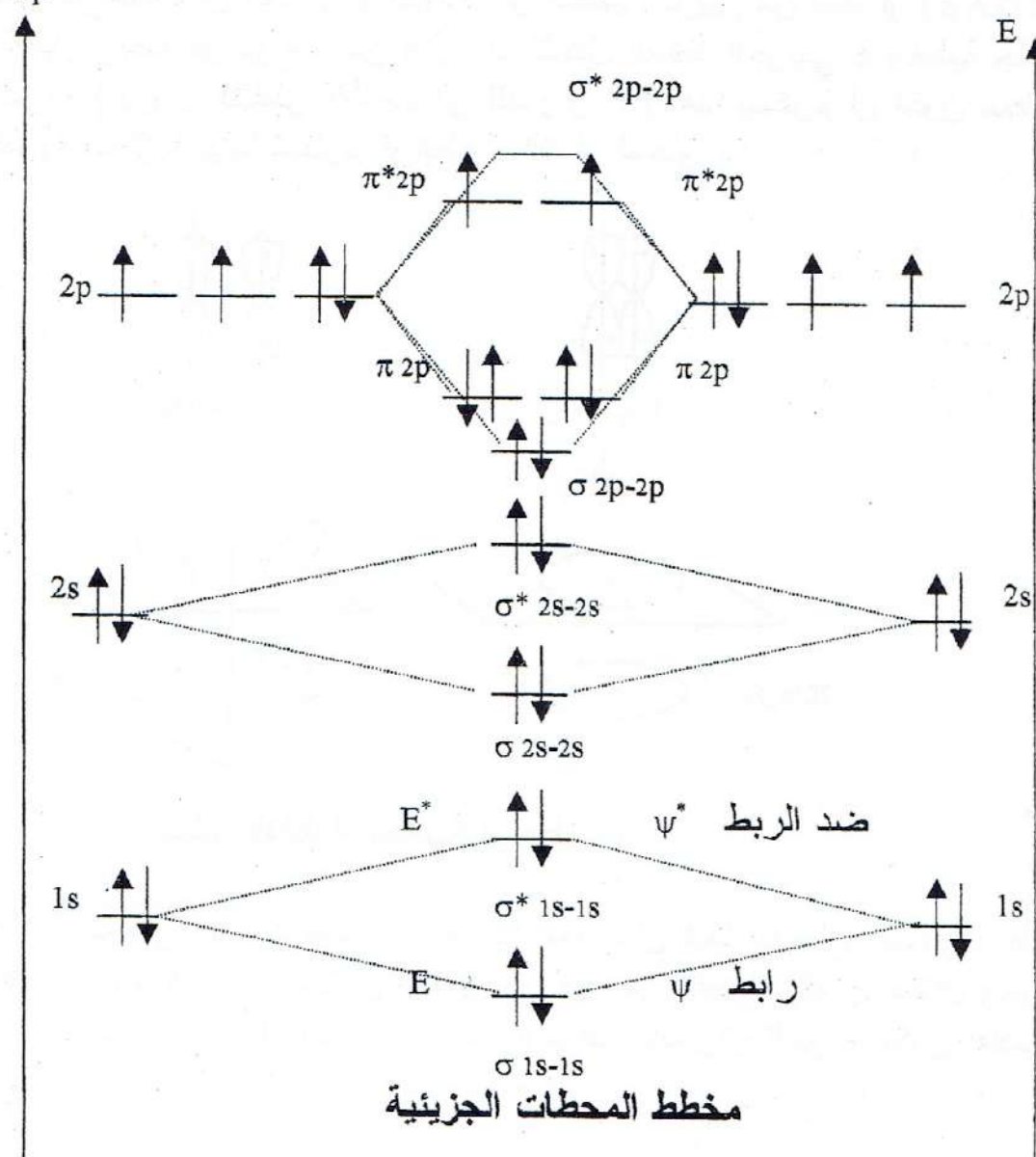
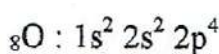
كما أوردنا بالنسبة للذرات نعرف المخطط الطاقوي للجزيئات (تمثل مستويات الطاقة) كما يلي : يتم ملأ المحطات الجزيئية وفق المبادئ و القوانين المطبقة على الذرات (مبدأ الثبات ، مبدأ بولي ، قاعدة كلاشوكوسي و قاعدة هوند) و تكون التغطية عظمى بين محطات ذرية لها نفس الطاقة أو طاقات متقاربة .
نعرف أيضاً رتبة الرابط (عدد أو دليل) كما هو موضح بالعلاقة :

$$O.L = i = (n - n^*) / 2$$

n هو عدد إلكترونات الرابط (المتموقة على محطة جزيئي رابط).

n^* هو عدد إلكترونات ضد الرابط (المتموقة على محطة جزيئي ضد الرابط) .

المثال الأول : الجزيئات المتجانسة النوى (A_2) : جزيء الأوكسجين O_2 مثلاً



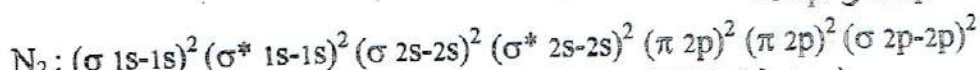
التوزيع الإلكتروني الجزيئي :

$$(\sigma 1s-1s)^2 (\sigma^* 1s-1s)^2 (\sigma 2s-2s)^2 (\sigma^* 2s-2s)^2 (\sigma 2p-2p)^2 (\pi 2p)^2 (\pi^* 2p)^1 (\pi^* 2p)^1 \\ O.L(i) = 1/2 (n - n^*) = 1/2 (10 - 6) = 2$$

لدينا رابطة ثنائية بين ذرات الأوكسجين (بتمثيل لويس $O = O$) الشيء الذي لا يعبر بصدق عن الواقع. وبالفعل نلاحظ الكترونات عازبة يشغلان مهبطين ضد الرابط (قاعدة هوند) و الذي يخول للجزيء خواص مغناطيسية (واقع تجربى). تفسير ظاهرة المغناطة هذه أعطى نجاحاً معتبراً لنظرية المهبطات الجزيئية.

ملاحظة :

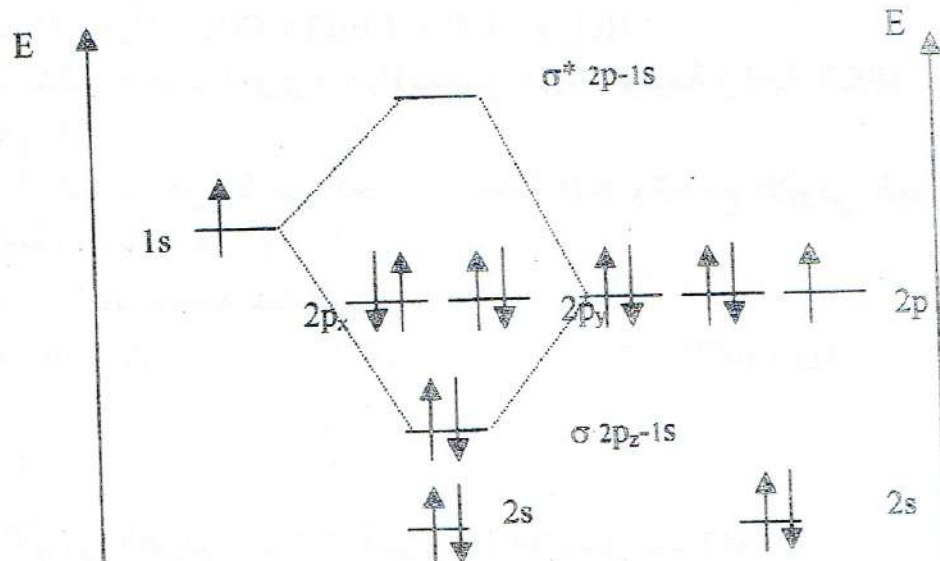
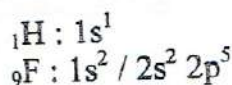
• بالنسبة للجزئيات "الخفيفة" (عدد الإلكترونات أقل من 16) مثل N_2 (14e) يكون لدينا انعكاس المستويات $\sigma 2p$ و $\pi 2p$.



(رابطة ثلاثة بين ذرات النيتروجين $N \equiv N$)

المثال الثاني : الجزيئات غير متتجانسة النوى (AB) : جزيء HF

تكون المهبطات الذرية لعنصر الفلور أقل طاقة (أكثر استقراراً) من مهبطات الهيدروجين لكون الفلور أكبر كهروسلبية من الهيدروجين. المهبطات الذرية التي تتلخص معاً هي تلك التي تكون طاقتها أقرب من بعض (المهبط الذري $1s$ للهيدروجين و المهبط $2p$ لعنصر الفلور).



مخطط المهبطات الجزيئية

• التوافق الخطي للمحط الذري $1s$ للهيدروجين و المحط الذري $2p_z$ للفلور ينشأ عنه محطين جزيئيين: محط رابط σ طاقته أصغر من طاقات المحطين الذريين و محط ضد الرابط σ^* طاقته أكبر.

• تعطي المحطات الذرية غير المستعملة $2s$ ، $2p_x$ و $2p_y$ محطات جزئية لا رابطة لها نفس الطاقة و تكون متموقة حول ذرة الفلور.
تشكل رابطة σ بين F و H

$$O.L(i) = 1/2 \cdot (2 - 0) = 1$$

التمارين

التمرين 1.VIII

- 1- أعط صيغة لويس Lewis للمركبات التالية:
 $(CH_3)_2S$ ، H_2O ، NH_3 ، CH_4 ، C_2H_4 ، $BeCl_2$ ، BH_3 ، PCl_5
 BH_3 هو مركب مشترك التكافؤ غير مستقر ، و لاستقراره نضيف له محلول من $(CH_3)_2S$.

التمرين 2.VIII

- 1- عين من بين الجزيئات الآتية المركبات التي لها عزم ثانوي القطب غير معدوم:
 CS_2 ، Cl_2 ، $CHCl_3$ ، CCl_4 ، H_2S ، CH_3Cl ، ClF و HCl
2- عزم ثانوي القطب لجزيء H_2S يساوي $0,95D$ و قيمة زاوية التكافؤ المتشكّلة بين الروابط S-H هي 95° .

- أ) أحسب عزم ثانوي القطب للرابطة S-H و الطابع الأيوني الجزيئي علماً أن طول هذه الرابطة يساوي $1,3 \text{ \AA}$.

ب) أعط هندسة هذا الجزيء.

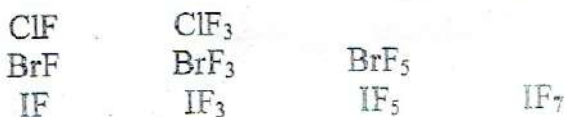
$$1D = 10^{-29} / 3 \text{ C.m} \quad e = 1,9 \cdot 10^{-19} \text{ C} \quad 1 \text{ \AA} = 10^{-10} \text{ m}$$

التمرين 3.VIII

- الطابع الأيوني الجزيئي (%) لجزيء $H-Cl$ يقدر بـ 17% .
1- أحسب قيمة الشحنة الجزيئية المحمولة من H و Cl .
2- أحسب عزم ثانوي القطب لهذا الجزيء علماً بأن طول الرابطة يساوي $1,28 \text{ \AA}$.
المعطيات: $1D = 10^{-29} / 3 \text{ C.m}$ $e = 1,9 \cdot 10^{-19} \text{ C}$ $1 \text{ \AA} = 10^{-10} \text{ m}$

التمرين 4.VIII :

لاحظ المركبات الهايوجينات التالية:



- (أ) أعط صيغة لويس Lewis لـ ClF_7 , ClF_3 , BrF_5 و IF_7 .
- (ب) يسمح للألكترون الانتقالات الإلكترونية التي تخضع للقاعدة $\Delta I = \pm 1$
- (...) واعتباراً أيضاً على المعلومات المكتسبة، أشرح ما يلي:
- الفلور F له تكافؤ مشترك covalence يساوي 1.
 - الكلر Cl له تكافؤ مشترك covalence يساوي 1 و 3.
 - البروم Br له تكافؤ مشترك covalence يساوي 1 ، 3 و 5.
 - الأبيون I له تكافؤ مشترك covalence يساوي 1 ، 3 ، 5 و 7.

التمرين 5.VIII :

- 1- يتبلور المركب الأيوني NaCl في النظام المكعب و له كثافة جمجمية متساوية لـ $2,165 \text{ g/cm}^3$. أحسب نصف قطر الأيون Na^+ علماً أن نصف قطر Cl^- يساوي $1,8 \text{ \AA}$.
- 2- ينقل NaCl التيار الكهربائي في حالة الذوبان بينما BeCl_2 لا ينقل. لماذا؟

التمرين 6.VIII :

- 1- أعط لكل جزيء من الجزيئات الآتية المخطط الطاقوي و البنية الإلكترونية و رتبة الرابط : He_2 , N_2 , N_2^+ , O_2 , O_2^+
- 2- قارن استقرار N_2 و N_2^+ ثم O_2 و O_2^+ . ماذا تستنتج؟
- (نذكر أن بالنسبة للجزيئات التي تملك عدد الإلكترونات أقل من 16 يكون لدينا انعكاس المستويات σ $2p$ و π $2p$).

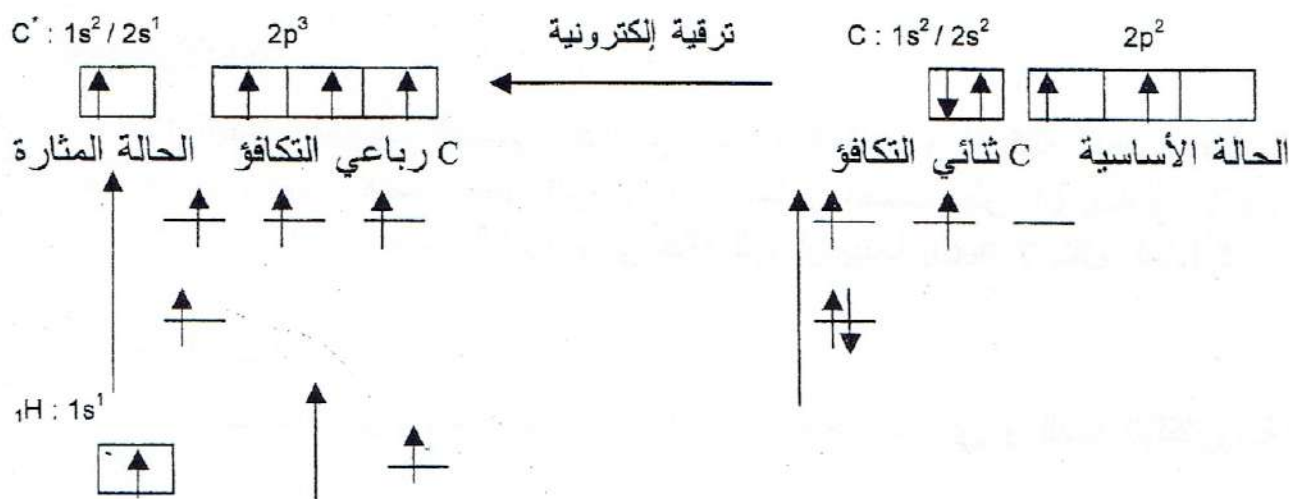
الباب التاسع : تهجين المحطات - هندسة الجزيئات

I. مقدمة :

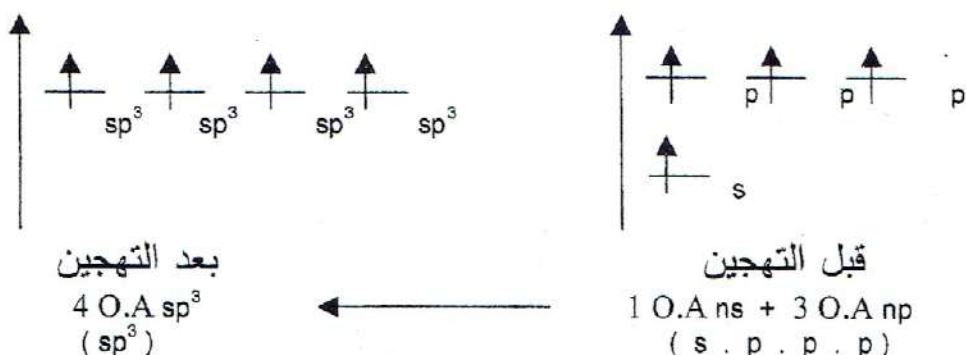
يمثل جزيء متكون من ذرتين أو أكثر هندسة جد معينة، يعني ان الروابط تشكل فيما بينها زوايا محدودة. يتم هذا حسب قواعد مدرسية ومحفظة بواسطة نظرية المحطات الجزيئية التي تبقى غير كاملة بدون اللجوء إلى التهجين.

(1) التهجين الرباعي sp^3 (رباعي الوجه)

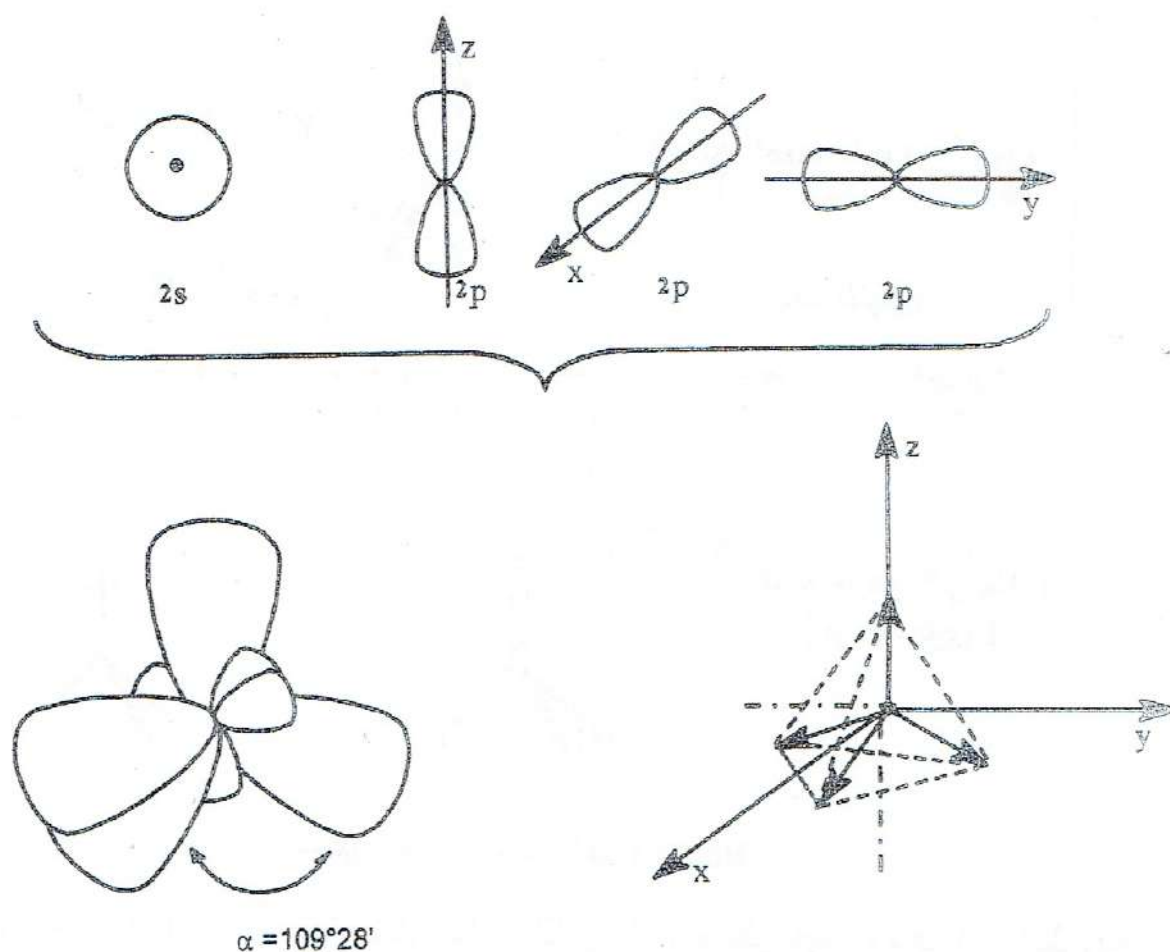
لنعتبر جزيء الميتان CH_4



يتكون جزيء الميتان CH_4 من 4 روابط (H-C) مختلفه (3 روابط $2p - 1s$ و رابطة σ_{1s-1s}) . برهنت التجربة بأن الروابط الأربعه C-H مماثله (متطابقه) . ينبغي تفسير ذلك بأنه عندما يساهم الكربون في تكوين جزيء الميتان فإن المحطات الأربعه s, p_x, p_y, p_z تختلط فيما بينها (تخضع إلى التهجين) لتشكيل 4 محطات مهجنة مماثله .

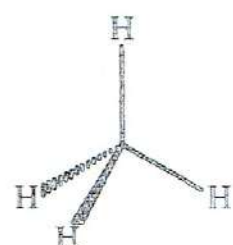


- تكون ذرة الكربون الدالة في تكوين جزيء الميتان مهجنة sp^3
- تكون محاور المحيطات المهيجة الأربع موجهة نحو قم رباعي الوجوه المنتظم $\sigma_{1s} - sp^3$. يتشكل الجزيء من أربعة (4) روابط مماثلة $\alpha = 109^\circ 28'$



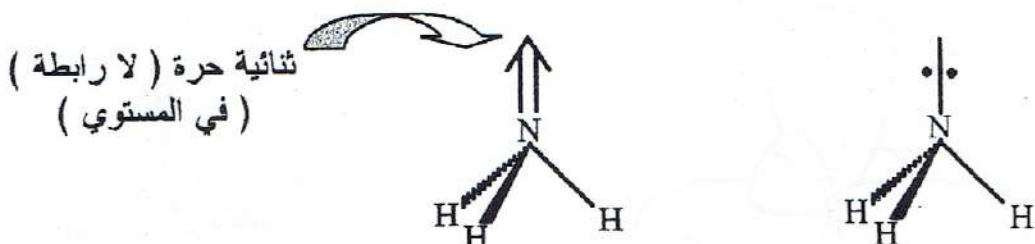
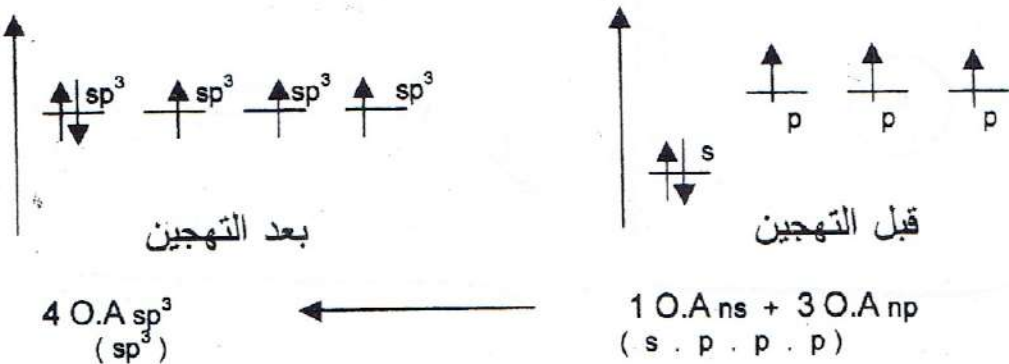
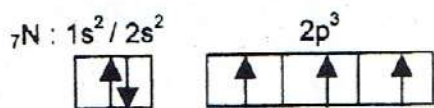
تمثيل تخفيضي للمحاطات الذرية في جزيء الميتان

رابطة في المستوى	—
رابطة وراء المستوى
رابطة أمام المستوى	—



تمثيل خططي لجزيء CH_4 حسب كرام

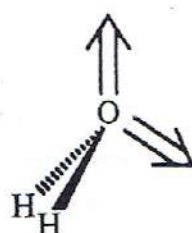
المثال الأول : جزيء النشادر NH_3



تمثيل كرام لجزيء NH_3

تبين التجربة أن $107^\circ \approx \alpha$ و هذا بسبب تأثير الثنائية الحرة على قيمة زوايا الروابط $\text{N}-\text{H}$ الثلاثة مما يؤدي إلى "غلق" طفيف لهاته الزوايا فيكون التاظر ناقصا.

نفس الملاحظة بالنسبة لـ H_2O $104^\circ \approx \alpha$ بدلاً من $109^\circ 28'$

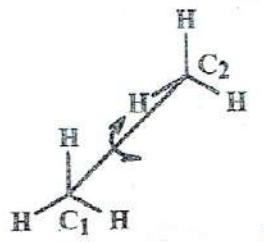


ملاحظة : يؤثر وجود الثنائية الحرة (أو أكثر) على قيمة الزوايا. سنرى بعد ذلك إن وجود ثنائيات حرة، تمهد لتهجين من نمط AX_3E_1 أو AX_2E_2 وأخرى (قواعد جيليسبي - Gillespie).

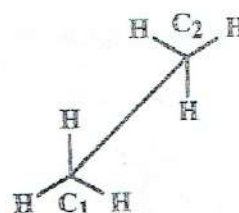
المثال الثاني : جزيء الإيتان (CH₃-CH₃)



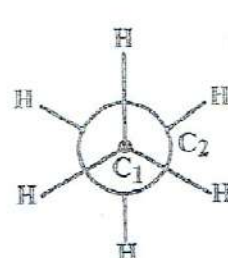
يكون الدوران حرًا بين C₁ و C₂ (الرابطة من نمط σ) و طول الرابطة A = 1,53 Å .
توجد امتثالات لا نهائية منها اثنان هي:



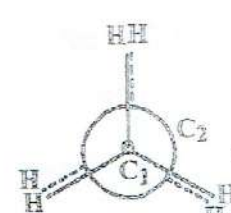
مكسوف



مايل



مايل



مكسوف

تمثيل الحصان (perspective cavalière)

تمثيل نيومن (Newman)

- عندما تكون ذرات الهيدروجين متقابلة تخفى إحداهما الأخرى يدعى الامتثال بالمكسوف (éclipsée).
- عندما تكون ذرات الهيدروجين إحداهما مقابلة للوجه الذي يحتوي على ذرتين يدعى بالامتثال المائل (décalée).
- عند درجة حرارة الغرفة كل الامتثالات ممكنة، لكن إحصائياً التمثيل المائل هو الأكثر استقراراً. (ΔE = 2,7 kcal / mole)

ملاحظة :

- الجزئيات غير الحلقة أي السلسل المفتوحة (الألكانات)، بسبب الدوران الحر الذي يرافق الرابطة σ ، تظهر في شكل سلسلة مرنة مع $\alpha = 109^{\circ}28'$.
- أما بالنسبة للجزئيات الحلقة تكون قيمة زوايا التكافؤ متغيرة.

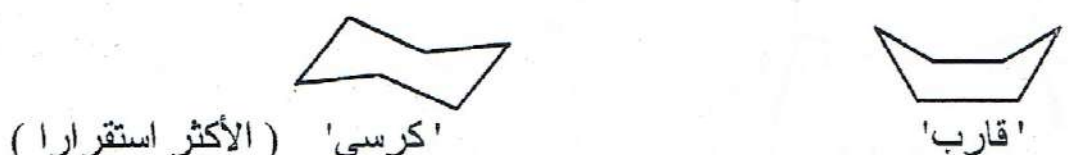
مثال : البروبان الحلقي

تكون ذرات الكربون الثلاثة مهجنة sp³ و $\alpha = 60^{\circ}$ بدلًا من $109^{\circ}28'$

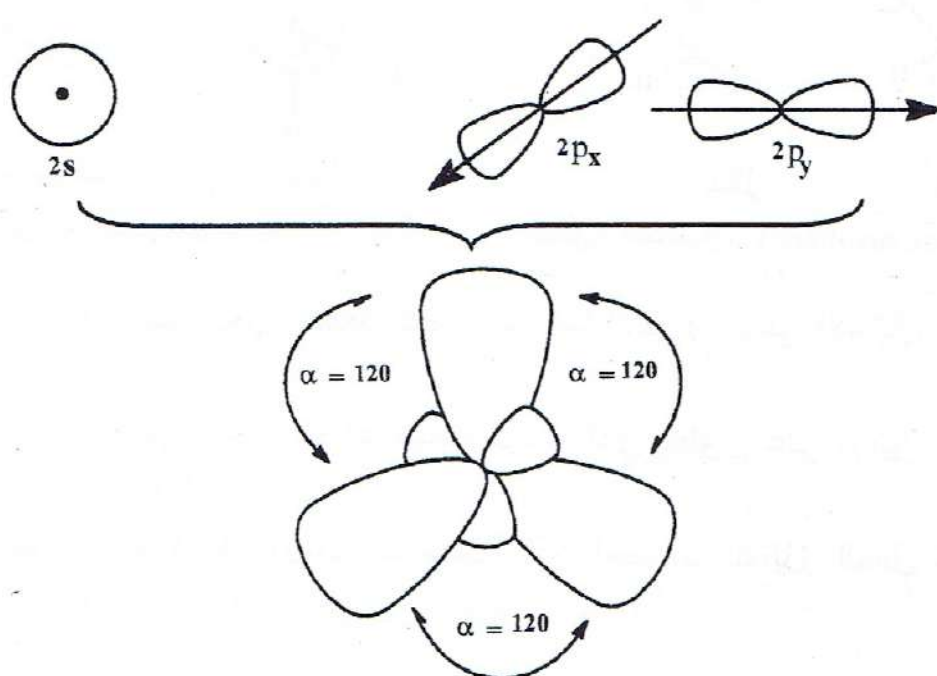
ويكون الإجهاد على الحلقة عاليًا

يكون الإجهاد على البيوتان الحلقي ($\alpha = 90^{\circ}$) أقل مما يكون عليه في البروبان الحلقي و منعدما في حلقي الهكسان (حلقة مستقرة $\alpha = 109^{\circ}28'$) ، الدوران الحر متواجد لكنه يكون مضاداً بالنسبة لما

بالنسبة لما كان عليه في السلسل المفتوحة (يكون لدينا عدد غير متاح من الامثلات حيث تكون اثنان منها حدية).

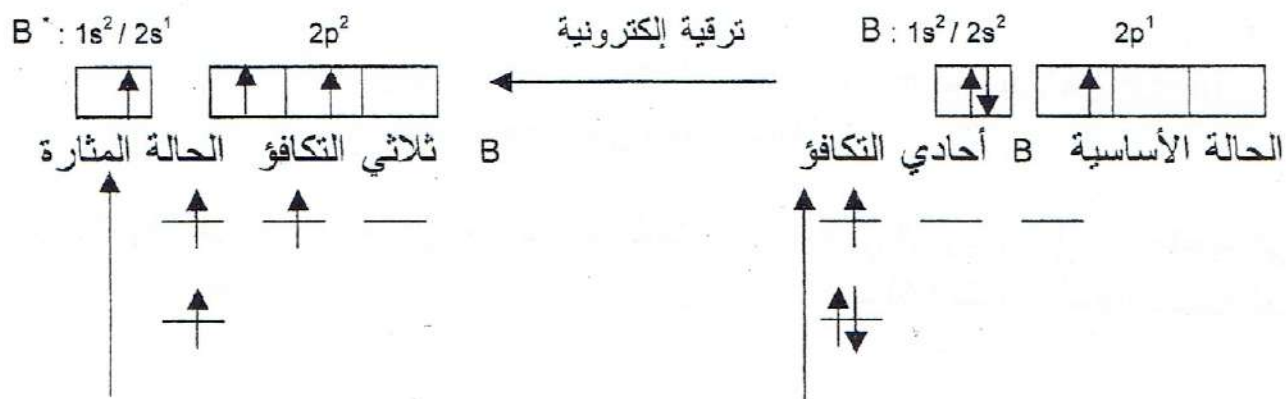


sp² التهجين 2)

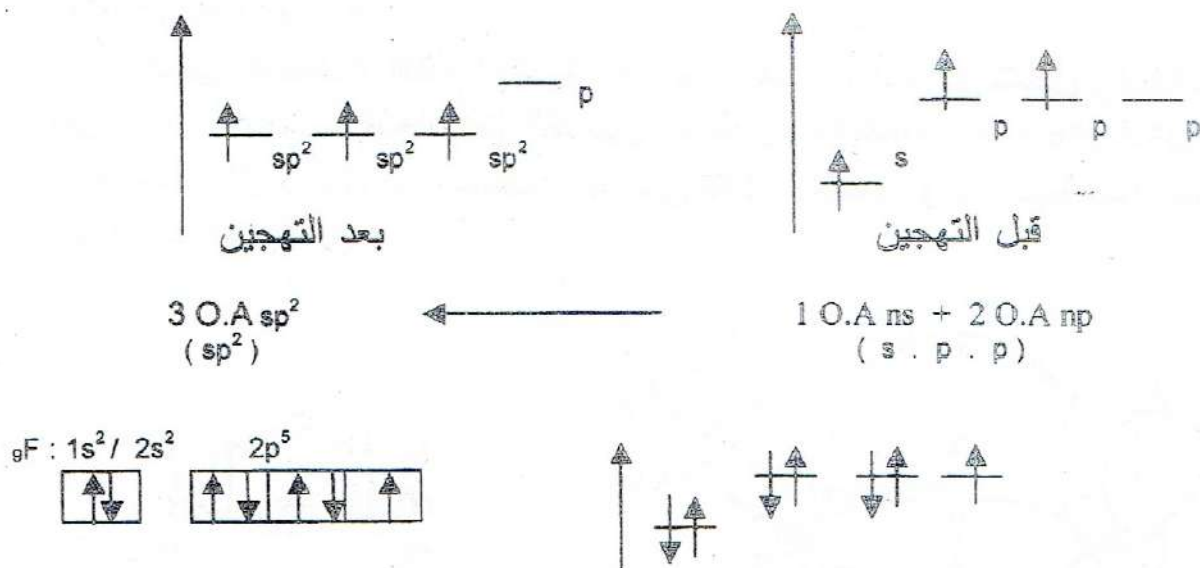


يبقى المحطة z_{2p} على حاله، عمودي على المستوى المتشكل من المحطات المهجنة الثلاثة.

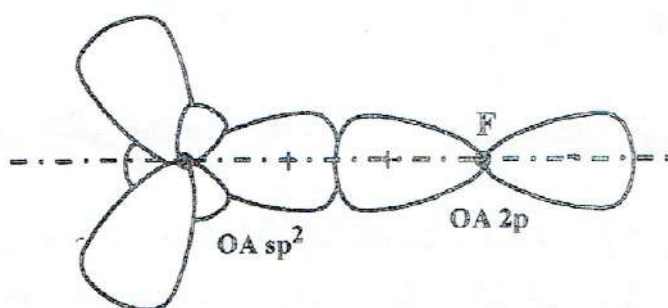
المثال الأول : جزيء BF_3



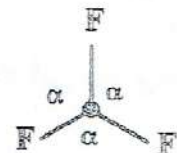
في جزيء BF_3 لدينا 3 روابط (σ -B-F) مختلفة (2 روابط $2p-2p$ و رابطة σ_{1s-2p}). برهنت التجربة أن الروابط الثلاثة B-F مماثلة (متلائمة) إذن المحطات الثلاثة p_x, p_y, s تختلط فيما بينها (تفضي إلى التهجين) لتشكيل ثلاثة (3) محطات مهجنة متلائمة (مماثلة).



المحطات الثلاثة المهجنة sp^2 متكافئة، $\alpha = 120^\circ$ ، تكون الروابط في نفس المستوى.

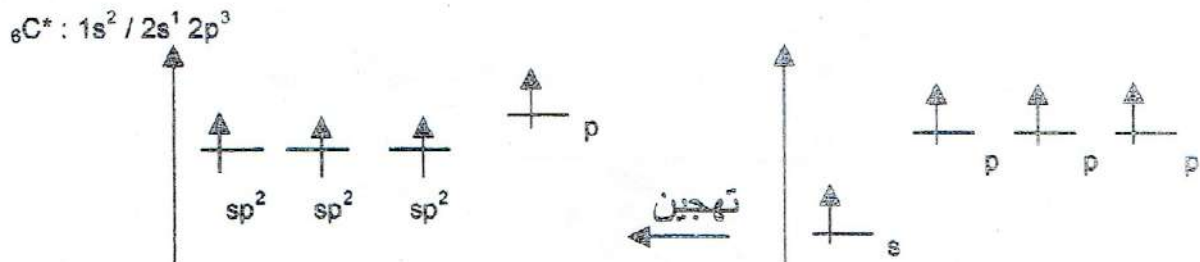


تمثيل خطى لرابطة B-F

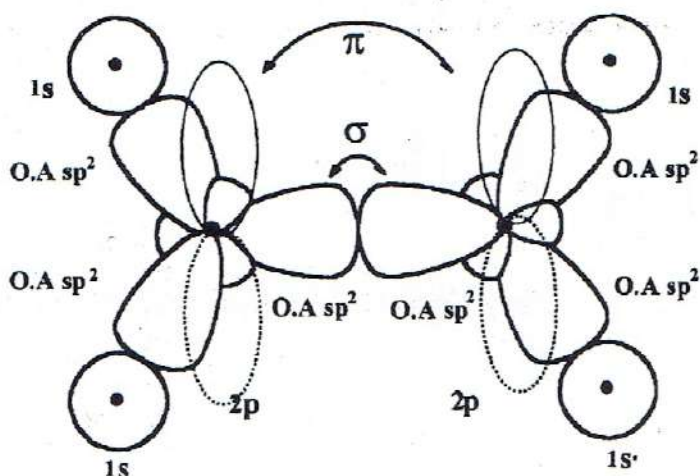


جزيء BF_3 حسب كرام

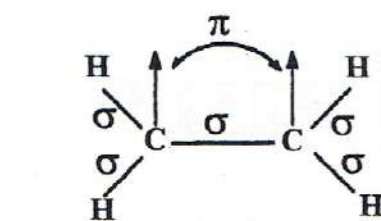
المثال الثاني : $\text{CH}_2=\text{CH}_2$



- تتنمي المحطات الثلاثة المهجنة sp^2 إلى نفس المستوى $\alpha = 120^\circ$ ، و يبقى الم hypoth النقي (الخالص) عمودي على مستوى المحطات الثلاثة.
- تكون لدينا تغطية محورية لمحطتين مهجنات sp^2 لذرتي الكربون الأكثر اقترابا من بعض مكونة رابطة $\sigma_{sp^2-sp^2}$.
- تعطي المحطات الندية $2p$ لذرتي الكربون تغطية جانبية مع تشكيل رابطة من نمط π بين ذرات الكربون (يتحدد ذرتى الكربون مشكلة رابطة ثنائية : $d_{C-C} = 1,33 \text{ \AA}$ و $1\pi + 1\pi$).
- تملك كل ذرة كربون م hypoth sp^2 التي تشكل كلاهما روابط بسيطة من النوع σ_{sp^2} مع ذرات الهيدروجين.



تمثيل تغطية المحطات الذرية في جزيء الإيثان C_2H_6

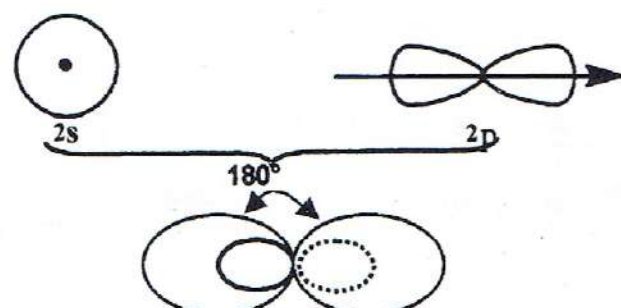


تمثيل خطى لجزيء الإيثان C_2H_6

ملحوظة : لا يمكن أن توجد رابطة π إلا إذا تكونت رابطة σ أولاً و تبعاً لذلك أي بوجود الرابطة π فإن الدوران الحر يصبح ممكناً والذي يثبت الذرات الستة ($2C$ و $4H$) في نفس المستوى.

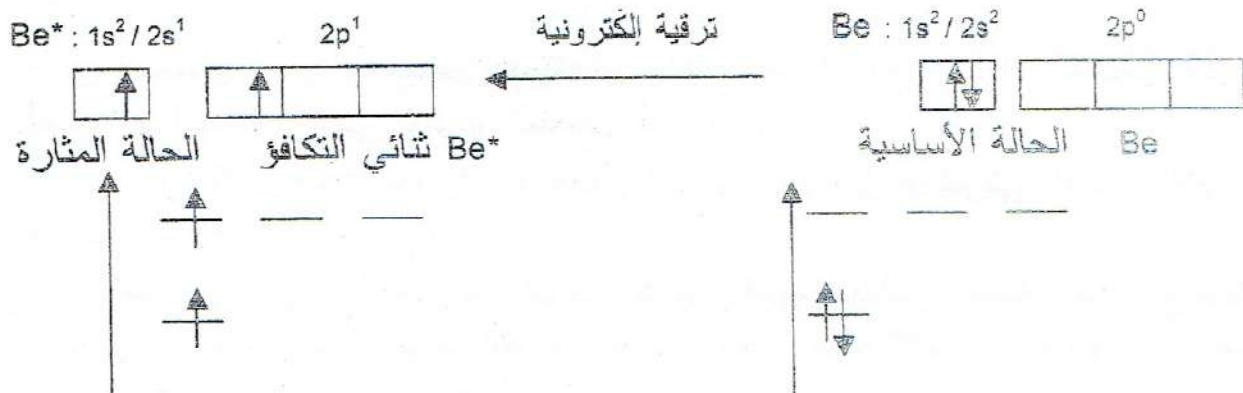
(3) التهجين sp

نتبع نفس المنهجية ، يختلط م hypoth s و م hypoth p لتشكيل م hypothين مهجنين sp

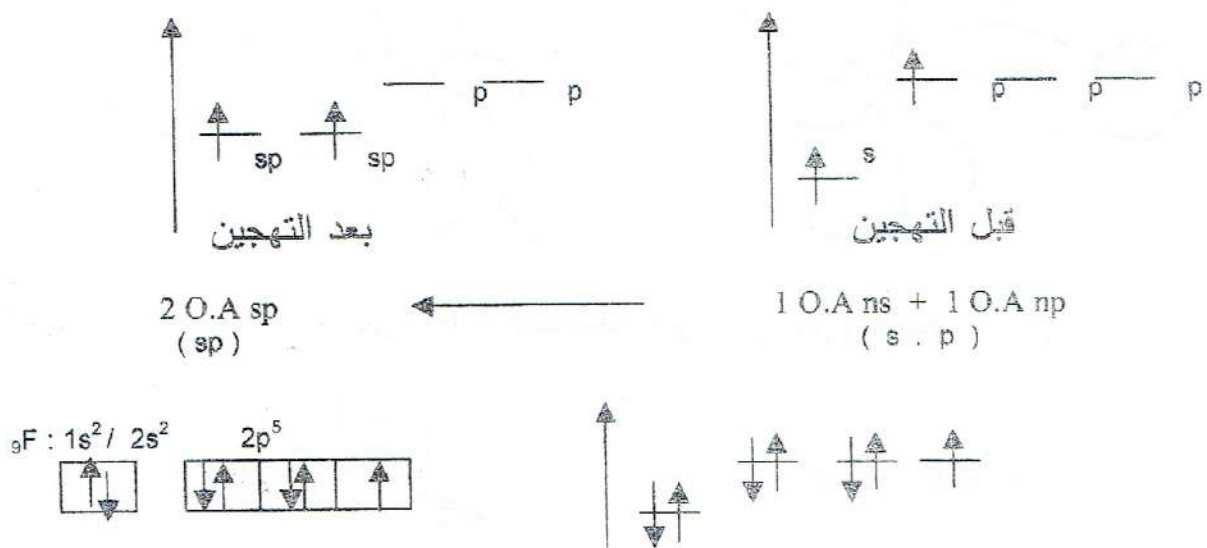


تمثيل تغطية المحطات الذرية المهجنة sp

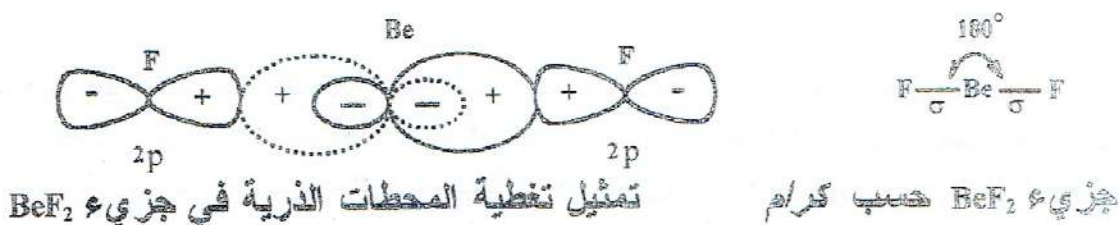
المثال الأول : جزيء BeF_2



في جزيء BeF_2 تكون الرابطتين (Be-F) مختلفتين (رابطة σ و رابطة σ_{1s-2p}) حيث برهنت التجربة أن الرابطتين Be-F متطابقتين (متماثلتين) لأن المخطات p_x و s تختلط فيما بينها (تخصب إلى التهجين) و تشكل مخطتين مهجنين متماثلين من نمط sp. و تبقى المخطات الندية (الخالصة) عمودية على محور التناظر و متعدمة فيما بينها.

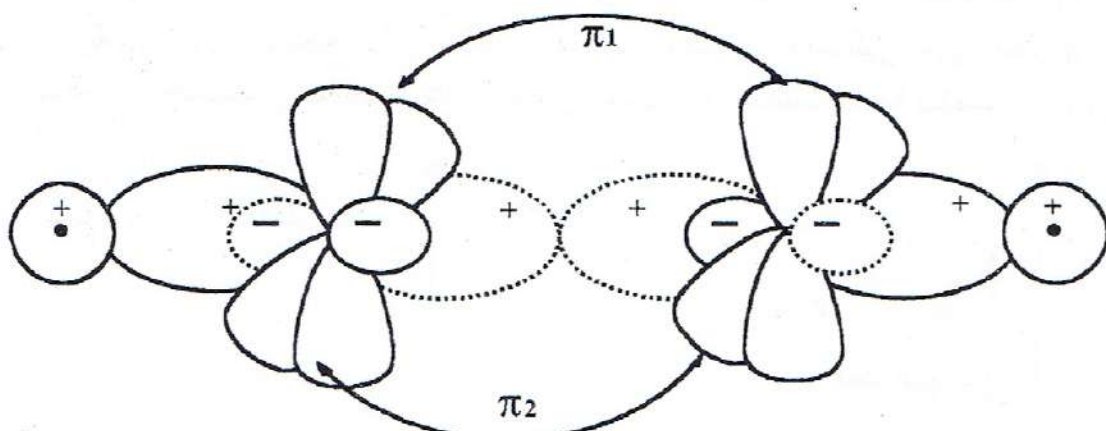


المخطان المهجنان sp لها نفس محور التناظر ($\alpha = 180^\circ$ ، حيث المحورين متلقيمين \leftarrow \rightarrow).
الجزيء خططي).

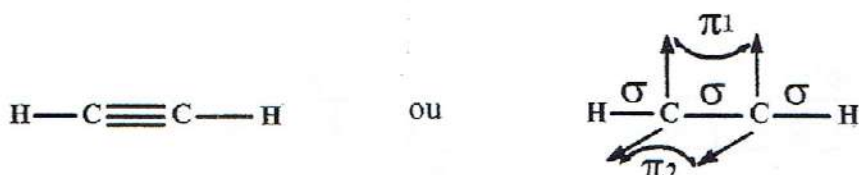


المثال الثاني : جزيء الأسيتيлен C_2H_2

- إن المحيطين الذريين المهجنين sp يتخذان شكلًا خطياً ($\alpha = 180^\circ$) أما المحيطان الذريين النقيين فإنها يتعاددان على مستوى المحيطين الذريين sp .
- ينتج عن ذلك تغطية محورية للمحيطين الذريين المهجنين sp لذرتي الكربون الأقرب من بعضهما مشكلة رابطة σ $sp-sp$.
- أما المحيطان الذريان النقيان $2p$ لذرتي الكربون فإنهما يعطيان تغطية جانبية مع تشكيل رابطتين من نمط π (أي أن ذرتي الكربون تتحادان معاً برابطة ثلاثة: $\sigma + \pi + \pi$: $d_{C=C} = 1,2 \text{ \AA}$)
- المحيطان الذريان النقيان متعاددان فيما بينهما و على محور المحيطين الذريين sp .
- تحتفظ أيضا كل ذرة من ذرتي الكربون محيطاً ذرياً sp الذي سوف يشكل مع ذرة الهيدروجين رابطة من نوع σ $sp-1s$.



تمثيل تغطية المحيطات الذرية في جزيء C_2H_2



تمثيل خطى لجزيء C_2H_2

ملحوظة : يمنع الدوران الحر بسبب وجود الرابطة π ، تفرض الرابطة π الثانية الهندسة الخطية للجزيء (تصطف الذرات الأربع $2C$ و $2H$ على نفس الخط).

ملاحظة :

- يتم التهجين بين الطبقات التحتية (ns, np) لنفس الطبقة الرئيسية ولنفس الذرة.
- تحصر هذه الدراسة فقط على المحيطات s و p علماً أنه يمكن تعليم هذا النموذج على الرابطة الكيميائية و توسيعه إلى المحيطات d (تهجين $d, sp^3d, sp^3d^2, sp^3d^3$ و d^2sp^2) الذي ستنتطرق له خلال دراسة المركبات المعقدة.

• تسمح نظرية المحمطات الجزيئية المكملة بالتهجين بتعيين هندسة الجزيئات.

تصبح هذه الطريقة طويلة عندما يتعلق الأمر بجزيئات أكثر تعقيداً (عدة فرضيات لأنه تهجين وتشيد المحمطات الجزيئية)، نظرية جيليسبي Gillespie أو طريقة V.S.E.P.R أو طريقة Valence Shell Electron Pair Repulsion (VSEPR)، يعني التناحر بين الثنائيات الإلكترونية التكافوئية التي تسمح بتمثيل هندسة جزيء معقد بسرعة.

III. نظرية جيليسبي : Gillespie

باستعمال قواعد جيليسبي Gillespie نستطيع تعيين هندسة جزيء متشكل من أكثر من ذرتين.

القاعدة : "وضعيّة الذرات في جزيء من نمط AX_nE_p يحد بمجموع $\sigma + NL$ (NL ثنائية لا رابطة (أو حرة)). تكون السخالية الإلكترونية لثنائية لا رابطة دائمة ذات تناظر محوري

بنية الجزيئات والأيونات حسب الطريقة V.S.E.P.R						
		AX_nE_p		الهندسة		المماثلة
n+p	n	p	النط	التهجين		
2	2	0	AX_2	sp	$\alpha = 180^\circ$ X—A—X	CO_2 ; HCN ; $HgCl_2$ BeF_2 ; NO_2^- ; $Hg(NH_3)_2^+$
	3	0	AX_3	sp^2	$\alpha = 120^\circ$ مثـلـث X A X X	BCl_3 ; BF_3 ; $AlCl_3$ NO_3^- ; CO_3^{2-} ; SO_3 $COCl_2$
3	2	1	AX_2E_1	sp^2	$\alpha \approx 120^\circ$ رباعـيـ الـوـجـوـهـ X A X X	SO_2 ; $SnCl_2$; O_3 $NOCl$; NOF NO_2^-
	4	0	AX_4	sp^3	$\alpha = 109^\circ 28'$ X A X X	CH_4 ; $CHCl_3$; ClO_4^- ; SO_4^{2-} NH_4^+ ; $POCl_3$
4	3	1	AX_3E_1	sp^3	هرم قاعدة مثـلـث X A X X	NH_3 ; PF_3 ; $SOCl_2$; NF_3 SO_3^{2-} ; H_3O^+ ClO_3^-

بنية الجزيئات والأيونات حسب الطريقة V.S.E.P.R (تابع AX _n E _p)						
2	2	AX ₂ E ₂	sp ³	$\alpha \sim 109^\circ$ 		H ₂ O ; (CH ₃) ₂ O NH ₂ ⁻ ; ClO ₂ ⁻ ; SCl ₂
5	5	AX ₅	sp ³ d	ثاني الهرم قاعدته مثلث 		PF ₅ ; PF ₃ Cl ₂ ; SOF ₄
	4	1	AX ₄ E ₁	رباعي الوجوه غير منتظم 		SF ₄ ; SeF ₄ ; TeCl ₄ IO ₂ F ₂ ⁻ ; IF ₄ ⁺
	3	2	AX ₃ E ₂	على شكل T 		BeF ₃ ; ClF ₃
	2	3	AX ₂ E ₃	خطي 		BrICl ⁻ ; ICl ₂ ⁻ ; XeF ₂
	6	0	AX ₆	ثمانى الوجه 		SF ₆ ; SeF ₆ ; PF ₆ ⁻
6	5	1	AX ₅ E ₁	هرم قاعدته مربع 		BrF ₅ ; SbF ₅ ⁻² ; IF ₅ XeOF ₄
	4	2	AX ₄ E ₂	مستوى رباعي 		ICl ₄ ⁻ ; XeF ₄ ; BrF ₄ ⁻

لشرح الاختلافات في قيم الزوايا لنفس النوع من التهيجين لا بد من اللجوء إلى قواعد إضافية مرتبطة بظواهر من الدرجة الثانية .

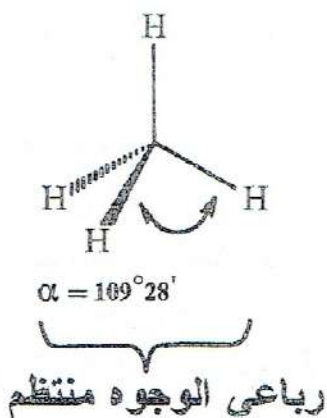
1. التناقض بين ثنائيات لا رابطة (NL) و ثنائيات رابطة (L) تتغير حسب الترتيب التالي:

$$(NL - NL) > (NL - L) > (L - L)$$

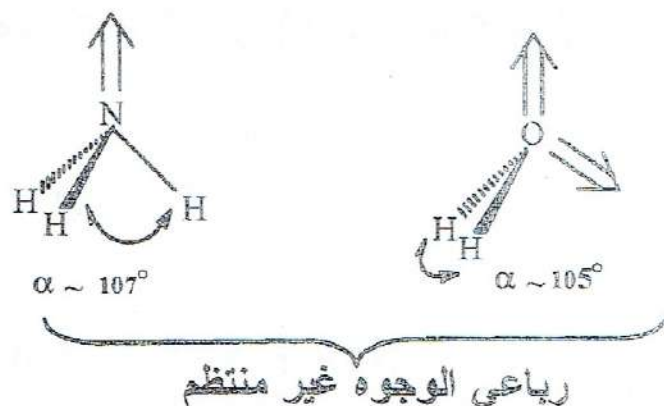
2. يتزايـد التناـقـض بـيـن ثـنـائـيـات لـا رـابـطـة عـنـ "ازـاحتـها" نـوـ الذـرـةـ المـرـكـزـيةـ (الأـكـثـرـ كـهـرـوـسـلـيـةـ)

المثال الأول : تقدم الجزيئات CH_4 , NH_3 و H_2O تهجنـين من نـمـطـ sp^3 من أجل C, N و O

$$(\sigma + NL = 4)$$



$\sigma + NL = 4 + 0 = 4$
روابط 4
تنافر 6



$\sigma + NL = 3 + 1 = 4$
روابط 3
ثناء لا رابطة NL
تنافر 3
(NL - L)
تنافر 3

$\sigma + NL = 2 + 2 = 4$
روابط 2
ثنائيـن لا رابـطـةـ NL
تناـفـرـ 1
(NL - NL)
تناـفـرـ 4
(NL - L)
تناـفـرـ 1
(L - L)

المثال الثاني : الجزيئات F_2O و H_2O



تناـزـعـ السـحـابـةـ الـإـلـكـتـرـوـنـيـةـ لـثـنـائـيـةـ الـرـابـطـةـ نـوـ ذـرـةـ F ($\chi_F > \chi_O > \chi_H$) وـ نـوـ O ($\chi_O > \chi_F > \chi_H$). تكون الكثافة الـإـلـكـتـرـوـنـيـةـ، في جـزـيـءـ المـاءـ H_2O ، عـالـيـةـ بـجـوارـ الذـرـةـ المـرـكـزـيةـ (الأـوكـسـيجـنـ)، وـ التـناـقـضـ يـكـونـ أـعـظـمـاـ وـ الزـاوـيـةـ التـكـافـؤـيـةـ تـصـبـحـ كـبـيرـةـ.

III. دراسة بعض معقدات المعادن الانتقالية

تشكل المركبات المعقدة بصفة عامة من كاتيون (معدن انتقالى) $\text{Fe}^{2+}, \text{Fe}^{3+}, \text{Co}^{3+}$, ... $\text{Ni}^{2+}, \text{Zn}^{2+}$ و يسمى بالأيون المركزي (أو الذرة المركزية) الذي يتحدد بروابط تساندية مع جزيئات أو أيونات أخرى (المترابطات). يمكن للمترابط (المتناسق) أن يكون أيوناً بسيطاً ($\text{Cl}^-, \text{I}^-, \text{Br}^-$) أو أيوناً متركتباً (... $\text{NO}_3^-, \text{CN}^-$, ... $\text{H}_2\text{O}, \text{NH}_3, \text{CO}, \text{NO}_2$). أوجزياً متعادلاً (...).

يعرف العدد الإجمالي للمترابطات عدد التكافؤ للمعدن (الأيون المركزي).



الصيغة العامة : M : الأيون المركزي (مشحونة إيجاباً)

L : المترابط ، المتناسق

n : عدد المترابطات

x هي الشحنة الكلية للمركب المعقد ($0 < x < 0$ أو $x = 0$)

شحنة الأيون المركزي = الشحنة الكلية - مجموع شحنات المرتبطات

المثال 1 : $\text{K}_4\text{Fe}(\text{CN})_6$ (diamagnétique)

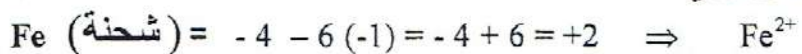


• تعين شحنة المترابط

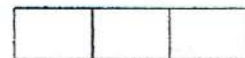
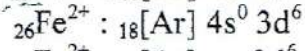
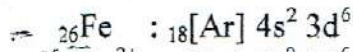


شحنة المترابط = -1

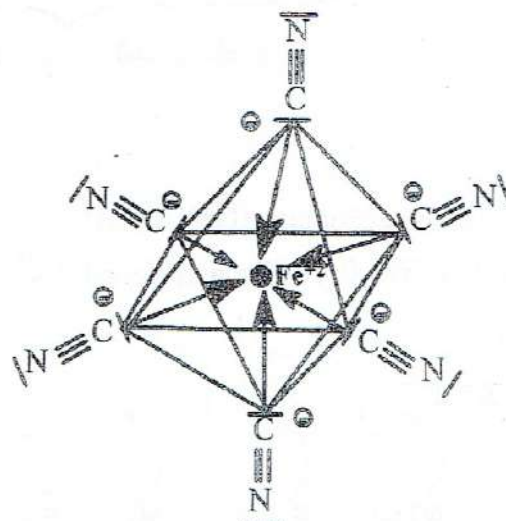
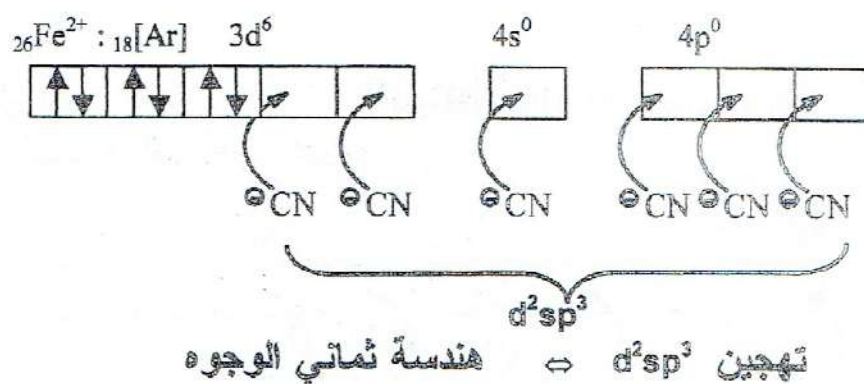
• تعين شحنة الأيون المركزي :



• التركيب والتشكيل الإلكتروني لـ Fe^{2+}



• لا يمتلك المعقد خواص مغناطيسية دائمة (diamagnétique) أي لا يكتسب إلكترونات عازبة ، إذن هناك إعادة توزيع الإلكترونات الموجودة في المحط $3d$ المترابطات الستة CN^- (نذكر أن الشحنة السالبة يحملها الكربون) يشغلان محطتين $3d$ ، محط $4s$ و الثلاثة محطات $4p$ حسب المخطط التالي :



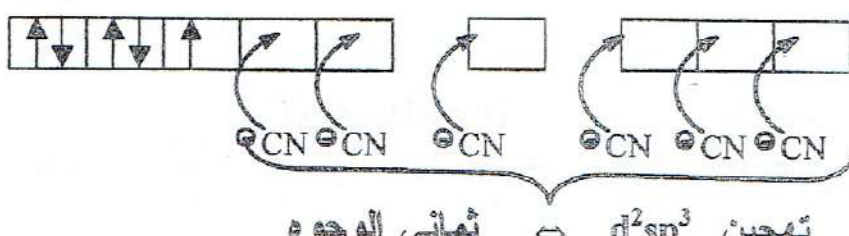
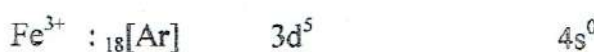
التمثيل الخطى للمركب المعقد $[\text{Fe}(\text{CN})_6]^{4-}$

المثال 2: معدن له خواص مغناطيسية دائمة (paramagnétique) و يمتلك إلكتروناً عازباً واحداً.



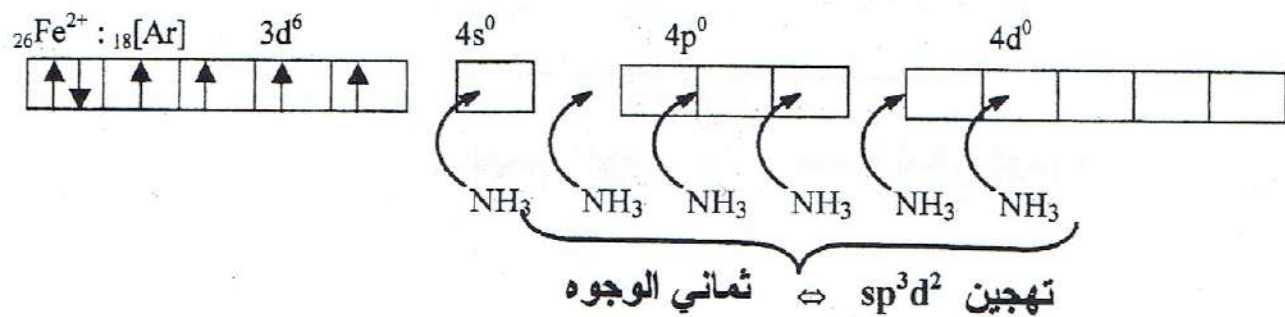
الشكل الإلكتروني لـ Fe^{+3} الذي يملك خواص مغناطيسية دائمة (الكترونا عازبا واحداً).

$$\text{Fe}^{3+} : {}_{18}[\text{Ar}] \quad 3\text{d}^5 \quad 4\text{s}^0$$



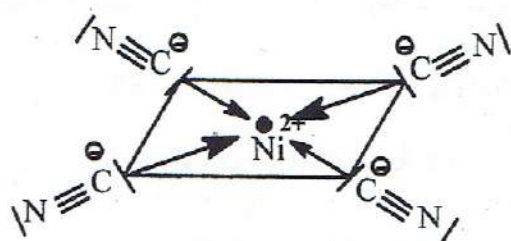
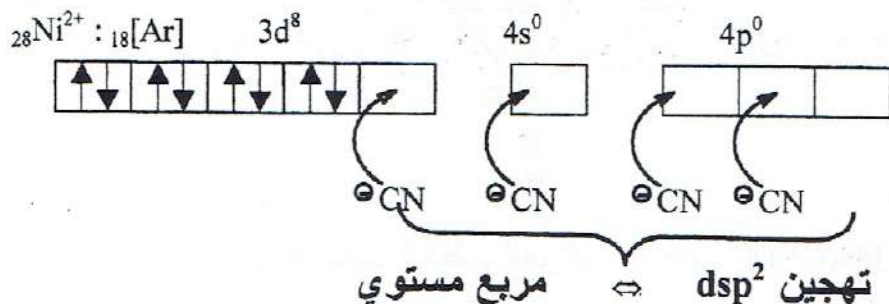
المثال 3 : $[\text{Fe}(\text{NH}_3)_6]^{2+}$

معقد يملك 4 إلكترونات عازبة



(diamagnétique) $[\text{Ni}(\text{CN})_4]^{2-}$

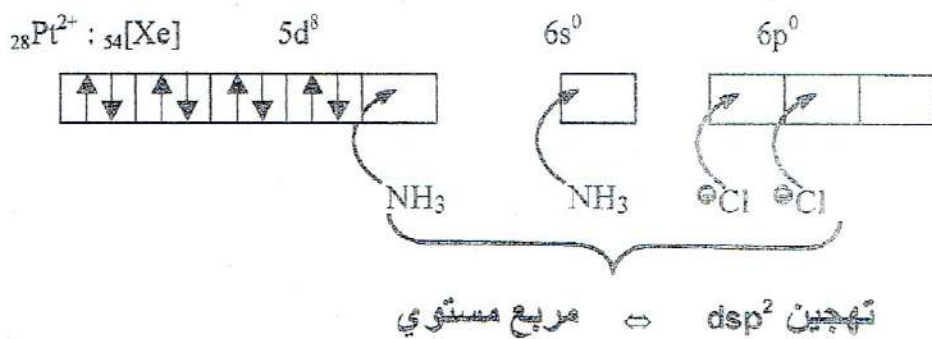
معقد ليس له خواص مغناطيسية دائمة (0 إلكترون عازبا) .



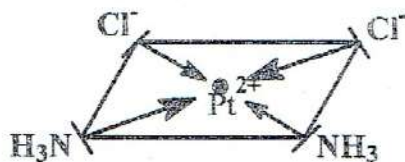
التمثيل الخطى للمعقد $[\text{Ni}(\text{CN})_4]^{2-}$

المثال 5 : $[\text{Pt}(\text{NH}_3)_2\text{Cl}_2]^0$

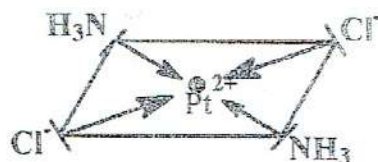
معقد مختلط ليس له خواص مغناطيسية دائمة. يتشكل المركب المختلط من متراكات مختلفة.



بالنسبة لـ Cl^- سنمثل ثنائية واحدة (الثنائية الرابطة).



'cis'



'trans'

التمثيل الخطي للمماكبين مفروق و مقرن للمعقد المختلط ${}^{\text{o}}$ $[\text{Pt}(\text{NH}_3)_2\text{Cl}_2]$

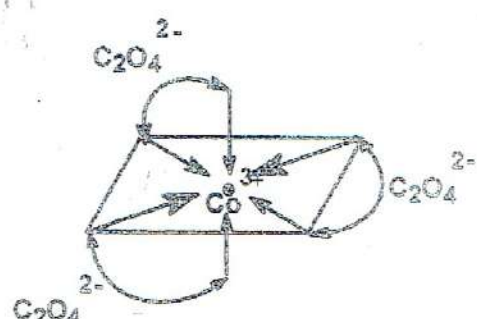
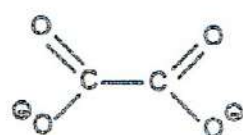
ملحوظة :

تكون في المركب "مقرن" الذرات المتطابقة (ذرتى الكلور أو النشادر) على نفس الجانب عكس المركب "المفروق" أين تكون الذرات المشابهة في جهتين مختلفتين (إزاء بعضها البعض) .

ملاحظة :

يمكن لمترابط أن يشبع أكثر من رابطة تكافؤية.

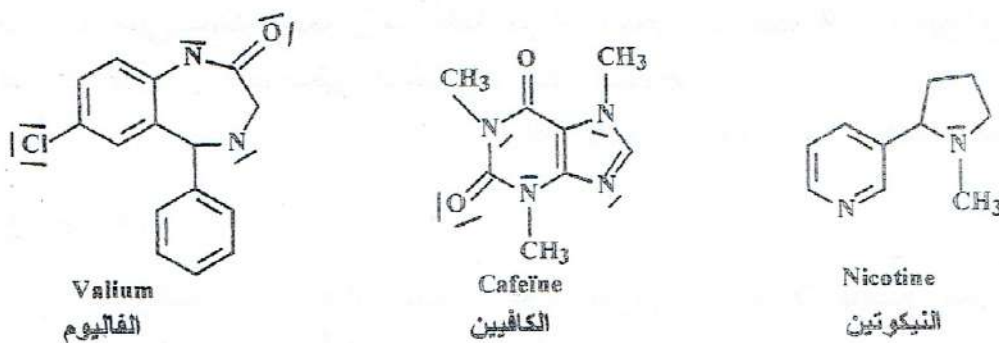
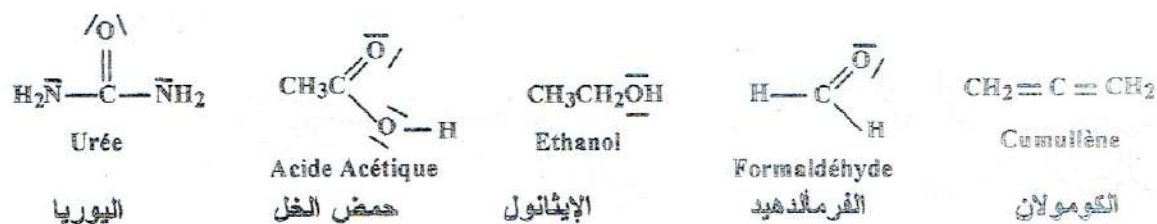
مثال : $\text{C}_2\text{O}_4^{2-}$ أين $[\text{Co}(\text{C}_2\text{O}_4)_6]^{3-}$ يشبع رابطتان تكافؤيتان.



التمارين

التمرين . 1.IX

أعط نوع تهجين الذرات المختلفة عن الهيدروجين في الجزيئات الآتية ثم هندسة البيريا urée، الفرمالديهيد formaldéhyde و الكومولان cumulène (مبينا قيمة زوايا الكافو و الوضعيّة النسبية لمختلف الذرات) .

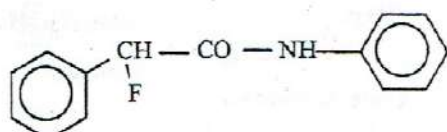
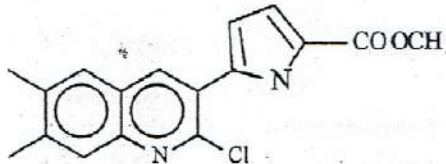
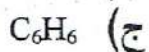
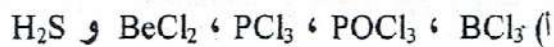


التمرين . 2.IX

أعط كل أنواع الرابطة و الممكنة و أعط مثلاً لكل منها .

التمرين .3.IX

أعط حسب قواعد جيليسبي Gillespie نوع التهجين وهندسة الجزيئات الآتية مع احترام قيم زوايا التكافؤ يكون التمثيل خطى بحيث نرمز إلى : ثنائية لا رابطة (NL) ↑↑ ، ثنائية رابطة — (L) و الرابطة π ↑↑



التمرين .4.IX

ترتبط هندسة الجزيئات بعدد الثنائيات الحرة (لا رابطة) و كهرسلبية مختلف الذرات التي تشكل الجزيء. أعط نوع التهجين ، هندسة و تغيير زوايا التكافؤ حسب α المتزايد لكل من السلاسلين التاليتين و ماذا تستنتج ؟



التمرين .5.IX

المركب [Ru(NH₃)₆]²⁺ عبارة عن جزيء معقد لا يتمتع بخواص مغناطيسية دائمة (مركب لا مغناطيسي) (diamagnétique)

(أ) أعط التشكيل الإلكتروني لعنصر الروتنينيوم Ruthénium الداخل في تشكيل المعقد

(ب) يؤدي وجود NH₃ إلى إعادة توزيع الإلكترونات تكافؤ الأيون المركزي ، مثله

بواسطة الحجارات الكمية ثم أعط نوع التهجين و هندسة المعقد (التمثيل الخطى).

المعطيات : ¹H ، ⁷N ، ⁴⁴Ru

التمرين .6.IX

لنعتر المركب المعقد لا مغناطيسى المختلط : [CoBr₂(NH₃)₄]⁺

(أ) أعط شحنة الأيون المركزي

(ب) أعط التشكيل الإلكتروني للأيون المركزي الداخل في تشكيل المعقد مع تمثيل طبقات التكافؤ التحتية بواسطة الحجارات الكمية.

(ج) أعط نوع التهجين و هندسة المعقد (المماكبات الممكنة).

المعطيات : ⁷N ، ³⁵Br ، ²⁷Co

حلول التمارين

الباب الأول :

$m(Zn) = 392,97 \text{ g}$ $m(H_2O) = 0,18 \text{ g}$ ١. ٢. I

$m(CO_2) = 26,4 \text{ g}$; $n(C) = 3,61 \cdot 10^{23}$ ذرة (atoms) ; $n(O) = 7,22 \cdot 10^{23}$ ذرة (molecules) ٢. I

$n(CO_2) = 3,61 \cdot 10^{23}$ جزيء (molecules)

من الغليكوز ; من اليوسفياريا ٣. I

$m = 12 \text{ g}$; $n = 0,12 \text{ moles}$ ٤. I

$m = 1,86 \cdot 10^4 \text{ g}$ ٤. II

(ملاحظة: إن الكتلة المولية للهيم تساوي حوالي kg 18. لا تندهن من أهمية هذه الكتلة لأنها توجد في الكيمياء الحيوية جزيئات كبيرة جداً).
٤. بـ - العوصلة النهائية : ١ مول من H_2O و $\frac{1}{2}$ مول من O_2 .

SnO_2 ٦. I
 $N = 6,02 \cdot 10^{23}$. ٧. I

الباب الثاني :

$m = 27 \times 1,66 \cdot 10^{-27} \text{ kg} = 4,482 \cdot 10^{-26} \text{ kg} = 44,482 \cdot 10^{-29} \text{ T}$ ١. ١. ١. III

$V = 4/3 \cdot \pi R^3 = 4/3 \cdot \pi R_0^3 A = 2,484 \cdot 10^{-43} \text{ m}^3$ ١. ١. ١. II

$\rho = 1,8 \cdot 10^{17} \text{ kg / m}^3 = 1,8 \cdot 10^8 \text{ kg / cm}^3$ ١. ١. ١. II

) تكون المادة في معظمها من فراغ () $V = 1,5 \cdot 10^{-14} \text{ cm}^3$ ٢. ١. II

Z بروتونا و Z إلكترونا و (A-Z) نيوترونا ١. ٢. II

Al: 13p, 13 e⁻ ; Al³⁺: 13p, 10 e⁻ ٢. ٢. II

F: 9 p, 9 e⁻ ; F⁻: 9 p, 10 e⁻

a = E/A E = Δm.c² و $\Delta m = [Z.m_p + (A-Z)m_N] - M(A,Z)$ $\Rightarrow Z = 5$. ٣. II

P - 6πηrv = 0 ; (P = mg, m = ρ . V et V = 4/3 . π r³) r = 1,45 · 10⁻⁶ m ; m = 1,6 · 10⁻¹⁴ kg ٤. III

P + F_e - 6πηrv = 0 ; q = 9,722 · 10⁻¹⁹ C ; n = q/e = 5. ٤. IV

$m/q = BD/2v$ $\Rightarrow D_2 - D_1 = d = (m_2 - m_1) \times 2v/qB = 4,13 \text{ cm}$. ٤. V



$^{14}N^{+2}$ $^{14}N^+$ $^{15}N^{+2}$ $^{15}N^+$ $(^{14}N-^{14}N)^{+2}$ $(^{14}N-^{15}N)^{+2}$ $(^{15}N-^{15}N)^{+2}$

الأزوونات : ٦. II

(^{15}O , ^{14}N , ^{12}B) ; (^{16}O , ^{15}N , ^{17}F) ; (^{17}O , ^{18}F). ٦. II

(^{14}N , ^{15}N) ; (^{15}O , ^{16}O , ^{17}O) ; (^{17}F , ^{18}F). ٦. II

(^{15}N , ^{15}O) ; (^{17}O , ^{17}F). ٦. II

M = m(Cl-35). 75,5% + m(Cl-37). 24,6% = 35,459g. ١. ٧. III

C-13 = 1,11% ; m(C-13) = 12,99 ~ 13 ١. ٧. III

$\Delta m = m_{\text{th}} - m_{\text{exp}} = [Z.m_p + (A-Z).m_N] - m_{\text{exp}} = 0,03037 \text{ uma}$. ١. ٨. II

E = $\Delta m \cdot (u.m.a) \times 931 \text{ MeV} / u.m.a = 28,277 \text{ MeV} = 4,524 \cdot 10^{-12} \text{ J}$. (1 eV = $1,6 \cdot 10^{-19} \text{ J}$)

E = ($\Delta m \times 931$). N = $170,227 \cdot 10^{23} \text{ MeV} = 2,72 \cdot 10^{12} \text{ J} = 2,72 \cdot 10^9 \text{ kJ}$.

E = $\Delta m \cdot 10^{-3} \text{ kg} \cdot c^2 (\text{m}^2/\text{s}^2) = 0,03037 \cdot 10^{-3} \cdot (3 \cdot 10^8)^2 = 2,73 \cdot 10^{12} \text{ J}$. أو



1. 8. II

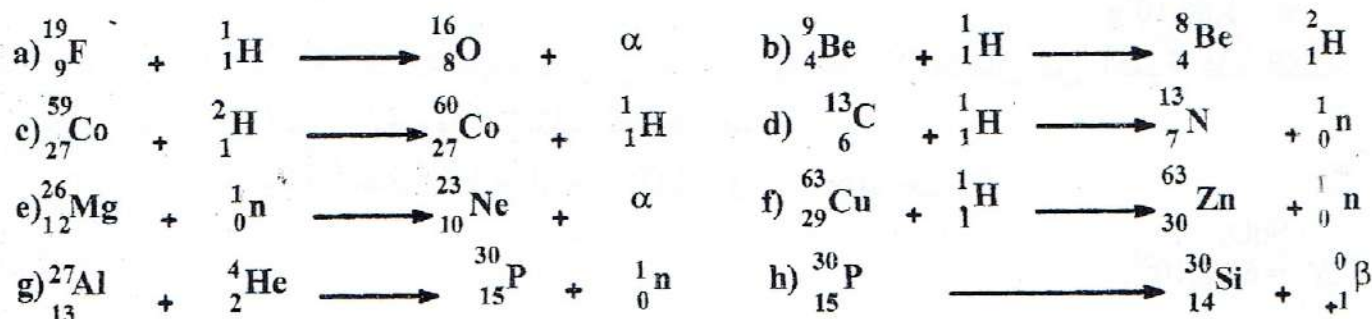
$$1 \text{ cal} = 4,18 \text{ J} \quad E = 94,1 \cdot 10^3 : 4,18 = 393,34 \text{ kJ.}$$

$$m = 12g \times 2,72 \cdot 10^9 \text{ kJ} / 393,34 \text{ kJ} = 82,98 \cdot 10^6 \text{ g} \approx 83 \text{ T!} (\text{طنا!})$$

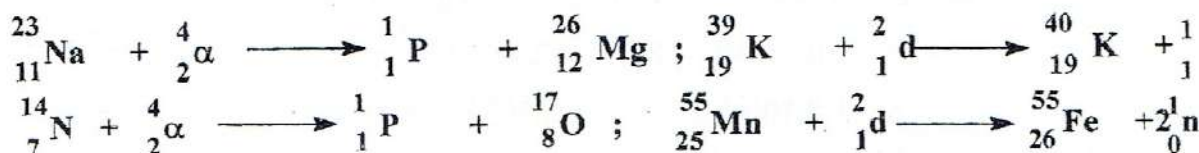
(تساوي الطاقة المحررة من طرف 4g من الهليوم *Hélium* تلك التي تنشر بحرق 83 طنا من الفحم (طاقة لا تجدد) و هذا يبرهن عن أهمية الإشعاعية و التفاعلات النووية).

الباب الثالث :

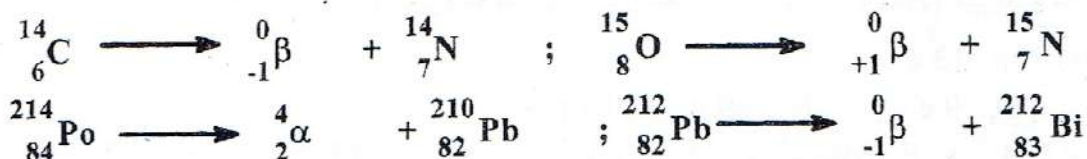
1.1. III



2.1. III



3.1. III



$$N = 2,53 \cdot 10^{21} : U-238 \Leftarrow \text{عدد النوى في الغرام الواحد من } U-238 \quad 2. III$$

$$\mathcal{N} = 6,021 \cdot 10^{23}. \Leftarrow (238\text{g})$$

$$dN / dt = -\lambda N \Rightarrow N = N_0 e^{-\lambda t}$$

$$T = \ln 2 / \lambda = 15 \text{ h.}$$

1.3. III

2.3. III

$$t = 13 \text{ mn } 6s \Leftarrow 1\% \text{ من أجل مول واحد} \quad \ln N_0 / N_t = t \cdot \ln 2 / T$$

3.3. III

$$t = 100 \text{ h.} \Leftarrow 99\% \text{ من أجل مول واحد}$$

4. III

$$t = 0 \quad [^{24}Na^*]_0 = n_0 / V = 10^{-5} / V$$

$$t = 5 \text{ h.} \quad [^{24}Na^*]_t = n_t / V_t = 1,6 \cdot 10^{-6} \text{ moles/l.}$$

$$C = C_0 e^{-\lambda t} \Rightarrow \ln C_0 / C = t \cdot \lambda = 0,23 \Rightarrow V = 10^{-5} / (1,6 \cdot 10^{-6} \times e^{0,23}) = 4,965 \text{ L} = 5 \text{ L}$$

$$A = 56 ; Z = 26 \quad 1.5. III$$

2.5. III

$$m = m_0 e^{-\lambda t} \Rightarrow \ln m_0 / m = t \cdot \ln 2 / T \Rightarrow T = 2,5 \text{ h} = 9000 \text{ s.}$$

3.5. III

$$A_0 = \lambda \cdot N_0 (N_0 = \mathcal{N} \cdot m / M) \Rightarrow m = A_0 \cdot T \cdot M / \mathcal{N} \ln 2 = 89,3 \text{ mg.}$$

4.5. III

$$E = [(M(56,26) - Z \cdot m_e) - M(A,Z)] \times 931 = 3,724 \text{ MeV}$$

4.5. III

$$E' = E \cdot \mathcal{N} \cdot 1,6 \cdot 10^{-19} \cdot 10^6 = 3,6 \cdot 10^{11} \text{ J.}$$

الباب الرابع :

$$E_c = \frac{1}{2}mv^2 = h(v - v_0) \Rightarrow v = 3,75 \cdot 10^5 \text{ m/s.}$$

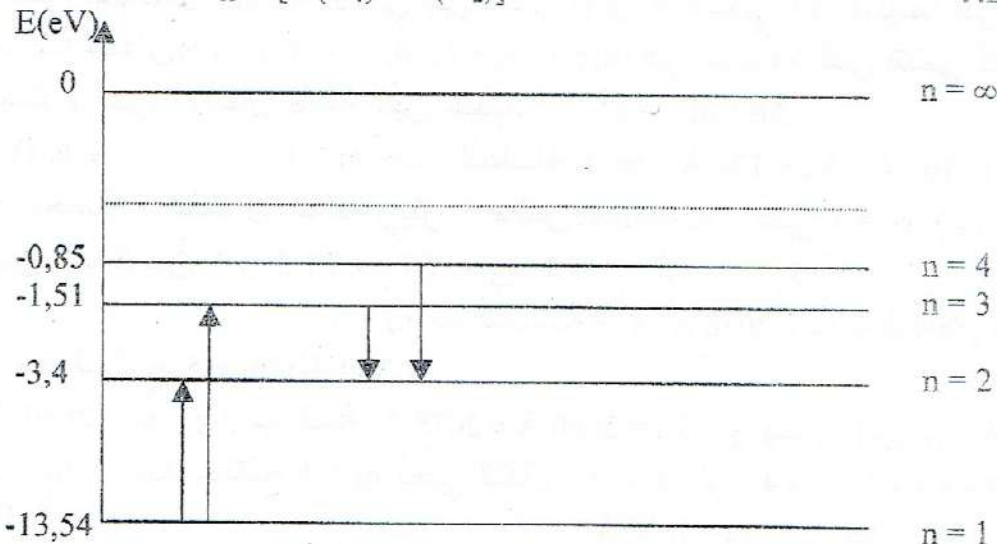
$$r_n = n^2 \cdot a_0 / Z ; \quad v_n = v_1 Z / n ; \quad E_n = -Z^2 \cdot A / n^2.$$

$$r_1 = 0,53 \text{ \AA} ; \quad r_2 = 4 \cdot r_1 ; \quad r_3 = 9 \cdot r_1 ; \quad r_4 = 16 \cdot r_1 ; \quad r_\infty = \infty$$

$$v_1 = 2,18 \cdot 10^6 \text{ m/s} ; \quad v_2 = v_1 / 2 ; \quad v_3 = v_1 / 3 ; \quad v_4 = v_1 / 4 ; \quad v_\infty = 0$$

$$E_1 = -13,54 \text{ eV} ; \quad E_2 = E_1 / 4 ; \quad E_3 = E_1 / 9 ; \quad E_4 = E_1 / 16 ; \quad E_\infty = 0.$$

$$\bar{v} = 1 / \lambda = R_H Z^2 [1/(n_1^2) - 1/(n_2^2)]$$



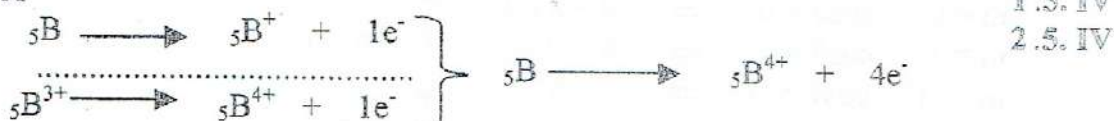
3. IV

$$\Delta E = h\nu = |E_{n_1} - E_{n_2}| \quad \text{C.G.S: } E_{n_1} = -2\pi^2 m Z^2 e^4 / n_1^2 ; \quad E_{n_2} = -2\pi^2 m Z^2 e^4 / n_2^2$$

$$v = 2\pi^2 \cdot m \cdot e^4 \cdot Z^2 \left| \frac{1}{n_2^2} - \frac{1}{n_1^2} \right| \rightarrow \sqrt{v} = \frac{\pi \cdot e^2}{h} \sqrt{\frac{2m}{h}} \left| \frac{1}{n_2^2} - \frac{1}{n_1^2} \right|^{\frac{1}{2}} \cdot Z ; \quad a = \frac{\pi \cdot e^2}{h} \sqrt{\frac{2m}{h}} \left| \frac{1}{n_2^2} - \frac{1}{n_1^2} \right|^{\frac{1}{2}}$$

$$\Delta E = |E_{n_2} - E_{n_1}| = hv = h.c / \lambda \Rightarrow R_H = m_e \cdot e^4 / 8 \cdot \epsilon_0^2 \cdot h^3 \cdot c ; \quad R_H \quad [\text{m}^{-1}]$$

$$\lambda_2 = 4040 \text{ \AA} \quad 1.5. \text{ IV}$$



$$\Delta E = E_n - E_1 = 302,24 \text{ eV} , \quad E_n = -AZ^2 / n^2 \Rightarrow n^2 = E_1 / (E_n + E_1) \Rightarrow n = 3.$$

$$E_i = E_\infty - E_n = (0) - (-37,78) = 37,78 \text{ eV}$$

$$Z = 3 \quad E_n = Z^2 \cdot (E_1)_H / n^2 \quad (E_1)_H = -13,54 \text{ eV} \quad \nu = 1 / \lambda = R_H \cdot Z^2 [1/(n_1^2) - 1/(n_2^2)]$$

$$n_1 = 1 \quad n_1 = 1 \quad n_2 = 2 \quad \lambda_1 = 134 \text{ \AA}$$

$$n_1 = 1 \quad n_1 = \infty \quad \lambda_L = 101 \text{ \AA} \quad \lambda \in [101-134] \text{ \AA} \quad \text{السلسلة 1}$$

$$n_1 = 2 \quad n_1 = 2 \quad n_2 = 3 \quad \lambda_1 = 727 \text{ \AA}$$

$$n_1 = 2 \quad n_1 = \infty \quad \lambda_L = 404 \text{ \AA} \quad \lambda \in [404-727] \text{ \AA} \quad \text{السلسلة 2}$$

$$n_1 = 3 \quad n_1 = 3 \quad n_2 = 4 \quad \lambda_1 = 909 \text{ \AA}$$

$$n_1 = 3 \quad n_1 = \infty \quad \lambda_L = 2078 \text{ \AA} \quad \lambda \in [909-2078] \text{ \AA} \quad \text{السلسلة 3}$$

$$Z = 1$$

من أصل ذرة الهيدروجين

$$n_1' = 1 \quad (\text{Lyman}) \quad n_1' = 1 \quad n_2' = 2 \quad \lambda_1 = 1212 \text{ \AA}$$

$$n_1' = 1 \quad n_2' = \infty \quad \lambda_L = 909 \text{ \AA} \quad \lambda \in [909-1212] \text{ \AA} \quad \text{السلسلة 1}$$

$$n_1' = 2 \quad (\text{Balmer}) \quad n_1' = 2 \quad n_2' = 3 \quad \lambda_1 = 6545 \text{ Å} \quad \text{السلسلة 2}$$

$$n_1' = 2 \quad n_2' = \infty \quad \lambda_L = 3636 \text{ Å} \quad \lambda \in [3636-6545] \text{ Å}$$

$$n_1' = 3 \quad (\text{Paschen}) \quad n_1' = 3 \quad n_2' = 4 \quad \lambda_1 = 18700 \text{ Å} \quad \text{السلسلة 3}$$

$$n_1' = 3 \quad n_2' = \infty \quad \lambda_L = 8181 \text{ Å} \quad \lambda \in [8181-18700] \text{ Å}$$

نلاحظ أنه يستلزم نفس الانتقال طاقة تكون $\Delta E / \Delta E' = Z^2$

تنتمي السلسلة الثلاثة الأولى إلى مجال فوق البنفسجي (U.V) بينما لذرة الهيدروجين سلسلة ليمنان Lyman ($n_1 = 1; n_2 = 2, 3, 4, \dots, \infty$) هي الوحيدة التي تنتمي لنفس المجال يستلزم نفس الانتقال طاقة أكبر حيث: $\Delta E / \Delta E' = Z^2$

$$\lambda_A = 114 \text{ Å} ; 101 \text{ Å} < \lambda_A < 134 \text{ Å} \Rightarrow n_1 = 1 \quad 2.6. IV$$

و نحصل باستعمال علاقة ريتز - بالمر Ritz-Balmer على $n_2 = 3$ إذن يكون الانتقال بين المستويين 1 و 3 ($1 \leftrightarrow 3$) يعني $3 \rightarrow 1$ أو $3 \rightarrow 1$

$$\lambda_B = 1420 \text{ Å} ; 909 \text{ Å} < \lambda_B < 2078 \text{ Å} \Rightarrow n_1 = 3$$

و منه نستنتج $(3 \leftrightarrow 5) n_2 = 5$

$$\lambda_c = 2080 \text{ Å} \approx 2078 \text{ Å} \quad \text{و يقارب قيمة } \lambda_B = 2080 \text{ Å} \quad \text{إذن } \lambda \text{ إلى السلسلة 3}$$

$$(3 \leftrightarrow 4) : n_1 = 3 \quad \text{و منه نستنتاج } n_2 = 4 \quad \text{يعني انتقال } 4 \rightarrow 3 \rightarrow 4 \quad 2.7. IV$$

$$2a = 2r_n \quad (n=4) \Rightarrow r_4 = 8,48 \text{ Å} \quad 1.7. IV$$

$$e = b/a = l+1/n \Rightarrow b = a(l+1)/n \quad (l=0 \quad b=2,12 \text{ Å}) ; (l=1 \quad b=4,24 \text{ Å}) ; (l=2 \quad b=6,36 \text{ Å}) ; (l=3 \quad b=8,48 \text{ Å} = a)$$

$$n=4 ; l=0 \quad 4s \quad \text{الطبقة التحتية} \quad 2.7. IV$$

$$n=4 ; l=1 \quad 4p \quad \text{الطبقة التحتية} \quad 2.7. IV$$

$$n=4 ; l=2 \quad 4d \quad \text{الطبقة التحتية} \quad 2.7. IV$$

$$n=4 ; l=3 \quad 4f \quad \text{الطبقة التحتية} \quad 2.7. IV$$

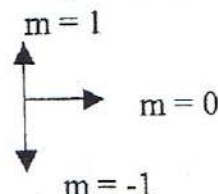
$$\text{"p" } l=1 \quad \text{الاتجاهات الموفقة لـ} \quad 3.7. IV$$

$$\cos\theta = m/l \quad -l \leq m \leq +l$$

$$m=0 \quad \cos\theta=0 \Rightarrow \theta=\pi/2$$

$$m=1 \quad \cos\theta=1 \Rightarrow \theta=0$$

$$m=-1 \quad \cos\theta=-1 \Rightarrow \theta=\pi$$



$$l=2 \quad \text{"d" } \quad \text{الاتجاهات الموفقة لـ}$$

$$\cos\theta = m/l \quad -2 \leq m \leq +2$$

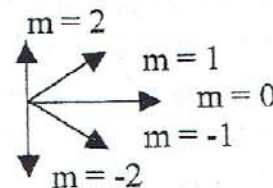
$$m=2 \quad \cos\theta=1 \Rightarrow \theta=0$$

$$m=1 \quad \cos\theta=1/2 \Rightarrow \theta=\pi/3$$

$$m=0 \quad \cos\theta=0 \Rightarrow \theta=\pi/2$$

$$m=-1 \quad \cos\theta=-1/2 \Rightarrow \theta=2\pi/3$$

$$m=-2 \quad \cos\theta=-1 \Rightarrow \theta=\pi$$



$$4.7. IV$$

$$E_4 = -0,85 \text{ eV} \quad 5.7. IV \quad \text{القطع الناقص الأكثـر تسطحا} \quad (n=4 ; l=0 ; m=0 ; s=+1/2 \text{ أو } -1/2) \quad (e=1/4)$$

الباب الخامس :

$$\lambda = 1,1 \cdot 10^{-33} \text{ m} \quad (\text{ب})$$

$$\lambda = 0,5 \cdot 10^{-10} \text{ m} \quad (\text{د})$$

$$\lambda = h / m \cdot v = 1,655 \cdot 10^{-42} \text{ m} \quad (\text{أ})$$

$$\lambda = (2 \cdot e \cdot m \cdot U)^{1/2} = 2,34 \cdot 10^{-12} \text{ m} \quad (\text{ج})$$

1. V

عندما يتعلق الأمر بوصف الأشياء الصغيرة جداً (المظهر الموجي) λ التي هي برتبة الأبعاد الذرية لها معنا (الحالة ج و الحالات د) بينما تكون مهملة وليس لها معنا بالنسبة للأبعاد المستعملة في السلم المرئي (الحالة أ و الحالات ب).

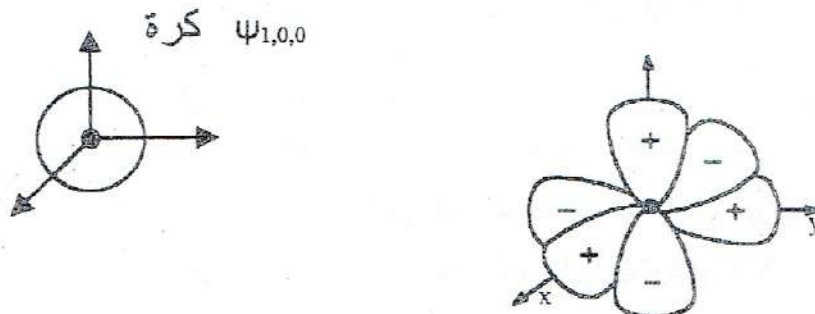
$$\Delta p \cdot \Delta x = h; p = m \cdot v, \Delta p = \Delta(m \cdot v) = m \cdot \Delta v + v \cdot \Delta m = m \cdot \Delta v \quad (\Delta m = 0) \quad -\text{أ.2. V}$$

$$\Delta v = 6,62 \cdot 10^{-30} \text{ m/s} \quad \text{et} \quad \Delta v / v = 4,14 \cdot 10^{-33}$$

$$\Delta p = 6,62 \cdot 10^{-24} \text{ kg} \cdot \text{m/s}; p = 18,69 \cdot 10^{-24} \text{ kg} \cdot \text{m/s}; \Delta p / p = 0,35 = 35\% \quad -\text{ب.2. V}$$

الكتابة الخاصة 3. V

$$\begin{array}{ccccccc} \Psi_{1,1,0} & ; & \Psi_{2,2,2} & ; & \Psi_{3,1,2} & ; & \Psi_{2,0,1} \\ \Psi_{1,0,0} & \longrightarrow & \Psi_{1s} & ; & \Psi_{2,1,0} & \longrightarrow & \Psi_{2p} & ; & \Psi_{4,1,1} & \longrightarrow & \Psi_{4p} \\ \Psi_{4,3,-2} & \longrightarrow & \Psi_{4f} & ; & \Psi_{3,1,0} & \longrightarrow & \Psi_{3p} & ; & \Psi_{5,2,0} & \longrightarrow & \Psi_{5d} \end{array}$$



يصاحب المحيط الذري $\Psi_{2,1,0}$ المحور $2p_x$ (كما كان ممكناً أن نرفق $\Psi_{2,1,0}$ مع المحور $2p_y$ أو مع المحور $2p_z$ علماً أن خاصية اتجاه المحيطات p هي اختيارية) و المحيطان $\Psi_{2,1,+1}$ و $\Psi_{2,1,-1}$ مع المحورين $2p_y$ و $2p_z$.

الباب السادس :

البنية الإلكترونية :

1. VI

العناصر	التوزيع	الشكل
₉ F	$1s^2 2s^2 2p^5$	$1s^2 / 2s^2 2p^5$
₁₃ Al	$1s^2 2s^2 2p^6 3s^2 3p^1$	$1s^2 / 2s^2 2p^6 / 3s^2 3p^1$
₂₀ Ca	$[Ar] 4s^2$	$[Ar] 4s^2$
₂₅ Mn	$[Ar] 4s^2 3d^5$	$[Ar] 3d^5 / 4s^2$
₅₃ I	$[Kr] 5s^2 4d^{10} 5p^5$	$[Kr] 4d^{10} / 5s^2 5p^5$
₆₇ Ho	$[Xe] 6s^2 4f^{10} 5d^1$	$[Xe] 4f^{10} / 5d^1 / 6s^2$

$$n=3 \Rightarrow 3s^2 3p^6 3d^{10} \Rightarrow 18 e^- \quad -\text{أ.2. VII}$$

$$n=5; l=0 \Rightarrow 5s^2 \Rightarrow 2 e^-$$

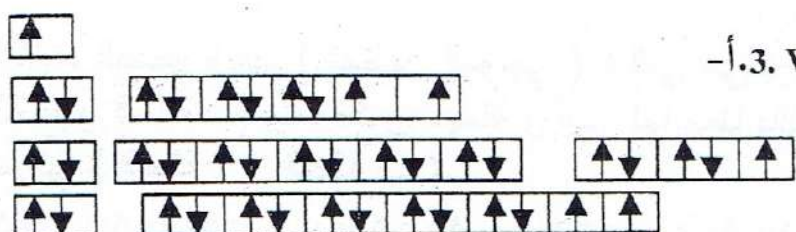
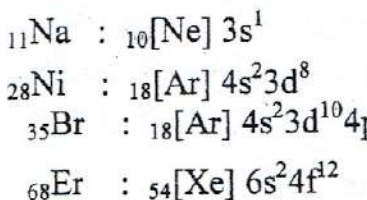
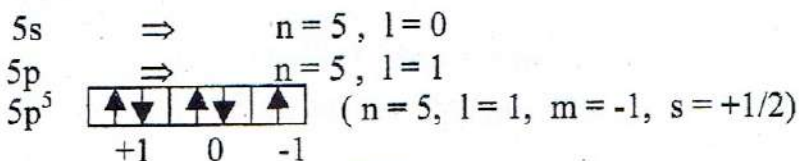
$$l=2 \Rightarrow 3d^{10}, 4d^{10} \Rightarrow 20 e^-$$

الطبقة التكافوئية الداخلية التحتية

-**ب.2. VII**

الطبقات التكافوئية الخارجية التحتية

الطبقات التكافوئية الخارجية التحتية



-أ.3. VI - عائلة الأوكسجين (الشالكوجين) \in VIA

الباب السابع :

-أ.1. VII $[GN] ns^2 np^2$ و $[GN] ns^2 np^4$

$n=2 \quad 2s^2 2p^2 \Rightarrow {}_6C \quad ; \quad 2s^2 2p^4 \Rightarrow {}_8O$

$n=3 \quad 3s^2 3p^2 \Rightarrow {}_{14}Si \quad ; \quad 3s^2 3p^4 \Rightarrow {}_{16}S$

${}_{11}Na : {}_{10}[Ne] 3s^1 \Rightarrow n=3 ; IV_A \Rightarrow 3s^2 3p^2$ - ب. 1. VII

${}_{14}Si : {}_{10}[Ne] 3s^2 3p^2$. إذن هو العنصر :

$n=4 ; IV_A \Rightarrow 4p^2 \quad zX : {}_{18}[Ar] 4s^2 3d^{10} 4p^2 \Rightarrow Z=32 ({}_{32}Ge)$ - ج. 1. VII

-أ.2. VII

العناصر	التوزيع
${}_8O$	$1s^2 2s^2 2p^2$
${}_{19}K$	${}_{18}[Ar] 4s^1$
${}_{26}Fe$	${}_{18}[Ar] 4s^2 3d^6$
${}_{47}Ag$	${}_{36}[Kr] 5s^1 4d^{10}$

يكون التوزيع الإلكتروني للفضة : ${}_{36}[Kr] 5s^2 4d^9 Ag : {}_{36}[Kr] 5s^1 4d^{10}$ عوض عن ${}_{36}[Kr] 5s^2 4d^9$ (يصبح المحاط الذري d أكثر استقرارا عندما يكون نصف مملوءا أو مشبعا)

-أ.2. VII ${}^{-8}O^- \Rightarrow {}_8O^{-2} (1s^2 2s^2 2p^6 \equiv {}_{10}[Ne]) ; {}_{19}K \Rightarrow {}_{19}K^+ ({}_{18}[Ar])$

${}_{47}Ag \Rightarrow {}_{47}Ag^+ ({}_{36}[Kr] 4d^{10})$

${}_{26}Fe \Rightarrow {}_{26}Fe^{2+} ({}_{18}[Ar] 3d^6) \Rightarrow {}_{26}Fe^{3+} ({}_{18}[Ar] 3d^5)$

-ج. 2. VII $R_{ذري} > R_{الآتوم} > R_{الكتيون}$

$R(K) > R(K^+) ; R(O^{-2}) > R(O)$

فعل الشاشة وحده يسمح بالمقارنة

$R \searrow \sigma \nearrow Z \nearrow$ عبر الدورة C_n لا يتغير (تغير طفيف)

$R \nearrow \sigma \searrow Z \nearrow$ عبر العمود C_n يتغير $R = C_n / (Z - \sigma)$

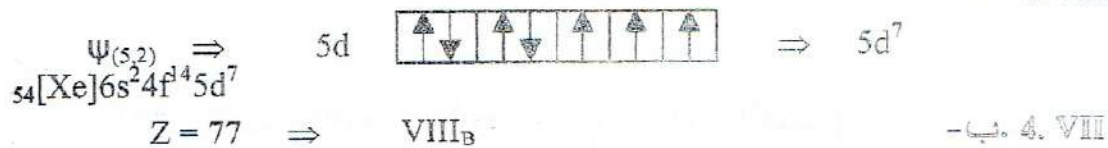
$4s^1 \dots \leftarrow$ العنصر الأول للدورة الرابعة

-أ.3. VII

$4p^6 \dots \leftarrow$ العنصر الأخير للدورة الرابعة

$$Z = 36. \quad \quad \quad Z = 19$$

$^{19}\text{K} : {}_{18}\text{Ar}4s^1$; $^{36}\text{Kr} : {}_{18}\text{Ar}4s^23d^{10}4p^6$ الدورة الرابعة (غازية)
 $^{6e^-} : {}_{24}\text{Cr} \leftarrow 4s^13d^5 \leftarrow$ حرة - 3. بـ. VII



الفري R > الأيون R و الكاتيون R > الذري R - 4. VII
 تترابط علاقة الثنائي E_i عبر الدورة من اليسار إلى اليمين ومن الأسفل إلى الأعلى عبر العمود

$$R(S^2) > R(\text{Ar}) > R(\text{Ca}^{+2}) ; E_{ii}(\text{Ca}^{+2}) > E_{ii}(\text{Ar}) > E_{ii}(S^2)$$

$$R(\text{Cl}^-) > R(\text{Cl}) ; E_{ii}(\text{Cl}) < E_{ii}(\text{Cl}^-) ; R(\text{Na}) > R(\text{Na}^+) ; E_{ii}(\text{Na}) < E_{ii}(\text{Na}^+) - 5. بـ. VII$$

$$R(\text{K}) > R(\text{Ca}) ; E_{ii}(\text{K}) < E_{ii}(\text{Ca}) ; R(\text{Rb}) > R(\text{K}) ; E_{ii}(\text{Rb}) < E_{ii}(\text{K}). - 5. جـ. VII$$

$\chi \nearrow Z \nearrow$ عبر الدورة عندما
 $\chi \searrow Z \nearrow$ عبر العمود عندما 1.6. VII

يمكن ترتيب العناصر التي لا تنتمي لنفس الدورة ولا لنفس العمود بإدخال عنصر "مرجع" و على سبيل المثال : Na و S

$$\begin{array}{l} \chi(\text{Na}) > \chi(\text{K}) \\ \chi(\text{Al}) > \chi(\text{Na}) \\ \chi(\text{S}) > \chi(\text{Al}) \\ \chi(\text{O}) > \chi(\text{S}) \\ \chi(\text{F}) > \chi(\text{O}) \end{array} \left. \begin{array}{l} \text{نفس العمود} \\ \text{نفس الدورة} \\ \text{نفس الدورة} \\ \text{نفس العمود} \\ \text{نفس الدورة} \end{array} \right\} \begin{array}{l} \chi(\text{Al}) > \chi(\text{K}) \\ \chi(\text{O}) > \chi(\text{Al}) \\ \text{حسب النتائج تكون الترتيب المولالي :} \\ \chi(\text{F}) > \chi(\text{O}) > \chi(\text{Al}) > \chi(\text{K}) \end{array}$$

$$|\chi_A - \chi_B| = k \sqrt{\Delta H_{A-B} - (\Delta H_{A-A} + \Delta H_{B-B}) / 2} \Rightarrow k = 0,208 \quad . 2. 6. VII$$

$$\begin{array}{ll} \text{HF} \Rightarrow \chi(\text{H}) = 2,34 \text{ eV}^{1/2} & 2. 6. VII \\ \text{FCl} \Rightarrow \chi(\text{Cl}) = 3,24 \text{ eV}^{1/2} & \\ \text{HCl} \Rightarrow \begin{array}{l} \chi(\text{H}) = 2,34 \text{ eV}^{1/2} \\ \chi(\text{Cl}) = 3,24 \text{ eV}^{1/2} \end{array} \Rightarrow \begin{array}{l} \chi(\text{Cl}) = 3,31 \text{ eV}^{1/2} \\ \chi(\text{H}) = 2,26 \text{ eV}^{1/2} \end{array} & \end{array}$$

$$\begin{array}{l} \chi(\text{H}) = (2,34 + 2,26) / 2 = 2,3 \text{ eV}^{1/2} \\ \chi(\text{Cl}) = (3,24 + 3,31) / 2 = 3,32 \text{ eV}^{1/2} \end{array}$$

Pauling بولينغ : $\chi(\text{H}) = 2,1 \text{ eV}^{1/2}$ و $\chi(\text{Cl}) = 3,0 \text{ eV}^{1/2}$.

يرجع الفرق الملحوظ بين قيم الكهروسلبية المحسوبة و تلك التي أعطاها بولينغ إلى أن عبارة عن قيمة متوسطة ناتجة عن قياسات عديدة.

الباب الثامن :

بنية لويس (Lewis) تطبيق قاعدة الثماني الثابت (

1. VIII

${}_1\text{H} : 1\text{s}^1$



${}_4\text{Be} : [\text{He}] 2\text{s}^2$



${}_4\text{Be}^* : [\text{He}] 2\text{s}^1 2\text{p}^1$



${}_6\text{C} : [\text{He}] 2\text{s}^2 2\text{p}^2$



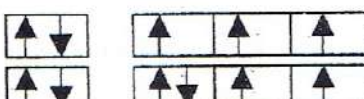
${}_6\text{C}^* : [\text{He}] 2\text{s}^1 2\text{p}^3$



${}_7\text{N} : [\text{He}] 2\text{s}^2 2\text{p}^3$



${}_8\text{O} : [\text{He}] 2\text{s}^2 2\text{p}^4$



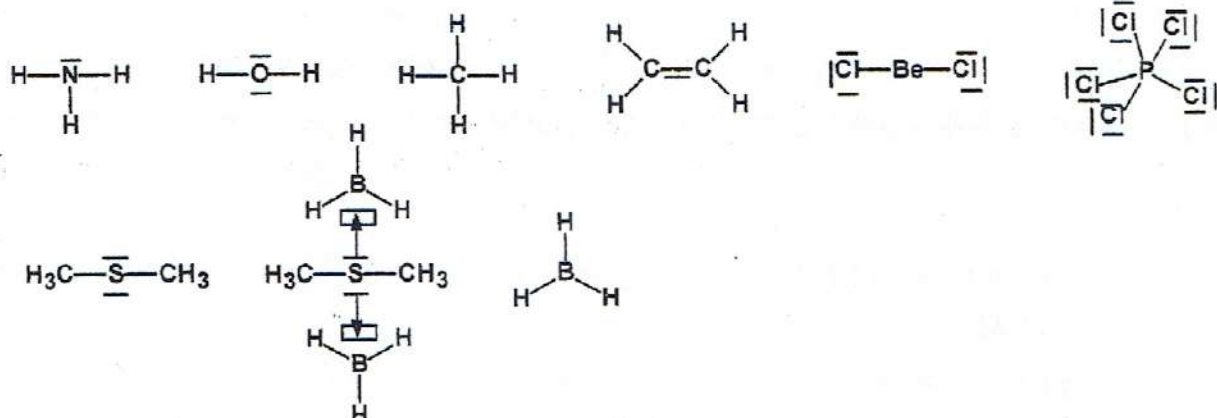
${}_{15}\text{P} : [\text{Ne}] 3\text{s}^2 3\text{p}^3$



${}_{15}\text{P}^* : [\text{Ne}] 3\text{s}^1 3\text{p}^3 3\text{d}^1$



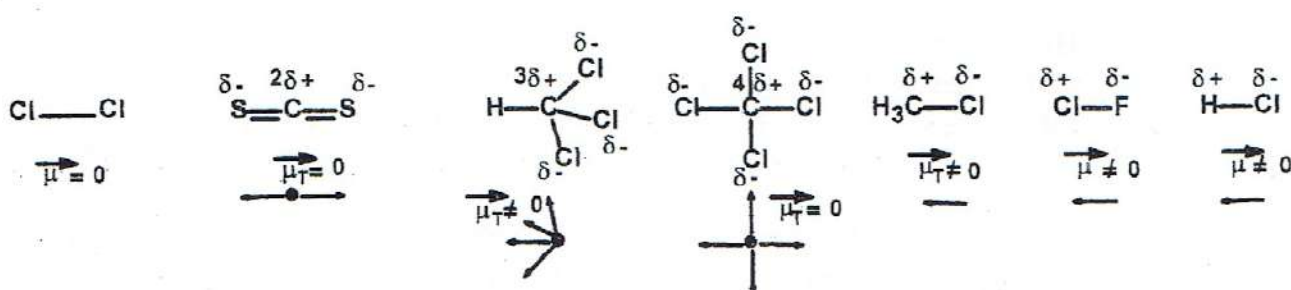
${}_{17}\text{Cl} : [\text{Ne}] 3\text{s}^2 3\text{p}^5$

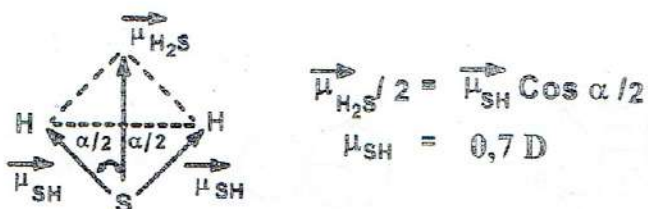


لا تفسر نظرية لويس Lewis وجود مركبات مثل BeCl_2 (يوجد 4e⁻ حول Be) أو PCl_5 (يوجد 10e⁻ حول P) لا يتحقق في جزيء BeCl_2 و لا في جزيء PCl_5 قاعدة الثماني الثابت

$$\mu_T = \sum \mu_i$$

1.2. VIII





1.2. VIII

عزم ثانوي القطب الأيوني للرابطة S-H

$$\mu_{(S-H)} = e.d = 1,6 \cdot 10^{-19} \cdot 1,3 \cdot 10^{-10} = 2,082 \cdot 10^{-29} \text{ C.m} = 6,246 \text{ D}$$

$$CI\% = (\frac{\mu_{(S-H)}}{\mu_{(HCl)}} \times 100) = (0,7 / 6,246) \times 100 = 11,2$$

يكون الطابع الأيوني الجزيئي H₂S في جزيء H₂S ضعيفاً (11%) و نلاحظ فرقاً ضعيفاً ($\Delta\chi = 0,4$) بين كهروسلبية ذرة الكبريت $\chi(S) = 2,5$ و كهروسلبية ذرة الهيدروجين $\chi(H) = 2,1$ ، الشيء الذي يسمح بتفسير استقطاب الرابطة.

3. VIII

$$\delta^+ - \delta^- \quad \% CI = \frac{\vec{\mu}_{exp}}{\vec{\mu}_{th}} \times 100 = \frac{\delta \cdot e \cdot d}{e \cdot d} \times 100 = \delta \times 100 \quad 0 < \delta < 1$$

تكون الشحنة الجزئية المحمولة من H و Cl

$$\delta.e = 0,17 \times 1,6 \cdot 10^{-19} \text{ C} = 0,272 \cdot 10^{-19} \text{ C}$$

ومنه يكون عزم ثانوي القطب لجزيء H-Cl

$$\mu_{H-Cl} = \delta.e.d = 0,17 \cdot 1,6 \cdot 10^{-19} \cdot 1,28 \cdot 10^{-10} (3 / 10^{29}) = 1,045 \text{ D}$$

4. VIII



₁₇Cl: [Ne] 3s² 3p⁵

₃₅Br: [Ar] 3d¹⁰ 4s² 4p⁵

₅₃I : [Kr] 4d¹⁰ 5s² 5p⁵

[Ne] 3s¹ 3p⁵ 3d¹

[Ar] 3d¹⁰ 4s¹ 4p⁵ 4d¹

[Kr] 4d¹⁰ 5s¹ 5p⁵ 5d¹

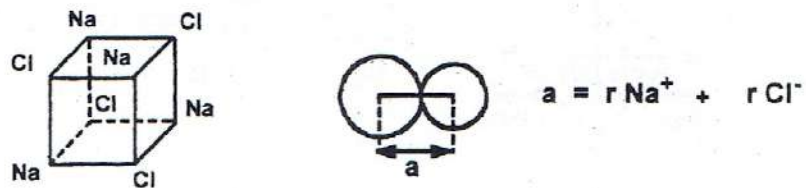
[Ar] 3d¹⁰ 4s² 4p³ 4d²

[Kr] 4d¹⁰ 5s² 5p³ 5d²

[Kr] 4d¹⁰ 5s¹ 5p³ 5d³

تسمح للالكترون الانتقالات التي تتوافق القاعدة $\Delta l = \pm 1$ و تخص طبقات تحتية متتالية: s \leftrightarrow p \leftrightarrow d . هذا القفز للالكترون يكون أسهل عندما الفرق في الطاقة بين مستويين متتالين ΔE يكون أضعف. الشيء الذي يسمح بتفسير، على العموم ، التكافؤ المشترك المختلف covalence لبعض الذرات (نستعمل لهذا الغرض التشكيل الإلكتروني عوض عن التوزيع الإلكتروني).

يتناقض ΔE مع تزايد n ($Z \uparrow$) $n \uparrow$ عندما $\Delta E \downarrow$



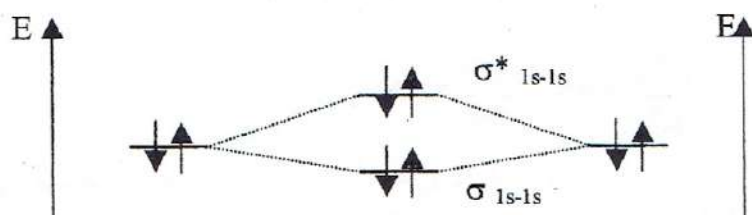
على طول الضلع a تعتبر الأيونين Na^+ و Cl^- كرتين صلبتين متماستين يحتوي المكعب على $1/8 \times 4$ أليونا من Na^+ و $1/8 \times 4$ أليونا من Cl^- يعني أربعة جزيئات NaCl و يمكن حساب الضلع a و منه استنتاج نصف قطر الأيون Na^+

$$M = 1/8 \times 4 \times M_{\text{NaCl}} / N = 1/2 \times (23 + 35,5) / 6,02 \cdot 10^{23}$$

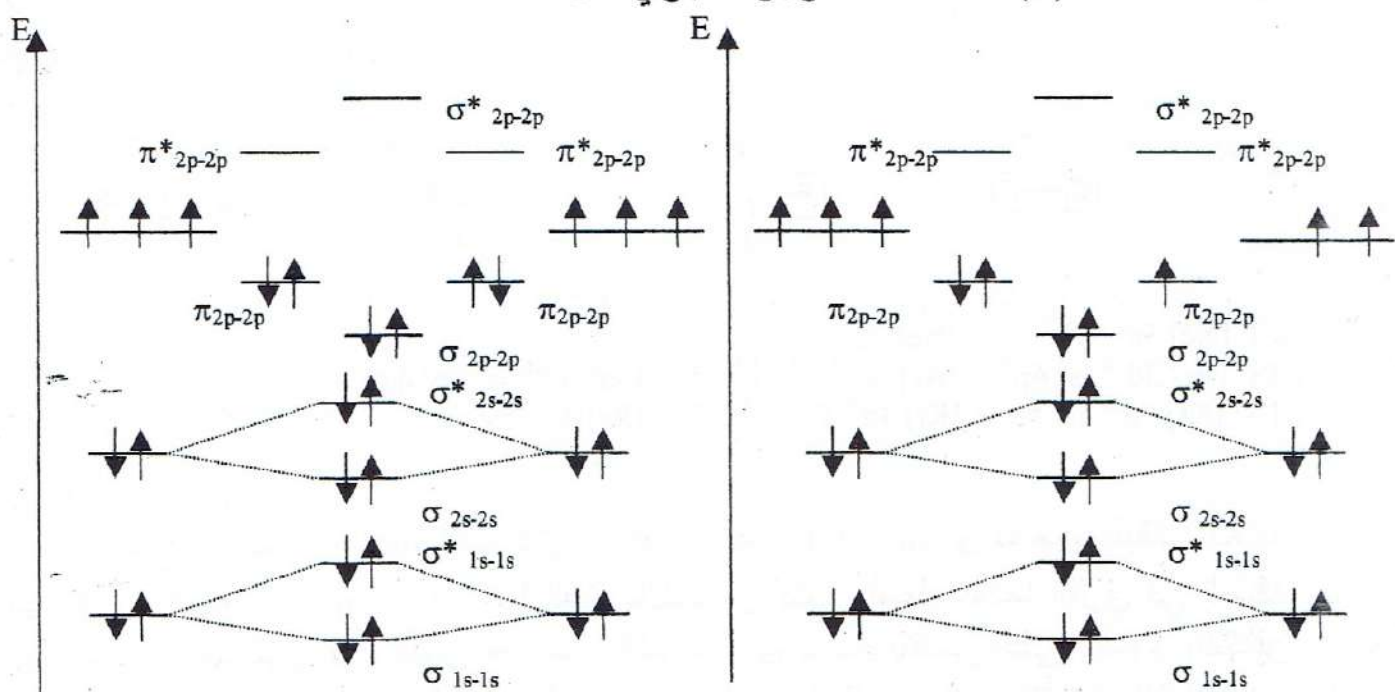
$$M = \rho \cdot V \quad (V = a^3) \quad a = (1/2 \times (23 + 35,5) / 6,02 \cdot 10^{23})^{1/3} \cdot 2,165 = 2,8 \cdot 10^{-10} \text{ m}$$

$$r_{\text{Na}^+} = a - r_{\text{Cl}^-} = 2,8 \text{ \AA} - 1,8 \text{ \AA} = 1 \text{ \AA}$$

ينقل التيار الكهرباء لأنه مركب أيوني بينما لا يمكن لـ BeCl_2 نقل التيار الكهرباء لأنه مركب مشترك تكافؤ.



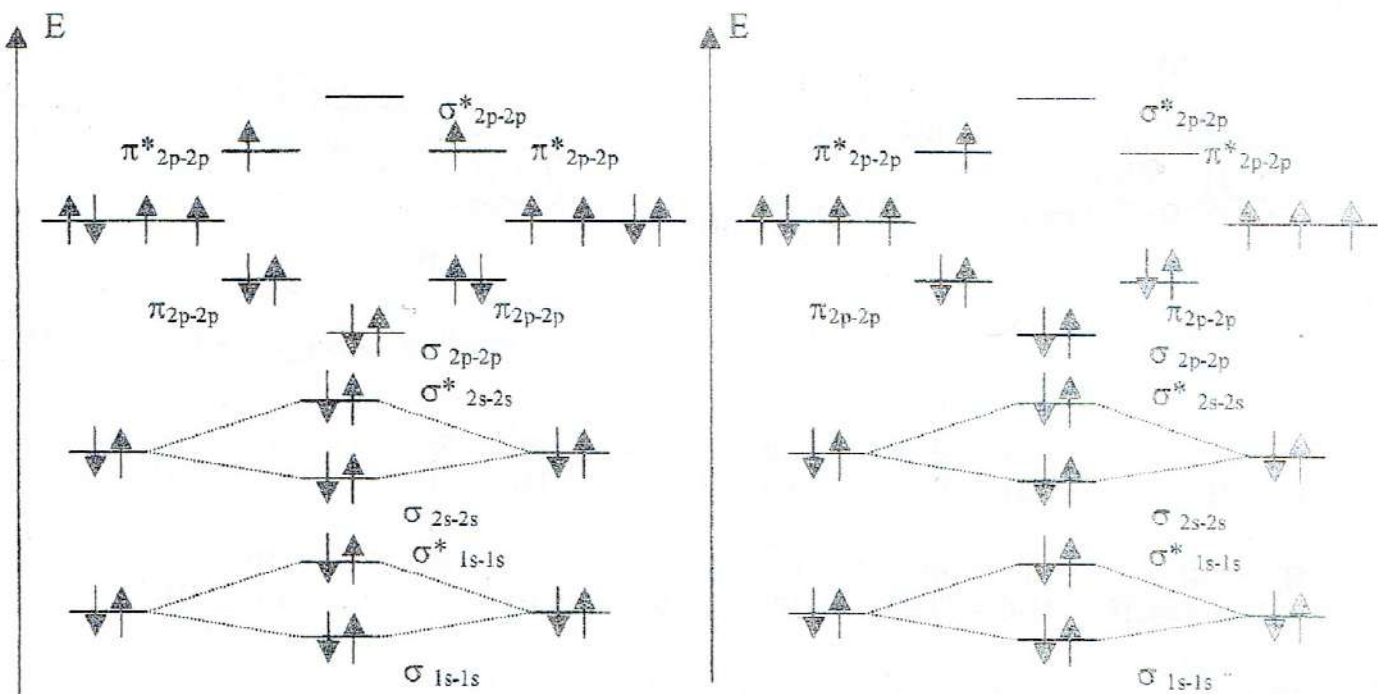
يكون التوزيع الإلكتروني الجزيئي : $(\sigma_{1s-1s})^2 (\sigma^*_{1s-1s})^2$ و بالتالي تكون رتبة الرابط : $\text{He}_2^+ \leftarrow \text{O.L. (i)} = 2-2 / 2 = 0$



$$\text{N}_2: (\sigma_{1s-1s})^2 (\sigma^*_{1s-1s})^2 (\sigma_{2s-2s})^2 (\sigma^*_{2s-2s})^2 (\sigma_{2p-2p})^2 (\pi_{2p-2p})^2 (\pi^*_{2p-2p})^2 \quad \text{O.L.} = 6/2 = 3$$

$$\text{N}_2^+: (\sigma_{1s-1s})^2 (\sigma^*_{1s-1s})^2 (\sigma_{2s-2s})^2 (\sigma^*_{2s-2s})^2 (\sigma_{2p-2p})^2 (\pi_{2p-2p})^2 (\pi^*_{2p-2p})^1 \quad \text{O.L.} = 5/2 = 2,5$$

اعتمادا على قيم رتبة الرابط لكل جزيء يمكن القول أن N_2 أكثر استقرارا من N_2^+



$$O_2 : (\sigma_{2p-2p})^2 (\pi_{2p-2p})^2 (\pi_{2p-2p})^2 (\pi^*_{2p-2p})^1 (\pi^*_{2p-2p})^1 \quad O.L = (6 - 2) / 2 = 2$$

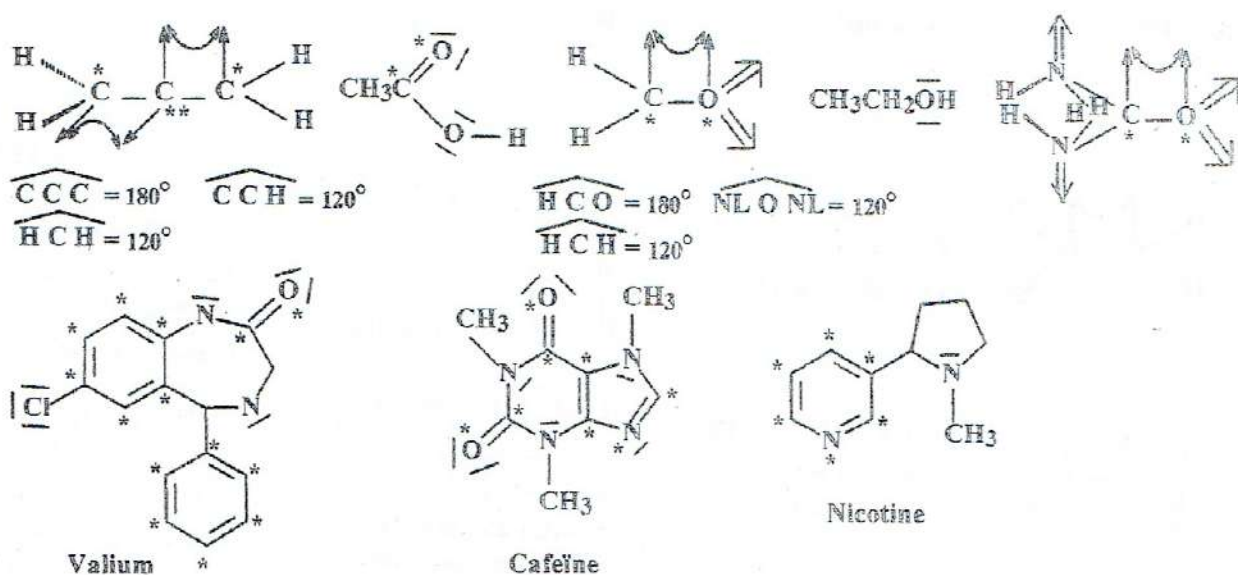
$$O_2^+ : (\sigma_{2p-2p})^2 (\pi_{2p-2p})^2 (\pi_{2p-2p})^2 (\pi^*_{2p-2p})^1 \quad O.L = (6 - 1) / 2 = 2,5$$

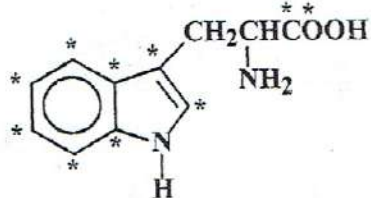
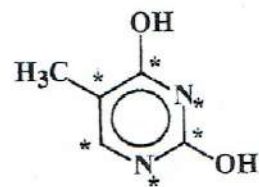
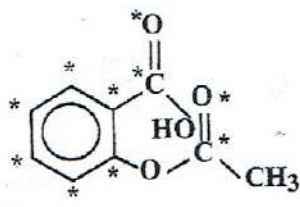
اعتماداً على قيمة رتبة الرابطة لكل جزيء يمكن القول أن O_2^+ أكثر استقراراً من O_2

الباب التاسع:

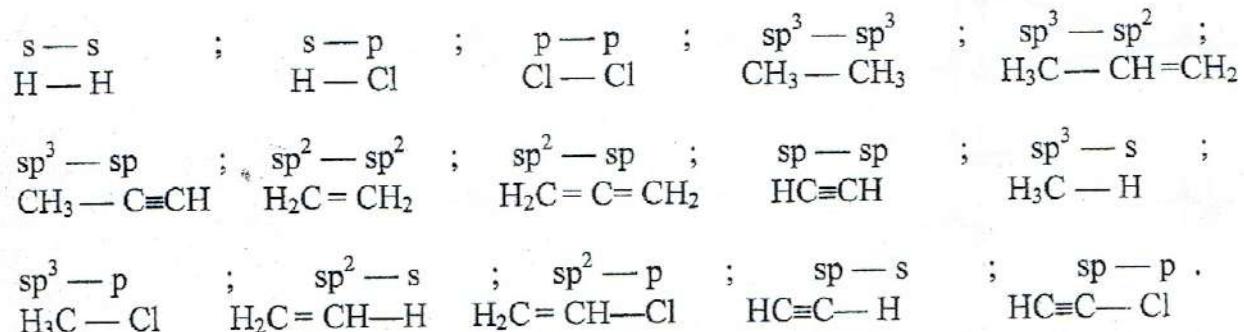
1. IX أنواع تهجين الذرات (ما عاد ذرة الهيدروجين)
 ↑↑ ربطة π ربطة π ربطة لا رابطة (NL)
 ربطة من وراء المستوى ربطة مام المستوى

* ذرة مهجنة sp^3 ($\alpha \approx 109^\circ$) ، الذرات الأخرى مهجنة sp^2 ($\alpha = 120^\circ$) * ذرة مهجنة sp ($\alpha = 180^\circ$)



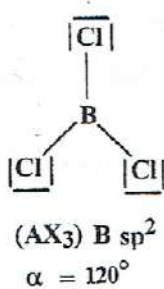


2. IX أنواع الروابط و الممكنة :



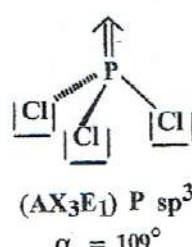
٣. يمكن تعريف هندسة الجزيئات حسب المجموع $\sigma + NL$

ثانية رابطة — رابطة π ↑ ←
 \ ثانية أمام المستوى ثانية لا رابطة ↑ (NL)
 \ ثانية وراء المستوى ↘



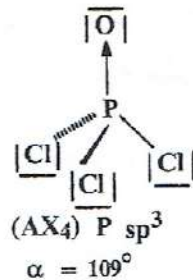
$$(\text{AX}_3) \text{ B sp}^2$$

$\alpha = 120^\circ$

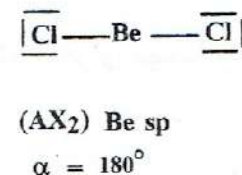


$$(\text{AX}_3\text{E}_1) \quad \text{P} \quad \text{sp}^3$$

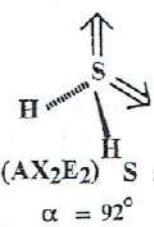
$\alpha = 109^\circ$



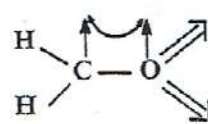
$$(AX_4) \text{ P } sp^3$$



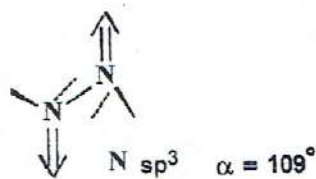
$$(\text{AX}_2) \text{ Be sp}$$



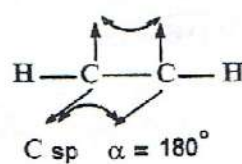
$$\alpha = 92^\circ$$



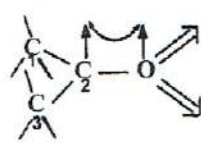
$$\begin{array}{ll} \text{C} & \text{sp}^2 \quad \alpha = 120^\circ \\ \text{O} & \text{sp}^2 \quad \alpha = 120^\circ \end{array}$$



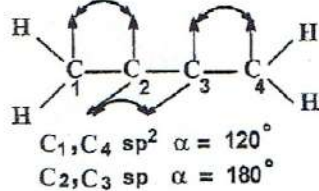
$$\alpha = 109^\circ$$



$$\text{C}_{\text{sp}^2} \quad \alpha = 120^\circ$$

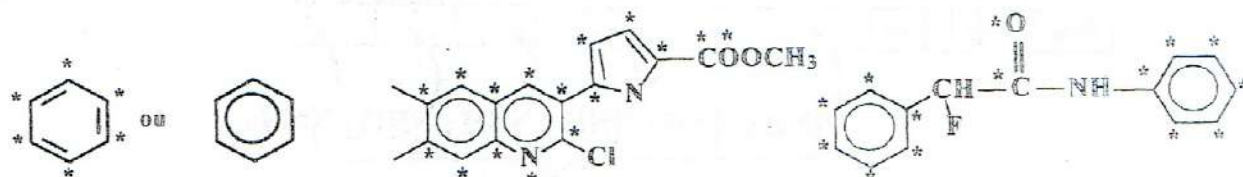


C_1, C_3 sp³ $\alpha = 109^\circ$
 C_2 sp² $\alpha = 120^\circ$
 O sp² $\alpha = 120^\circ$



C_1, C_4 sp² $\alpha = 120^\circ$
 C_2, C_3 sp $\alpha = 180^\circ$

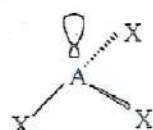
نَرْةٌ مُهْجَنَةٌ sp^2 ($\alpha \approx 109^\circ$) ، كُلُّ الْذَرَاتِ الْأُخْرَى مُهْجَنَةٌ sp^3 ($\alpha = 120^\circ$)



4. IX ترتيب هندسة الجزيئات AX_3E_p بـ كهروـسلبية الذرات المختلفة التي تشكل الجزء :
في السلسلة : NH_3, PH_3, AsH_3, SbH_3 كل المترابطات متـماـلة H

$$\begin{array}{l} N : \sigma + NL = 3 + 1 = 4 \Rightarrow sp^3 \\ P : \sigma + NL = 3 + 1 = 4 \Rightarrow sp^3 \\ As : \sigma + NL = 3 + 1 = 4 \Rightarrow sp^3 \\ Sb : \sigma + NL = 3 + 1 = 4 \Rightarrow sp^3 \end{array} \quad \left. \right\}$$

هرم قاعدته مثلث $\Leftarrow AX_3E_1$



تنتمي هذه العناصر إلى نفس العمود VIIA و $\chi(Sb) < \chi(As) < \chi(P) < \chi(N)$

$$\chi \text{ (Sb)} < \chi \text{ (As)} < \chi \text{ (P)} < \chi \text{ (N)} \quad \text{عندما } \alpha \nless \alpha_1 < \alpha_2 < \alpha_3 < \alpha_4$$

في السلسلة : $A = As$ لدينا نفس الذرة المركزية $AsCl_3, AsBr_3, AsI_3$ هرم قاعدته مثلث $\Leftarrow AX_3E_1$ ($X = Cl, Br, I$)

$$A : \sigma + NL = 3 + 1 = 4 \Rightarrow sp^3$$

$$Cl : \sigma + NL = 1 + 3 = 4 \Rightarrow sp^3$$

$$Br : \sigma + NL = 1 + 3 = 4 \Rightarrow sp^3$$

$$I : \sigma + NL = 1 + 3 = 4 \Rightarrow sp^3$$

تنتمي هذه العناصر إلى نفس العمود VIIA و $\chi(I) < \chi(Br) < \chi(Cl)$

$$\chi \nless \alpha' \quad \text{عندما } \alpha' > \alpha'_1 > \alpha'_2 > \alpha'_3$$

$$[Ru(NH_3)_6]^{2+} \quad 5. IX$$

شحنة الأيون المركزي : $Ru^{+2} \Leftarrow x + 6(0) = +2$

$$^{44}Ru : ^{36}[Kr] 5s^2 4d^6$$

$$^{44}Ru^{+2} : ^{36}[Kr] 4d^6 5s^0$$



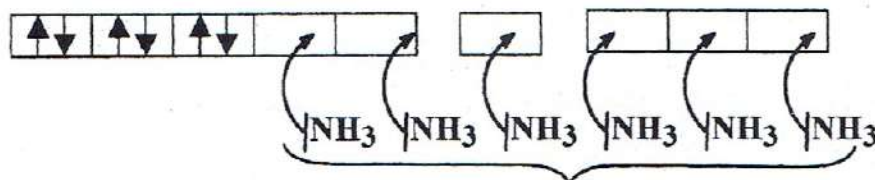
تشكيل الأيون المركزي في المعقد : لا يمتلك المعقد خواص مغناطيسية دائمة يعني ليس له إلكتروناً عازباً \Leftarrow هناك إعادة توزيع الإلكترونات التكافؤ :

$^{44}\text{Ru}^{+2} : _{36}[\text{Kr}]$

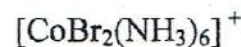
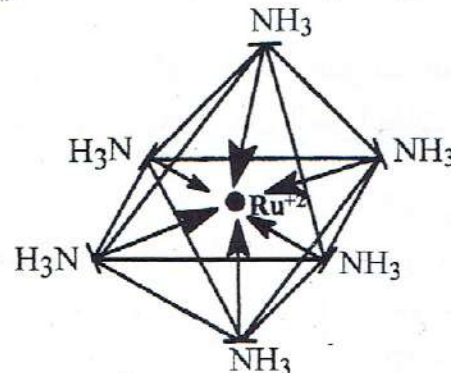
4d^6

5s^0

5p^0



التهجين $d^2sp^3 \leftarrow$ الهندسة : ثمانى الوجوه

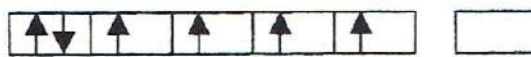


6. IX

شحنة الأيون المركزي : $x + 6(0) + 2(-1) = +1$

$^{27}\text{Co} : _{18}[\text{Ar}] 4\text{s}^2 3\text{d}^7$

$^{27}\text{Co}^{+3} : _{18}[\text{Ar}] 3\text{d}^6 4\text{s}^0$



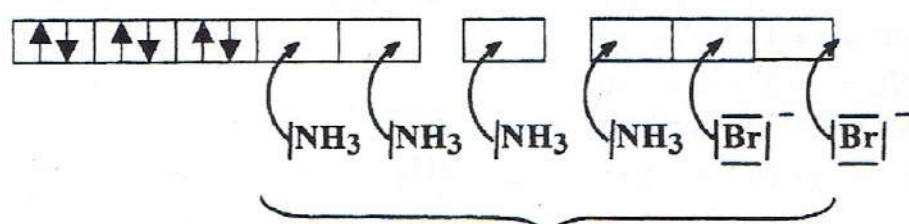
تشكيل الأيون المركزي في المعقد : لا يتماك المعقد خواص مغناطيسية دائمة يعني ليس له إلكترون عازب \leftarrow هناك إعادة توزيع الإلكترونات

$^{27}\text{Co}^{+3} : _{18}[\text{Ar}]$

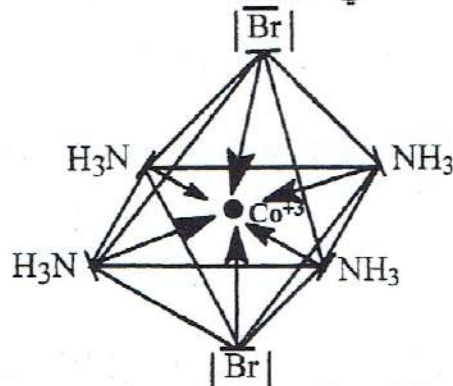
3d^6

4s^0

4p^0

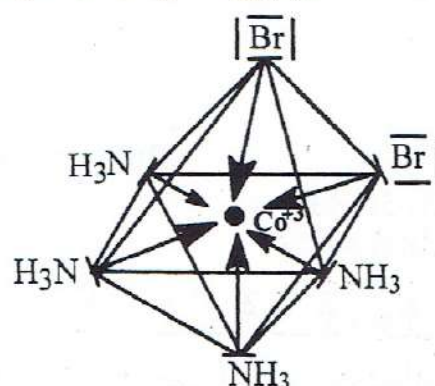


التهجين $d^2sp^3 \leftarrow$ الهندسة : ثمانى الوجوه



'Trans'

مفرق



'Cis'

مقرن

مسائل المراجعة

المشكلة 1 :

في تجربة ميلikan Millikan تسقط قطرة من زيت كروية الشكل في الهواء بسرعة قدرها $6,32 \text{ mm/s}$.

- 1- أحسب نصف القطر ، حجم و كتلة هذه قطرة.
 - 2- تكتسب قطرة شحنة q عندما تصل بين لبوي المكثف و تستقر في السقوط بسرعة $v = 6,54 \text{ mm/s}$. علماً أن اللبوس العلية لها كمون أكبر بـ 59300 من اللبوس السفلة و المسافة بينهما تقدر بـ 5 cm ، أحسب الشحنة q و أستنتج عدد الشحنات العنصيرية التي تحملها قطرة (تعرف قوة ستوكس Stockes $= 6\pi\eta rv$) .
- المعطيات : $\rho = 0,9 \text{ g/cm}^3$ $g = 9,8 \text{ m/s}^2$ $\eta = 1,8 \cdot 10^{-5} \text{ MKSA}$

المشكلة 2 :

I- تعطى قيمة طاقة المستويات الطاقوية لذرة الهيدروجين بالعلاقة التالية:

$$E_n = E_1 / n^2$$

- 1- ما هي الطاقة (eV) اللازمة لانتقال الإلكترون من المستوى الأساسي إلى المستوى المثار الثاني.
- 2- أحسب طول الموجة (λ) للإشعاع المنبعث عند انتقال الإلكترون من المستوى $n=3$ إلى المستوى $n=2$. ما هي السلسلة التي ينتمي إليها هذا الخط؟ مثل هاتين الحلمتين على نفس المخطط الطيفي.
- III- ينبعض الإلكترون بعد عودته إلى الحالة الأساسية فلونا طول موجته $\lambda = 750 \text{ Å}$

1- برهن أن الذرة متآينة.

2- إذا فرضنا أن الطاقة الفائضة (طاقة المتبقية) تنتقل إلى الإلكترون على شكل طاقة حرارية ، أحسب سرعة (m/s) الإلكترون المطرود.

3- أحسب طول الموجة المرافق لهذا الإلكترون ، إلى أي مجال من الطيف الكهرومغناطيسي تقع علماً أن:

$$4000 \text{ Å} < \lambda < 8000 \text{ Å} \quad : \quad \text{المرئي}$$

$$10^{-2} \text{ Å} < \lambda < 5 \cdot 10^{-2} \text{ Å} \quad : \quad \text{الأشعة السينية}$$

$$\lambda < 10^{-2} \text{ Å} \quad : \quad \text{الأشعة } \gamma$$

إذا حددنا هذا الإلكترون في كرة قطرها $0,01 \text{ Å}$ بتقريب ، عين الأرتياپ على السرعة لهذا الإلكترون حسب مبدأ الشك ل海森برغ Heisenberg . ماذا تستنتج؟

- المعطيات : $1 \text{ eV} = 1,6 \cdot 10^{-19} \text{ J}$; $c = 3 \cdot 10^8 \text{ m/s}$; $R_H = 1,1 \cdot 10^7 \text{ m}^{-1}$
 $h = 6,62 \cdot 10^{-34} \text{ J.s}$; $m_e = 9,1 \cdot 10^{-31} \text{ kg}$; $E_1 = -13,6 \text{ eV}$

المسألة 3 :

I- أحسب الطاقة المكافئة لوحدة الكتل الذرية u.m.a بالجول (J) و بالميغا إلكترون - فولط (Mev)

II- إذا أعطيت كتلة البروتون $m_p = 1,007278 \text{ u.m.a}$ و كتلة النيوترون

$$m_p = 1,007278 \text{ u.m.a}$$

1- أحسب الكتلة النظرية لنواة الليثيوم $\text{Li}(7,3)$ Lithium

2- علما أن الكتلة الحقيقة لنواة $\text{Li}(7,3)$ تساوي 7,01001 u.m.a أحسب النقص في الكتلة .

3- أحسب طاقة التماسك لنواة $\text{Li}(7,3)$.

III- علما أن العدد الذري لعنصر الليثيوم هو $Z = 3$

1- أكتب المعادلات المؤدية إلى الهيدروجينويد الموافق.

2- عبر عن طاقة الهيدروجينويد بدلالة n ، Z و $(E_1)_H$

3- أحسب طاقة انتقال الإلكترون من الحالة الأساسية إلى الحالة المثار الأولى و طول الموجة الموافقة لهذا الانتقال ، علما بأن طاقة تأين الهيدروجين تساوي $E_1 = + 13,54 \text{ eV}$

4- أكتب معادلة التأين الثالثة و أحسب الطاقة الموافقة و علل نتائجك.

IV- 1- أحسب الطاقة المحررة عند تشكيل واحد مول من الهليوم He إذا كانت الكتلة الحقيقة لنواة He^{+2} هي $4,001503 \text{ u.m.a}$.

2- ما هي كتلة الكربون-12 التي يجب حرقها للحصول على نفس الطاقة السابقة علما بأن طاقة الاحتراق لمول واحد من C-12 هي 94,1 kcal . ماذا تستنتج ؟

3- قارن بين استقرار نواة He و نواة Li .

$$E_1 = - 13,6 \text{ eV} ; 1 \text{ eV} = 1,604 \cdot 10^{-19} \text{ J} ; c = 3 \cdot 10^8 \text{ m/s}$$

$$m_e = 9,1 \cdot 10^{-31} \text{ kg} ; h = 6,62 \cdot 10^{-34} \text{ J.s}$$

المسألة 4 :

برهن بالمر *Balmer* تجريبيا أن الضوء المنبعث من الهيدروجين الذري متكون من عدة خطوط مختلفة موجتها محددة بدقة. و يشمل طيف انبعاث ذرة الهيدروجين على الخصوص : خط أحمر $\lambda = 6593 \text{ \AA}$ ، خط أخضر $\lambda = 4861 \text{ \AA}$ ، خط أزرق $\lambda = 4340 \text{ \AA}$ و خط بنفسجي $\lambda = 4101 \text{ \AA}$.

1- إلى أي انتقال ينتمي كل خط من هذه الخطوط ؟ مثل هذه الانتقالات على مخطط طيفي أين يمكن حساب قيمة المستويات الطاقوية المعنية بـ eV .

2- سمحت الدراسة المفصلة لطيف ذرة الهيدروجين لـ *Balmer* ثبات سنة 1885 أن كل الخطوط المنبعثة تخضع لقانون التجريبي :

$$v = 3,29 \cdot 10^{15} \left| \frac{1}{n_1^2} - \frac{1}{n_2^2} \right| \text{ cycles/s} \quad n_2 \geq n_1 + 1$$

هل هذه النتائج التجريبية تتطابق على نظرية بوهر Bohr ؟

3- و بعد سنوات لوحظ عند التواترات المنخفضة سلسلة من الخطوط حيث طول الموجة الخط الأول يساوي $\lambda = 18700 \text{ Å}$. عرف هذه السلسلة ثم مثل هذا الخط على مخطط طاقوي و سمي هذه السلسلة.

المعطيات :

$$R_H = 1,1 \cdot 10^7 \text{ m}^{-1}; h = 6,62 \cdot 10^{-34} \text{ J.s}; \epsilon_0 = 8,85 \cdot 10^{-12} \text{ C}^2 \cdot \text{N.m}^{-2}; c = 3 \cdot 10^8 \text{ m/s} \\ e = 1,6 \cdot 10^{-19} \text{ C}; m_e = 9,31 \cdot 10^{-31} \text{ kg}; E_1(H) = -13,6 \text{ eV}.$$

المشألة 5 :

- I- نعتبر A ، B و C ثلاثة عناصر أرقامها الذرية هي على الترتيب Z ، $Z+1$ و $Z+2$ حيث B يمثل غازا نادرا.
- 1- أعط البنية الإلكترونية الخارجية لهذه العناصر.
 - 2- ما هو العنصر الأكثر كهروسلبية؟
 - 3- إلى أي فئة (مجموعة) من الجدول الدوري ينتمي كل من العناصران A و C؟ سمهما.
 - 4- قارن نصف القطر الذري لكل من هاتين الذرتين مع أيونهما الأكثر استقرارا.

II- يربط العناصران A و C فيما بينهما تشكيل مركب كيميائي.

- 1- أعط بنية Lewis لهذا المركب و حدد طبيعة هذه الرابطة.
- 2- إذا كان العنصر D يقع أسفل العنصر A مباشرة في الجدول الدوري، مثل حسب لويس Lewis الجزيء AD مع تحديد نوع الرابطة.
- 3- قارن بين أصناف الأقطار و طاقة التأين الأولى للعناصر A و D. يكون في محلول مائي، المركب AC ناقلاً للكهرباء بينما المركب AD لا ينقل الكهرباء. لماذا؟

المشألة 6 :

- I- إذا كان الرقم الذري للعنصر X $Z = 49$.
- 1- أعط كل من التوزيع والتشكيل الإلكتروني لهذا العنصر.
 - 2- ما هي الأعداد الكمية التي تميز الإلكترون الحر (العاذب) لـ X.
 - 3- أكتب التشكيل الإلكتروني للأيون الأكثر استقرارا و الأكثر احتمالا الذي يعطيه هذا العنصر.

II- العدد الذري للعنصر Y هو $Z = 53$.

- 1- أعط التشكيل الإلكتروني لهذا العنصر.
 - 2- إلى أي مجموعة (فئة) من الجدول الدوري ينتمي هذا العنصر، سمهما.
 - 3- أعط الأعداد الكمية التي تعرف الطبقات التحتية التكافؤية الخارجية.
- III- مركب مشترك التكافؤ XY_3 .
- 1- أعط تمثيل لويس Lewis لهذا الجزيء.

2- أعط نوع التهجين و هندسة هذا الجزيء حسب منهاجية جيليسبي Gillespie (مع تحديد عدد ثنائيات الربط والثنائيات لا رابطة لكل ذرة).

المشأة 7 :

المعطيات التجريبية النسبية لطاقات التأين الأول و الثاني للعناصر التي تتبع إلى العمودين IA و IIA ملخصة في الجدول التالي :

العنصر	Ei ₁	Ei ₂
X ₁	5,4	75,6
X ₂	9,3	18,2
X ₃	5,1	47,3
X ₄	7,6	15
X ₅	6,1	11,9
X ₆	4,3	31,8

- 1- صنف العناصر التي تتبع إلى العمود IA و العمود IIA .
- 2- ينتمي العنصران X₅ و X₆ للدورة الرابعة في الجدول الدوري، عرف X₁ ، X₂ ، X₃ ، X₄ و X₅ و X₆ .

المشأة 8 :

إذا كان الرقم الذري لعنصر البلاتين $Z = 78$ Platine

1- أعط التوزيع والتشكيل الإلكتروني للبلاتين في الحالة الأساسية.

2- ما هو عدد الإلكترونات التي تملك الأعداد الكمية التالية:

أ - $n = 3$

ب - $l = 3$

ج - $l = 2$ و $n = 5$

د - $l = 2$

3- ما هو الأيون المستقر لهذا العنصر .

4- يرتبط البلاتين $Z = 78$ Platine بالكلور $Z = 17$ Chlore و كذلك بالنتروجين Azote

الموجود في جزيء غاز النشادر NH_3 ليشكل المعقد المختلط $[\text{Pt}(\text{NH}_3)_2\text{Cl}_2]^0$.

أ - أعط التشكيل الإلكتروني للأيون المركزي لهذا المعقد علماً أن هذا الأخير ليس له خواص مغناطيسية دائمة .

ب - أعط نوع التهجين و كذلك هندسة هذا المعقد .

بعض الثوابت الأساسية

القيمة	الرمز	الكمية
$2,99792 \cdot 10^8 \text{ m} / \text{s}$	c	سرعة الضوء في الفراغ
$6,62607 \times 10^{-34} \text{ m}^2 \cdot \text{kg} / \text{s}$ (J.s)	h	ثابت بلانك (Planck)
$6,02213 \times 10^{23}$	N	ثابت أو عدد آفogaadro (Avogadro)
$1,1 \cdot 10^7 \text{ m}^{-1}$	R _H	ثابت Rydberg (Rydberg)
$1,60217 \cdot 10^{-19} \text{ C}$	e	شحنة الإلكترون
$0,082 \text{ l.atm} / ^\circ \text{K.mole}$	R	ثابت الغازات المثالية
$9,10938 \times 10^{-31} \text{ kg}$	m _e	كتلة الإلكترون
$1,67262 \times 10^{-27} \text{ kg}$	m _p	كتلة البروتون
$1,67494 \times 10^{-27} \text{ kg}$	m _n	كتلة النيوترون
$8,85418 \times 10^{-12} \text{ A}^2 \cdot \text{s}^4 / \text{m}^3 \cdot \text{kg}$	ϵ_0	سمانحية الهواء
$1,66057 \times 10^{-27} \text{ kg}$	u.m.a	وحدة الكتل الذرية
$0,52917 \times 10^{-10} \text{ m}$	a ₀	نصف قطر لبوهر (Bohr)

$Ci = 3,7 \times 10^{10} \text{ dps} = 3,7 \times 10^{10} \text{ Bq}$	Bq	النشاطية "بكرال" (Becquerel)
10^{-2} J/kg	Rad	جرعة الإشعاع الممتصة
10^{-2} J/kg	Rem	جرعة الإشعاع المكافأة
$2,58 \times 10^4 \text{ C} / \text{kg}$	R	تعرض للإشعاع "ريتنغان" (Roentgen)

الوحدات الأساسية في النظام العالمي (S.I) و بعض الوحدات الأخرى

الرمز	الاسم	الكمية
m	متر	طول
kg	كيلو غرام	كتلة
s	ثانية	زمن
A	أنبير	شدة التيار الكهربائي
mole	مول	كمية المادة
J	جول	طاقة
J / kg	جول / كيلو غرام	طاقة
J / mole	جول / مول	طاقة المولية
Bq	بيكرال	النشاطية
Hz	هرتز	توافر
N	نيوتن	قدرة
Pa	بسکال	ضغط
C	كولون	شحنة كهربائية
V / m	فولت على متر	حقن كهربائي
V	فولت	فرق الكمون
T	تسلا	حقن مغناطيسي
W	وبير	التدفق المغناطيسي

تحويل بعض الوحدات الفيزيائية المهمة

طاقة:

Joule (J) جول	kcal	erg	eV	kWh
1	$2,4 \times 10^{-4}$	10^7	$6,24 \times 10^{18}$	$2,78 \times 10^{-7}$
$4,18 \times 10^3$	1	$4,18 \times 10^{10}$	$2,61 \times 10^{22}$	$1,16 \times 10^{-3}$
10^7	$2,39 \times 10^{-11}$	1	$6,24 \times 10^{11}$	$2,78 \times 10^{-14}$
$1,6 \times 10^{-19}$	$3,83 \times 10^{-23}$	$1,6 \times 10^{-12}$	1	$4,35 \times 10^{-28}$
$3,6 \times 10^6$	860	$3,6 \times 10^{16}$	$2,25 \times 10^{25}$	1

ضغط:

Pa = N / m ²	atm	bar	torr
1	$9,87 \times 10^{-6}$	10^{-5}	75×10^{-4}
$1,013 \times 10^5$	1	1,013	760
10^5	0,987	1	750
133	$1,32 \times 10^{-2}$	$1,33 \times 10^{-3}$	1

زمن:

s	min	h	j
1	$1,67 \times 10^{-2}$	$2,78 \times 10^{-4}$	$1,16 \times 10^{-5}$
60	1	$1,67 \times 10^{-2}$	$6,94 \times 10^{-4}$
$3,6 \times 10^3$	60	1	$4,17 \times 10^{-2}$
$8,62 \times 10^4$	$1,44 \times 10^2$	24	1

طول:

$$1 \mu \text{ (micron)} = 10^{-6} \text{ m}$$

$$1 \text{ \AA (angstrum)} = 10^{-10} \text{ m}$$

$$1 \text{ F (fermi)} = 10^{-15} \text{ m}$$

المقاطع البدائية المستعملة في النظام العالمي (S.I)

الرمز	بادئة	عامل	الرمز	بادئة	عامل
E	exa	10^{18}	d	deci	10^{-1}
P	peta	10^{15}	c	centi	10^{-2}
T	tera	10^{12}	m	milli	10^{-3}
G	giga	10^9	μ	micro	10^{-6}
M	mega	10^6	n	nano	10^{-9}
k	kilo	10^3	p	pico	10^{-12}
h	hecto	10^2	f	femto	10^{-15}

ترتيب أبجدي لعناصر الجدول الدوري

العنصرية	الرمز	Z	الكتلة الذرية النسبة	العنصرية	الرمز	Z	الكتلة الذرية النسبة
Actinium	Ac	89	-	Molybdène	Mo	42	95,94
Aluminium	Al	13	26,982	Néodyme	Nd	60	114,24
Américium	Am	95	-	Néon	Ne	10	20,179
Antimoine	Sb	51	121,75	Neptunium	Np	93	237,05
Argent	Ag	47	101,87	Nickel	Ni	28	58,71
Argon	Ar	18	39,948	Niobium	Nb	41	92,906
Arsenic	As	33	74,922	Nobélium	No	102	-
Astate	At	85	-	Or	Au	79	196,97
Azote	N	7	14,007	Osmium	Os	76	190,2
Baryum	Ba	56	137,34	Oxygène	O	8	15,999
Berkélium	Bk	97	-	Palladium	Pd	46	106,4
Bérylum	Be	4	9,0122	Phosphore	P	15	30,974
Bismuth	Bi	83	208,98	Platine	Pt	78	195,09
Bore	B	5	10,81	Plomb	Pb	82	207,2
Brome	Br	35	79,904	Plutonium	Pu	94	-
Cadmium	Cd	48	112,40	Polonium	Po	84	-
Calcium	Ca	20	40,08	Potassium	K	19	39,102
Californium	Cf	98	-	Praséodyme	Pr	59	140,91
Carbone	C	6	12,011	Prométhium	Pm	61	-
Cérium	Ce	58	140,12	Proactinium	Pa	91	213,04
Césium	Cs	55	132,91	Radium	Ra	88	226,02
Chlore	Cl	17	35,453	Radon	Rn	86	-
Chrome	Cr	24	51,996	Rhéniump	Re	75	186,2
Cobalt	Co	27	58,933	Rhodium	Rh	45	102,91
Cuivre	Cu	29	63,546	Rubidium	Rb	37	85,468
Curium	Cm	96	-	Ruthénium	Ru	44	101,07
Dysprosium	Dy	66	162,50	Samarium	Sm	62	150,4
Einsteinium	Es	99	-	Scandium	Sc	21	44,956
Erbium	Er	68	177,26	Sélénium	Se	34	78,96
Etain	Sn	50	118,69	Silicium	Si	14	28,086
Europium	Eu	63	151,96	Sodium	Na	11	22,990
Fer	Fe	26	55,847	Soufre	S	16	32,06
Fermium	Fm	100	-	Strontium	Sr	38	87,62
Fluor	F	9	18,998	Tantale	Ta	73	180,95
Francium	Fr	87	-	Technétium	Tc	43	98,906
Gadolinium	Gd	64	157,25	Tellure	Te	52	127,60
Gallium	Ga	31	69,72	Terbium	Tb	65	158,92
Germanium	Ge	32	72,59	Thallium	Tl	81	204,34
Hafnium	Hf	72	178,49	Thorium	Th	90	232,04
Hélium	He	2	4,0028	Thulium	Tm	69	168,23
Holmium	Ho	67	164,93	Titane	Ti	22	47,90
Hydrogène	H	1	1,0080	Tungstène	W	74	183,85
Indium	In	49	114,82	Unnilhexium	Unh	106	-
Iode	I	53	126,90	Unniloctium	Uno	108	-
Iridium	Ir	77	192,22	Unnilpentium	Unp	105	-
Krypton	Kr	36	83,80	Unniquadium	Unq	104	-
Lanthane	La	57	138,91	Unnilseptium	Uns	107	-
Lawrencium	Lr	103	-	Uranium	U	92	238,03
Lithium	Li	3	6,941	Vanadium	V	23	50,941
Lutétium	Lu	71	174,97	Xénon	Xe	54	131,30
Magnésium	Mg	12	24,315	Ytterbium	Yb	70	173,04
Manganèse	Mn	25	54,938	Yttrium	Y	39	88,906
Moscovium	Md	101	-	Zinc	Zn	30	65,37
Mercure	Hg	80	200,59	Zirconium	Zr	40	91,22

الجدول الدوري للعناصر

IA
1 H

II A
2 Li
3 Be

11 Na
12 Mg

III B
19 K
20 Ca
21 Sc
22 Ti
23 V
24 Cr
25 Mn
26 Fe
27 Co
28 Ni
29 Cu
30 Zn

IV B
37 Rb
38 Sr
39 Y
40 Zr
41 Nb
42 Mo
43 Tc
44 Ru
45 Rh
46 Pd
47 Ag
48 Cd

V B
55 Cs
56 Ba
57 La
58 Hf
59 Ta
60 W
61 Re
62 Os
63 Ir
64 Pt

VI B
87 Fr
88 Ra
89 Ac
90 Unq
91 Unp
92 Unh
93 Uno
94 Uns
95 Uno
96 Cm
97 Bk

VII A
13 Al
14 Si
15 P
16 S
17 Cl
18 Br
19 At
20 Rn

VIII A
2 He
4 Ne
6 F
8 O
10 Ar
12 Kr
14 Xe
16 I
18 At
20 Lu

173,0
19,0
20,2
40,0
431,3
128,9
54
210
210
222
174,9
173,0
174,9
173,0
173,0
173,0

Lu
Yb
Fm
Md
No
Lr

103 (262)

103 (262)

103 (262)

103 (262)

103 (262)

103 (262)

103 (262)

103 (262)

103 (262)

103 (262)

103 (262)

103 (262)

103 (262)

103 (262)

103 (262)

103 (262)

103 (262)

103 (262)

103 (262)

103 (262)

103 (262)

103 (262)

103 (262)

103 (262)

103 (262)

103 (262)

103 (262)

103 (262)

103 (262)

103 (262)

103 (262)

103 (262)

103 (262)

103 (262)

103 (262)

103 (262)

103 (262)

103 (262)

103 (262)

103 (262)

103 (262)

103 (262)

103 (262)

103 (262)

103 (262)

103 (262)

103 (262)

103 (262)

103 (262)

103 (262)

103 (262)

103 (262)

103 (262)

103 (262)

103 (262)

103 (262)

103 (262)

103 (262)

103 (262)

103 (262)

103 (262)

103 (262)

103 (262)

103 (262)

103 (262)

103 (262)

103 (262)

103 (262)

103 (262)

103 (262)

103 (262)

103 (262)

103 (262)

103 (262)

103 (262)

103 (262)

103 (262)

103 (262)

103 (262)

103 (262)

103 (262)

103 (262)

103 (262)

103 (262)

103 (262)

103 (262)

103 (262)

103 (262)

103 (262)

103 (262)

103 (262)

103 (262)

103 (262)

103 (262)

103 (262)

103 (262)

103 (262)

103 (262)

103 (262)

103 (262)

103 (262)

103 (262)

103 (262)

103 (262)

103 (262)

103 (262)

103 (262)

103 (262)

103 (262)

103 (262)

103 (262)

103 (262)

103 (262)

103 (262)

103 (262)

103 (262)

103 (262)

103 (262)

103 (262)

103 (262)

103 (262)

103 (262)

103 (262)

103 (262)

103 (262)

103 (262)

103 (262)

103 (262)

103 (262)

103 (262)

103 (262)

103 (262)

103 (262)

103 (262)

103 (262)

103 (262)

103 (262)

103 (262)

103 (262)

103 (262)

103 (262)

103 (262)

103 (262)

103 (262)

103 (262)

103 (262)

103 (262)

103 (262)

103 (262)

103 (262)

103 (262)

103 (262)

103 (262)

103 (262)

103 (262)

103 (262)

103 (262)

103 (262)

103 (262)

103 (262)

103 (262)

103 (262)

103 (262)

103 (262)

103 (262)

103 (262)

103 (262)

103 (262)

103 (262)

103 (262)

103 (262)

103 (262)

103 (262)

103 (262)

103 (262)

103 (262)

103 (262)

103 (262)

103 (262)

103 (262)

103 (262)

103 (262)

103 (262)

103 (262)

103 (262)

103 (262)

103 (262)

103 (262)

103 (262)

103 (262)

103 (262)

103 (262)

103 (262)

103 (262)

103 (262)

103 (262)

103 (262)

103 (262)

103 (262)

103 (262)

103 (262)

103 (262)

103 (262)

103 (262)

103 (262)

103 (262)

103 (262)

103 (262)

103 (262)

103 (262)

103 (262)

103 (262)

103 (262)

103 (262)

103 (262)

103 (262)

103 (262)

103 (262)

103 (262)

103 (262)

103 (262)

103 (262)

103 (262)

103 (262)

103 (262)

103 (262)

103 (262)

103 (262)

103 (262)

103 (262)

103 (262)

103 (262)

103 (262)

103 (262)

103 (262)

103 (262)

103 (262)

103 (262)

103 (262)

ترتيب أبجدي للأسماء المشهورة

Aston, F. W.....	16,17,22,23	Pauling, L.....	78,82,85
Avogadro, A.....	4,8	Pickering.....	50
Bainbridge.....	16,17,24	Pfund.....	49
Balmer, J. J.....	42,45,49,50 51,56.	Planck, M.....	9,43,44,45,58
Becquerel, H.....	6,26	Proust, J.L.....	6
Bethe.....	36	Ritz.....	49
Bohr,N.....	9 ,45,46,47 , ,48 50,51,56,57,58, 59,60,61,65.	Rutherford, D.....	6,9,14,19, 20,28,42,45
Bracket.....	49	Rydberg.....	49,56
Bravais, A.....	94	Schrödinger, E.....	9,60,61
Chadwick, J.....	9,14	Soddy, F.....	31
Cram,	108,109, 112, 114.	Sommerfeld.....	9,51,58,61,65
Crooks.....	9,10,13	Stooney.....	11
Curie, P. et M.....	6,29,30	Stooner.....	69
Dalton, J.....	7	Stockes, G.G.....	13
DeBroglie L.....	9, 58	Tesla.....	22
De Chancourtois, A.E.B.....	74	Thomson, J.J.....	11,16,17,19
Debye, P.....	91,95,	VanDerWalls, J.D.....	95,96
Dempster.....	17	Vasquez.....	39
Einstein, A.....	22,33,40,44,58	Wilson.....	26
Fajans, K.....	31	Zeeman.....	53,56,58
Faraday, M.....	9		
Fermi.....	23,25		
Flower.....	50		
Gay Lussac, L. J.....	7		
Geiger-Muller.....	18		
Gillespie.....	109,116,124		
Goldstein, E.....	9,13,14		
Hamilton, W. R.....	60		
Heisenberg, W.N.....	9,59		
Hertz.....	45		
Hund, F.....	71,72,103.		
Joliot-Curie, F. et I.....	30		
Klechkowski.....	70,72,103		
Kessom.....	95		
Laplace, P.S.....	60		
Lavoisier, A.L.....	1,6,6		
Lewis, G.N.....	86,88,90,99,105		
London	95		
Lothar-Meyer, J.....	74		
Lyman.....	49,50,51		
Millikan, R.A.....	12,24		
Mendeleïev, D.I.....	74		
Mulliken, R.....	82		
Newlands.....	74		
Newton, I.....	44		
Newman, M.S.....	110		
Paschen.....	49,50		
Pauli, W.....	68,72,103		

مراجع

1. « Chimie : Chimie Physique » Tome 1.
H.Guerin ; Ed. Dunod Université. (1968)
2. « Chimie physique générale : Atomistique, liaison chimique et structures moléculaires »
G.Panetier ; Ed. Masson. (1969)
3. « Structure électronique des atomes et des molécules simples »
M.Fayard ; Ed. Herman. (1969)
4. « Structure de la matière »
J.Drillat, J.Layèle et L.Torrès ; Ed. Armand Colin. (1970)
5. « Atomes et Liaisons »
A.Julg ; Collection U. (1970)
6. « Introduction à la chimie structurale »
G.Montel, A.Lattes, J.C et M.Heughebaert ; 2nd édition, Ed. Dunod. (1979)
7. « The structure of matter : an introduction atomic nuclear and particles physics » *R.M.Turnbull* ; Ed. Blacken.Cop. (1979)
8. « Chimie générale »
G.Germain et R.Mari ; Ed. Masson. (1989)
9. « Cours de chimie organique »
P.Arnaud ; 15^e édition, Ed. Dunod. (1990)
10. « Chimie Générale »
René Didier ; 5^e édition. Collection Sciences Physiques. (1993)
11. « Chimie Organique »
M.Le Corre, C.Moreau et J.P.Payen ; Collection Belin Sup.Sciences. (1997)
12. « Précis de chimie : Atomistique et Structures » Vol. 6.
J.Mesplesde et J.L.Queyrel ; Ed. Breal (1998).